

Anwendungen

der Viel - Teilchen - Theorie

in der Festkörperphysik

Literatur:

Nolting:

"Viel-Teilchen-Theorie",
Vieweg

Gross, Runge:

"Vielteilchentheorie",
Teubner

Benes, Nozieres:

"The Theory of Quantum Liquids",
Anderson-Wesley

Abrikosov, Gorkov, Dzyaloshinski:

"Methods of Quantum Field Theory in Statistical Physics",
Dover

Zagoskin:

"Quantum Theory of Many-Body Systems",
Springer

Mattuck:

"A Guide to Feynman Diagrams in the Many-Body Problem",
Dover

Buttlinger:

"Analytic Properties of Single-Particle Propagators for
Many-Fermion Systems",
Phys. Rev. 121 (1961) 942

Buttlinger:

"Fermi Surface and Some Simple Equilibrium Properties of a
System of Interacting Fermions",
Phys. Rev. 119 (1960) 1153

Buttlinger, Ward:

"Ground-State Energy of a Many-Fermion System II",
Phys. Rev. 118 (1960) 1417

Baym, Kadanoff

"Conservation Laws and Correlation Functions",
Phys. Rev. 124 (1961) 287

Baym:

"Self-Consistent Approximations in Many-Body Systems",
Phys. Rev. 127 (1962) 1394

I Der Festkörper als wechselwirkendes Viel-Elektronen-System

IA Hamilton-Operator

Festkörper = Atomkerne + Elektronen

↗
 als punktförmig
 angenommen,
 Gitter

↑
 lokalisierte Rumpf- e^-
 itinerante Valenz- e^-

Von den 4 grundlegenden Wechselwirkungen
(stark, schwach, elektromagnetisch, Gravitation)
ist nur die elektromagnetische WW wesentlich

Entkopplung der Dynamik von Kernen und Elektronen
im Rahmen der Born-Oppenheimer-Näherung
(langsame / schnelle Bewegung der Kerne / Elektronen
aufgrund stark unterschiedlicher Massen)

Weitere Vereinfachung durch das Konzept des
Gittercous = Atomkern + Rumpfelektronen

Nonrelativistische Näherung für die Dynamik
der Valenzelektronen

(2)

Hamilton-Operator

$$H = H_{\text{kin}} + H_{\text{pot}} + H_{\text{ec}} + H_{\text{ep}} + H_{\text{rel}} + \dots$$

- $H_{\text{kin}} = \sum_{i=1}^{N_e} \frac{\vec{p}_i^2}{2m}$ kinetische Energie der Valenzelektronen
 - N_e : Anzahl der Elektronen, \vec{p}_i : Impulsoperator des i -ten Elektrons, m : Elektronenmasse
 - H_{kin} definiert das nicht-wechselwirkende Elektronengas
 - implizit: der fermionische Charakter der Elektronen (\Leftrightarrow Bose-Gas, klassisches scharles Gas)
 - die Einteilung in Rumpf- und Valenzelektronen ist relativ willkürlich und kann nach Bedarf modifiziert werden
 - $H_{\text{pot}} = \sum_{i=1}^{N_e} V(\vec{r}_i)$ Energie der Valenzelektronen im Coulomb-Potential der Gitterionen
 - $H_{\text{kin}} + H_{\text{pot}}$ definiert das inhomogene nicht-wechselwirkende Elektronengas
 - es ist Ausdruck der Born-Oppenheimer-Näherung, dass die Kern-Variablen nur noch als klassische Parameter in die Elektron-Kern-WW eingehen!
- $V(\vec{r}_i) = \sum_k V_{\text{Coulomb}} (\vec{r}_i - \vec{R}_k)$
- Operator ↑ ↑
 Parameter
 (Kern-Position)

(3)

- wegen der noch nicht berücksichtigten WW ist $H_{kin} + H_{pot}$ in wesentlichen ein Ein-Teilchen-Problem; die Lösung der Schrödinger-Gleichung für ein gitterperiodisches Potenzial ist ein numerisch nicht-triviales Problem, das sich c. allg. aber sehr gut approximativ lösen lässt.

- $$H_{ee} = \frac{1}{2} \frac{e^2}{4\pi\epsilon_0} \sum_{i,j}^{i \neq j} \frac{1}{|\vec{r}_i - \vec{r}_j|}$$
 Coulomb-WW der Valenzelektronen

- dieser Paarwechselwirkungsterm verhindert c. allg. endgültig eine exakte Lösung des Problems
- $H_{kin} + H_{ee}$ definiert das homogene System wechselwirkender Elektronen
- $H_{kin} + H_{pot} + H_{ee}$ definiert das allgemeine Gitter-Fermionen-Problem
- H_{ee} ist für eine Vielzahl von Phänomenen verantwortlich, darunter die typischen Korrelationseffekte

Schwer-Fermionen-Verhalten
 Kollektive magnetische Ordnung
 Hochtemperatur-Supraleitung
 Lokalisierungsphänomene
 etc.

- H_{ep} und H_{rel} stellen wichtige Erweiterungen dar, die hier aber nicht berücksichtigt bleiben:
 Elektron-Phonon-Wechselwirkung
 Relativistische Korrekturen

(4)

Zentraler Gegenstand der Vorlesung ist das
"Gitter-Fermion-Problem"

$$H = \sum_i \left(\frac{\vec{p}_i^2}{2m} + V(\vec{r}_i) \right) + \frac{1}{2} \frac{e^2}{4\pi\epsilon_0} \sum_{i \neq j} \frac{1}{|\vec{r}_i - \vec{r}_j|}$$

In besondere geht es um das Thema

Gleichgewicht und elementare Anregungen

also um Aussagen zu H im Rahmen der Quantumstatistik

Ziele:

- 1) Die Entwicklung der quantenfeldtheor.
Methode als Eingang zum Gitter-Fermion-Problem
- 2) Die Konstruktion von sinnvollen Näherungen
auf der Grundlage der QFT
- 3) Die Ableitung von nicht-trivialen, exakten
Aussagen zu H

I B Zweite Quantisierung

- Umformulierung von H mit Hilfe von Erzeugungs- und Vernichtungsoperatoren
- Vereinfachung des Formalismus, da auf die explizite (Anti-)Symmetrisierung von N-Teilchen-Wellenfunktionen verzichtet werden kann
- Fermi-(Bose-)Statistik drückt sich in den sog. fundamentalen Vertauschungsrelationen aus

(Bem.) Der Formalismus der QFT wird zunächst sowohl für Fermionen als auch für Bosonen entwickelt. Das Fermion-Problem steht aber im Vordergrund

Wiederholung der wichtigsten Begriffe und Zusammenhänge:

1) Hilbert-Raum eines N-Teilchen-Systems

$$\mathcal{H}_N = \bigotimes_{i=1}^N \mathcal{H}_1^{(i)}$$

$\mathcal{H}_1^{(i)}$: Hilbert-Raum des i-ten Teilchens

Basis von \mathcal{H}_1 : (\Rightarrow Basis von \mathcal{H}_N !)

$\{|g_\alpha\rangle\}$ sei eine Orthonormalbasis von \mathcal{H}_1

d.h. $\langle g_\alpha | g_\beta \rangle = \delta_{\alpha\beta}$ (Orthonormalität)

$\sum_i |g_\alpha\rangle \langle g_\alpha| = 1_{\mathcal{H}_1}$ (Vollständigkeit)

Bern.

(6)

Der Einfachheit halber wird angenommen, dass die Ein-Zirkonen-Basis abzählbar ist. Der Index α soll also nur diskrete Werte annehmen

Bsp

a)

$$\alpha = (i, m, \sigma) \quad \text{Multiindex}$$

i: Gitterplatz, m: Orbital, σ : Spinprojektion

Basiszustand in Ortsdarstellung

$$\langle \vec{r} | g_\alpha \rangle = \langle \vec{r} | g_{im\sigma} \rangle = g_m(\vec{r} - \vec{R}_i) \cdot \chi_\sigma$$

\vec{R}_i : Ortsvektor zum i-ten Gitterplatz

$$\chi_p = \begin{pmatrix} 1 \\ 0 \end{pmatrix} \quad \chi_d = \begin{pmatrix} 0 \\ 1 \end{pmatrix} \quad \text{Pauli-Spinor}$$

$g_m(\vec{r})$: um $\vec{r}=0$ zentrierte (quasi atomare)
Wellenfunktion

m: orbitaler Index, analog zum atomaren Problem
unterteilbar in Hauptquantenzahl und
Drehimpulsquantenzahlen: n, l, m_l

b)

$$\alpha = (\vec{k}, r, \sigma) \quad \text{Multiindex}$$

\vec{k} : Wellenvektor aus der 1. Brillouin-Zone im reciproken Raum

r: Bandindex, σ : Spinprojektion

(7)

(\vec{R} nimmt nur diskrete Werte an: System innerhalb eines endlichen aber großen Volumens V , periodische Randbedingungen)

Ortsdarstellung:

$$\langle \vec{r} | g_x \rangle = \langle \vec{r} | g_{\text{Zer}} \rangle = g_{\text{Zer}}(\vec{r}) \cdot \chi_c$$

$g_{\text{Zer}}(\vec{r})$ erfülle das Bloch-Theorem

$$g_{\text{Zer}}(\vec{r} + \Delta \vec{R}_i) = e^{i \vec{E} \Delta \vec{R}_i} \cdot g_{\text{Zer}}(\vec{r})$$

2) Prinzip der Ununterscheidbarkeit

Identische Teilchen sind ununterscheidbar

\Rightarrow Permutation der Teilchennummerierung darf nicht zu einer Änderung von ψ -Größen führen

Für einen Zustand aus N identischen Teilchen

$$|g_{x_1}^{(1)} \dots g_{x_N}^{(N)}\rangle = |g_{x_1}^{(1)}\rangle \cdot \dots \cdot |g_{x_N}^{(N)}\rangle \in \mathcal{X}_N$$

$$\begin{matrix} \uparrow & & \uparrow \\ \in \mathcal{X}_1^{(1)} & & \in \mathcal{X}_N^{(N)} \end{matrix}$$

und eine beliebige Observable A muss also gelten:

$$\langle \dots g_{x_i}^{(i)} \dots g_{x_j}^{(j)} \dots | A | \dots g_{x_i}^{(i)} \dots g_{x_j}^{(j)} \dots \rangle \stackrel{!}{=}$$

$$\langle g_{x_i}^{(j)} \dots g_{x_j}^{(i)} \dots | A | \dots g_{x_i}^{(j)} \dots g_{x_j}^{(i)} \dots \rangle$$

Dies hat Konsequenzen für die physikalisch erlaubten Zustände und Observablen:

(Def.)

Permutatoroperator P

$$P | \psi_{\alpha_1}^{(1)} \dots \psi_{\alpha_N}^{(N)} \rangle = | \psi_{\alpha_{\sigma(1)}}^{(1)} \dots \psi_{\alpha_{\sigma(N)}}^{(N)} \rangle$$

$(\sigma_1 \dots \sigma_N)$ ist eine Permutation von $(1, \dots, N)$

Vorzeichen der Permutation $(-1)^P$

$(-1)^P := (-1)^p$ mit $p =$ Anzahl der Transpositionen, aus denen sich P aufbaut

Transposition T , $P = T_1 \cdots T_p$, P unitär, $P^{-1} = P^t$

Für ein System aus N ununterscheidbaren identischen Teilchen gilt:

- Jede physikalische Observable A ist invariant unter Permutationen der Teilchen-Indizes:

$$A = P^t A P \quad \text{oder} \quad [A, P] = 0$$

- Jeder physikalische Zustand ist symmetrisch oder antisymmetrisch unter Permutationen der Teilchen-Indizes;

$$P |\Psi\rangle = (\pm)^P |\Psi\rangle$$

(9)

Spin - Statistik - Theorem

Fermionen

$$P|\Psi\rangle = (-1)^P |\Psi\rangle$$

halbzahliger Spin

Bosonen

$$P|\Psi\rangle = |\Psi\rangle$$

ganzzahliger Spin

Def.

 $\varepsilon = -1$ f. System identischer Fermionen $\varepsilon = +1$ f. System identischer Bosonen

$\mathcal{X}_N^{(\varepsilon)}$: N -Teilchen-Hilbert-Raum der physikalisch erlaubten Zustände

$$\mathcal{X}_N^{(\varepsilon)} \subset \mathcal{X}_N$$

$$\mathcal{X}^{(\varepsilon)} = \bigotimes_{N=0}^{\infty} \mathcal{X}_N^{(\varepsilon)}$$

$$\mathcal{H} = \bigotimes_{N=0}^{\infty} \mathcal{X}_N$$

3) Besetzungsanzahldarstellung

Def. (Anti-)Symmetrisierungsoperator

$$S_\varepsilon = c_\varepsilon \sum_P \varepsilon^P \cdot P$$

Für beliebiges $|\Psi_N\rangle \in \mathcal{X}_N$ ist $S_\varepsilon |\Psi_N\rangle \in \mathcal{X}_N^{(\varepsilon)}$

c_ε sei so gewählt, dass die (anti-)symmetrisierten Basiszustände des \mathcal{X}_N normiert sind!

(10)

Diese bilden dann eine ONB von $\mathcal{X}_N^{(\epsilon)}$

$$|y_{\alpha_1} \dots y_{\alpha_N}\rangle^{(\epsilon)} = S_\epsilon |y_{\alpha_1}^{(1)} \dots y_{\alpha_N}^{(n)}\rangle$$

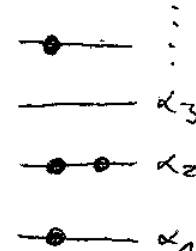
Bef. Besetzungszahl n_{α_i} : Häufigkeit mit der y_{α_i} in $|y_{\alpha_1} \dots y_{\alpha_N}\rangle^{(\epsilon)}$ auftritt

Besetzungszauddarstellung: Darstellung der Basiszustände von $\mathcal{X}_N^{(\epsilon)}$ durch Besetzungszahlen:

$$\begin{aligned} |N; n_{\alpha_1} n_{\alpha_2} \dots n_{\alpha_N} \dots\rangle^{(\epsilon)} &= |y_{\alpha_1} \dots y_{\alpha_N}\rangle^{(\epsilon)} \\ &= S_\epsilon \left(\underbrace{|y_{\alpha_1}^{(1)}\rangle |y_{\alpha_1}^{(2)}\rangle \dots}_{n_{\alpha_1}} \dots \underbrace{|y_{\alpha_N}^{(1)}\rangle |y_{\alpha_N}^{(2)}\rangle \dots}_{n_{\alpha_N}} \dots \right) \end{aligned}$$

Fermionen: $n_{\alpha_i} = 0, 1$

Bosonen: $n_{\alpha_i} = 0, 1, 2, \dots$



Normierungskonstante

$$C = \frac{1}{N!} \quad C_+ = \frac{1}{N!} \frac{1}{\sqrt{\prod_i (n_{\alpha_i}!)}}$$

Orthonormierung

$$\langle N; \dots n_{\alpha_1} \dots | N'; \dots n'_{\alpha_1} \dots \rangle^{(\epsilon)} = \delta_{NN'} \prod_i \delta_{n_{\alpha_i}, n'_{\alpha_i}}$$

Vollständigkeit

$$\sum_{n_{\alpha_1}} \sum_{n_{\alpha_2}} \dots |N; n_{\alpha_1} n_{\alpha_2} \dots\rangle^{(\epsilon)} \langle N; n_{\alpha_1} n_{\alpha_2} \dots| = \prod_{\alpha} \delta_{\alpha}$$

↑
(alle N)

$$N = \sum_i n_{\alpha_i}$$

4) Konstruktionsoperatoren

(Def.) Erzeugungsoperator $c_{\alpha_i}^+$

$$\begin{aligned} c_{\alpha_0}^+ |n_{\alpha_0} n_{\alpha_2} \dots n_{\alpha_i} \dots \rangle^{(\varepsilon)} &= c_{\alpha_i}^+ |y_{\alpha_1} \dots y_{\alpha_{i-1}} \dots \rangle^{(\varepsilon)} \\ &\equiv \sqrt{n_{\alpha_i} + 1} |y_{\alpha_1} \underbrace{y_{\alpha_2} y_{\alpha_2} \dots}_{n_{\alpha_2}} \dots \underbrace{y_{\alpha_i} y_{\alpha_i} \dots}_{n_{\alpha_i}} \dots \rangle^{(\varepsilon)} \\ &= \varepsilon^{N_{\alpha_0}} \sqrt{n_{\alpha_i} + 1} |n_{\alpha_0} n_{\alpha_2} \dots (n_{\alpha_i} + 1) \dots \rangle^{(\varepsilon)} \\ \text{mit } N_{\alpha_i} &= \sum_{j=1}^{i-1} n_{\alpha_j} \end{aligned}$$

Vernichtungsoperator c_{α_i}

$$c_{\alpha_i} = (c_{\alpha_i}^+)^+$$

$$c_{\alpha_i} |n_{\alpha_0} n_{\alpha_2} \dots n_{\alpha_i} \dots \rangle^{(\varepsilon)} \equiv \varepsilon^{N_{\alpha_i}} \sqrt{n_{\alpha_i}} |n_{\alpha_0} n_{\alpha_2} \dots n_{\alpha_{i-1}} \dots \rangle^{(\varepsilon)}$$

Daraus folgen die fundamentalen Verteilungsrelationen:

$$[c_{\alpha}, c_{\beta}^+]_{-\varepsilon} = \delta_{\alpha\beta}$$

$$[c_{\alpha}, c_{\beta}]_{-\varepsilon} = 0$$

$$[c_{\alpha}^+, c_{\beta}^+]_{-\varepsilon} = 0$$

Für eine beliebige physikalische Observable A ($[A, P]_{-} = 0$) der Form

$$A = \sum_{i=1}^N A_1^{(i)} + \frac{1}{2} \sum_{i,j}^{i \neq j} A_2^{(i,j)}$$

gilt:

(12)

$$A = \sum_{\alpha\beta} \langle g_\alpha | A_\alpha | g_\beta \rangle c_\alpha^\dagger c_\beta + \frac{1}{2} \sum_{\alpha\beta\gamma\delta} \langle g_\alpha^{(1)} g_\beta^{(2)} | A_2 | g_\delta^{(1)} g_\gamma^{(2)} \rangle c_\alpha^\dagger c_\beta^\dagger c_\gamma c_\delta$$

Hamilton-Operator

$$H = \sum_{\alpha\beta} t_{\alpha\beta} c_\alpha^\dagger c_\beta + \frac{1}{2} \sum_{\alpha\beta\gamma\delta} V(\alpha\beta\gamma\delta) c_\alpha^\dagger c_\beta^\dagger c_\gamma c_\delta$$

mit

$$t_{\alpha\beta} = \langle \alpha | \left(\frac{\vec{p}^2}{2m} + V(\vec{r}) \right) | \beta \rangle$$

$$V(\alpha\beta\gamma\delta) = \frac{e^2}{4\pi\epsilon_0} \langle \alpha^{(1)} | \langle \beta^{(2)} | \frac{1}{|\vec{r}^{(1)} - \vec{r}^{(2)}|} | \gamma^{(1)} \rangle | \delta^{(2)} \rangle$$

Besetzungsanzahloperator $\hat{n}_\alpha = c_\alpha^\dagger c_\alpha$

Teilchenanzahloperator $\hat{N} = \sum_\alpha \hat{n}_\alpha$

Es gilt $[c_\alpha, \hat{n}_\beta]_- = \delta_{\alpha\beta} c_\alpha$ für Fermionen und Bosonen!

5) Unitäre Transformation der Ein-Teilchen-Basis

$$|\alpha'\rangle = \sum_{\alpha} U_{\alpha\alpha'} |\alpha\rangle \quad U \text{ unitär}$$

$$|\alpha\rangle = \sum_{\alpha'} U_{\alpha'\alpha}^{-1} |\alpha'\rangle$$

$\{|\alpha\rangle\}$ ONB von $\mathcal{H}_1 \Rightarrow \{|\alpha'\rangle\}$ ONB von \mathcal{H}_1

Wie transformieren sich die Konstruktionsoperatoren?

$$c_{\alpha'}^{\dagger} |0\rangle = |\alpha'\rangle = \sum_{\alpha} U_{\alpha\alpha'} |\alpha\rangle = \sum_{\alpha} U_{\alpha\alpha'} c_{\alpha}^{\dagger} |0\rangle$$

\Rightarrow (direkt und durch Adjungieren)

$c_{\alpha'}^{\dagger} = \sum_{\alpha} U_{\alpha\alpha'} c_{\alpha}^{\dagger}$	$c_{\alpha}^{\dagger} = \sum_{\alpha'} U_{\alpha'\alpha}^{-1} c_{\alpha'}^{\dagger}$
$c_{\alpha'} = \underbrace{\sum_{\alpha} U_{\alpha\alpha'}^{*} c_{\alpha}}_{U_{\alpha\alpha'}^{*}}$	$c_{\alpha} = \underbrace{\sum_{\alpha'} U_{\alpha'\alpha}^{-1*} c_{\alpha'}}_{U_{\alpha'\alpha}^{-1*}}$

Betrachte

$$\begin{aligned} \sum_{\alpha} |\alpha\rangle c_{\alpha} &= \sum_{\alpha} \left(\sum_{\alpha'} U_{\alpha'\alpha}^{-1} |\alpha'\rangle \right) \left(\sum_{\alpha'} U_{\alpha'\alpha} c_{\alpha'} \right) \\ &= \sum_{\alpha_1 \alpha_2} \left(\sum_{\alpha'} U_{\alpha'\alpha_1}^{-1} U_{\alpha_2 \alpha'} \right) |\alpha_1\rangle c_{\alpha_2} = \sum_{\alpha'} |\alpha'\rangle c_{\alpha'} \end{aligned}$$

$$\text{analog } \sum_{\alpha} c_{\alpha}^{\dagger} \langle \alpha | = \sum_{\alpha'} c_{\alpha'}^{\dagger} \langle \alpha' |$$

Damit folgt:

(14)

$$A = \sum_{\alpha p} c_{\alpha}^t \langle \alpha | A_1 | p \rangle c_p + \frac{1}{2} \sum_{\alpha p \beta \delta} c_{\alpha}^t c_{\beta}^t \langle \gamma \delta | A_2 | \delta \gamma \rangle c_{\gamma} c_{\delta}$$

$$= \sum_{\alpha p} c_{\alpha}^t \langle \alpha | A | p \rangle c_p + \frac{1}{2} \sum_{\alpha p \beta' \delta'} c_{\alpha}^t c_{\beta}^t \langle \beta' | A_2 | \delta' \rangle c_{\delta'} c_{\beta'}$$

Fundamentale Vertauschungsrelationen

$$[c_{\alpha}, c_{\beta}^t]_{-\varepsilon} = \sum_{\alpha} U_{\alpha \alpha}^{-1} \sum_{\beta} U_{\beta \beta} \delta_{\alpha \beta} [c_{\alpha}, c_{\beta}^t]_{-\varepsilon}$$

$$= \sum_{\alpha \beta} U_{\alpha \alpha}^{-1} U_{\beta \beta} \delta_{\alpha \beta} = \delta_{\alpha \beta}$$

analog für $[c_{\alpha}, c_{\beta}]_{-\varepsilon}$ und $[c_{\alpha}^t, c_{\beta}^t]_{-\varepsilon}$

$$\langle \alpha | \alpha' \rangle = \langle \alpha | \sum_{\beta} U_{\alpha \beta} | p \rangle = \sum_{\beta} U_{\alpha \beta} \delta_{\alpha \beta} = U_{\alpha \alpha'}$$

(Bsp.) $\{|c_{im}, \epsilon\rangle\}$ (lokalierte, "atomare" Orbitale)

↓ unitäre Transformation U

$\{|k_r, r, \epsilon\rangle\}$ (Basis aus Eigenzuständen von H_1)

$$H_1 = \frac{\vec{p}^2}{2m} + V(\vec{r})$$

$$c_{kmc}^t = \sum_{im} U_{im, k_r} c_{im}^t$$

$$U_{im, k_r} = \langle i_m | k_r \rangle = \int d^3r \psi_m^*(\vec{r} - \vec{R}_i) \psi_{k_r}(\vec{r})$$

Die Zustände $|k_r\rangle$ seien Eigenzustände von H_1

$$\left(\frac{\vec{p}^2}{2m} + V(\vec{r}) \right) \psi_{k_r}(\vec{r}) = \epsilon_r(\vec{r}) \psi_{k_r}(\vec{r})$$

nichtwechselwirkende Bandstruktur

bew.

$$H_n |k^{rs}\rangle = \varepsilon_r(\vec{R}) |k^{rs}\rangle$$

Die ONS $\{|l^{ms}\rangle\}$ oft als quasi-atomare Basis meist gegeben, $t_{i\mu m\sigma} = \langle c_{i\mu} | H_n | l^{m\sigma} \rangle$ ist bekannt.

Wie konstruiert man die Bandstruktur $\varepsilon_r(\vec{R})$?

Definire Blochwellenbasis $\{|k^{ms}\rangle\}$

$$|k^{ms}\rangle = \frac{1}{N} \sum_i e^{i \vec{k} \cdot \vec{R}_i} |l^{ms}\rangle$$

N : Anzahl der Gitterplätze ($N \rightarrow \infty$)

Normierung:

$$\langle k^{ms} | k^{ms} \rangle = \frac{1}{N} \sum_{ii'} e^{i \vec{k} (\vec{R}_i - \vec{R}_{i'})} \underbrace{\langle l^{ms} | l^{ms} \rangle}_{\delta_{ii'}} = \frac{1}{N} \sum_i = 1$$

H_n in der Blochwellenbasis:

$$\langle k^{ms} | H_n | k'^{m's'} \rangle = \delta_{ss'} \delta_{RR'} H_{mm'}(\vec{R})$$

Sei $R_{mr}(\vec{R})$ unitär $\forall \vec{R}$, mit: $\stackrel{?}{\text{hermitisch}} \forall \vec{R}$

$$\sum_{m'm} R_{rm}^*(\vec{R}) H_{mm'}(\vec{R}) R_{mr}(\vec{R}) = \varepsilon_r(\vec{R})$$

Definire jetzt

$$|\vec{k}^{rs}\rangle = \sum_m R_{mr}(\vec{R}) |k^{ms}\rangle$$

Dann ist H_n in der Tat diagonal in $\{|\vec{k}^{rs}\rangle\}$:

(16)

$$\langle \text{Br}_6 | H_n | k'^{l'6'} \rangle =$$

$$= \sum_{mm'} \langle R_{m6} | H_n | k'^{l'm'6'} \rangle R_{rm}^{-1}(k) R_{r6l'}(k')$$

$$= \delta_{kk'} \delta_{66'} \sum_{mm'} R_{rm}^{-1}(k) H_{nm'}(k) R_{r6l'}(k')$$

$$= \delta_{kk'} \delta_{66'} \delta_{rr'} \varepsilon_r(k)$$

In der abstrakten Schreibweise mit Multiindizes bezeichne

$$\{ |k\rangle \} \quad k = (R, \alpha, \epsilon)$$

die Ein-Teilchen-ONB, in der H_n diagonal ist

Wir schreiben:

$$H = \sum_k \varepsilon(k) c_k^* c_k + \frac{1}{2} \sum_{k \neq l \neq p \neq q} V(klqp) c_k^* c_l^* c_p c_q$$

$U_{nk} = \langle \alpha | k \rangle$ bestimmt die unitäre Transformation zwischen der ONB $\{ |\alpha\rangle \}$ (H_n nicht-diagonal) und $\{ |k\rangle \}$ (H_n diagonal)

(3sp) $\{ |l'm_6\rangle \} \leftrightarrow \{ |k_{rc}\rangle \}$

$$U_{lm,kr} = \langle l'm_6 | R_{rc} \rangle$$

$$= \langle l'm_6 | \sum_m R_{mr}(k) \frac{1}{\sqrt{N}} \sum_j e^{i k R j} | j' m_6 \rangle$$

$$= \sum_{mj} R_{mr}(k) \frac{1}{\sqrt{N}} e^{i k R j} \underbrace{\langle l'm_6 | j' m_6 \rangle}_{\delta_{jj'} \delta_{mm'}}$$

$$U_{lm,kr} = R_{mr}(k) \cdot \frac{1}{\sqrt{N}} \cdot e^{i k R j}$$

6) Hubbard - Modell

Betrachte den allgemeinen Hamilton-Operator, wobei der Spinindex explizit auftritt: ($\alpha = (c, m)$)

$$H = \sum_{\alpha \beta c} t_{\alpha \beta} c_{\alpha}^{\dagger} c_{\beta} + \frac{1}{2} \sum_{\alpha \beta \gamma \delta} \sum_{c c'} V(\alpha \beta \gamma \delta) c_{\alpha}^{\dagger} c_{\beta}^{\dagger} c_{\gamma} c_{\delta}$$

(stark) vereinfachende Annahme

$$V(\alpha \beta \gamma \delta) = \delta_{\alpha \beta} \delta_{\gamma \delta} \cdot v \Rightarrow (\epsilon' \neq \epsilon !)$$

$$H = \sum_{\alpha \beta c} t_{\alpha \beta} c_{\alpha}^{\dagger} c_{\beta} + \frac{1}{2} v \sum_{\alpha c} n_{\alpha c} n_{\alpha - c}$$

($c = \uparrow, \downarrow \Rightarrow -c = \downarrow, \uparrow$) v : Hubbard - Wechselwirkung

Wird auch noch der orbitale Freiheitsgrad vernachlässigt,

$$H = \sum_{ijc} t_{ij} c_i^{\dagger} c_j + \frac{U}{2} \sum_{ic} n_{ic} n_{ic}$$

so erhält man das eigentliche Hubbard - Modell mit der Hubbard - Wechselwirkung $U = v$

- effektive "Ein-Band-Systme" mit stark abgeschwächter Coulombs - Wechselwirkung
- Demonstrationsmodell der QFT

IC Quantenstatistik des wechselwirkungsfreien Systems

Wir betrachten den Hamilton-Operator

$$H_0 = \sum_{i=1}^{N_e} \left(\frac{\vec{p}_i^2}{2m} + V(\vec{r}_i) \right)$$

bzw. in 2. Quantisierung

$$H_0 = \sum_{k\sigma} \varepsilon(k) c_{k\sigma}^\dagger c_{k\sigma} = \sum_{k\sigma} \varepsilon(k) \hat{n}_{k\sigma}$$

(H ist diagonal in der Ein-Teilchen-Basis $\{|k\sigma\rangle\}$ mit $k = (\vec{R}, \tau)$. Der SpindIndex wird explizit dargestellt)

Es sollen solche Größen hier berechnet werden, die später auch im wechselwirkenden System untersucht werden.

Damit wird später ein Vergleich möglich, der zur Beantwortung der folgenden Frage beiträgt:

Gibt es nur graduelle oder gibt es auch prinzipielle Unterschiede zwischen einem nicht-wechselwirkenden und einem wechselwirkenden System von N_e Fermionen?

1) Quantenstatistische Beschreibung

In beiden Fällen wird hier von den Methoden der Quantenstatistik Gebrauch gemacht. Von Interesse sind die Eigenschaften des Systems im thermodynamischen Gleichgewicht sowie die elementaren Anregungen des Systems aus dem Gleichgewicht

Wir verwenden die großkanonische Gesamtheit

- Dichtoperator

$$\rho = e^{-\beta(H-\mu N)} = e^{-\beta \mathcal{E}} \quad \mathcal{E} \equiv H - \mu N$$

$$\beta = \frac{1}{k_B T} \text{ (inverse Temp.)}$$

- Basisfunktionssumme

$$S = S_p(\rho) = S_p e^{-\beta \mathcal{E}}$$

- großkanonisches Potential

$$\Omega = -\frac{1}{\beta} \ln S$$

- naturliche Variablen

T Temperatur

V Volumen

μ chemisches Potential

B äußeres (homogenes, statisches) Magnetfeld in
 z -Richtung ($B = \mu_0 H$, B magn. Ind., H : Magnetfeld)

- Erster Hauptsatz

$$d\Omega = -S dT - p dV - \langle N \rangle d\mu - m dB$$

\uparrow Entropie \uparrow Teilchenzahl \uparrow Druck \uparrow magn. Gesamtmoment

$$S = -\frac{\partial \Omega}{\partial T} \quad p = -\frac{\partial \Omega}{\partial V} \quad \langle N \rangle = -\frac{\partial \Omega}{\partial \mu} \quad m = -\frac{\partial \Omega}{\partial B}$$

Erwartungswerte von Observablen berechnen sich als

$$\langle A \rangle = \text{Sp}(\rho \cdot A) / \text{Sp}(\rho)$$

Beim:

Ein äußeres Magnetfeld koppelt gemäß

$$H \rightarrow H - g\mu_B \vec{B} \cdot \vec{S} = H - g\mu_B \vec{B} S_z$$

$\downarrow \quad \vec{B} = (0, 0, B)$

an das System.

$g \approx 2$ g-Faktor des Elektrons

μ_B Bohr'sches Magneton

z -Komponente des Gesamtspins

$$S_z = \frac{1}{2} (\hat{N}_\uparrow - \hat{N}_\downarrow) \quad N_G = \sum_{\sigma} n_{k\sigma c}$$

mit

$$\rho = \frac{1}{2} g\mu_B \approx 1/8 \quad z_\uparrow = +1 \quad z_\downarrow = -1$$

ist

$$H \rightarrow H - \sum_c z_c \rho \hat{N}_c B$$

2) Gleichgewichts - Erwartungswerte

Wir beginnen mit der Berechnung von $\tilde{G}(T, \mu, \vec{B})$

Die (Fock-) Basiszustände sind Eigenzustände zu λ_0 :

$$\begin{aligned} \lambda_0 |N; n_{k\sigma 1}, n_{k\sigma 2}, \dots\rangle^{(e)} &= \left(\sum_{k\sigma} (\varepsilon(k) - \mu - z_c \rho B) \hat{n}_{k\sigma} \right) |N; n_{k\sigma} \dots\rangle^{(e)} \\ &= \left(\sum_{k\sigma} (\varepsilon(k) - \mu - z_c \rho B) n_{k\sigma} \right) |N; n_{k\sigma} \dots\rangle^{(e)} \end{aligned}$$

(21)

Damit folgt:

$$\begin{aligned}
 \Sigma_0 &= Sp e^{-\beta \chi_0} = \sum_{N_{n_k \epsilon_k}} \langle N_{n_k \epsilon_k} | e^{-\beta \chi_0} | N_{n_k \epsilon_k} \rangle^{(e)} \\
 &= \sum_{n_{k_1}, n_{k_2}, \dots} e^{-\beta \sum_{k_c} (\epsilon(k) - \mu + \beta \epsilon \beta) n_{k_c}} \\
 &\quad \underbrace{\prod_{k_c} e^{-\beta(\epsilon(k) - \mu - \beta \epsilon \beta) n_{k_c}}} \\
 &\quad \cdot e^{-\beta(\epsilon(k_1) - \mu - \beta \epsilon \beta) n_{k_1}} \cdot e^{-\beta(\epsilon(k_2) - \mu - \beta \epsilon \beta) n_{k_2}} \cdots \\
 &= \left(\sum_{n_{k_1 \epsilon_1}} e^{-\beta(\epsilon(k_1) - \mu - \beta \epsilon \beta) n_{k_1 \epsilon_1}} \right) \cdot \left(\sum_{n_{k_2 \epsilon_2}} e^{-\beta(\epsilon(k_2) - \mu - \beta \epsilon \beta) n_{k_2 \epsilon_2}} \right) \cdots \\
 &= \prod_{k_c} \left(\sum_{n_{k_c}} e^{-\beta(\epsilon(k) - \mu - \beta \epsilon \beta) n_{k_c}} \right)
 \end{aligned}$$

Fermionen: $n_{k_c} = 0, 1$

$$\Sigma_0 = \prod_{k_c} \left(1 + e^{-\beta(\epsilon(k) - \mu - \beta \epsilon \beta)} \right)$$

$$\Rightarrow (\Omega = -\frac{1}{\beta} \ln \Sigma)$$

$$\Omega_0 = -\frac{1}{\beta} \sum_{k_c} \ln \left(1 + e^{-\beta(\epsilon(k) - \mu - \beta \epsilon \beta)} \right)$$

$$= \sum_{k_c} \Omega_{0, k_c}, \quad \Omega_{0, k_c} = -\frac{1}{\beta} \ln \left(1 + e^{-\beta(\epsilon(k) - \mu - \beta \epsilon \beta)} \right)$$

- mittlere Teilchenzahl

$$\langle N \rangle_0 = -\frac{\partial \Omega_0}{\partial \mu} = \frac{1}{\beta} \sum_{k \in \epsilon} \frac{e^{-\beta(\epsilon(k)-\mu-\rho z_k B)}}{1+e^{-\beta(\epsilon(k)-\mu-\rho z_k B)}} \beta$$

$$\langle N \rangle_0 = \sum_{k \in \epsilon} f(\epsilon(k)-\mu-\rho z_k B)$$

mit $f(x) = \frac{1}{e^{\beta x} + 1}$ Fermi-Funktion

- mittlere spinabhängige Teilchenzahl

$$\langle N_G \rangle_0 = \sum_k \left(-\frac{\partial}{\partial \mu} \Omega_{0,k} \right) = \sum_k f(\epsilon(k)-\mu-\rho z_k B)$$

- mittlere Besetzungszahl

$$\langle n_{k \in \epsilon} \rangle_0 = -\frac{\partial}{\partial \mu} \Omega_{0,k \in \epsilon} = f(\epsilon(k)-\mu-\rho z_k B)$$

- Magnetisches Gesamtmoment

$$\begin{aligned} M_0 &= -\frac{\partial \Omega_0}{\partial B} = \frac{1}{\beta} \sum_{k \in \epsilon} \frac{e^{\beta(\epsilon(k)-\mu)}}{1+e^{\beta(\epsilon(k)-\mu)}} \sum_{p \in \epsilon} p z_{k,p} \\ &= \sum_c p z_c \sum_k f(\dots) = \sum_c p z_c \langle N_c \rangle_0 = \rho (\langle N_g \rangle_0 - \langle N_u \rangle_0) \end{aligned}$$

- Innere Energie

$$\begin{aligned} U_0 &= \langle H_0 \rangle = \langle \mathcal{H}_0 \rangle + \mu \langle N \rangle_0 = \frac{1}{\beta} \sum_{k \in \epsilon} \text{Sp}(\mathcal{H}_0 e^{-\beta \Omega_0}) + \mu \langle N \rangle_0 \\ &= \mu \langle N \rangle_0 - \frac{\partial}{\partial \beta} \ln Z_0 = \mu \langle N \rangle_0 + \frac{\partial}{\partial \beta} (\beta \Omega_0) \\ &= \mu \langle N \rangle_0 - \sum_{k \in \epsilon} \frac{e^{-\beta(\epsilon(k)-\mu)} (-\beta)}{1+e^{-\beta(\epsilon(k)-\mu)}} = \mu \langle N \rangle_0 + \sum_{k \in \epsilon} (\dots) f(\dots) \\ &= \sum_{k \in \epsilon} (\epsilon(k) - \rho z_k B) f(\epsilon(k) - \mu - \rho z_k B) \end{aligned}$$

- Entropie

$$S_0 = - \frac{\partial Q_0}{\partial T} \quad T \cdot S_0 = - Q_0 + U_0 - \mu \langle N \rangle_0 - \delta q_0$$

Von besonderem Interesse sind die sogenannten Response-Größen:

- Wärmekapazität

$$C_V = \left(\frac{\partial U}{\partial T} \right)_{N,V,B} = T \left(\frac{\partial S}{\partial T} \right)_{N,V,B}$$

- Kompressibilität

$$\kappa = \frac{V}{\langle N \rangle^2} \cdot \left. \frac{\partial \langle N \rangle}{\partial P} \right|_{T,V,B}$$

- Suszeptibilität

$$\chi = \mu_0 \left. \frac{1}{V} \frac{\partial M}{\partial B} \right|_{T,V,\mu}$$

(s. 23)

$$\frac{M}{V} = \text{Magnetisierung}, \quad B = \mu_0 H$$

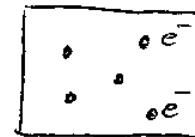
ID Elementare Anregungen

1) Spektroskopien

Neben der Frage, inwieweit sogenannte statische Größen, wie z.B. χ , K , C_V durch die Elektron-Elektron-WW modifiziert werden, sind insbesondere auch die elementaren Anregungen aus dem Gleichgewichtszustand von Interesse (dynamische Größen).

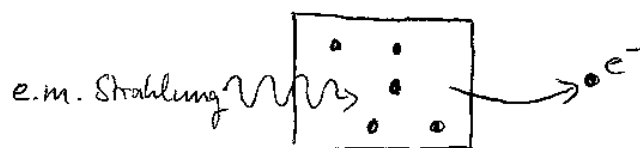
Das Anregungsspektrum ist mehr oder weniger direkt dem Experiment zugänglich. Je nach Art der Spektroskopie werden unterschiedliche elementare Anregungen des Systems untersucht.

System der (wechselwirkenden)
Valenzelektronen im
Gleichgewicht bei $T=0$:



Grundzustand: $|E_0\rangle$, "Anfangszustand"
(Valenzband-)

Photoemission



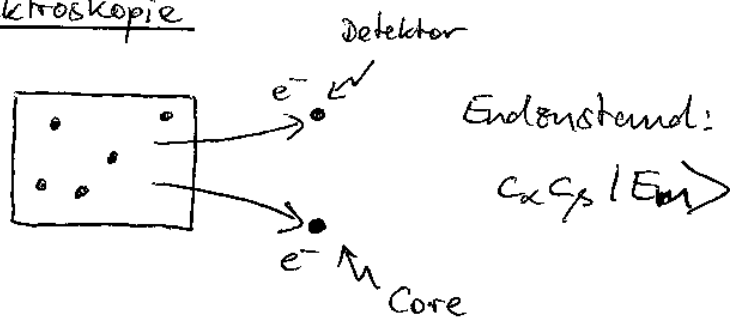
Endzustand:
 $c_\alpha |E_{\alpha}\rangle$

inverse Photoemission

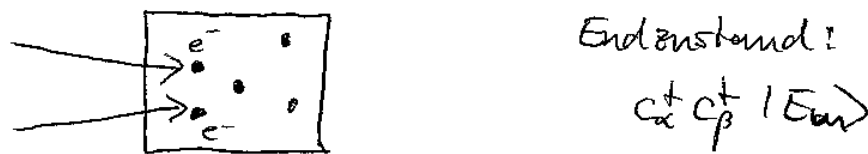


Endzustand:
 $c_\alpha^+ |E_{\alpha}\rangle$

(CVV-) Auger-Spektroskopie



Appearance-Potential-Spektroskopie



(Neutronen-) Streuung



Stark schematisierend lässt sich jede Spektroskopie durch einen Übergangsooperator \mathcal{Z} beschreiben
(z.B. $\mathcal{Z} = c_\alpha = z_\alpha$ f. d. Photoemission).

Wie sieht das jeweilige Anregungsspektrum aus?

Wir betrachten den allgemeinen Fall $T=0$ oder $T \neq 0$.

Mit der Wahrscheinlichkeit $\frac{1}{\Omega} e^{-\beta E_n}$ befindet sich das System anfangs im Eigenzustand $|E_n\rangle$ von $\mathcal{H} = H - \mu N$

(rem. $|E_n\rangle$ bezeichnet gemeinsamen Eigenzustand von H und N ($[N, H] = 0$!))

$$H|E_n\rangle = E_n(N)|E_n\rangle$$

$$N|E_n\rangle = N|E_n\rangle \quad \text{also}$$

$$\mathcal{H}|E_n\rangle = (H - \mu N)|E_n\rangle = (E_n(N) - \mu N)|E_n\rangle = E_n|E_n\rangle$$

(26)

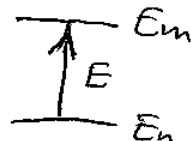
Die Wahrscheinlichkeit für einen Übergang $|E_n\rangle \rightarrow |E_m\rangle$, vermittelt durch Z , ist:

$$\frac{1}{\Gamma} e^{-\beta E_n} |\langle E_m | Z | E_n \rangle|^2$$

Die Anregungsenergie ist gegeben durch $E = E_m - E_n$. Die Gesamtzahl der Übergänge mit Anregungsenergien zwischen E und $E + dE$ (Intensität) ergibt sich dann als:

$$I_Z(E) = \frac{1}{\Gamma} \sum_{mn} e^{-\beta E_n} |\langle E_m | Z | E_n \rangle|^2 \delta(E - (E_m - E_n))$$

Durch Ansunzen der Energieerhaltung
 $E_n = E_m - E$ gilt auch:



$$I_Z(E) = e^{\beta E} \frac{1}{\Gamma} \sum_{mn} e^{-\beta E_m} |\langle E_m | Z | E_n \rangle|^2 \delta(E - (E_m - E_n))$$

$$\stackrel{m \leftrightarrow n}{=} e^{\beta E} \frac{1}{\Gamma} \sum_{nm} e^{-\beta E_n} |\langle E_n | Z | E_m \rangle|^2 \delta(E - (E_n - E_m))$$

$$= e^{\beta E} \frac{1}{\Gamma} \sum_{nm} e^{-\beta E_n} |\langle E_m | Z^+ | E_n \rangle|^2 \delta((-E) - (E_m - E_n))$$

Also:

$$I_Z(E) = e^{\beta E} I_{Z^+}(-E)$$

wodurch eine Spektroskopie mit ihrer "komplementären" Spektroskopie verknüpft wird. (z.B. Photoemission und inverse Photoemission).

Wir betrachten die folgende Größe (Spektraldichte)

$$\begin{aligned} \text{Def.: } A_{zz+}(E) &\equiv I_{z+}(E) \pm I_z(-E) \\ &= e^{\beta E} I_z(-E) \pm I_z(-E) \\ &= (e^{\beta E} \pm 1) I_z(-E) \end{aligned}$$

$$A_{zz+}(E) = \frac{1}{\hbar} \sum_{mn} e^{-\beta E_n} (e^{\beta E} \pm 1) | \langle E_m | z | E_n \rangle |^2 \underbrace{\delta(E - (E_n - E_m))}_{(= \delta(-E - (E_m - E_n)))}$$

Die Spektraldichte beschreibt beide Spektroskopien

$$I_z(E) = \frac{1}{e^{\beta E} \pm 1} A_{zz+}(-E)$$

$$I_{z+}(E) = \frac{e^{\beta E}}{e^{\beta E} \pm 1} A_{zz+}(E)$$

Durch Fourier - Transformation in die Zeitausstellung,

$$X(E) = \int_{-\infty}^{\infty} e^{iEt} X(t) dt$$

$$X(t) = \frac{1}{2\pi} \int_{-\infty}^{\infty} e^{-iEt} X(E) dE,$$

findet man einen formal sehr einfachen Ausdruck für die Spektraldichte. Betrachtet der erste Term:

$$\begin{aligned} &\frac{1}{2\pi} \int e^{-iEt} I_{z+}(E) dE \\ &= \frac{1}{2\pi} \int e^{-iEt} \frac{1}{\hbar} \sum_{mn} e^{-\beta E_n} | \langle E_m | z | E_n \rangle |^2 \delta(E - (E_n - E_m)) dE \\ &= \frac{1}{2\pi} \frac{1}{\hbar} \sum_{mn} e^{-\beta E_n} e^{-iEnt} e^{iEnt} \langle E_n | z | E_m \rangle \langle E_m | z | E_n \rangle \\ &= \end{aligned}$$

$$= \frac{1}{2\pi} \frac{1}{\hbar} \sum_{mn} e^{-\beta E_n} \underbrace{\langle E_n | e^{i\beta t} Z e^{-i\beta t} | E_m \rangle}_{Z(t)} \underbrace{\langle E_m | Z^\dagger | E_n \rangle}_{Z^\dagger(0)}$$

$$= \frac{1}{2\pi} \frac{1}{\hbar} \text{Sp}(e^{-\beta E} Z(t) Z^\dagger(0))$$

$$= \frac{1}{2\pi} \langle Z(t) Z^\dagger(0) \rangle$$

Analog der 2. Term

$$\frac{1}{2\pi} \int e^{-iEt} I_Z(-E) dE = \frac{1}{2\pi} \langle Z^\dagger(0) Z(t) \rangle$$

Zusammen:

$$A_{zz^+}(t) = \frac{1}{2\pi} \int e^{-iEt} A_{zz^+}(E) dE = \frac{1}{2\pi} \langle [Z(t), Z^\dagger(0)]_+ \rangle$$

Allgemein definieren wir für beliebige Operatoren A und B die (zeitabhängige) Spektraldichte

Def. $A_{AB}(t) = \frac{1}{2\pi} \langle [A(t), B(0)]_+ \rangle$

+: Antikommunitator-Spektraldichte

-: Kommutator-Spektraldichte

(*). **Bem.** Für einen nicht explizit zeitabhängigen Hamilton-Operator $\mathcal{H} = H - \mu N$ und eine nicht explizit zeitabhängige Observable X ist $X(t) = e^{i\beta t} X e^{-i\beta t}$ die entsprechende Observable im Heisenberg-Bild. $X(t)$ löst die Heisenberg-Bewegungsgleichung

$$i \frac{d}{dt} X(t) = [X(t), \mathcal{H}]_-$$

Wir halten fest:

Das Spektrum elementarer Anregungen, bzw. dynamische Größen werden durch zeitabhängige Korrelationsfunktionen

$$\langle A(t) \bar{B}(0) \rangle$$

beschrieben. Ihre Bestimmung ist eine der Hauptaufgaben der QFT.

Bem. Für einen nicht explizit von der Zeit abhängigen Hamilton-Operator gilt

$$\langle A(t) \bar{B}(t') \rangle = \langle A(t-t') \bar{B}(0) \rangle = \langle A(0) \bar{B}(t-t') \rangle$$

(zyklische Invarianz der Spur !)

2) Spektraldichte des freien Systems

Def (Zeitabhängige) Ein-Teilchen-Spektraldichte

$$A_k(t) = \frac{1}{2\pi} \left\langle [c_k(t), c_k^\dagger(0)]_{-\varepsilon} \right\rangle$$

(Fermionen: $\varepsilon = -1$, Bosonen: $\varepsilon = +1$) 1-T-ONB: $\{ |k \rangle \}$

Wir berechnen $A_k(t)$ im freien System H_0 .

$$A_k^{(0)}(t) = \frac{1}{2\pi} \left\langle [c_k(t), c_k^\dagger(0)]_{-\varepsilon} \right\rangle^{(0)}$$

Zeitabhängigkeit
bestimmt durch

$$\text{ze: } c_k(t) = e^{ikt} c_k e^{-ikt}$$



Mittelung im
freien System H_0

Zur Berechnung von $c_k(t)$ beweisen wir zunächst:

$$c_k \mathcal{H}_0^n = (\varepsilon(k) - \mu + \mathcal{H}_0)^n c_k$$

$$\underline{n=1}: \quad c_k \mathcal{H}_0 \stackrel{!}{=} (\varepsilon(k) - \mu + \mathcal{H}_0) c_k \quad \text{bzw.} \quad [c_k, \mathcal{H}_0]_+ = (\varepsilon(k) - \mu) c_k$$

$$\begin{aligned} [c_k, \mathcal{H}_0]_+ &= [c_k, \sum_{k'} (\varepsilon(k') - \mu) c_{k'}^\dagger c_{k'}]_+ \\ &= \sum_{k'} (\varepsilon(k') - \mu) [c_k, n_{k'}]_+ = \sum_{k'} (\varepsilon(k') - \mu) \delta_{kk'} c_k \\ &= (\varepsilon(k) - \mu) c_k \quad \checkmark \quad (\text{Fermionen und Bosonen!}) \end{aligned}$$

$$\begin{aligned} \underline{n \rightarrow n+1}: \quad c_k \mathcal{H}_0^{n+1} &= c_k \mathcal{H}_0^n \mathcal{H}_0 = (\varepsilon(k) - \mu + \mathcal{H}_0)^n c_k \mathcal{H}_0 \\ &= (\varepsilon(k) - \mu + \mathcal{H}_0)^n (\varepsilon(k) - \mu + \mathcal{H}_0) c_k \\ &= (\varepsilon(k) - \mu + \mathcal{H}_0)^{n+1} c_k \quad \checkmark \end{aligned}$$

Damit folgt:

$$\begin{aligned} c_k(t) &= e^{i\mathcal{H}_0 t} c_k e^{-i\mathcal{H}_0 t} = e^{i\mathcal{H}_0 t} c_k \sum_{n=0}^{\infty} \frac{1}{n!} (-it)^n \mathcal{H}_0^n \\ &= \sum_{n=0}^{\infty} \frac{1}{n!} (-it)^n e^{i\mathcal{H}_0 t} c_k \mathcal{H}_0^n \\ &= \sum \frac{1}{n!} (-it)^n e^{i\mathcal{H}_0 t} (\varepsilon(k) - \mu + \mathcal{H}_0)^n c_k \\ &= \sum \frac{1}{n!} (-it)^n (\varepsilon(k) - \mu + \mathcal{H}_0)^n e^{i\mathcal{H}_0 t} c_k \\ &\cancel{\xrightarrow{\mathcal{H}_0}} = e^{-i(\varepsilon(k) - \mu)t} e^{-i\mathcal{H}_0 t} e^{i\mathcal{H}_0 t} c_k \\ &= e^{-i(\varepsilon(k) - \mu)t} \cdot c_k \end{aligned}$$

$$c_k(t) = e^{-i(\varepsilon(k) - \mu)t} \cdot c_k \quad (\text{freies System})$$

(31)

Also:

$$A_k^{(0)}(t) = \frac{1}{2\pi} \underbrace{\langle [c_k, c_k^+]_{-\varepsilon} \rangle}_{1} \cdot e^{-c(\varepsilon(k)-\mu)t}$$

(daher f. -Fermi / Bos. unterschiedl.
Def. der zeitabh. Sp. dichte günstig!)

und für die

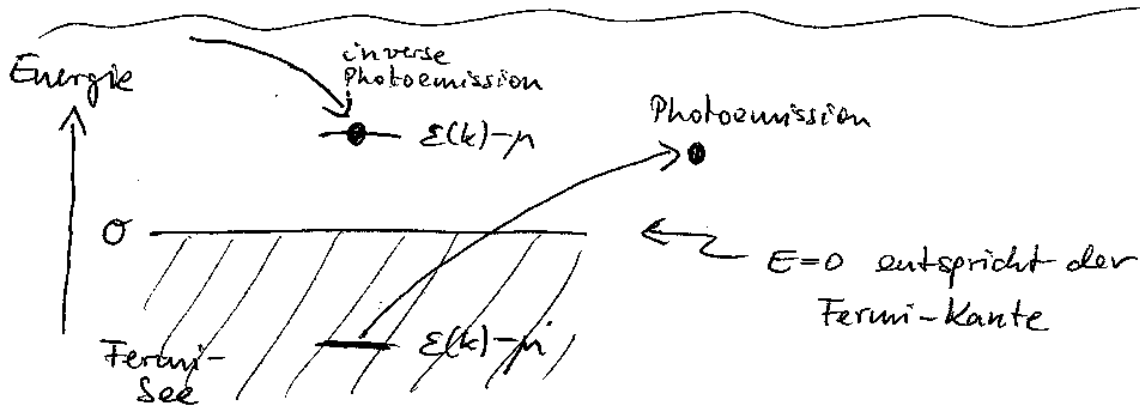
energieabhängige Spektraldichte:

$$A_k^{(0)}(E) = \int_0^\infty e^{cEt} A_k^{(0)}(t) dt = \frac{1}{2\pi} \int_0^\infty dt e^{c(E - (\varepsilon(k) - \mu))t}$$

$$A_k^{(0)}(E) = \delta(E - (\varepsilon(k) - \mu))$$

Beim: Wegen $\langle c_k, c_k^+ \rangle_{-\varepsilon} = \delta_{kk'}$ ist die Spektraldichte in der 1-Teilchen ORB $\{|k\rangle\}$ diagonal:

$$A_{kk'}^{(0)}(t) = \frac{1}{2\pi} \langle [c_k(t), c_{k'}^+(0)]_{-\varepsilon} \rangle = \delta_{kk'} \cdot A_k^{(0)}(t)$$

Anregungsenergie $\varepsilon(k) - \mu$

negativ: PE
positiv: IPE

Unitäre Transformation der Ein-Teilchen-Basis
 $\{|x\rangle\} \rightarrow \{|k\rangle\}$

$$c_x^+ = \sum_k U_{kx}^{-1} c_k^+ \quad c_x^- = \sum_k U_{xk} c_k^-$$

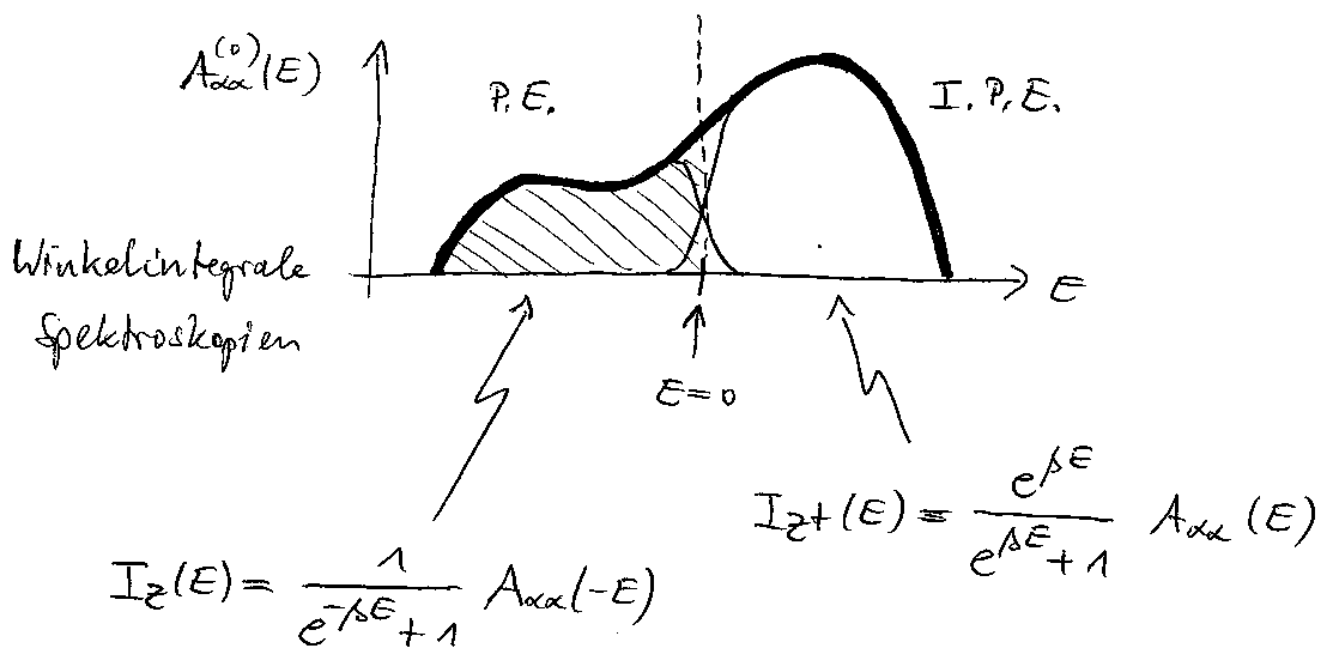
(Anregung eines Photoelektrons aus dem / in das
Orbital $|x\rangle = |cm\sigma\rangle$)

$$\begin{aligned} A_{\alpha\beta}^{(0)}(t) &= \frac{1}{2\pi} \left\langle [c_\alpha(t), c_\beta^+(0)]_{-\varepsilon} \right\rangle^{(0)} \\ &= \frac{1}{2\pi} \sum_{kk'} U_{\alpha k} U_{k'\beta}^{-1} \left\langle [c_k(t), c_{k'}^+(0)]_{-\varepsilon} \right\rangle^{(0)} \\ &= \sum_{kk'} U_{\alpha k} U_{k'\beta}^{-1} \delta_{kk'} A_k^{(0)}(t) \end{aligned}$$

$$A_{\alpha\beta}^{(0)}(E) = \sum_k U_{\alpha k} U_{k\beta}^{-1} \cdot \delta(E - (\varepsilon(k) - \mu))$$

(nach Fourier-Transformation)

$A_{\alpha\beta}^{(0)}(E)$ ist (wegen \sum_k) v. allg. stetig bis auf wenige E
z.B. $\alpha = \beta$, $\varepsilon = -1$, $A_{\alpha\alpha}^{(0)}(E) \geq 0$!



3) Ableitung statischer Größen aus der Spektraldichte

(33)

Die Spektraldichte gibt nicht nur das Anregungsspektrum wieder, sondern bestimmt auch statische Größen, d.h. zeitunabhängige thermodynamische Erwartungswerte. Dies soll für das freie System anhand von einigen Beispielen demonstriert werden. Zunächst:

Def-

Totale (spinabhängige) Zustandsdichte

$$\rho_G(E) = \sum_k A_{kkG}(E-\mu) \quad \rho(E) = \sum_G \rho_G(E)$$

($k = (\vec{k}, \tau)$, ONB von $\mathcal{X}_1 = \{ |k, \epsilon\rangle\}$)

$$\begin{aligned} \text{Wegen } \sum_k A_{kkG}(E-\mu) &= \sum_k \sum_{\alpha\beta} U_{kk\alpha,G}^{-1} U_{kk\beta,G} A_{\alpha\beta G}(E-\mu) \\ &= \sum_{\alpha\beta} \delta_{\alpha\beta} A_{\alpha\alpha G}(E-\mu) = \sum_\alpha A_{\alpha\alpha G}(E-\mu) \text{ gilt auch} \end{aligned}$$

$$\rho_G(E) = \sum_\alpha A_{\alpha\alpha G}(E-\mu)$$

Wir betrachten jetzt das freie System:

$$\mathcal{X}_0 = \sum_{kkC} (\varepsilon(k) - \mu) c_{kkC}^\dagger c_{kkC}$$

$$A_{kkG}^{(0)}(E) = \delta(E - (\varepsilon(k) - \mu))$$

$$\mathcal{X}_0 = \sum_{kkC} (\varepsilon(k) - \mu - \rho z_C B) c_{kkC}^\dagger c_{kkC}$$

$$A_{kkG}^{(0)}(E) = \delta(E - (\varepsilon(k) - \mu - \rho z_C B))$$

↑

mit äußerem Magnetfeld

Mit Hilfe der totalen Zustandsdichte des freien Systems

$$\rho_G^{(0)}(E) = \sum_k A_{kG}^{(0)}(E-\mu) = \sum_k \delta(E - \varepsilon(k) + \mu z_G \beta)$$

können wir schreiben:

$$\langle N \rangle_0 = \sum_{kG} f(\varepsilon(k) - \mu - \mu z_G \beta) = \int_{-\infty}^{\infty} dE f(E - \mu) \rho_G^{(0)}(E)$$

$$\langle N_G \rangle_0 = \int_{-\infty}^{\infty} f(E - \mu) \rho_G^{(0)}(E) dE$$

$$N_0 = \sum_G \mu z_G \langle N_G \rangle_0 = \sum_G \mu z_G \int_{-\infty}^{\infty} f(E - \mu) \rho_G^{(0)}(E) dE$$

$$\begin{aligned} U_0 &= \sum_{kG} (\varepsilon(k) - \mu z_G \beta) f(\varepsilon(k) - \mu - \mu z_G \beta) \\ &= \int_{-\infty}^{\infty} f(E - \mu) \cdot E \cdot \rho(E) dE \end{aligned}$$

Auch die Response - Größen werden durch die Spektrodichte (bzw. durch die Zustandsdichte) festgelegt. Wir benötigen dazu die

Sommerfeld - Entwicklung

Sei $X(E)$ eine hinreichend reguläre, T -unabhängige Funktion mit $X(E) \rightarrow 0$ f. $E \rightarrow \infty$ und $X(E) \sim E^n$ (n beliebig) f. $E \rightarrow \infty$, dann gilt:

$$\int_{-\infty}^{\infty} f(E - \mu) X(E) dE = \int_{-\infty}^{\mu} X(E) dE + \frac{\pi^2}{6} (k_B T)^2 X'(\mu) + O(T^4)$$

• Kompressibilität $k_0 = \frac{V}{\langle N \rangle_0^2} \left. \frac{\partial \langle N \rangle_0}{\partial \mu} \right|_{T,V,S}$

$$\begin{aligned} \frac{\partial \langle N \rangle_0}{\partial \mu} &= \frac{\partial}{\partial \mu} \int_{-\infty}^{\infty} f(E-\mu) \rho^{(0)}(E) dE = \int_{-\infty}^{\infty} \rho^{(0)}(E) \frac{\partial}{\partial \mu} f(E-\mu) dE \\ &= - \int_{-\infty}^{\infty} \rho^{(0)}(E) \frac{\partial}{\partial E} f(E-\mu) dE = \int_{-\infty}^{\infty} f(E-\mu) \rho^{(0)'}(E) dE \\ &= \int_{-\infty}^{\mu} \rho^{(0)'}(E) dE + \frac{\pi^2}{6} (k_B T)^2 \rho^{(0)'}(\mu) + O(T^4) \\ \text{kleine } T &\quad \approx \rho^{(0)}(\mu) \left(1 + \frac{\pi^2}{6} (k_B T)^2 \right) \end{aligned}$$

Halten wir $\langle N \rangle_0$ anstelle von μ fest, so ist dies noch nicht die korrekte Tieftemperaturentwicklung, da μ noch T -abhängig ist.

Sei $\varepsilon_F \equiv \mu|_{T=0}$ (Fermi-Energie)

und $\delta\mu \equiv \mu - \varepsilon_F$

$$\begin{aligned} \langle N \rangle_0 &= \int_{-\infty}^{\mu} f(E-\mu) \rho^{(0)}(E) dE \\ &= \int_{-\infty}^{\mu} \rho^{(0)}(E) dE + \frac{\pi^2}{6} (k_B T)^2 \rho^{(0)'}(\mu) + O(T^4) \\ &\approx \underbrace{\int_{-\infty}^{\varepsilon_F} \rho^{(0)}(E) dE}_{\langle N \rangle_0} + \delta\mu \rho^{(0)}(\varepsilon_F) + \frac{\pi^2}{6} (k_B T)^2 \rho^{(0)'}(\mu) \end{aligned}$$

Damit folgt:

$$\delta\mu = -\frac{\pi^2}{6}(k_B T)^2 \frac{\rho^{(0)'}(\mu)}{\rho^{(0)}(\varepsilon_F)} \quad \text{bzw.} \quad (36)$$

$$\boxed{\delta\mu = -\frac{\pi^2}{6}(k_B T)^2 \frac{\rho^{(0)'}(\varepsilon_F)}{\rho^{(0)}(\varepsilon_F)}}$$

Also

$$\begin{aligned} \frac{\partial \langle N \rangle_o}{\partial \mu} &= \left(\rho^{(0)}(\varepsilon_F) + \delta\mu \rho^{(0)'}(\varepsilon_F) \right) \left(1 + \frac{\pi^2}{6}(k_B T)^2 \right) \\ &= \rho^{(0)}(\varepsilon_F) + \frac{\pi^2}{6}(k_B T)^2 \rho^{(0)}(\varepsilon_F) - \frac{\pi^2}{6}(k_B T)^2 \frac{\rho^{(0)'}(\varepsilon_F)^2}{\rho^{(0)}(\varepsilon_F)} + \mathcal{O}(T^4) \\ &= \rho^{(0)}(\varepsilon_F) \left(1 + \frac{\pi^2}{6}(k_B T)^2 - \frac{\pi^2}{6}(k_B T)^2 \left(\frac{\rho^{(0)'}(\varepsilon_F)}{\rho^{(0)}(\varepsilon_F)} \right)^2 \right) \end{aligned}$$

$$\boxed{k_o = \frac{V}{\langle N \rangle_o^2} \cdot \rho^{(0)}(\varepsilon_F) \cdot \left(1 + \frac{\pi^2}{6}(k_B T)^2 \left(1 - \left(\frac{\rho^{(0)'}(\varepsilon_F)}{\rho^{(0)}(\varepsilon_F)} \right)^2 \right) \right)}$$

- Wärmekapazität $C_V^{(o)} = \left. \frac{\partial U_o}{\partial T} \right|_{N_o, V, B}$

Berechnet die innere Energie

$$\begin{aligned} U_o &= \int_{-\infty}^{\infty} f(E)\mu \cdot \rho^{(0)}(E) dE \\ &= \int_{-\infty}^{\varepsilon_F} E \rho^{(0)}(E) dE + \frac{\pi^2}{6}(k_B T)^2 (\mu \rho^{(0)'}(\mu) + \rho^{(0)}(\mu)) + \cancel{\mathcal{O}(T^4)} \\ &\approx \int_{-\infty}^{\varepsilon_F} E \rho^{(0)}(E) dE + \delta\mu \varepsilon_F \rho^{(0)}(\varepsilon_F) + \frac{\pi^2}{6}(k_B T)^2 (\varepsilon_F \rho^{(0)'}(\varepsilon_F) + \rho^{(0)}(\varepsilon_F)) \end{aligned}$$

$$= U_0 \Big|_{T=0} + \frac{\pi^2}{6} (k_B T)^2 \rho^{(0)}(\varepsilon_F)$$

(37)

$$\boxed{U_0(T) = U_0(T=0) + \frac{\pi^2}{6} (k_B T)^2 \cdot \rho^{(0)}(\varepsilon_F)}$$

Für die Wärmekapazität folgt:

$$\boxed{C_V^{(0)} = \mu_0 \cdot T \quad \mu_0 = \frac{\pi^2}{3} k_B^2 \rho^{(0)}(\varepsilon_F)}$$

- Suszeptibilität $\chi_0 = \mu_0 \frac{1}{V} \frac{\partial \mathcal{H}_0}{\partial B} \Big|_{T, V, \mu}$

$$\frac{\partial \mathcal{H}_0}{\partial B} = \frac{\partial}{\partial B} \sum_c p z_c \int_{-\infty}^{\infty} f(E-\mu) \rho_c^{(0)}(E) dE \quad \rho = \frac{1}{2} g \mu_B$$

$$= \rho \sum_c z_c \int_{-\infty}^{\infty} f(E-\mu) \underbrace{\frac{\partial}{\partial B} \rho_c^{(0)}(E)}_{p z_c \frac{\partial}{\partial (\rho z_c B)} \rho_c^{(0)}(E)} dE$$

$$= \rho^2 \sum_c z_c^2 \int_{-\infty}^{\infty} f(E-\mu) \rho_c^{(0)'}(E) dE$$

$$= \rho^2 \int_{-\infty}^{\infty} f(E-\mu) \rho^{(0)'}(E) dE$$

$$= \rho^2 \left[\rho^{(0)}(\mu) + \frac{\pi^2}{6} (k_B T)^2 \rho^{(0)''}(\mu) \right] + O(T^4)$$

$$= \rho^2 \left[\rho^{(0)}(\varepsilon_F) + \delta \mu \rho^{(0)'}(\varepsilon_F) + \frac{\pi^2}{6} (k_B T)^2 \rho^{(0)''}(\varepsilon_F) \right]$$

$$= \rho^2 \rho^{(0)}(\varepsilon_F) \left[1 + \frac{\pi^2}{6} (k_B T)^2 \left(\frac{\rho^{(0)''}(\varepsilon_F)}{\rho^{(0)}(\varepsilon_F)} - \left(\frac{\rho^{(0)'}(\varepsilon_F)}{\rho^{(0)}(\varepsilon_F)} \right)^2 \right) \right]$$

Also:

$$\chi_0 = \frac{\mu_0 p^2}{V} \rho^{(0)}(\epsilon_F) \left[1 + \frac{\pi^2}{6} (k_B T)^2 \left[\frac{\rho^{(0)''}(\epsilon_F)}{\rho^{(0)}(\epsilon_F)} - \left(\frac{\rho^{(0)'}(\epsilon_F)}{\rho^{(0)}(\epsilon_F)} \right)^2 \right] \right]$$

Die abgeleiteten Ausdrücke für $C_V^{(0)}$, χ_0 , κ_0 charakterisieren das nicht-wechselwirkende Gas von Fermionen auf einem Gitter. Das Gitter geht (nur) über die Zustandsdichte (und deren Ableitungen) an der Fermi-Energie ein. Die Form des Ausdrücke basiert entscheidend auf (der für Elektronen gültigen) Fermi-Statistik. Die offene und interessante Frage ist, wie sich die Elektron-Elektron-WW bemerkbar macht. Der Vergleich von C_V , χ , κ mit $C_V^{(0)}$, χ_0 , κ_0 wird zeigen, ob und inwieweit eine wechselwirkende Fermi-Flüssigkeit als eine "modifizierte" Fermi-Gas verstanden werden kann.

II Ein-Teilchen - Matsubara - Funktion

Die Ein-Teilchen - Matsubara - Funktion, die wir folgenden definiert werden soll, ist die zentrale Größe der QFT, da für sie eine geeignete Diagrammdarstellung gefunden werden kann. Sie ist allerdings nicht von direktem Interesse, sondern als Hilfsgröße zu verstehen, aus der z.B. die (wechselwirkende) Spektraldichte und auch alle thermodynamischen Erwartungswerte abgeleitet werden können.

II A Wick - Rotation

Nun betrachte eine zeitabhängige Korrelationsfunktion:

$$\begin{aligned}
 \langle A(t) B(0) \rangle &= \frac{1}{\text{Sp } e^{-\beta \omega}} \text{Sp} (e^{-\beta \omega} A(t) B(0)) \\
 &= \frac{1}{\text{Sp}} \text{Sp} (e^{-\beta \omega} e^{i \omega t} A e^{-i \omega t} B) \\
 &= \frac{1}{\text{Sp}} \text{Sp} (e^{i \omega (t+i\beta)} A e^{-i \omega (t+i\beta)} e^{-\beta \omega} B) \\
 &= \frac{1}{\text{Sp}} \text{Sp} (e^{-\beta \omega} B e^{i \omega (t+i\beta)} A e^{-i \omega (t+i\beta)}) \\
 &= \langle B(0) A(t+i\beta) \rangle
 \end{aligned}$$

Es macht also Sinn, die Definition von Operatoren im Heisenberg - Bild auf komplexe Zeiten wie $t+i\beta$ zu erweitern.

Wir schreiben

$$t = \vartheta - i\tau \quad \text{mit } \vartheta, \tau \text{ reell}$$

und definieren für einen nicht explizit zeitabhängigen Operator A :

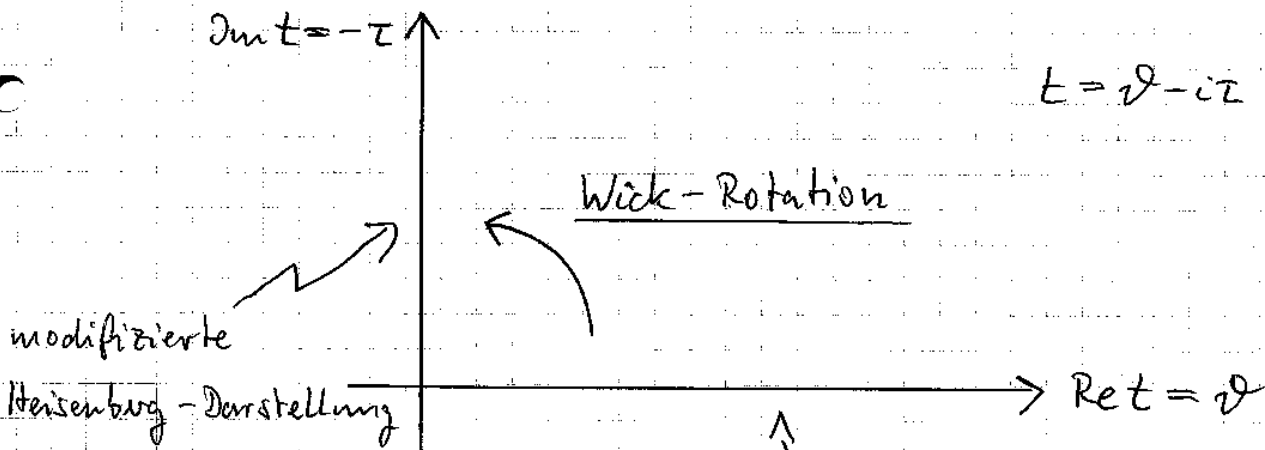
$$A(\vartheta, \tau) = e^{i\vartheta(\vartheta-i\tau)} A e^{-i\vartheta(\vartheta-i\tau)}$$

Zu folgenden benötigen wir nur den Fall $\vartheta = 0$, betrachten also rein imaginäre Zeiten. Für einen nicht explizit zeitabhängigen Operator A definieren wir die sogenannte

Def.

Modifizierte Heisenberg-Darstellung

$$A(\tau) = e^{\vartheta\tau} A e^{-\vartheta\tau}$$



$$A(\tau) = e^{\vartheta\tau} A e^{-\vartheta\tau} = A(0, \tau)$$

$$A(\vartheta) = e^{i\vartheta\vartheta} A e^{-i\vartheta\vartheta} = A(\vartheta, 0)$$

$A(z)$ erfüllt eine modifizierte Heisenberg-Bewegungsgleichung, die sogenannte Bloch-Gleichung

$$-\frac{\partial}{\partial z} A(z) = [A(z), \mathcal{H}]$$

Der Sinn der Wick-Rotation besteht darin, dass es gelingt, für (imaginär) zeitabhängige Korrelationsfunktionen vom Typ $\langle A(z) B(0) \rangle$ eine Entwicklung in Potenzen des Wechselwirkungsanteils von H zu begründen und diagrammatisch darzustellen. Für reell zeitabhängige Korrelationsfunktionen vom Typ $\langle A(\tau) B(0) \rangle$ gelingt dies c. allg. nicht.

Eine Ausnahme in dieser Hinsicht stellt der Spezialfall $T=0$ dar. Eine Störungsentwicklung ist hier allerdings nur unter zusätzlichen Annahmen möglich (Hypothese des adiabatischen Einschaltens).

Für die Konstruktionsoperatoren $c_\alpha, c_\alpha^\dagger$ ist

$$c_\alpha(z) = e^{\alpha z} c_\alpha e^{-\alpha z}$$

$$c_\alpha^\dagger(z) = e^{\alpha z} c_\alpha^\dagger e^{-\alpha z}$$

$c_\alpha(z)$ und $c_\alpha^\dagger(z)$ sind (für $z \neq 0$) nicht mehr adjungiert zueinander!

Transformation in die Ein-Teilchen-Basis, in der H_0 diagonal ist:

$$c_k^+(z) = e^{2iz} c_k^+ e^{-2iz} = e^{2iz} \sum_{\alpha} u_{\alpha k} c_{\alpha}^+ e^{-2iz}$$

$$= \sum_{\alpha} u_{\alpha k} c_{\alpha}^+(z)$$

Zeitabhängigkeit im freien System, $H = H_0$:

Analog zu $c_k^+(t) = e^{i(\varepsilon(k)-\mu)t} c_k^+$ folgt hier

$c_k^+(z) = e^{(\varepsilon(k)-\mu)z} c_k^+$	(freies System)
$c_k(z) = e^{-(\varepsilon(k)-\mu)z} c_k$	

Die Ausdrücke folgen aus separaten (analogen) Bedingungen, nicht aber durch Adjungieren!

II B (zeitabhängige) Matsubara-Funktion

Für ein System von identischen Fermionen / Bosonen definieren wir den

(Def.)

Zeitordnungsoperator T_z

$$T_z (c_{\alpha_1}^{(+)}(z_1) c_{\alpha_2}^{(+)}(z_2) \dots)$$

$$= \varepsilon^P c_{\alpha_{P(1)}}^{(+)}(z_{P(1)}) c_{\alpha_{P(2)}}^{(+)}(z_{P(2)}) \dots$$

wobei P die Permutation ist, die die Zeitordnung bewirkt:

$$z_{P(1)} > z_{P(2)} > \dots$$

"frühere Operatoren operieren früher"

(Bsp.) Bosonen, $\tau_1 < \tau_2$

$$\begin{aligned} T_{\tau_2}(c_{\alpha}(\tau_1) c_{\beta}(\tau_2)) &= + c_{\beta}(\tau_2) c_{\alpha}(\tau_1) \\ &= T_{\tau_2}(c_{\beta}(\tau_2) c_{\alpha}(\tau_1)) \end{aligned}$$

(Bsp.) Fermionen, $\tau_1 < \tau_3 < \tau_2$

$$\begin{aligned} T_{\tau_2}(c_{\alpha_1}(\tau_1) c_{\alpha_2}^{\dagger}(\tau_2) c_{\alpha_3}(\tau_3)) &= + c_{\alpha_2}^{\dagger}(\tau_2) c_{\alpha_3}(\tau_3) c_{\alpha_1}(\tau_1) \\ &= T_{\tau_2}(c_{\alpha_2}^{\dagger}(\tau_2) c_{\alpha_3}(\tau_3) c_{\alpha_1}(\tau_1)) = - T_{\tau_2}(c_{\alpha_3}(\tau_3) c_{\alpha_2}^{\dagger}(\tau_2) c_{\alpha_1}(\tau_1)) \end{aligned}$$

(Def.)

Ein-Teilchen-Nebenbar-Funktion

auch: Temperatur-Green-Funktion

Für (imaginäre) Zeiten, $\tau \in \mathbb{R}$, mit $-\beta < \tau < \beta = \frac{1}{k_B T}$
sei

$$G_{\alpha\beta}(\tau) \equiv - \langle T_{\tau}(c_{\alpha}(\tau) c_{\beta}^{\dagger}(0)) \rangle$$

Für die Ein-Teilchen-ONB $\{|k\rangle\}$, in der \hat{x}_0 diagonal ist, definieren wir:

$$G_k(\tau) \equiv - \langle T_{\tau}(c_k(\tau) c_k^{\dagger}(0)) \rangle$$

Eigenschaften

- $G_{\alpha\beta}(\tau)$ ist c. allg. unstetig bei $\tau=0$:

$$\begin{aligned} G_{\alpha\beta}(\tau=0^+) &= -\langle T_\tau(c_\alpha(0^+) c_\beta^\dagger(0)) \rangle \\ &= -\langle c_\alpha(0^+) c_\beta^\dagger(0) \rangle = -\langle c_\alpha c_\beta^\dagger \rangle \\ &= -\delta_{\alpha\beta} - \varepsilon \langle c_\beta^\dagger c_\alpha \rangle \quad (c_\alpha c_\beta^\dagger - \varepsilon c_\beta^\dagger c_\alpha = \delta_{\alpha\beta}) \end{aligned}$$

$$\begin{aligned} G_{\alpha\beta}(\tau=0^-) &= -\langle T_\tau(c_\alpha(0^-) c_\beta^\dagger(0)) \rangle \\ &= -\varepsilon \langle c_\beta^\dagger(0) c_\alpha(0^-) \rangle = -\varepsilon \langle c_\beta^\dagger c_\alpha \rangle \end{aligned}$$

⇒

$$G_{\alpha\beta}(0^+) - G_{\alpha\beta}(0^-) = -\delta_{\alpha\beta} \quad (\varepsilon = \pm 1)$$

- Wegen $\mathbb{E}\langle c_\alpha(\tau_1) c_\beta^\dagger(\tau_2) \rangle = \text{Sp}(e^{\beta\omega} e^{2\omega\tau_1} c_\alpha e^{-\omega\tau_1} \times e^{\omega\tau_2} c_\beta^\dagger e^{-\omega\tau_2}) = \text{Sp}(e^{-\beta\omega} e^{\omega(\tau_1-\tau_2)} c_\alpha e^{-\omega(\tau_1-\tau_2)} c_\beta^\dagger)$

$$= \mathbb{E}\langle c_\alpha(\tau_1-\tau_2) c_\beta^\dagger(0) \rangle \text{ kann man auch schreiben:}$$

$$G_{\alpha\beta}(\tau_1-\tau_2) = -\langle T_\tau(c_\alpha(\tau_1) c_\beta^\dagger(\tau_2)) \rangle$$

(für τ_1, τ_2 mit $-\beta < \tau_1-\tau_2 < \beta$)

Homogenität der Ratenbaran-Funktion für nicht explizit zeitabhängigen Hamilton-Operator

(45)

- Sei $-\beta < \tau < 0$, dann ist $0 < \tau + \beta < \beta$ und:

$$\begin{aligned}
 G_{\alpha\beta}(\tau) &= -\langle T_\tau (c_\alpha(z) c_\beta^\dagger(0)) \rangle = -\varepsilon \langle c_\beta^\dagger(0) c_\alpha(z) \rangle \\
 &= -\varepsilon \frac{1}{2} \text{Sp} (e^{\beta z} c_\beta e^{z\tau} c_\alpha e^{-\tau z}) \\
 &= -\varepsilon \frac{1}{2} \text{Sp} (e^{z\tau} c_\alpha e^{-\tau z} e^{-\beta z} c_\beta^\dagger) \\
 &= -\varepsilon \frac{1}{2} \text{Sp} (e^{-\beta z} e^{z(\tau+\beta)} c_\alpha e^{-\tau z(\tau+\beta)} c_\beta^\dagger) \\
 &= -\varepsilon \langle c_\alpha(\tau+\beta) c_\beta^\dagger(0) \rangle \\
 &= -\varepsilon \langle T_\tau (c_\alpha(\tau+\beta) c_\beta^\dagger(0)) \rangle \\
 &= \varepsilon G_{\alpha\beta}(\tau+\beta)
 \end{aligned}$$

$G_{\alpha\beta}(\tau) = \varepsilon G_{\alpha\beta}(\tau+\beta) \quad \text{für } -\beta < \tau < 0$

- Not $c_k^\dagger(z) = \sum_n U_{nk} c_n^\dagger(z)$

$$c_k(z) = \sum_n U_{k\bar{n}}^\dagger c_{\bar{n}}(z) \quad \text{folgt unmittelbar}$$

$$G_k(\tau) = \sum_{\alpha\beta} U_{k\bar{n}}^\dagger G_{\alpha\beta}(\tau) U_{\bar{n}k} \quad \text{bzw.}$$

$$G_{\alpha\beta}(\tau) = \sum_k U_{nk} G_k(\tau) U_{k\beta}^\dagger$$

(Bern.) Dazu ist die Definition von T_τ etwas auszudehnen:

$$T_\tau \sum_{\alpha_1 \alpha_2 \dots} x_{\alpha_1 \alpha_2 \dots} c_{\alpha_1}^{(4)}(\tau_1) c_{\alpha_2}^{(4)}(\tau_2) \dots$$

$$\equiv \sum_{\alpha_1 \alpha_2 \dots} x_{\alpha_1 \alpha_2 \dots} T_\tau (c_{\alpha_1}^{(4)}(\tau_1) c_{\alpha_2}^{(4)}(\tau_2) \dots)$$

• freie Matsubara - Funktion

für $\lambda = \lambda_0$ und mit $C_k(z) = e^{-(\varepsilon(k)-\mu)z} c_k$,

$C_k^+(z) = e^{(\varepsilon(k)-\mu)z} c_k^+$ und $\Theta(z) = \begin{cases} 1 & \text{f. } z > 0 \\ 0 & \text{f. } z < 0 \end{cases}$:

$$\begin{aligned} G_k^{(0)}(z) &= -\langle T_z (C_k(z) C_k^+(0)) \rangle^{(0)} \\ &= -\langle C_k(z) C_k^+(0) \rangle^{(0)} \Theta(z) + \varepsilon \langle C_k^+(0) C_k(z) \rangle^{(0)} \Theta(-z) \\ &= -e^{-(\varepsilon(k)-\mu)z} [\Theta(z) \langle C_k C_k^+ \rangle^{(0)} + \varepsilon \Theta(-z) \langle C_k^+ C_k \rangle^{(0)}] \end{aligned}$$

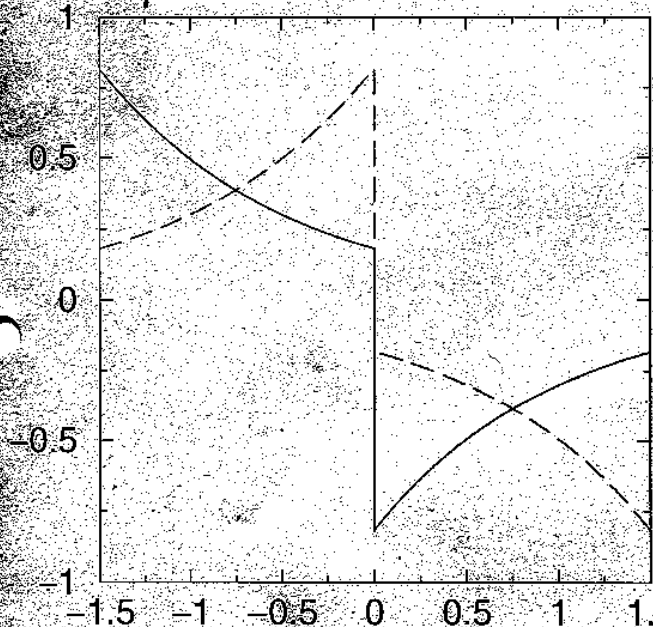
$$G_k^{(0)}(z) = -e^{-(\varepsilon(k)-\mu)z} [\Theta(z)(1 + \varepsilon \langle n_k \rangle^{(0)}) + \Theta(-z) \varepsilon \langle n_k \rangle^{(0)}]$$

wo bei $\langle n_k \rangle^{(0)} = \frac{1}{e^{(\varepsilon(k)-\mu)/T} - \varepsilon}$

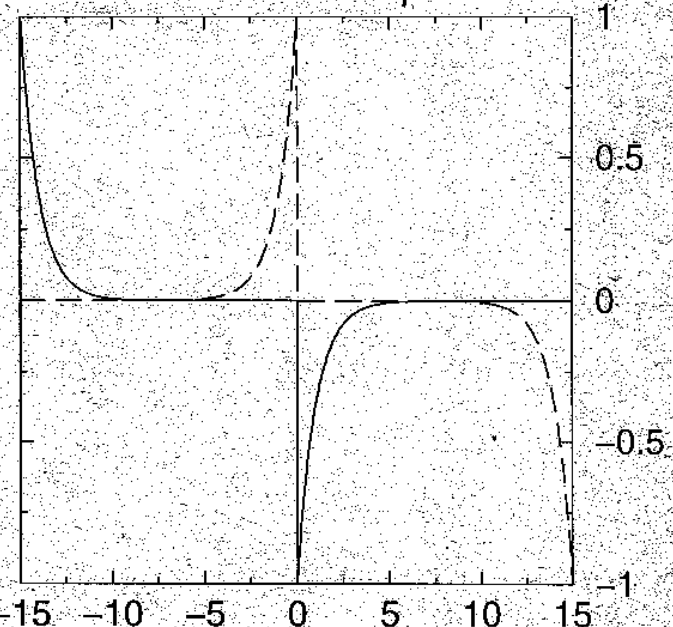
(47)

$$G_k(\tau) \text{ f. } -\mu < \epsilon_k < \mu \text{ und } \epsilon(k) - \mu = \begin{cases} 1, & \text{---} \\ -1, & \text{---} \end{cases}$$

$\beta = 1.5$

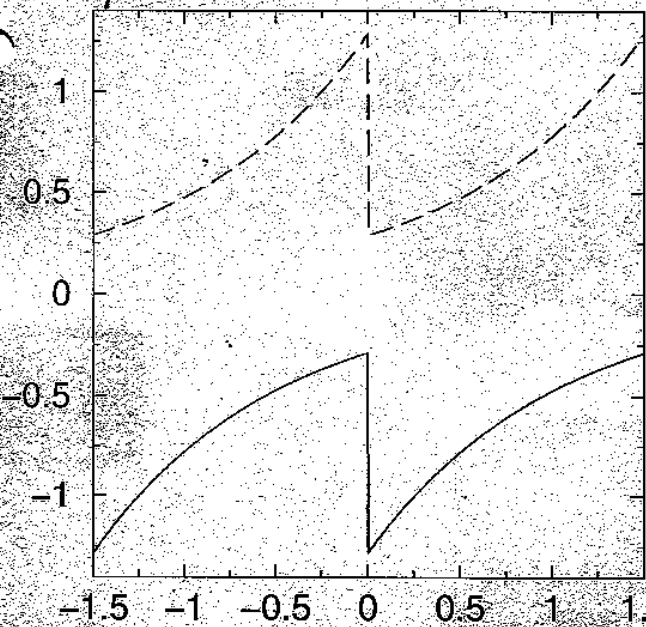


$\beta = 15.0$

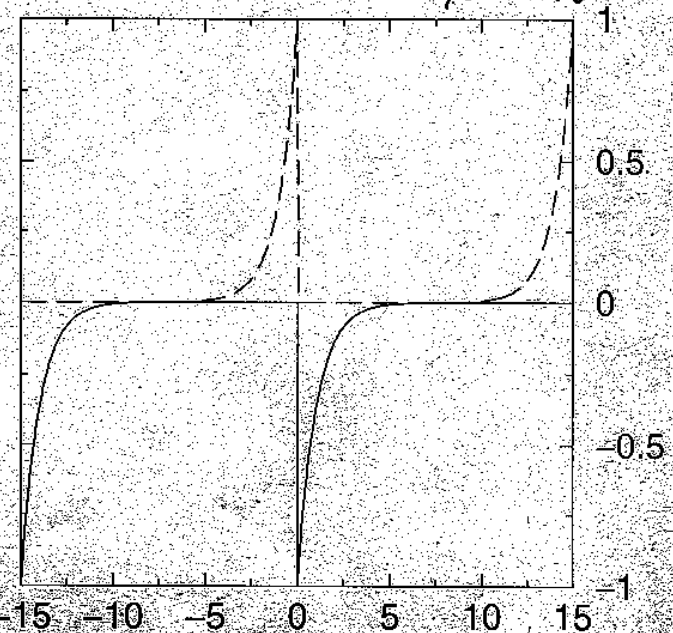


Bosonen, $\varepsilon = +1$

$\beta = 1.5$



$\beta = 15.0$



II C Energieabhängige Ein-Teilchen-Nambu-Funktion

Für explizite Rechnungen erweist sich die Zeitdarstellung der Nambu-Funktion als ungünstig. Die Anrechnung von Diagrammen wird durch die mit $\theta(z), \theta(-z)$ auftretenden Fallunterscheidungen unhandlich.

Für $E(k) - \mu \geq 0$ und $z \rightarrow \mp \infty$ divergiert $G_{\alpha\beta}(z)$ exponentiell. Um einen geeigneten Übergang zur Energiedarstellung zu ermöglichen, wird daher in der Definition der Nambu-Funktion die Einschränkung $-\beta < z < \beta$ vorgenommen. Für $|z| > \beta$, $z < -\beta$ benutzt man die folgende Verallgemeinerung:

(Def.)

$$G_{\alpha\beta}(z) \equiv G_{\alpha\beta}(z + n \cdot 2\beta), \quad n = \dots, -1, 0, 1, \dots$$

(periodische Fortsetzung)

Die Nambu-Funktion wird dadurch periodisch mit Periode 2β und kann somit in eine Fourier-Reihe entwickelt werden:

$$G_{\alpha\beta}(z) = \frac{1}{\beta} \sum_{n=-\infty}^{\infty} a_{\alpha\beta}^{(n)} \cdot e^{-i \frac{n\pi}{\beta} z}$$

↑ ↑
 Fourier- periodisch mit
 Koeffizienten $z \rightarrow z + 2\beta$,

(49)

Für die Fourier-Koeffizienten gilt:

$$a_{\alpha\beta}^{(n)} = \frac{1}{2} \int_{-\beta}^{\beta} dz G_{\alpha\beta}(z) e^{-i \frac{n\pi}{\beta} z}$$

(Bem.)

$f_n(z) = \text{const.} \times e^{-i \frac{n\pi}{\beta} z}$ ist ein vollständiges und orthonormiertes Funktionensystem auf $[-\beta, \beta]$.

Festlegung der Vorfaktoren:

$$\begin{aligned} \frac{1}{2} \int_{-\beta}^{\beta} dz e^{i \frac{n\pi}{\beta} z} G_{\alpha\beta}(z) &= \frac{1}{2} \int_{-\beta}^{\beta} dz e^{i \frac{n\pi}{\beta} z} \frac{1}{\beta} \sum_{m=-\infty}^{\infty} a_{\alpha\beta}^{(m)} e^{-i \frac{m\pi}{\beta} z} \\ &= \sum_{m=-\infty}^{\infty} a_{\alpha\beta}^{(m)} \cdot \frac{1}{2\beta} \int_{-\beta}^{\beta} dz e^{i(n-m)\frac{\pi}{\beta} z} = \sum_{m=-\infty}^{\infty} a_{\alpha\beta}^{(m)} \delta_{mn} = a_{\alpha\beta}^{(n)} \quad \checkmark \end{aligned}$$

Durch Ansätzen der Relation $G_{\alpha\beta}(z) = \varepsilon G_{\alpha\beta}(z+\beta)$ für $-\beta < z < 0$

ergibt:

$$\begin{aligned} a_{\alpha\beta}^{(n)} &= \frac{1}{2} \int_0^{\beta} dz G_{\alpha\beta}(z) e^{i \frac{n\pi}{\beta} z} + \frac{1}{2} \int_{-\beta}^0 dz G_{\alpha\beta}(z) e^{i \frac{n\pi}{\beta} z} \\ &= \underline{\underline{n}} + \frac{1}{2} \int_{-\beta}^0 dz \varepsilon G_{\alpha\beta}(z+\beta) e^{i \frac{n\pi}{\beta} z} \\ &= \underline{\underline{n}} + \frac{1}{2} \int_0^{\beta} dz' \varepsilon G_{\alpha\beta}(z') e^{i \frac{n\pi}{\beta} z'} e^{-i n\pi} \\ &= (1 + \varepsilon e^{-i n\pi}) \frac{1}{2} \int_0^{\beta} dz G_{\alpha\beta}(z) e^{i \frac{n\pi}{\beta} z} \end{aligned}$$

$\varepsilon = -1$, Fermionen! $(\dots) \neq 0$ falls n ungerade

$\varepsilon = +1$, Bosonen! $(\dots) \neq 0$ falls n gerade

Def.

(fermionische/bosonische) Matsubara-Energien

$$iE_n = i(2n+1)\frac{\pi}{\beta} \quad (\text{Fermionen})$$

$$n = \dots, -1, 0, 1, \dots$$

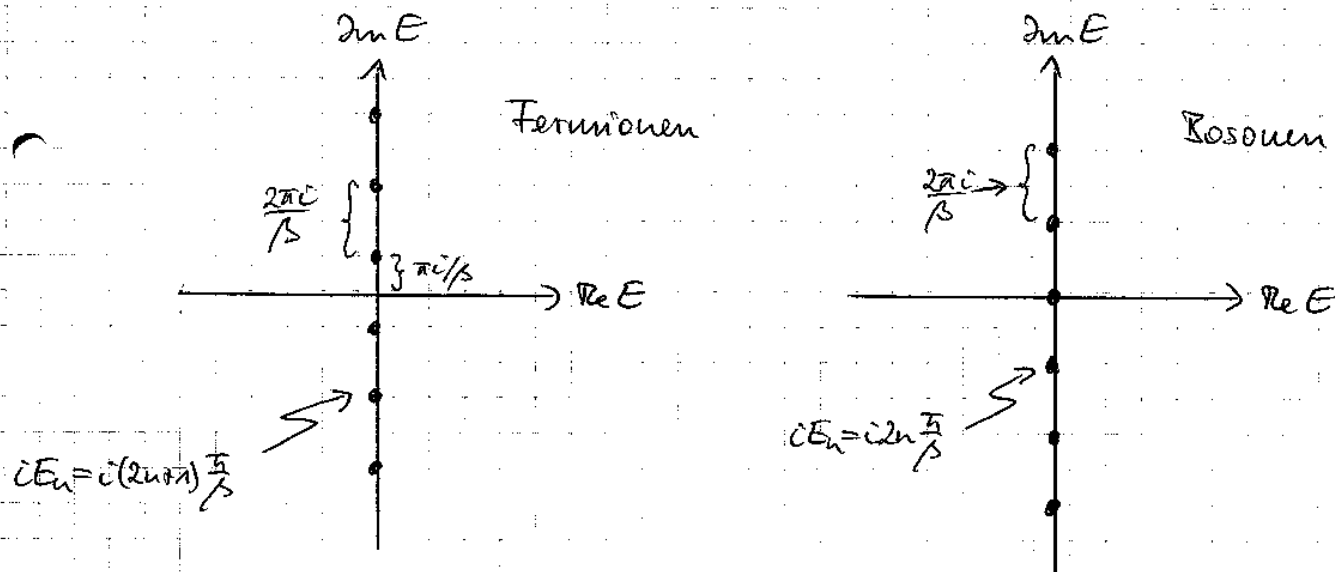
$$iE_n = i2n\frac{\pi}{\beta} \quad (\text{Bosonen})$$

Damit ist:

$$\boxed{G_{qs}(z) = \frac{1}{\beta} \sum_{n=-\infty}^{\infty} e^{-iE_n z} G_{qs}(iE_n)}$$

$$G_{qs}(iE_n) = \int_0^\beta G_{qs}(z) e^{iE_n z} dz$$

Die Fourier-Koeffizienten $G_{qs}(iE_n) \equiv a_{qs}^{(n)}$ definieren die energieabhängige Matsubara-Funktion. $G_{qs}(iE_n)$ ist auf einer diskreten Menge von rein imaginären Energien gegeben:



II D Spektraldarstellung

Die energieabhängige Matsubara-Funktion ist auch deshalb von besonderer Bedeutung, weil sie in direktem Zusammenhang mit der spektral dichte steht. Dies lässt sich mit Hilfe der Spektraldarstellung der Matsubara-Funktion zeigen.

Seien E_r, E_s Eigenenergien und $|r\rangle, |s\rangle$ Eigenzustände von \hat{Z} . iE_n bezeichne eine Matsubara-Energie (keine Eigenenergie!).

Es gilt:

$$\begin{aligned} G_{\alpha\beta}(iE_n) &= \int_0^\beta G_{\alpha\beta}(z) e^{iE_n z} dz = \int_0^\beta (-n) \langle T_z (\alpha(z) c_\alpha^\dagger(0)) \rangle e^{iE_n z} dz \\ &= - \int_0^\beta dz e^{iE_n z} \frac{1}{S} \sum_r e^{-\beta E_r} \langle r | e^{izc_\alpha^\dagger} e^{-izc_\alpha} | r \rangle \\ &= - \int_0^\beta dz e^{iE_n z} \frac{1}{S} \sum_{rs} e^{-\beta E_r} e^{E_r z} e^{-E_s z} \langle r | c_\alpha | s \rangle \langle s | c_\alpha^\dagger | r \rangle \end{aligned}$$

Die z -Integration kann ausgeführt werden:

$$\begin{aligned} \int_0^\beta dz e^{(iE_n + E_r - E_s)z} &= \frac{1}{iE_n + E_r - E_s} (e^{(iE_n + E_r - E_s)\beta} - 1) \\ &= \frac{1}{iE_n - (E_s - E_r)} (e^{-\beta(E_s - E_r)} - 1) \\ e^{iE_n} &= \varepsilon \end{aligned}$$

Also ist:

$$\begin{aligned} G_{\alpha\beta}(iE_n) &= \frac{1}{S} \sum_{rs} e^{-\beta E_r} (1 - \varepsilon e^{-\beta(E_s - E_r)}) \times \\ &\quad \times \langle r | c_\alpha | s \rangle \langle s | c_\alpha^\dagger | r \rangle \frac{1}{iE_n - (E_s - E_r)} \end{aligned}$$

Für die Ein-Teildaten-Spektraldichte gilt nach S. 27
(mit leichter Verallgemeinerung auf beliebige Operatoren
 A und B , vgl. S. 28):

$$A_{\text{sys}}(E) = \frac{1}{\sum_{rs}} \sum_{rs} e^{-\beta E_s} (e^{\beta E_r} - \varepsilon) \langle r | c_a | s \rangle \langle s | c_b^\dagger | r \rangle \delta(E - (E_s - E_r))$$

(Lehmann-Darstellung)

mit $E = E_s - E_r$ (δ -Fkt.) ist $e^{-\beta E_s} (e^{\beta E_r} - \varepsilon) = e^{\beta E_r} (1 - \varepsilon e^{-\beta (E_s - E_r)})$,
also:

$$A_{\text{sys}}(E) = \frac{1}{\sum_{rs}} \sum_{rs} e^{\beta E_r} (1 - \varepsilon e^{-\beta (E_s - E_r)}) \langle r | c_a | s \rangle \langle s | c_b^\dagger | r \rangle \delta(E - (E_s - E_r))$$

Der Zusammenhang ist jetzt offensichtlich

Spektraldarstellung der Matsubara-Funktion

$$G_{\text{sys}}(iE_n) = \int_{-\infty}^{\infty} \frac{A_{\text{sys}}(E')}{iE_n - E'} dE'$$

Damit haben sich die Definitionen der zeit- bzw. energieabhängigen
Matsubara-Funktionen als sinnvoll erwiesen: Durch die
im Anschluss an entwickelnde Diagrammtechnik kann
 $G_{\text{sys}}(\varepsilon)$ bzw. $G_{\text{sys}}(iE_n)$ berechnet werden. Durch Umkehrung
des Zusammenhangs oben erhält man dann die
Spektraldichte und damit die gewünschte Information
über dynamische und statische Systemeigenschaften.

Wie oder sieht die Umkehrung konkret aus?

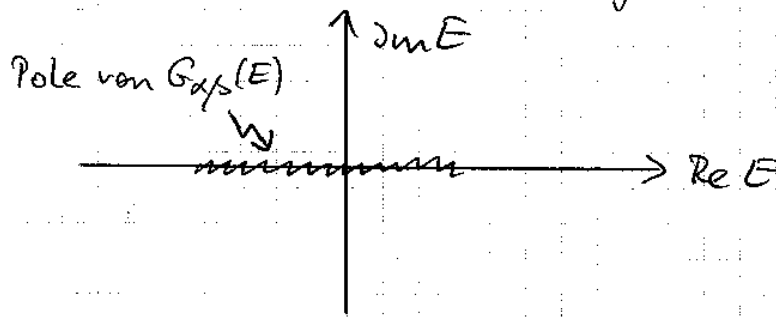
Wir definieren davon die Green-Funktion:

Def.

$$G_{\text{gs}}(E) = \int_{-\infty}^{\infty} \frac{A_{\text{gs}}(E')}{E - E'} dE'$$

für beliebige, komplexe Energien E

Die Green-Funktion ist eine analytische Funktion in der oberen wie in der unteren E -Halbebene. Auf der reellen E -Achse besitzt sie Pole 1. Ordnung



An den Stellen $E = i\tilde{E}_n$ stimmt die Green-Funktion per Definition mit der Matsubara-Funktion überein.

Wir benutzen nun einen Satz aus der Funktionentheorie:

Satz:

Sind $F_1(E)$ und $F_2(E)$ zwei in einer Umgebung eines Punktes $E_0 \in \mathbb{C}$ analytische Funktionen und ist $\{E_j\}_{j=1,2,\dots}$ eine Folge komplexer Zahlen, die gegen E_0 konvergiert, so folgt aus

$$F_1(E_j) = F_2(E_j) \quad \forall j$$

dass

$$F_1(E) = F_2(E) \quad \forall E \in \mathbb{C}$$

(54)

Die Ratsunbara - Energien iE_n können als eine Folge mit
 $\lim_{n \rightarrow \infty} (iE_n = \omega \in \mathbb{C} \cup \{\infty\})$ aufgefasst werden. Dies hat
die Konsequenz, dass die Ratsunbara - Funktion die
Green - Funktion in der gesamten komplexen Ebene
eindeutig festlegt.

Der erste Schritt der Umkehrung ist damit getan:

$$G_{\text{RS}}(iE_n) \xrightarrow[\text{Fortsetzung}]{\text{analytische}} G_{\text{GF}}(E)$$

Fragen wir jetzt, wie man sich aus der Green - Funktion
die Spektraldichte beschaffen kann. Wir betrachten dazu
die Green - Funktion an den Energien $E \pm i0^+$ mit 0^+
einem positiven Infinitesimal und E reell:

$$G_{\text{GF}}(E \pm i0^+) = \int_{-\infty}^{\infty} \frac{A_{\text{RS}}(E')}{E \pm i0^+ - E'} dE'$$

mit Hilfe der Dirac - Identität

$$\frac{1}{x \pm i0^+} = P \frac{1}{x} + i\pi \delta(x)$$

folgt dann:

$$\boxed{P \frac{1}{x} \text{ im } G_{\text{GF}}(E \pm i0^+) = A_{\text{RS}}(E)}$$

Dies stellt den zweiten Teil der Umkehrung dar. (*)

* Bern.

Dabei wird angenommen, dass die Spektraldichte reell ist.

Dies ist leicht zu beweisen anhand der Lehmann-Darstellung.

Es genügt es lediglich: $\langle r | c_\alpha | s \rangle$ reell!

Dazu kann z.B. $|r\rangle$ in die Basiszustände $|n_{\alpha_1} n_{\alpha_2} \dots\rangle^{(\epsilon)}$ entwickelt werden. Nach Definition erzeugt die Anwendung von c_α auf die Basiszustände nur reelle Koeffizienten, so dass das ~~Skalar~~ Produkt $\langle r | c_\alpha | s \rangle$ reell ist, falls die Koeffizienten $x_{\alpha_1 \alpha_2 \dots}$ in der Entwicklung $|r\rangle = \sum_{\alpha_1 \alpha_2 \dots} x_{\alpha_1 \alpha_2 \dots} |n_{\alpha_1} \dots\rangle^{(\epsilon)}$ als reell angenommen werden können. Ist dies möglich? \rightarrow Wir definieren einen Operator K durch $K|r\rangle = \sum_{\alpha_1 \alpha_2 \dots} x_{\alpha_1 \alpha_2 \dots}^* |n_{\alpha_1} \dots\rangle^{(\epsilon)}$. K ist antilinear. Es gilt: $[K, H] = 0$. Beweis: Sei $|Y\rangle$ beliebig. $\exists |y_1\rangle, |y_2\rangle$ mit $|Y\rangle = |y_1\rangle + i|y_2\rangle$ und $K|y_1\rangle = |k y_1\rangle, K|y_2\rangle = |k y_2\rangle$ (Zerlegung der Koeffizienten x_{\dots} in Real- u. Imag.-Teil). Sei $H|y_1\rangle = |y_1\rangle, H|y_2\rangle = |y_2\rangle$. Es gilt $KH|Y\rangle = KH(|y_1\rangle + i|y_2\rangle) = K(H|y_1\rangle + iH|y_2\rangle) = K(|y_1\rangle + i|y_2\rangle) = K|y_1\rangle - iK|y_2\rangle = |k y_1\rangle - i|k y_2\rangle = |k y_1\rangle + i|k y_2\rangle = K|Y\rangle$ q.e.d.

Sei jetzt $H|r\rangle = E_r|r\rangle$. Dann gilt $HK|r\rangle = K(H|r\rangle) = KE_r|r\rangle = E_r K|r\rangle$, d.h. der Unterraum von E_r ist invariant in bezug auf antilineare (antunitäre!) Transformation K . Daraus kann eine Basis $\{|r\rangle\}$ aus Eigenzuständen von H gefunden werden mit $K|r\rangle = |r\rangle$ oder $K|r\rangle = -|r\rangle$ (wegen $K^2 = 1$ sind ± 1 die beiden einzigen Eigenwerte). Die Koeffizienten x_{\dots} in den beiden Entwicklungen von $|r\rangle$ und $|s\rangle$ in $\langle r | c_\alpha | s \rangle$ sind also rein reell oder rein imaginär (der "gemischte Fall" ist nicht möglich, da $[0, K] = 0$ und $\langle r | c_\alpha | s \rangle = \langle r | K c_\alpha K | s \rangle \cdot (-1) = -\langle r | c_\alpha | s \rangle = 0$ folgen würde).

Damit ist $\langle r | c_\alpha | s \rangle$ reell q.e.d.

Wegen dieses Zusammenhangs definiert man auch eigens:

Def.

retardierte Ein-Teilchen-Green-Funktion

$$G_{\text{gs}}^{\text{ret}}(E) \equiv G_{\text{gs}}(E + i0^+) \quad (E \text{ reell})$$

avancierte Ein-Teilchen-Green-Funktion

$$G_{\text{gs}}^{\text{av}}(E) \equiv G_{\text{gs}}(E - i0^+) \quad (E \text{ reell})$$

Es gilt:

$$\text{A}_{\text{gs}}(E) = -\frac{1}{\pi} \text{Im } G_{\text{gs}}^{\text{ret}}(E) = \frac{1}{\pi} \text{Im } G_{\text{gs}}^{\text{av}}(E)$$

Isp.

Freie, energieabhängige Matsubara-Funktion

Für die freie Spektraldichte in der 1-Teilchen-ONB $\{|k\rangle\}$

gilt:

$$A_k(E) = \delta(E - (\varepsilon(k) - \mu))$$

Durch Ansätzen der Spektraldarstellung der Matsubara-Funktion folgt:

$$G_k(iE_n) = \frac{1}{iE_n - (\varepsilon(k) - \mu)}$$

Führen wir jetzt die Umkehrung durch:

Durch analytische Fortsetzung in die gesamte komplexe E-Ebene erhalten wir die Green-Funktion:

(57)

$$G_k(E) = \frac{1}{E - (\varepsilon(k) - \mu)}$$

$G_k(E)$ besitzt einen Pol 1. Ordnung bei der reellen Energie $E = \varepsilon(k) - \mu$.

Die retardierte Green-Funktion ergibt sich als

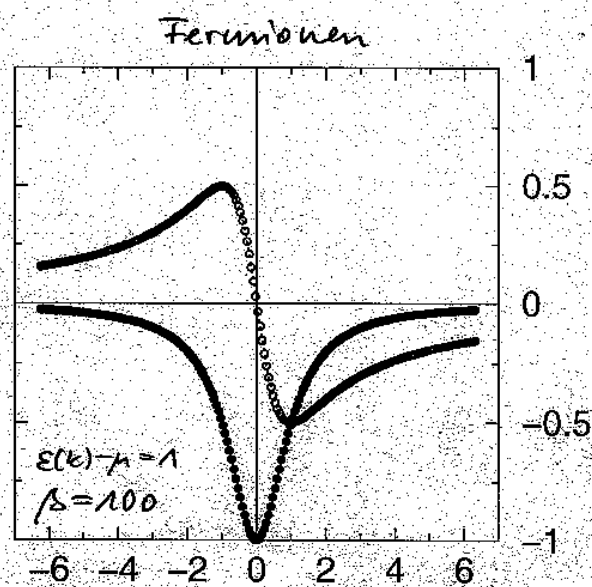
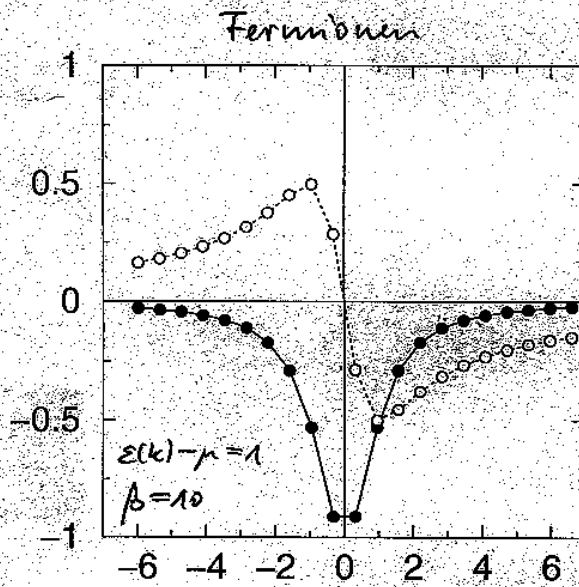
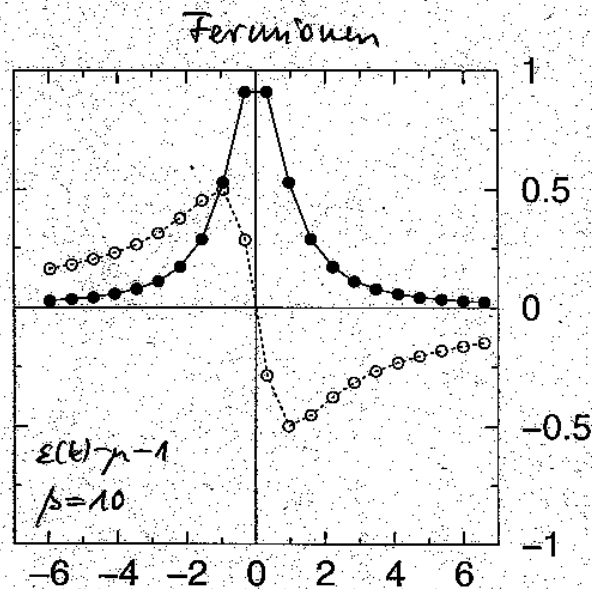
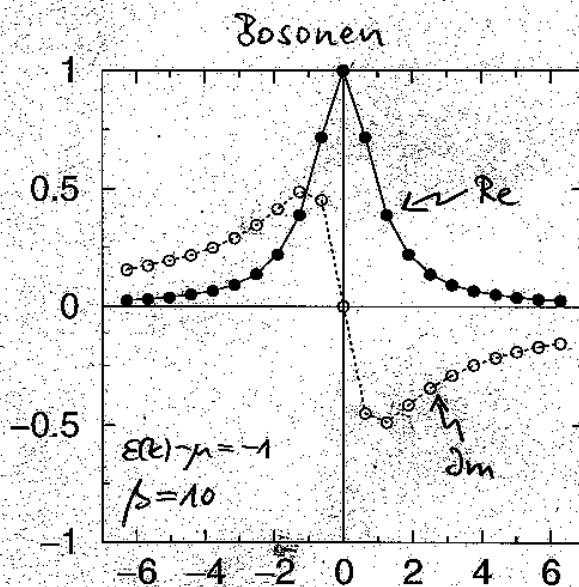
$$G_k^{\text{ret}}(E) = \frac{1}{E + i\delta - (\varepsilon(k) - \mu)}$$

Damit folgt für die Speztraldichte:

$$A_k(E) = \delta(E - (\varepsilon(k) - \mu)) \quad \checkmark$$

$G_k(iE_n)$, Real- und Imaginarteil

für das wechselwirkungsfreie System



$\rightarrow E_n$

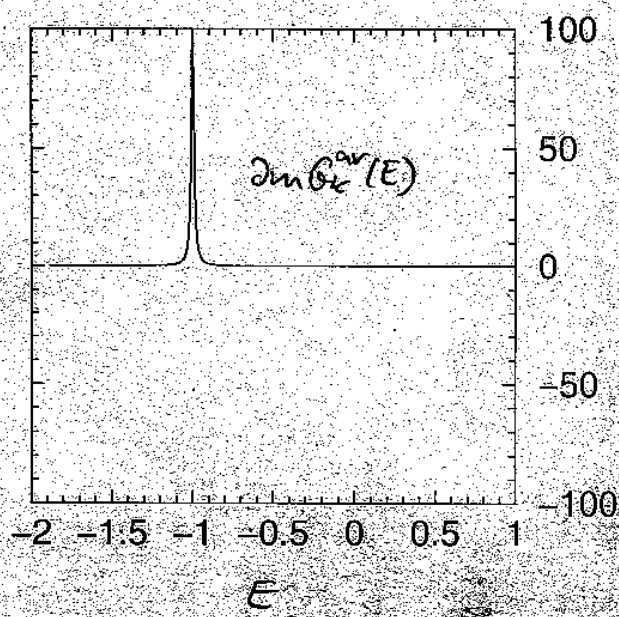
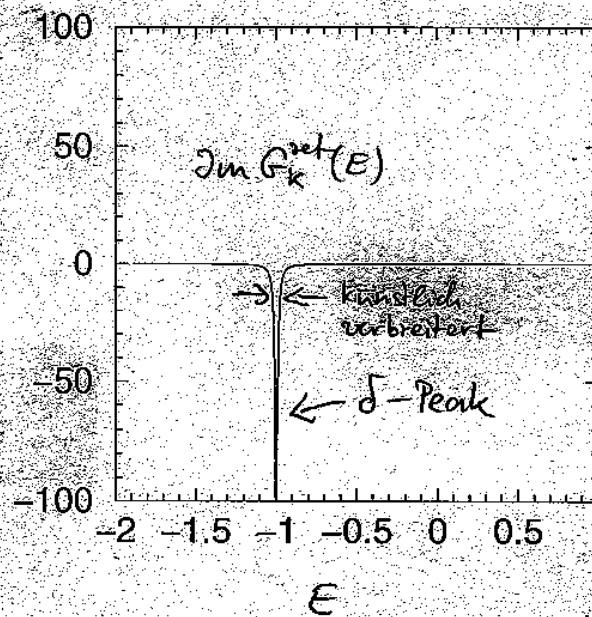
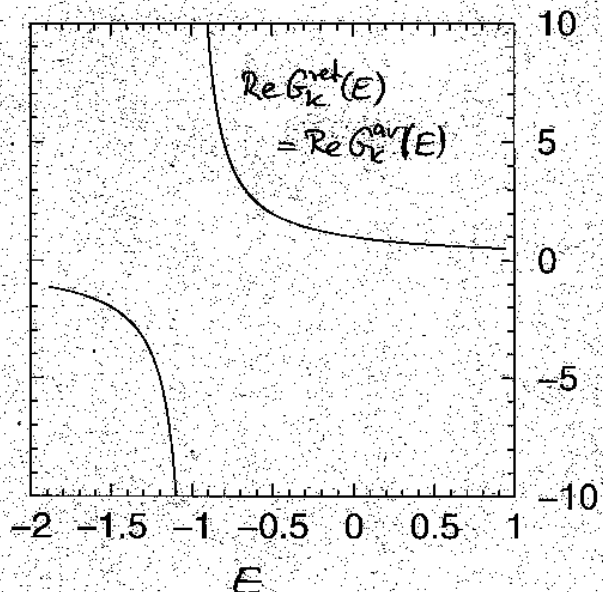
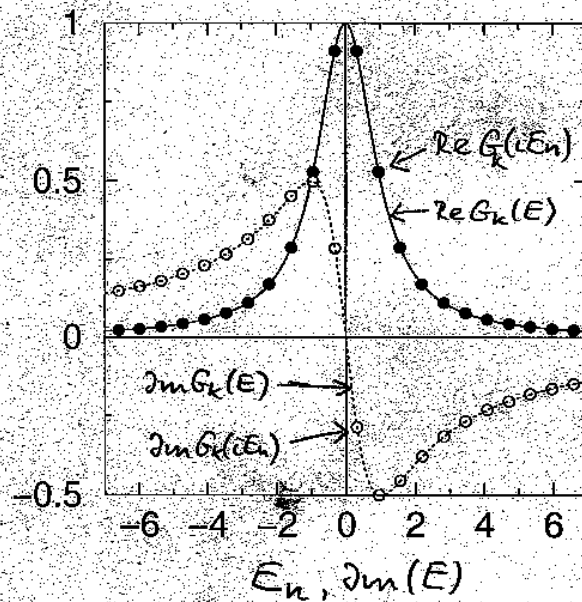
59

Fermionen

$$\beta = 10$$

$$\epsilon(k) - \mu = -1$$

(freies System)



III Störungsentwicklung der Ein-Teilchen-

Matsubara - Funktion

Wir schreiben $H = H_0 + V$ mit

$$H_0 = \sum_{\alpha p} t_{\alpha p} c_{\alpha}^{\dagger} c_p$$

$$V = \frac{1}{2} \sum_{\alpha p q \sigma} v(\alpha p \delta_{pq}) c_{\alpha}^{\dagger} c_p^{\dagger} c_q c_{\sigma}$$

und betrachten V als Störung des freien Systems

III A S-Matrix

Sei $A = A_S$ ein (nicht explizit von der Zeit abhängiger) Operator im Schrödinger - Bild. Wir hatten

$$A(z) \equiv A_H(z) \equiv e^{iEz} A_S e^{-iEz}$$

als den entsprechenden Operator im (modifizierten) Heisenberg - Bild definiert.

Für die Durchführung der Störungstheorie ist die Dirac'sche Wechselwirkungsdarstellung grundsätzlich:

(Def.)

Operator im (modifizierten) Dirac - Bild

$$A_D(z) \equiv e^{iEz} A_S e^{-iEz}$$

Zwischen Operatoren im Dirac- und Heisenberg - Bild besteht der folgende Zusammenhang:

$$\begin{aligned}
 A_4(z) &= e^{x_0 z} A_S e^{-x_0 z} = e^{x_0 z} e^{-x_0 z} e^{x_0 z} A_S e^{-x_0 z} e^{x_0 z} e^{-x_0 z} \\
 &= (e^{x_0 z} e^{-x_0 z}) A_S(z) (e^{x_0 z} e^{-x_0 z}) \\
 &= S(0, z) A_S(z) S(z, 0) \quad \text{mit der}
 \end{aligned}$$

(Def.)

S-Matrix oder Dirac'scher Zeitentwicklungsoperator

$$S(z, z') = e^{x_0 z} e^{-x(z-z')} e^{-x_0 z'}$$

Eigenschaften:

- $S(z, z) = \mathbb{1}$
- $S(z, z') S(z', z'') = S(z, z'')$
- $S(z, z')$ ist (i. allg.) nicht unitär

Die Zeitabhängigkeit der Konstruktionsoperatoren im Dirac-Bild

ist dieselbe wie die im freien System,

$$\begin{aligned}
 c_{k,D}^+(z) &= e^{+(E(k)-\gamma_1)z} c_k^+ \\
 c_{k,D}(z) &= e^{-(E(k)-\gamma_1)z} c_k
 \end{aligned}$$

bzw.

$$\begin{aligned}
 c_{k,D}^+(z) &= \sum_k u_{k\alpha}^{-1} c_{k,D}^+(z) = \sum_k u_{k\alpha}^{-1} e^{(E(k)-\gamma_1)z} c_k^+ \\
 &= \sum_p \left(\sum_k u_{pk} e^{(E(k)-\gamma_1)z} u_{k\alpha}^{-1} \right) c_p^+
 \end{aligned}$$

$$c_{k,D}(z) = \sum_p \left(\sum_k u_{k\alpha} e^{-(E(k)-\gamma_1)z} u_{kp}^{-1} \right) c_p$$

und kann also als bekannt vorausgesetzt werden.

Nit $C_{x,H}^{(1)}(\tau) = S(0,\tau) C_{x,D}^{(1)}(\tau) S(\tau,0)$ ist dann
auch die Ein-Teilchen-Hamiltonian-Funktion bekannt,
 $G_{xy}(\tau) = -\langle T_\tau (C_{x,H}(\tau) g_{y,H}(0)) \rangle$, wenn (mindest
formal) die Zeitabhängigkeit der S-Matrix bestimmt
werden kann.

III B Formale Lösung der Bewegungsgleichung

Für die S-Matrix kann folgende Bewegungsgleichung
abgeleitet werden:

$$\begin{aligned} -\frac{\partial}{\partial \tau} S(z, z') &= -\frac{\partial}{\partial \tau} (e^{\lambda_0 z} e^{-\lambda(z-z')} e^{-\lambda_0 z'}) \\ &= e^{\lambda_0 z} (\lambda - \lambda_0) \underbrace{e^{-\lambda(z-z')} e^{-\lambda_0 z'}}_V \\ &= e^{\lambda_0 z} V e^{-\lambda_0 z'} e^{\lambda_0 z'} e^{-\lambda(z-z')} e^{-\lambda_0 z'} \\ &= V_0(z) S(z, z') \end{aligned}$$

Nit der Randbedingung $S(z, z) = 1$ kann die
Bewegungsgleichung in integrale Form gebracht werden

$$S(z, z') = 1 - \int_{z'}^z V_0(z'') S(z'', z') dz''$$

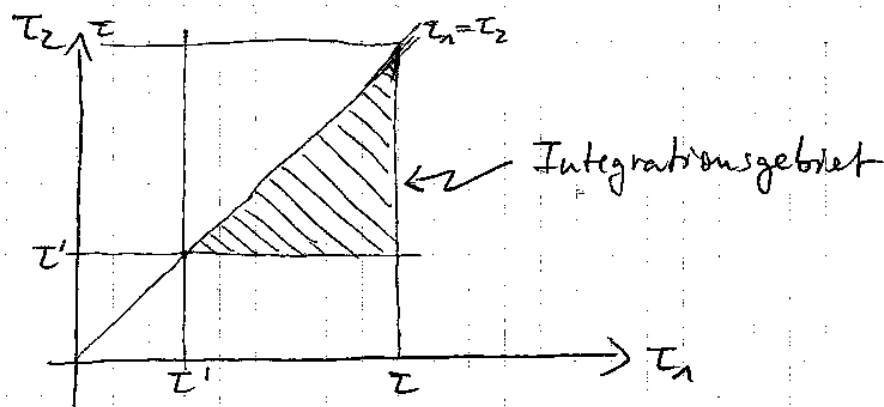
Durch Iteration erhält man die von Neumannsche Reihe:

$$S(z, z') = 1 + \sum_{n=1}^{\infty} (-1)^n \int_{z'}^z dz_1 \int_{z'}^{z_1} dz_2 \int_{z'}^{z_2} dz_3 \dots \int_{z'}^{z_{n-1}} dz_n V_0(z_1) \dots V_0(z_n)$$

(Beachte: Operatoren an verschiedenen Zeiten kommutieren nicht!)

Nun betrachte den Term $n=2$

$$S^{(2)}(z, z') = (-1)^2 \int_{z'}^z dz_1 \int_{z'}^{z_1} dz_2 V_0(z_1) V_0(z_2)$$



Also alternativ:

$$\begin{aligned} S^{(2)}(z, z') &= \int_{z'}^z dz_2 \int_{z'}^{z_2} dz_1 V_0(z_1) V_0(z_2) \\ &= \int_{z'}^z dz_1 \int_{z_1}^z dz_2 V_0(z_2) V_0(z_1) \end{aligned}$$

Oder zusammen:

$$\begin{aligned} S^{(2)}(z, z') &= \frac{(-1)^2}{2!} \int_{z'}^z \int_{z'}^z dz_1 dz_2 [V_0(z_1) V_0(z_2) \Theta(z_1 - z_2) + V_0(z_2) V_0(z_1) \times \\ &\quad \times \Theta(z_2 - z_1)] \\ &= \frac{(-1)^2}{2!} \int_{z'}^z \int_{z'}^z dz_1 dz_2 T_2(V(z_1) V(z_2)) \end{aligned}$$

wobei T_Z auf die Konstruktionsoperatoren ein

$$V_D(z) = \frac{1}{\epsilon} \sum_{\alpha p \beta \delta} v(\alpha p \beta \delta) C_{\alpha, D}^{\dagger}(z) C_{p, D}^{\dagger}(z) C_{\beta, D}(z) C_{\delta, D}(z)$$

wirkt. Der Faktor ϵ kommt hier nur in geraden Potenzen vor!
Ein Problem ergibt sich aber durch die Gleichzeitigkeit der Konstruktionsoperatoren in $V_D(z)$. Wie wirkt T_Z hier?

Def.

$$T_Z(C_\alpha(z) c_\beta(z)) = C_\alpha(z) c_\beta(z)$$

$$T_Z(C_\alpha^\dagger(z) c_\beta^\dagger(z)) = C_\alpha^\dagger(z) c_\beta^\dagger(z)$$

$$T_Z(C_\alpha^\dagger(z) c_\beta(z)) = C_\alpha^\dagger(z) c_\beta(z)$$

$$T_Z(C_\alpha(z) c_\beta^\dagger(z)) = \epsilon c_\beta^\dagger(z) C_\alpha(z)$$

und analog für Produkte aus mehr als zwei gleichzeitigen Konstruktionsoperatoren.

$$T_{\text{Erzeuger}} = T_{\text{Vervielfachter}} + O^+$$

Die Vollgenerierung auf n Terme liefert die formale Lösung der Bewegungsgleichung:

$$S(z, z') = 1 + \sum_{n=1}^{\infty} \frac{(-1)^n}{n!} \int_{z'}^{z} dz_1 \dots \int_{z'}^{z_n} dz_n - T_Z(V_D(z_1) \dots V_D(z_n))$$

Symbolisch:

$$S(z, z') = T_Z \exp \left(- \int_{z'}^z V_D(z'') dz'' \right)$$

Damit ist die S-Matrix (formal) bekannt.

III C Ausgangsgleichungen der Störungstheorie

Vereinbarung

Wir arbeiten von jetzt an ausschließlich in der Dirac-Darstellung. Der Index "D" wird fortgelassen.
Für jeden (imaginär) zeitabhängigen Operator $A(\tau)$ ist

$$A(\tau) = e^{\lambda_0 \tau} A e^{-\lambda_0 \tau}$$

definiert. Die Zeitabhängigkeit von Operatoren ist in folgenden immer die des freien Systems, oder wird explizit gekennzeichnet.

Die S-Matrix erlaubt alternative Darstellungen für die großkanonische Zustandssumme

$$\Xi = \text{Sp} (e^{-\beta \lambda_0} S(\beta, 0))$$

und für die

Ein-Teilchen-Hauskawa-Funktion

$$G_{\alpha\beta}(\tau) = - \frac{\text{Sp} (e^{-\beta \lambda_0} T_\tau (S(\beta, 0) c_\alpha(z) c_\beta^\dagger(0)))}{\text{Sp} (e^{-\beta \lambda_0} S(\beta, 0))} \quad (-\beta < z < \beta)$$

die die Ausgangsgleichungen für die Störungstheorie darstellen.

Beweis:

1) Es gilt unmittelbar

$$e^{-\alpha z} = e^{-\alpha z} S(z, 0) \quad (S(z, 0) \stackrel{\text{def}}{=} e^{\alpha z} e^{-\alpha z})$$

Für $z = \beta$ ist also:

$$e^{-\beta z} = e^{-\beta z} S(\beta, 0) \quad \text{und} \quad E = \text{Sp}(e^{-\beta z} S(\beta, 0)) \quad \checkmark$$

2) Fallunterscheidung, zunächst sei $z > 0$:

$$E \cdot G_{\alpha\beta}(z) = - \text{Sp}\left(e^{-\beta z} T_z (c_{\alpha, H}(z) c_{\beta, H}^\dagger(0))\right)$$

hier noch mal
Heisenberg-Bild,
gekennzeichnet
durch Index "H"

$$= - \text{Sp}\left(e^{-\beta z} S(\beta, 0) T_z (c_{\alpha, H}(z) c_{\beta, H}^\dagger(0))\right)$$

$$= - \text{Sp}\left(e^{-\beta z} S(\beta, 0) c_{\alpha, H}(z) c_{\beta, H}^\dagger(0)\right) \quad (z > 0)$$

$$= - \text{Sp}\left(e^{-\beta z} S(\beta, 0) S(0, z) c_\alpha(z) S(z, 0) c_\beta^\dagger(0)\right) \quad (\text{Dirac})$$

$$= - \text{Sp}\left(e^{-\beta z} S(\beta, z) c_\alpha(z) S(z, 0) c_\beta^\dagger(0)\right) \quad (\text{ist bereits
zeitgeordnet})$$

$$= - \text{Sp}\left(e^{-\beta z} T_z (S(\beta, z) c_\alpha(z) S(z, 0) c_\beta^\dagger(0))\right)$$

$$= - \text{Sp}\left(-e^{\beta z} T_z (S(\beta, z) S(z, 0) c_\alpha(z) c_\beta^\dagger(0))\right) \quad (z^{2n})$$

$$= - \text{Sp}\left(e^{\beta z} T_z (S(\beta, 0) c_\alpha(z) c_\beta^\dagger(0))\right) \quad \checkmark$$

(67)

jetzt $\tau < 0$:

$$\begin{aligned}
 G_{\text{sp}}(\tau) &= -\text{Sp} (e^{-\beta \Delta_0} T_\tau (c_{\alpha, H}(\tau) c_{\beta, H}^\dagger(0))) \\
 &= -\text{Sp} (e^{-\beta \Delta_0} S(\beta, 0) \epsilon c_{\beta, H}^\dagger(0) c_{\alpha, H}(\tau)) \\
 &= -\epsilon \text{Sp} (e^{-\beta \Delta_0} S(\beta, 0) c_{\beta}^\dagger(0) S(0, \tau) c_\alpha(\tau) S(\tau, 0)) \\
 &= -\epsilon \text{Sp} (e^{-\beta \Delta_0} T_\tau (S(\beta, 0) c_{\beta}^\dagger(0) S(0, \tau) c_\alpha(\tau) S(\tau, 0))) \\
 &= -\epsilon \text{Sp} (e^{-\beta \Delta_0} T_\tau (S(\beta, 0) c_{\beta}^\dagger(0) c_\alpha(\tau))) \\
 &= -\epsilon^2 \text{Sp} (e^{-\beta \Delta_0} T_\tau (S(\beta, 0) c_\alpha(\tau) c_{\beta}^\dagger(0))) \quad \checkmark
 \end{aligned}$$

Die Matsubara - Funktion kann auch geschrieben werden als:

$$G_{\text{sp}}(\tau) = -\frac{5}{2} \left\langle T_\tau (S(\beta, 0) c_\alpha(\tau) c_{\beta}^\dagger(0)) \right\rangle^{(0)}$$

und

$$\frac{5}{2} = \left\langle S(\beta, 0) \right\rangle^{(0)}$$

Also:

$$-G_{\text{sp}}(\tau) = \frac{\left\langle T_\tau (S(\beta, 0) c_\alpha(\tau) c_{\beta}^\dagger(0)) \right\rangle^{(0)}}{\left\langle S(\beta, 0) \right\rangle^{(0)}}$$

Wir haben damit die wechselwirkende Matsubara - Funktion über freie Erwartungswerte von Operatoren mit freier Zeitabhängigkeit ausgedrückt! □

III D Wick-Theorem

Zur Auswertung der Ausgangsgleichungen benötigen wir eine praktikable Methode, freie Erwartungswerte von zeitgeordneten Produkten mehrerer Konstruktionsoperatoren zu berechnen.

Eine solche wird durch das Wick-Theorem bereitgestellt.

Das Wick-Theorem wird dadurch an dem Theorem der QFT.

Def.

Seien U, V Konstruktionsoperatoren, die zu den Zeiten t_U, t_V wirken (Dirac-Darstellung)

$$\underline{UV} \equiv \langle T_{\mathcal{Z}}(UV) \rangle^{(0)}$$

Kontraktion

Bsp.

- $c_{\alpha}(z)c_{\beta}^{\dagger}(z') = \langle T_{\mathcal{Z}}(c_{\alpha}(z)c_{\beta}^{\dagger}(z')) \rangle^{(0)} = -G_{\alpha\beta}^{(0)}(z-z')$
 $= \varepsilon \underbrace{c_{\beta}^{\dagger}(z')}_{c_{\alpha}(z)}$

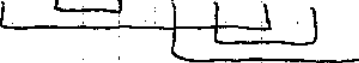
(Kontraktionen sind ε -Zahlen)

- $c_{\alpha}(z)c_{\beta}(z') = \langle T_{\mathcal{Z}}(c_{\alpha}(z)c_{\beta}(z')) \rangle^{(0)} = 0$

(Teildichtenhalterhaltung)

Def.

Seien U, V, W, \dots, X, Y, Z beliebige Konstruktionsoperatoren. Ausdrücke der Form

$$\underline{UVW \dots XYZ}$$


werden wie folgt definiert:

69

Man bringe die zu kontrahierenden Operatoren in benachbarte Position. Jede Vertauschung liefert dabei einen Faktor ε . Anschließend wende man die obige Definition für die Kontraktion an.

(Bsp.)

$$c_{\alpha_1}(\tau_1) c_{\alpha_2}^+(\tau_2) c_{\alpha_3}^+(\tau_3) c_{\alpha_4}(\tau_4) = \varepsilon c_{\alpha_1}(\tau_1) c_{\alpha_3}^+(\tau_3) c_{\alpha_2}^+(\tau_2) c_{\alpha_4}(\tau_4)$$



$$= \varepsilon^2 c_{\alpha_1}(\tau_1) c_{\alpha_3}^+(\tau_3) c_{\alpha_4}(\tau_4) c_{\alpha_2}^+(\tau_2) = + G_{\alpha_1 \alpha_3}^{(0)}(\tau_1 - \tau_3) G_{\alpha_4 \alpha_2}^{(0)}(\tau_4 - \tau_2)$$



Wick-Theorem

Seien U, V, W, \dots, X, Y, Z beliebige zeitabhängige Kontraktionsoperatoren. Ihre Anzahl sei gerade.

$$\begin{aligned} \langle T_U(UVW\dots XYZ) \rangle^{(0)} &= \underbrace{UV}_{} \underbrace{W}_{} \dots \underbrace{XYZ}_{} \\ &+ \underbrace{UV}_{} \underbrace{W}_{} \dots \underbrace{XYZ}_{} \\ &\quad + \dots \end{aligned}$$

Die rechte Seite wird auch als totale Paarung bezeichnet und stellt die Summe aller möglichen Aufteilungen des Operatorprodukts $U\dots Z$ in Produkte von Kontraktionen dar.

Es gibt $\binom{n}{2} \binom{n-2}{2} \binom{n-4}{2} \dots \binom{2}{2} = \frac{n!}{2!(n-2)!} \frac{(n-2)!}{2!(n-4)!} \frac{(n-4)!}{2!(n-6)!} \dots \frac{2!}{2!0!}$

$= n! 2^{-\frac{n}{2}}$ Summanden, wenn n die Anzahl der Kontraktionsoperatoren ist. Man beachte aber, dass die Kontraktion zweier

Vernichter oder die zweier Erzenger verschwindet. Eine von Null verschiedne totale Paarung kann es nur geben, wenn die Anzahl der Erzenger gleich der Anzahl der Vernichter ist. Dies wird aber in weiteren immer der Fall sein.

Läßt man von vornherein nur Kontraktionen zwischen einem Erzenger und einem Vernichter zu, so hat man noch $\frac{n_0}{2} \cdot \left(\frac{n_0}{2}-1\right) \cdots 1 = \left(\frac{n_0}{2}\right)!$ Summanden.

Beweis des Wick-Theorems:

Wir beweisen das Theorem zunächst für den Fall von Kontraktionsoperatoren, die sich auf die 1-Teilden-ONB $\{|k\rangle\}$ beziehen und in der H_0 diagonal ist.

In dieser Basis können wir die einfache freie Zeithängigkeit der Kontraktionsoperatoren ansetzen und schreiben:

$$U = \rho_n(t_n) \alpha_n \quad \text{mit } \alpha_n = c_n \text{ oder } c_n^+ \quad \text{und} \\ \rho_n(t_n) = e^{G_n(E(n)-\mu)t_n}, \quad G_n = +/- \text{ f. } \alpha_n = c_n^+ / c_n$$

Weiter gilt in dieser 1-Teilden-ONB, daß die freie Matsubara-Funktion diagonal ist, $G_{kk}^{(0)}(\varepsilon) = \delta_{kk} G_k^{(0)}(\varepsilon)$.

Analog gilt für die Kontraktion ($|t_n\rangle |t_V\rangle$):

$$UV = \langle T_z(UV) \rangle^{(0)} = \langle UV \rangle^{(0)} = \rho_n(u) \rho_V(v) \langle \alpha_n \alpha_V \rangle^{(0)}$$

$\Rightarrow UV \neq 0$ nur für 1) $\alpha_n = c_n$ und $\alpha_V = c_V$ oder
2) $\alpha_n = c_n^+$ und $\alpha_V = c_V$

71

mit $\langle \alpha_n \rangle^{(0)} = \frac{1}{e^{\beta(\epsilon_n) - \mu} - \varepsilon}$ in der ONB $\{|k\rangle\}$ folgt

für Fall 1) und 2):

1)

$$\underline{UV} = \mu_n(\tau_n) \mu_V(\tau_V) \langle \alpha_n | \alpha_V \rangle^{(0)}$$

$$\stackrel{1)}{=} \mu_n(\tau_n) \mu_V(\tau_V) \langle c_n | c_V \rangle^{(0)}$$

$$= \mu_n(\tau_n) \mu_V(\tau_V) \left(1 + \frac{\varepsilon}{e^{\beta(\epsilon_n) - \mu} - \varepsilon} \right)$$

$$= \mu_n(\tau_n) \mu_V(\tau_V) \frac{1}{1 - \varepsilon e^{\beta(\epsilon_n) - \mu}}$$

$$\stackrel{1)}{=} \mu_n(\tau_n) \mu_V(\tau_V) \frac{1}{1 - \varepsilon \mu_n(\beta)}$$

$$\stackrel{1)}{=} \mu_n(\tau_n) \mu_V(\tau_V) \frac{[\alpha_n, \alpha_V] - \varepsilon}{1 - \varepsilon \mu_n(\beta)}$$

2)

$$\underline{UV} \stackrel{\tau_n > \tau_V}{=} \mu_n(\tau_V) \mu_V(\tau_V) \langle \alpha_n | \alpha_V \rangle^{(0)}$$

$$\stackrel{2)}{=} \mu_n(\tau_n) \mu_V(\tau_V) \frac{1}{e^{\beta(\epsilon_n - \mu)} - \varepsilon}$$

$$\stackrel{2)}{=} \mu_n(\tau_n) \mu_V(\tau_V) \frac{1}{\mu_n(\beta) - \varepsilon}$$

$$\stackrel{2)}{=} \mu_n(\tau_n) \mu_V(\tau_V) \frac{[\alpha_n, \alpha_V] - \varepsilon}{1 - \varepsilon \mu_n(\beta)} \xrightarrow{\tau_V - \varepsilon = [\alpha_V, \alpha_V] - \varepsilon} = [\alpha_n, \alpha_V] - \varepsilon$$

(gleiches Ergebnis!)

$$\boxed{UV = \frac{[\alpha_n, \alpha_V] - \varepsilon}{1 - \varepsilon \mu_n(\beta)}}$$

Hilfsatz a)

Als zweiten Hilfsatz benötigen wir

$$de^{-\beta \partial_0} = p_n(\beta) e^{-\beta \partial_0} u \quad \text{Hilfsatz b)}$$

Beweis: $u = p_n(z_n) \cdot c_n$:

$$\begin{aligned} ue^{-\beta \partial_0} &= p_n(z_n) c_n e^{-\beta \partial_0} = \sum_{k=0}^{\infty} \frac{1}{k!} (-\beta)^k p_n(z) c_n \partial_0^k \\ &\stackrel{(5.30)}{=} \sum_{k=0}^{\infty} \frac{1}{k!} (-\beta)^k p_n(z_n) (\varepsilon(u) - \mu + \partial_0)^k c_n \\ &= p_n(z_n) e^{-\beta(\varepsilon(u)-\mu)} e^{-\beta \partial_0} c_n = p_n(\beta) e^{-\beta \partial_0} u \end{aligned}$$

und analog für $u = p_n(z_n) c_n^+$ ✓

für a) hatten wir $z_n > z$ vorausgesetzt. Dies ist sinnvoll, dann in

$$\langle T_z(uv - yz) \rangle^0 = \underbrace{uv}_{\varepsilon} - \underbrace{yz}_{\varepsilon} + \dots$$

führt jede Vertauschung zweier Operatoren zu je einem Faktor ε auf beiden Seiten der Gleichung. Wir können die Gleichung also solange durch Vertauschungen umformen, bis das Produkt $u \dots z$ zeitgeordnet ist.

Für den eigentlichen Beweis können wir also T_z auf der linken Seite weglassen.

no sei wieder die Anzahl der Operatoren x_1, \dots, x_n gerade.

(73)

$$\langle T_\varepsilon(uv \dots yz) \rangle^{\circ} \stackrel{\text{S. o.}}{\downarrow} = \langle uv \dots yz \rangle^{\circ}$$

$$= \langle [u, v]_{-\varepsilon} w \dots xyz \rangle^{\circ} + \varepsilon \langle vw \dots xyz \rangle^{\circ}$$

$$= \langle [u, v]_{-\varepsilon} \dots yz \rangle^{\circ}$$

$$+ \varepsilon \langle v [u, v]_{-\varepsilon} \dots z \rangle^{\circ}$$

+ ...

$$+ \varepsilon^{n_0-2} \langle vw \dots y [u, z]_{-\varepsilon} \rangle^{\circ} + \varepsilon^{n_0-1} \underbrace{\langle vw \dots yz-u \rangle^{\circ}}$$

$$= \frac{1}{\prod_{i=0}^{n_0} S_i} \operatorname{Sp}(e^{-\beta \Delta_{n_0}} V \cdot zu)$$

$$\stackrel{\text{b)}}{=} \frac{\mu_n(\beta)}{\prod_{i=0}^{n_0} S_i} \operatorname{Sp}(e^{-\beta \Delta_{n_0}} uv \dots z)$$

$$(1 - \varepsilon \mu_n(\beta)) \langle T_\varepsilon(uv \dots yz) \rangle^{\circ}$$

$$= \langle [u, v]_{-\varepsilon} \dots z \rangle^{\circ} \varepsilon^0 + \dots + \langle v \dots [u, z]_{-\varepsilon} \rangle^{\circ} \varepsilon^{n_0-1}$$

$$\stackrel{\text{a)}}{=} (1 - \varepsilon \mu_n(\beta)) \left[\langle uv \dots z \rangle^{\circ} \varepsilon^0 + \dots + \langle v \dots uz \rangle^{\circ} \varepsilon^{n_0-1} \right]$$

$$= (1 - \varepsilon \mu_n(\beta)) \left[\langle uv \dots yz \rangle^{\circ} + \dots + \langle uv \dots yz \rangle^{\circ} \right]$$

\Rightarrow

$$\langle T_\varepsilon(uv \dots yz) \rangle^{\circ} = \langle uvw \dots xyz \rangle^{\circ}$$

$$+ \langle \boxed{uvw \dots xyz} \rangle^{\circ}$$

$$+ \langle \boxed{uvw \dots xyz} \rangle^{\circ}$$

$$+ \langle \boxed{uvw \dots xyz} \rangle^{\circ}$$

Da die Kontraktion eine c -Zahl ist, kann sie aus dem Erwartungswert herangezogen werden. Iterieren der oben abgeleiteten Gleichung liefert also exakt die totale Paarung.

Damit ist das Wick-Theorem für die 1-Teildien-ONB $\{|k\rangle\}$ bewiesen:

$$\langle T_c (c_{k_1}^{(+)}, \dots, c_{k_n}^{(+)}) \rangle^{(o)} = \underbrace{c_{k_1}^{(+)}}_{\text{---}} \dots \underbrace{c_{k_n}^{(+)}}_{\text{---}} + \dots$$

Fassen wir die Transformationsformeln für c und c^\dagger von einer beliebigen 1-Teildien-ONB $\{|k\rangle\}$ nach $\{|k\rangle\}$ formal zusammen (S.13):

$$c_\alpha = \sum_k u_{\alpha k}^* c_k^{(+) \dagger} \Leftrightarrow c_\alpha = \sum_k u_{\alpha k} c_k \quad \text{oder} \quad c_\alpha^\dagger = \sum_k u_{\alpha k}^* c_k^\dagger$$

Es gilt:

$$\begin{aligned} & \langle T_c (c_{\alpha_1}^{(+)}, \dots, c_{\alpha_n}^{(+)}) \rangle^{(o)} \\ &= \langle T_c \left(\left(\sum_{k_1} u_{\alpha_1 k_1}^* c_{k_1}^{(+) \dagger} \right) \dots, \left(\sum_{k_n} u_{\alpha_n k_n}^* c_{k_n}^{(+) \dagger} \right) \right) \rangle^{(o)} \\ &= \sum_{k_1 \dots k_n} u_{\alpha_1 k_1}^* \dots u_{\alpha_n k_n}^* \langle T_c (c_{k_1}^{(+)}, \dots, c_{k_n}^{(+)}) \rangle^{(o)} \\ &= \sum_{k_1 \dots k_n} u_{\alpha_1 k_1}^* \dots u_{\alpha_n k_n}^* \left(\underbrace{c_{k_1}^{(+)}}_{\text{---}} \dots \underbrace{c_{k_n}^{(+)}}_{\text{---}} + \dots \right) \\ &= \left(\underbrace{\sum_{k_1} u_{\alpha_1 k_1}^* c_{k_1}^{(+) \dagger}}_{\text{---}} \right) \dots \left(\underbrace{\sum_{k_n} u_{\alpha_n k_n}^* c_{k_n}^{(+) \dagger}}_{\text{---}} \right) + \dots \\ &= \underbrace{c_{\alpha_1}^{(+)}}_{\text{---}} \dots \underbrace{c_{\alpha_n}^{(+)}}_{\text{---}} + \dots \\ &= \{ \text{totale Paarung} \} \quad \checkmark \end{aligned}$$

IV Diagramm-Darstellung der Ein-Teilchen-

Matsubara - Funktion

Fassen wir die wichtigsten Ergebnisse noch einmal zusammen:

S-Matrix:

$$S(\beta, 0) = T_Z \exp\left(-\int_0^\beta V(z') dz'\right)$$

Ein-Teilchen-Matsubara-Funktion:

$$-G_{\alpha\beta}(z) = \frac{\langle T_Z (S(\beta, 0) c_\alpha(z) c_\beta^\dagger(0)) \rangle^{(0)}}{\langle S(\beta, 0) \rangle^{(0)}}$$

Eingesetzt:

$$-G_{\alpha\beta}(z) = \frac{\sum_{n=0}^{\infty} \frac{1}{n!} (-1)^n \int_0^\beta dz_1 \dots \int_0^\beta dz_n \langle T_Z (V(z_1) \dots V(z_n) c_\alpha(z) c_\beta^\dagger(0)) \rangle^{(0)}}{\sum_{n=0}^{\infty} \frac{1}{n!} (-1)^n \int_0^\beta dz_1 \dots \int_0^\beta dz_n \langle T_Z (V(z_1) \dots V(z_n)) \rangle^{(0)}}$$

Jeder Term n -ter Ordnung im Zähler oder Nenner kann jetzt mit Hilfe des Wickl-Theorems ausgewertet werden. Dies führt zu den sogenannten Feynman-Diagrammen.

IV A Grundlagen der Diagrammdarstellung

Wir betrachten zunächst den (einfacheren) Neutrino, d.h. den freien Erwartungswert der S-Matrix $\langle S(\beta, 0) \rangle^{(0)} = \Xi/\Xi_0$. Die Matsubara-Funktion kann analog behandelt werden. Dies wird später diskutiert.

(76)

$$\text{mit } V(z) = \frac{1}{2} \sum_{\alpha \beta \gamma \delta} V(\alpha \beta \delta \gamma) c_\alpha^t(z) c_\beta^t(z) c_\gamma(z) c_\delta(z) \dots$$

für den Term n -ter Ordnung:

$$\langle S(\beta, 0) \rangle^{(0), (n)} = \frac{(-1)^n}{n!} \int d\tau_1 \dots \int d\tau_n \frac{1}{2^n} \sum_{\alpha \beta \gamma \delta \dots} \dots \sum_{\alpha \beta \gamma \delta \dots}$$

$$V(\alpha_1 \beta_1 \delta_1 \gamma_1) \dots V(\alpha_n \beta_n \delta_n \gamma_n) \cdot \left\{ c_{\alpha_1}^t(z_1) \dots c_{\beta_1}^t(z_1) \dots \dots \dots c_{\alpha_n}^t(z_n) \dots c_{\beta_n}^t(z_n) \right\}_{TP}$$

Der Beitrag n -ter Ordnung wird durch

totale $\xrightarrow{\quad}$
Paarung

Diagramme n -ter Ordnung graphisch dargestellt

Jeder Summand der TP entspricht dabei einem ganz bestimmten Diagramm.

1) Vertex

Ein Diagramm n -ter Ordnung enthält n Vertizes:

Symbol:

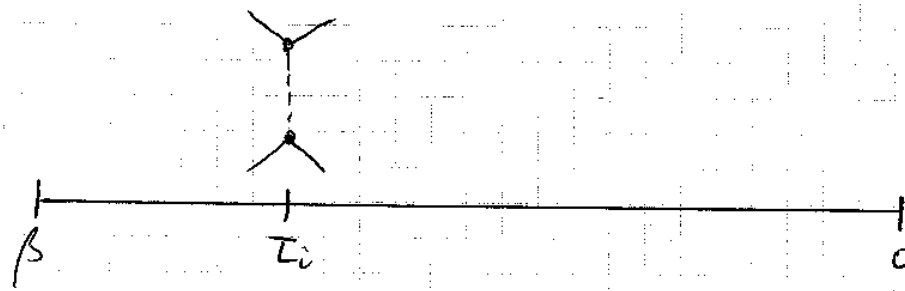


Term:

$$V(\alpha_i \beta_i \delta_i \gamma_i)$$



Zu einem Vertex gehört eine Zeitvariable τ_i entsprechend dem Argument von $V(\tau_i)$. Es ist $0 < \tau_i < t$ $\forall i=1, \dots, n$. Nun kann sich eine Zeitachse vorstellen und den Vertex an die entsprechende Stelle plaziert denken:



77

An einem Vertex bestehen 4 Aanschlussmöglichkeiten, die den 4 Konstruktionsoperatoren in $V(z_i)$ entsprechen.

Aanschlussmöglichkeiten für

2 auslaufende Linien \longleftrightarrow 2 Erzenger

2 einkommende Linien \longleftrightarrow 2 Vermüchter

in $V(z_i)$

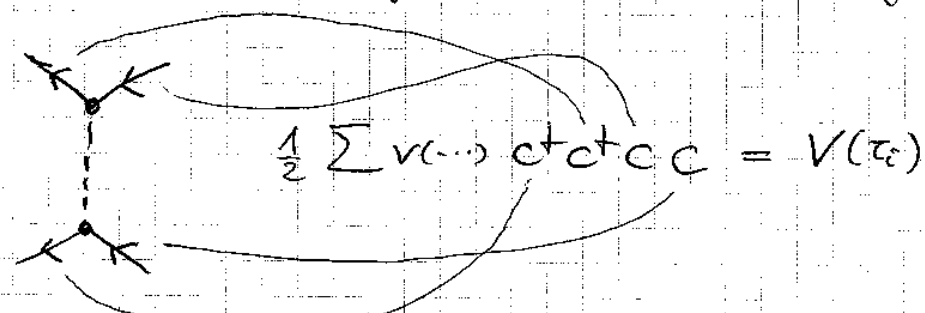
Aanschlussmöglichkeiten am Vertex

oben \longleftrightarrow innere

unten \longleftrightarrow äußere

Konstruktionsoperatoren in $V(z_i)$

Nach diesen Vereinbarungen ist eine eindeutige Zuordnung



gegeben, die auf den Pfeilsichtungen und der oben-unten-Unterscheidung basiert.

bsp.

$\beta \rightarrow K \gamma$

$\gamma \rightarrow T \beta$

und

sind gleich.

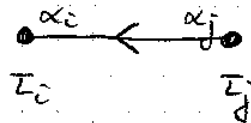


ist ungültig.

2) Propagator

In n-ter Ordnung gibt es 2^n Kontraktionen in der TP.
Diese werden durch 2n Propagatoren dargestellt.

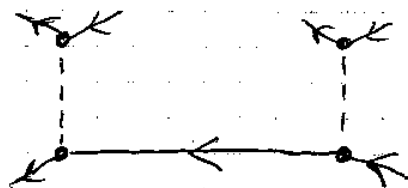
Symbol:



Term

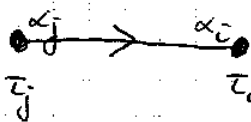
$$c_{\alpha_i}(\tau_i) c_{\alpha_j}^+(\tau_j) = - G_{\alpha_i \alpha_j}^{(0)} (\tau_i - \tau_j)$$

Ein Propagator beginnt und endet an einem Vertex:



Jeder Propagator trägt einen Pfeil: Der Vermüchter in der Kontraktion, $c_{\alpha_i}(\tau_i)$, wird durch das Enden der Linie bei α_i, τ_i und der Erzeuger, $c_{\alpha_j}^+(\tau_j)$, durch das Beginnen der Linie bei α_j, τ_j symbolisiert.

Für $\tau_i < \tau_j$ wird $c_{\alpha_i}(\tau_i) c_{\alpha_j}^+(\tau_j) = - G_{\alpha_i \alpha_j}^{(0)} (\tau_i - \tau_j)$ durch



symbolisiert. Im Argument der freien

Matsubara-Funktion steht also immer

$\tau_{\text{Vermüchter}} - \tau_{\text{Erzeuger}}$

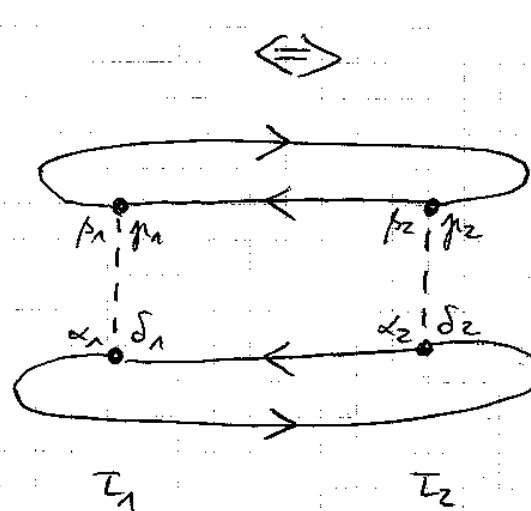
Warden jeweils alle 4 Anschlagsmöglichkeiten an allen n Vertizes, so durch die 2n Propagatoren verbunden, erhält man ein gültiges Diagramm, das einem Term der TP

entspricht. Da $2n$ Linien aus allen Vertizes anfangen, und $2n$ Linien in allen Vertizes enden, gibt es $(2n)!$ Möglichkeiten, Diagramme n-ter Ordnung zu zeichnen. Diese entsprechen den $\left(\frac{n_0}{2}\right)! = (2n)!$ Summanden in der TP.

Bsp.

$n=2$

$$v(\alpha_1/\delta_1 p_1) v(\alpha_2/\delta_2 p_2) C_{\alpha_1}^t(z_1) C_{\delta_1}^t(z_1) C_{p_1}(z_1) C_{\delta_1}(z_1) \cdot C_{\alpha_2}^t(z_2) C_{\delta_2}^t(z_2) C_{p_2}(z_2) C_{\delta_2}(z_2)$$

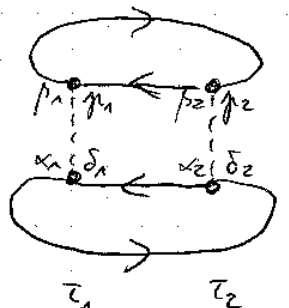


3) Summen / Integrale

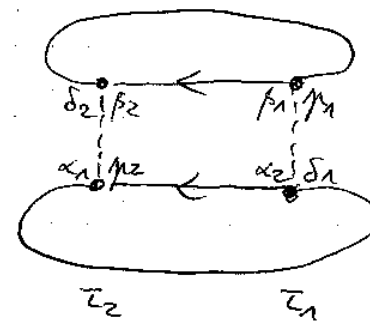
Ein Beitrag n-ter Ordnung $\langle S(\beta, 0) \rangle^{(0), (n)}$ ergibt sich nach Summation über alle Indizes $\alpha_1 \dots \delta_1 \dots \alpha_n \dots \delta_n$ und nach Integration über alle Zeitvariablen $\int^t dz_1 \dots \int^t dz_n$.

Die Summen / Integrale können in jedem einzelnen Summanden der TP ausgeführt werden. Wir erkennen daher, daß bei der Auswertung eines Diagramms über alle Indizes / Zeiten summiert / integriert wird.

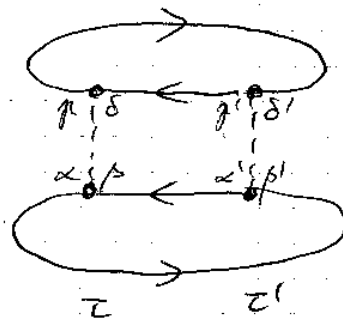
Weil Summationsindizes bzw. Integrationsvariablen stets frei umbenannt werden können, repräsentieren z.B.



und

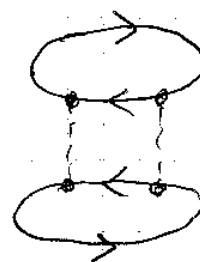


oder



denselben Summanden in der TP nach Ausführen der Summen / Integrale.

Für das Auflinden aller Terme der TP sind daher die Indizierungen unnötig. Wir zeichnen



4) Gleichzeitigkeit

Werden Konstruktionsoperatoren untereinander kontrahiert, die an dem gleichen $V(z)$ gehören, tritt das Problem der Gleichzeitigkeit auf: $C_{\alpha}(z)C^{\dagger}_{\beta}(z)$. Auf S.64 hatten wir für diesen Fall

$$T_{\text{Erzeuger}} = T_{\text{Vernichter}} + O^+$$

vereinbart. Dasselbe kommt bei der gleichzeitigen Kontraktion

81

mit Anwendung.

80p



Propagator-
Symbol

Def für
Gleichheit

$$c_\alpha(z) c_\beta^\dagger(z) = c_\alpha(z) c_\beta^\dagger(z+0^+)$$

Def d.
Kontraktion

$$- G_{\alpha\beta}^{(0)}(-0^+) \stackrel{\text{Def.}}{=} \langle T_z(c_\alpha(-0^+) c_\beta(0)) \rangle^{(0)} = \epsilon \langle c_\beta^\dagger c_\alpha \rangle^{(0)}$$



$$c_\alpha(z) c_\beta^\dagger(z) = \dots = \epsilon \langle c_\beta^\dagger c_\alpha \rangle^{(0)}$$

Bem:

Wegen $\langle c_\beta^\dagger c_\alpha \rangle = \langle c_\alpha^\dagger c_\beta \rangle^* = \langle c_\alpha^\dagger c_\beta \rangle$ ist ein Pfeil
an einer klasse eigentlich überflüssig.

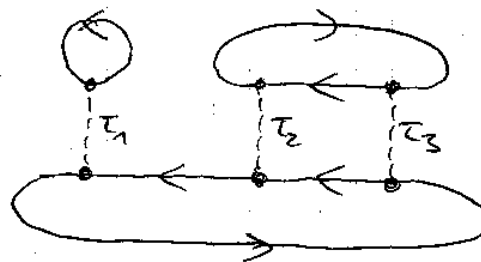
5) Schleifen (Loops)

Die Kontraktionen in einem bestimmten Summanden der TP,
z.B. in

$$ctctcc \{ ctctcc \} ctctcc$$

(z₁) (z₂) (z₃)

werden in dem entsprechenden Diagramm



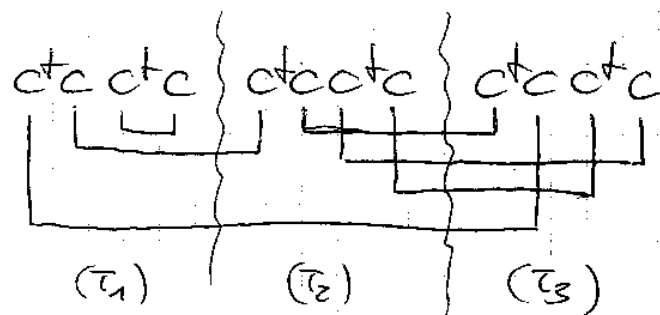
durch Propagatoren dargestellt, die wir gemäß 2) als $c\bar{c}t$ (und nicht als $\bar{c}ct$) algebraisch übersetzt haben. Damit bleibt aber noch die Frage nach dem Gesamtvorzeichen des Summanden zu klären. Dies kann einfach durch das Abzählen von Schleifen (d.h. von geschlossenen Zügen aus Propagatoren) geschehen, wie gleich gezeigt wird. Im Beispiel haben wir $S=3$ Schleifen.

Wir transformieren zunächst jede $t\bar{c}$ Einheit folgendermaßen:

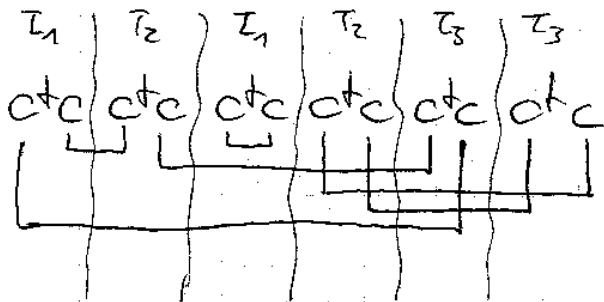
$$c_t^{\dagger}(z) c_p^{\dagger}(z) c_g(z) c_S(z) \longrightarrow c_a^{\dagger}(z) c_S(z) c_p^{\dagger}(z) c_g(z)$$

[[[] [[]

(kein Vorzeichenwechsel, $\epsilon^2=1$). Im Beispiel erhält man:

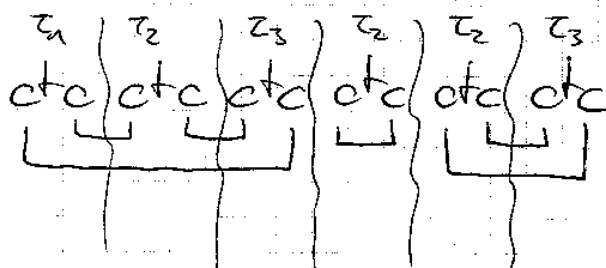


Die 2er-Einheiten lassen sich ohne Vorzeichenwechsel durch das Produkt ziehen. Wir halten die erste fest und holen von rechts eine weitere heran, so daß sich ein Ausdruck der Form $\underbrace{ctc}_{\downarrow} \underbrace{ctc}_{\downarrow} \underbrace{ctc}_{\downarrow}$ ergibt. Im Beispiel:



Jetzt kann - wenn vorhanden - eine dritte 2er-Einheit herangeholt werden, die ~~an~~ die zweite gemäß $\underbrace{ctc}_{\downarrow} \underbrace{ctc}_{\downarrow} \underbrace{ctc}_{\downarrow}$ anschließt usw. bis das Verfahren abbricht.

Danach kann mit ~~dann~~ am weitesten links stehenden und bislang unberücksichtigt gebliebenen 2er-Einheit fortgefahrt werden. Dann erhält schließlich (alles ohne Vorzeichenwechsel):



Der Term zerfällt in 3 "Schleifen", die den 3 Schleifen im Diagramm entsprechen. Da wir einen Propagator mit $\underline{\underline{cc}}$ übersetzt haben, in jeder Schleife aber gerade einmal eine Kontraktion \underline{ctc} vorkommt, bekommt das Diagramm einen Bruch vorzeichen E^S , wobei S die Anzahl der Schleifen ist (Schleifenregel).

6) Vorfaktor

Schließlich ist noch der verbleibende Vorfaktor

$$\frac{(-1)^n}{2^n n!}$$

zu berücksichtigen.

7) Regeln für den freien Erwartungswert der S-Matrix

Wir fassen zusammen: Der Beitrag n -ter Ordnung zu $\langle S(\beta, 0) \rangle^{(0)}$ ergibt sich als Summe der Terme, die durch alle verschiedenen Diagramme n -ter Ordnung dargestellt werden.

1) i -ter Vertex: $v(\alpha_i p_i; \delta_i \gamma_i)$

2) Propagator: $-G_{\alpha_i \beta_j}^{(0)}(\tau_i - \tau_j)$, τ_i : Verminderzeit, τ_j : Erzeugerzeit

3) Summation über alle $\alpha_i p_i \delta_i$ ($i=1, \dots, n$)

Integration über alle τ_i von 0 bis β

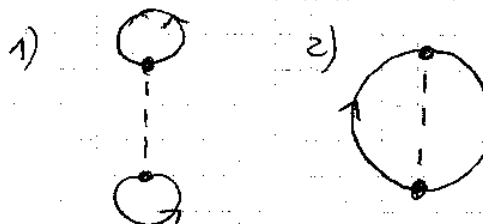
4) Bei Glüdzitzigkeitskort: $\tau_{\text{Erzeuger}} = \tau_{\text{Verminder}} + \alpha^+$

5) Faktor ϵ^S

6) Vorfaktor $\frac{(-1)^n}{2^n n!}$

Rsp.

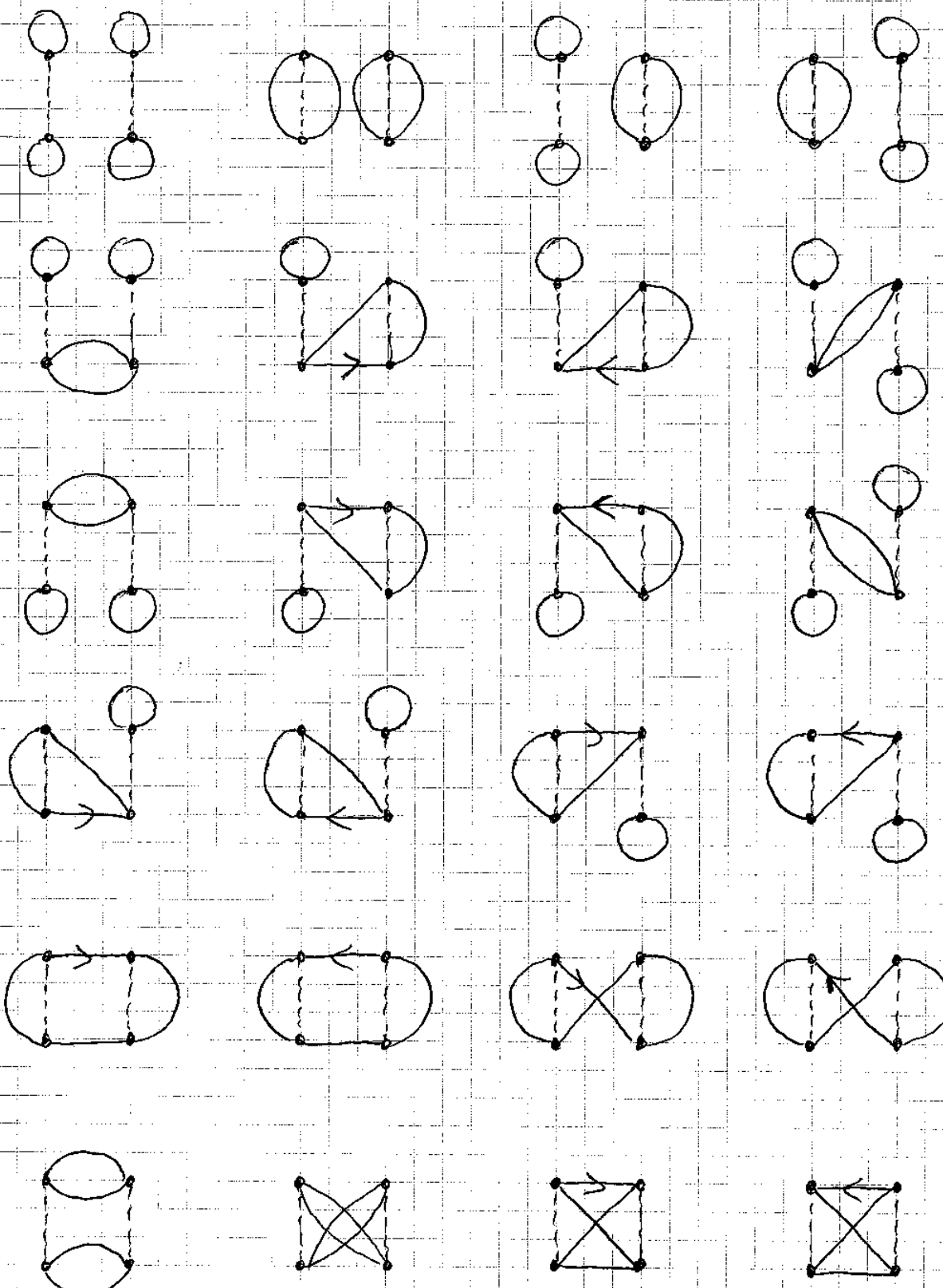
$n=1$, $(2 \cdot 1)! = 2$ Diagramme



(3sp)

 $n = 2$ $(2 \cdot 2)! = 24$ Diagramme

(85)

 $t_1 \quad t_2$ 

Bem.

- Vertizes sind "fest", Propagatoren können beliebig "verdickt" werden.
- Pfeilrichtungen sind zu beachten. In vielen Fällen ist es aber unnötig, jedem Propagator mit einem Pfeil zu versehen. Oft reichen einige wenige Pfeile pro Diagramm, um alle anderen eindeutig festzulegen.

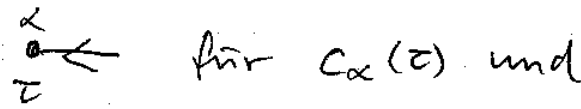
IV B Diagrammregeln der Zeitdarstellung

1) Regeln für den "Zähler" $\langle S \rangle^{\circ}$. (-G)

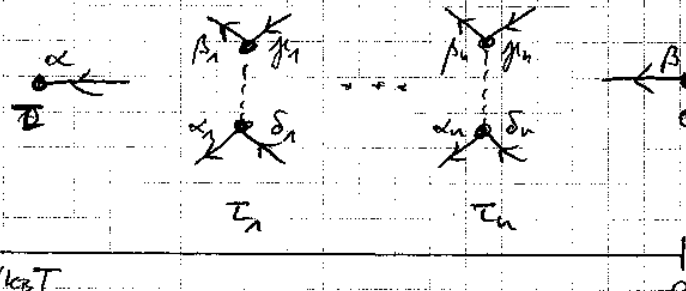
Wir kommen jetzt wieder zurück zur Diskussion der Gru - Teilchen - Matsubara - Funktion. (S. 75). Eine Diagrammdarstellung für den Verner haben wir bereits gefunden. Was ändert sich im Falle des Zählers

$$\sum_{n=0}^{\infty} \frac{(-1)^n}{n!} \int dz_1 \dots \int dz_n \langle T_z (V(z_1) \dots V(z_n) C_x(z) g^{\dagger}(0)) \rangle^{\circ} ?$$

- Wick-Theorem: totale Paarung aller Konstruktionsoperatoren, der in den $V(z_i)$ und der "äußeren", $C_x(z)$, $g^{\dagger}(0)$
- n Vertizes in n -ter Ordnung
- Zusätzlich 2 äußere Anschlußmöglichkeiten,

 für $C_x(z)$ und

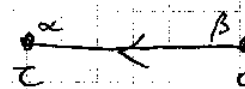
 für $g^{\dagger}(0)$



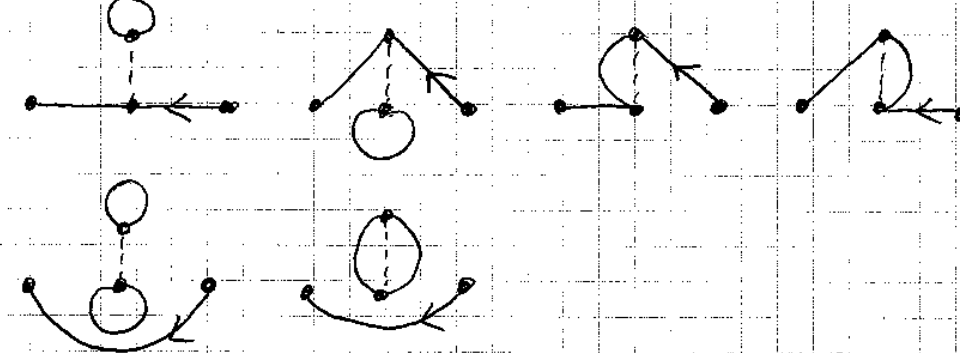
- $(2n+1)$ Propagatoren zur Darstellung der $(2n+1)$ Kontraktoren in der TP. Es gibt also $(2n+1)!$ verschiedene Diagramme
- Summen über alle inneren Indizes, Integrale über innere Zeiten (nicht über die äußeren)
- Schlußregel und Vorfaktor unverändert

Bsp.

$$n=0 \quad (2 \cdot 0 + 1)! = 1 \text{ Diagramm}$$



$$n=1 \quad (2 \cdot 1 + 1)! = 6 \text{ Diagramme}$$



Pfeile sind weggelassen, soweit möglich

2) Zusammenhängende Diagramme

Die bislang aufgetretenen Diagramme können folgendermaßen klassifiziert werden:

(Def)

Offenes Diagramm: Diagramm mit äußeren Anschlüssen
(→ Zähler)

Geschlossenes Diagramm: Diagramm ohne äußere Anschlüsse
(→ Nenner)

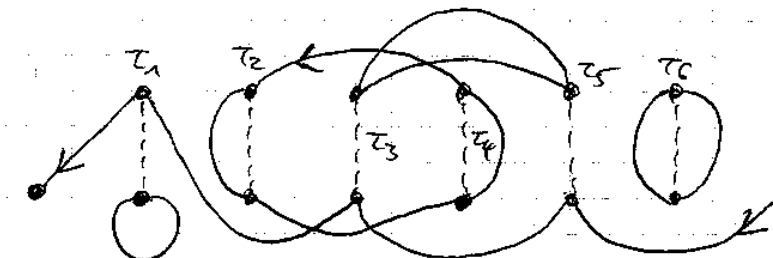
(Def)

Zusammenhängendes Diagramm:

Diagramm, das nicht durch einen Schnitt in 2 Teile zerlegt werden kann.

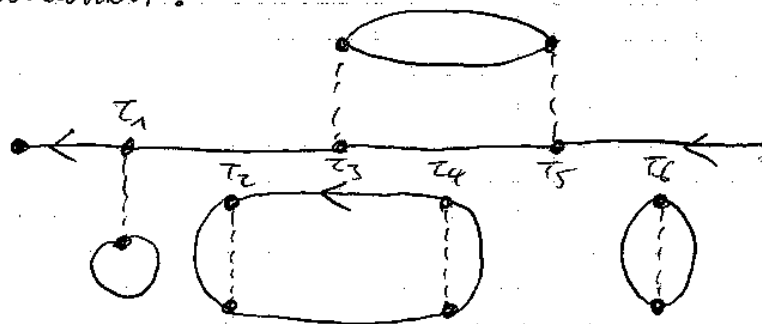
(Ex.)

a)

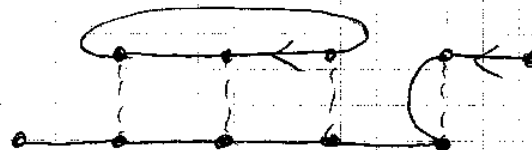


offen,
nicht zus-hängd-

Es ist offensichtlich erlaubt, ein solches Diagramm zu "entzerren", indem man die Vertizes geziert vertikal verschiebt!



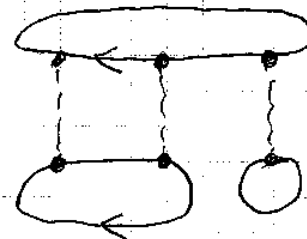
b)



offen,

zusammenhängend

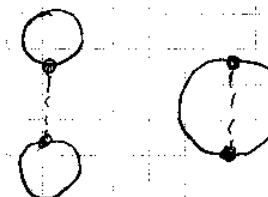
c)



geschlossen,

zusammenhängend

d)

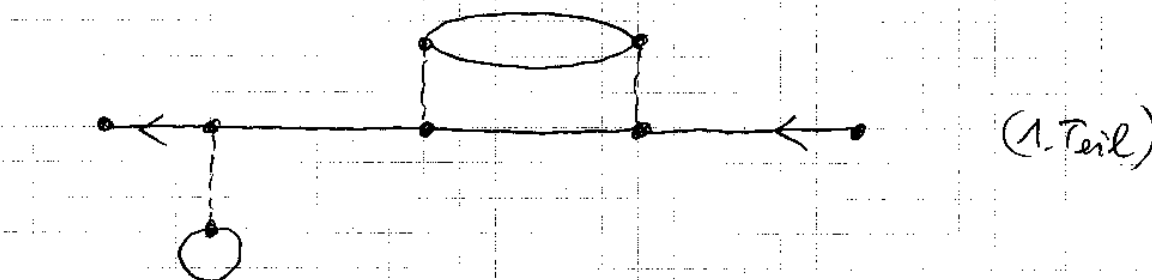


geschlossen

nicht zusammenhängend

Betrachten wir die Klasse der offenen, nicht zusammenhängenden Diagramme. Jedes dieser Diagramme besteht aus 2 Teilen.

Zum ersten Teil gehört die aus Propagatoren gebildete Linie von \bar{x}, x nach $0, \beta$ und alle Diagrammelemente (Propagatoren, Vertizes), die mit dieser Linie verbunden sind. Beispiel a):



Die weiteren Teile des Diagramms bilden den zweiten Teil. Beispiel a):



Der Gesamtbeitrag des Diagramms zum Zähler faktorisiert in diese beiden Teile:

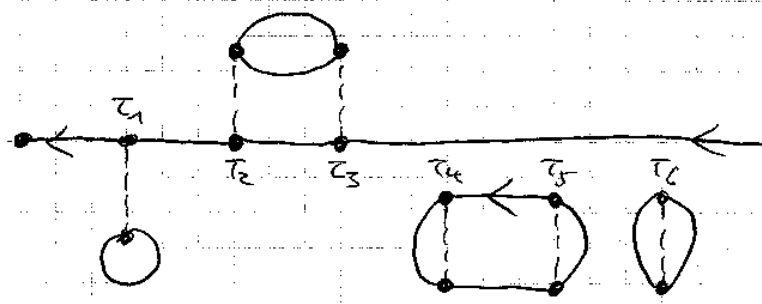
$$\begin{aligned} & \frac{(-1)^n}{n!} \int d\tau_1 \dots d\tau_n \langle T_C(V(\tau_1) \dots V(\tau_n) c_\alpha(\tau) g^\dagger(\tau)) \rangle^{\text{(c)}} \quad \text{bestimmtes Diagramm} \\ &= \frac{(-1)^n}{n!} \int d\tau_1 \dots d\tau_m \langle T_C(V(\tau_1) \dots V(\tau_m) c_\alpha(\tau) g^\dagger(\tau)) \rangle^{\text{(c)}} \quad \text{1. Teil} \\ & \quad \times \int d\tau_{m+1} \dots d\tau_n \langle T_C(V(\tau_{m+1}) \dots V(\tau_n)) \rangle^{\text{(c)}} \quad \text{2. Teil} \end{aligned}$$

$\langle \dots \rangle^{\text{(c)}}$ steht hier für den entsprechenden Summanden in der TP.

Beispiel a): $m=3, n=6$

In dem Diagramm

a')



sind gegenüber a) die verschiedenen Potential-Terme $V(\tau_i)$ anders in die beiden Teile aufgeteilt worden. Die Diagramme a) und a') sind verschieden, liefern aber denselben Wert.

Die Anzahl solcher Diagramme ist $\frac{n!}{m!(n-m)!}$, nämlich die

Anzahl der Möglichkeiten, die $V(\tau_i)$ in m Terme für den 1. Teil und in $(n-m)$ Terme für den 2. Teil aufzuteilen.

Der Gesamtbeitrag aller dieser Diagramme lässt sich unter Verwendung von

$$\frac{(-1)^n}{n!} \cdot \frac{n!}{m!(n-m)!} = \frac{(-1)^m}{m!} \cdot \frac{(-1)^{n-m}}{(n-m)!}$$

wie folgt angeben:

$$\frac{(-1)^m}{m!} \int d\zeta_1 \cdots \int d\zeta_m \langle T_{\zeta}(V(\zeta_1) \cdots V(\zeta_m) C_{\alpha}(\zeta) C_{\beta}^{+}(0)) \rangle^{(0)}_{1.\text{ Teil}}$$

$$\times \frac{(-1)^{n-m}}{(n-m)!} \int d\zeta_{m+1} \cdots d\zeta_n \langle T_{\zeta}(V(\zeta_{m+1}) \cdots V(\zeta_n)) \rangle^{(0)}_{2.\text{ Teil}}$$

Wir summieren jetzt die Beiträge aller Diagramme beliebiger Ordnung, die aus einem ganz bestimmten (offenen, zusammenhängenden) 1. Teil und einem beliebigen (geschlossenen, zusammenhängenden oder nicht zusammenhängenden) 2. Teil bestehen und erhalten:

$$\frac{(-1)^m}{m!} \int d\zeta_1 \cdots \int d\zeta_m \langle T_{\zeta}(V(\zeta_1) \cdots V(\zeta_m) C_{\alpha}(\zeta) C_{\beta}^{+}(0)) \rangle^{(0)}_{\text{bestimmtes Diagr.}} \\ 1.\text{ Teil}$$

$$\times \underbrace{\left[\sum_{k=0}^{\infty} \frac{(-1)^k}{k!} \int d\zeta_{m+1} \cdots d\zeta_{m+k} \langle T_{\zeta}(V(\zeta_{m+1}) \cdots V(\zeta_{m+k})) \rangle^{(0)} \right]}_{= \langle S(\beta, 0) \rangle^{(0)} !}$$

$\langle S(\beta, 0) \rangle^{(0)}$ kürzt sich damit damit in der Formel auf S. 75 gegen den Nenner herauf!

Damit folgt das wichtige Resultat:

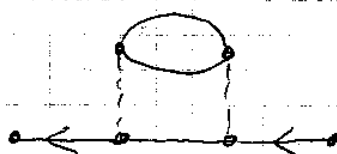
$$-\text{Gap}(\varepsilon) = \left\langle T_\varepsilon(S(\beta, 0) c_\alpha(z) c_\beta^\dagger(0)) \right\rangle_{\text{ens}}^{(0)}$$

$\left\langle \dots \right\rangle_{\text{ens}}$ deutet an, dass nur solche Summanden in der TP zu berücksichtigen sind, die an zusammenhängenden (offenen) Diagrammen führen. Die Ein-Teildchen-Hatsubara-Funktion wird also durch die Summe aller verschieden offenen und zusammenhängenden Diagramme dargestellt.

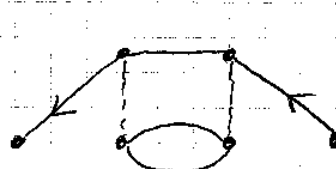
3) Topologisch gleiche Diagramme

Nun betrachte die folgenden Diagramme an $-\text{Gap}(\varepsilon)$:

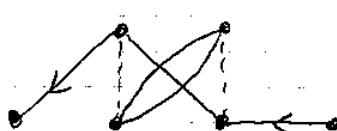
a)



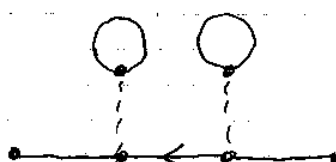
b)



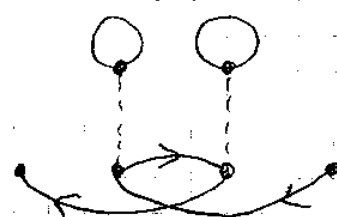
c)



d)



e)



Die Diagramme a), b) und c) sind paarweise verschieden, liefern aber denselben Wert. Nun kann auf die Unterscheidung zwischen oben und unten an jedem Vertex verzichten, dann:

$$T_c(\dots \underset{\text{oben}}{c_{\alpha_i}^t(\tau_i)} \underset{\text{unten}}{c_{\beta_i}^t(\tau_i)} c_{\gamma_i}(\tau_i) c_{\delta_i}(\tau_i) \dots)$$

$$= + T_c(\dots c_{\beta_i}^t(\tau_i) \underset{\text{oben}}{c_{\alpha_i}^t(\tau_i)} c_{\delta_i}(\tau_i) c_{\gamma_i}(\tau_i) \dots)$$

und

$$V(\alpha_i \beta_i \delta_i \gamma_i) = V(\beta_i \alpha_i \gamma_i \delta_i) \quad (\text{s. S. 12}).$$

Ein Diagramm n -ter Ordnung mit n Vertizes gehört damit zu einer Klasse von 2^n Diagrammen mit gleichem Wert.

Die Diagramme d) und e) sind verschieden, liefern aber den gleichen Wert. Nun kann die feste Nummerierung der Vertizes aufgeben, da alle Summanden in der TP ist:

$$\text{Satz - Satz } \left\langle T_c(V(\tau_1) \dots V(\tau_n) c_{\alpha}(\tau) c_{\beta}^{(0)}) \right\rangle_{\text{ans.}}$$

die nur durch eine Permutation der $V(\tau_i)$ aneinander hervorgehen, denselben Wert haben. Jedes Diagramm n -ter Ordnung gehört damit zu einer Klasse von $n!$ Diagrammen mit gleichem Wert.

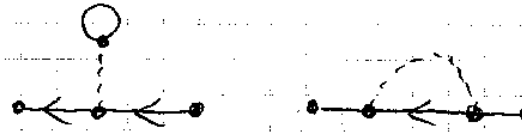
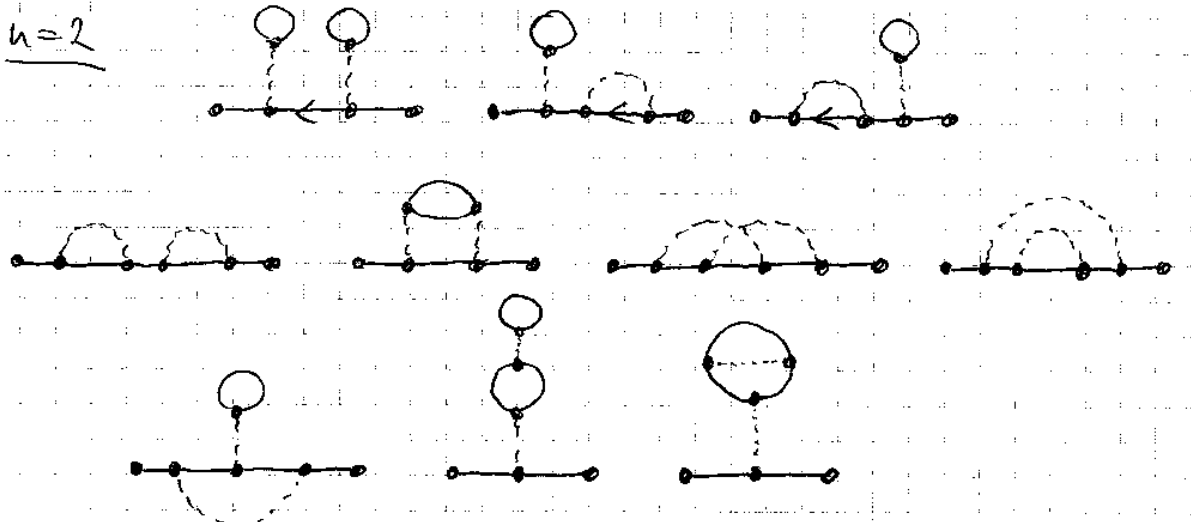
Def.

Zwei offene, zusammenhängende Diagramme on $G_{\text{sp}}(\mathbb{Z})$ heißen topologisch gleich, wenn sie sich durch eine beliebige, stetige Deformation der Diagramm-elemente (Vertices, Propagatoren) ineinander überführen lassen können. Die Pfeile an den Propagatoren bleiben dabei fest, genauso wie die äußeren Anschlussmöglichkeiten.

Lassen wir nur topologisch verschiedene Diagramme on , so können wir auf den Vorfaktor $\frac{1}{2^n n!}$ verzichten.

Bsp.

Alle topologisch verschiedene, zusammenhängende Diagramme on - $G_{\text{sp}}(\mathbb{Z})$ für

 $n=0$  $n=1$  $n=2$ 

Zu jedem dieser Diagramme gibt es weitere ($2^n n! - 1$) topologisch gleiche Diagramme, die denselben Wert liefern.

4) Diagrammregeln für die Ein-Teilchen-

Matsubara-Funktion in Zeitdarstellung

Wir formulieren nun die endgültigen Diagrammregeln für die Ein-Teilchen-Matsubara-Funktion in Zeitdarstellung:

Man suche alle topologisch verschiedenen, zusammenhängende, offene Diagramme. Der Beitrag eines Diagramms n -ter Ordnung berechnet sich gemäß

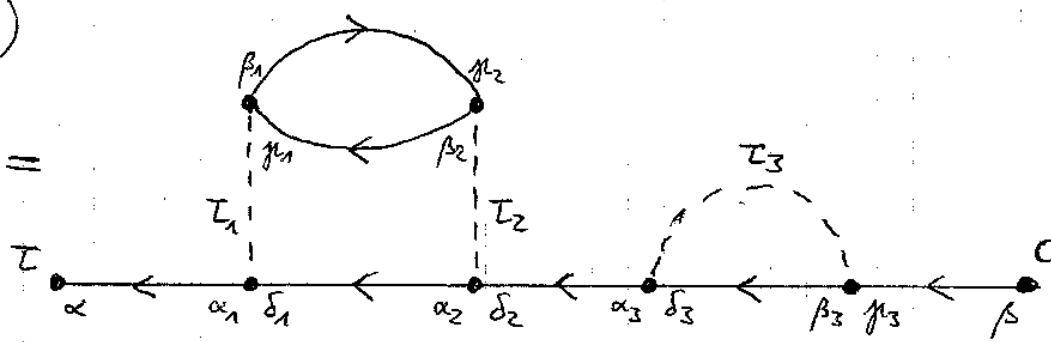
- 1) Vertex: $v(\alpha \beta \delta_{\mu})$
- 2) Propagator: $-G_{\alpha\beta}^{(0)}(\tau - \tau')$ τ : Vern.zeit, τ' : Erz.zeit
- 3) Summen und Integrale über alle inneren Indizes und Zeiten
- 4) Gleichzeitigkeit: $\tau_{\text{Erzenger}} = \tau_{\text{Vernüchter}} + 0^+$
- 5) Schleifen: ε^S
- 6) Faktor $(-1)^n$

Die Summe aller Diagramme ergibt $-G_{\alpha\beta}(\tau)$

5) Zusammensetzbarekeit von Diagrammen

Bsp.

$D =$



Der Beitrag dieses Diagramms zu $-G_{\alpha\beta}(\tau)$ ist:

$$\begin{aligned}
 -G_{\alpha\beta}^{(D)}(\tau) &= (-1)^3 (-1) \sum_{\alpha_1 \dots \delta_3} \int_{\alpha_1}^{\beta_1} d\tau_1 \int_{\alpha_2}^{\beta_2} d\tau_2 \int_{\alpha_3}^{\beta_3} d\tau_3 \\
 &\times V(\alpha_1 \beta_1 \delta_1 \gamma_1) V(\alpha_2 \beta_2 \delta_2 \gamma_2) V(\alpha_3 \beta_3 \delta_3 \gamma_3) \\
 &\times (-1)^7 G_{\alpha\alpha_1}^{(0)}(\tau - \tau_1) G_{\delta_1\alpha_2}^{(0)}(\tau_1 - \tau_2) G_{\delta_2\alpha_3}^{(0)}(\tau_2 - \tau_3) G_{\delta_3\beta_3}^{(0)}(-0^+) G_{\beta_3\beta}^{(0)}(\tau_3 - 0) \\
 &\times G_{\beta_1\beta_2}^{(0)}(\tau_1 - \tau_2) G_{\beta_2\beta_3}^{(0)}(\tau_2 - \tau_3)
 \end{aligned}$$

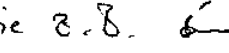
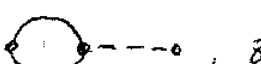
Für die freien Hartree-Fock-Funktion hatten wir abgeleitet:

$$G_{\alpha\beta}^{(0)}(\tau) = \sum_k U_{\alpha k} G_k^{(0)}(\tau) U_{k\beta}^{-1}$$

$$G_k^{(0)}(\tau) = -e^{-\epsilon(\tau) \gamma_k \tau} \left[\Theta(\tau) (1 + \varepsilon \langle n_k \rangle^{(0)}) + \Theta(-\tau) \varepsilon \langle n_k \rangle^{(0)} \right]$$

$$\langle n_k \rangle^{(0)} = \frac{1}{e^{\epsilon(\tau) \gamma_k \tau} - \varepsilon}$$

Die Ausführung der τ -Integrale ist wegen der Θ -Funktionen in $G_{\alpha\beta}^{(0)}(\tau)$ etwas kompliziert. In der im folgenden zu diskutierenden Energiedarstellung ist die Berechnung von Diagrammen c. aly. praktischer.

An dem Beispiel kann man sehen, dass sich Diagramme aus elementaren Bestandteilen, wie z.B.  oder , zusammensetzen lassen, welche man vorab berechnen kann. Die Zusammensetzbarkeit von Diagrammen erleichtert konkrete Rechnungen. Sie basiert auf der Tatsache, dass die Diagrammregeln gewissermaßen "lokal" sind. D.h. in die Berechnung eines Diagrammteils gehen keine globalen Diagrammeigenschaften ein, wie z.B. die Ordnung des Diagramms. Bei der Diskussion des graphenähnlichen Potentiale werden wir feststellen, dass die Zusammensetzbarkeit in diesem Fall nicht gegeben ist.

IV C Diagrammregeln in Energiedarstellung

Wir führen jetzt den Übergang in die Energiedarstellung aus.

In Zeitdarstellung:

$$\begin{array}{c} \tau_x \\ \alpha \end{array} \xleftarrow{\hspace{1cm}} \begin{array}{c} \tau_x' \\ \alpha' \end{array} \quad \leftrightarrow \quad -G_{\alpha\alpha'}^{(0)}(\tau_x - \tau_x')$$

Fourier-Transformation:

$$-G_{\alpha\alpha'}(\tau_x - \tau_x') = \frac{1}{\beta} \sum_{n=-\infty}^{\infty} e^{-iE_n(\tau_x - \tau_x')} \cdot (-G_{\alpha\alpha'}^{(0)}(iE_n))$$

In Energiedarstellung:

$$\begin{array}{c} E_n \\ \alpha \end{array} \xleftarrow{\hspace{1cm}} \begin{array}{c} E_n \\ \alpha' \end{array} \quad \leftrightarrow \quad -G_{\alpha\alpha'}^{(0)}(iE_n)$$

Die Energievariable E_n übernimmt die Rolle der Zeitvariablen τ_x, τ_x' . Als innere Variable, über die zu

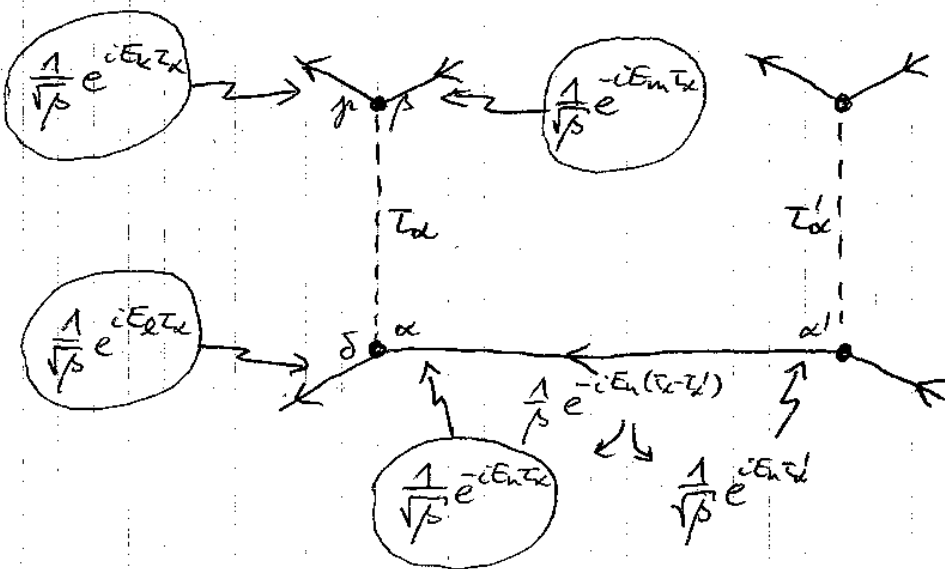
(98)

summieren sind, gelten jetzt die E_n und die Indizes α, β, \dots der E_n -Teilchen-ONS.

Der verbleibende Term wird genauso

$$\frac{1}{\sqrt{\rho}} e^{-iE_n(\tau_x - \tau'_x)} = \frac{1}{\sqrt{\rho}} e^{-iE_n \tau_x} \cdot \frac{1}{\sqrt{\rho}} e^{iE_n \tau'_x}$$

aufgeteilt und an den beiden Vertices gerechnet, die durch den Propagator verbunden werden:



Jeder Vertex erhält demnach neben $v(\alpha \beta \delta p)$ einen weiteren Faktor

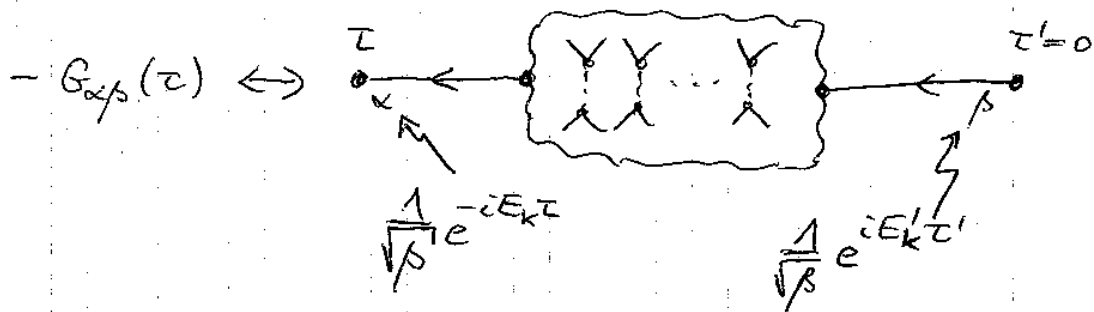
$$\int d\tau_x \left(\frac{1}{\sqrt{\rho}} \right)^4 e^{-i(E_n + E_m - E_k - E_\ell) \tau_x} = \frac{1}{\rho} \delta_{E_n + E_m, E_k + E_\ell}$$

(Da weitere τ_x -Abhängigkeiten im Diagramm nicht auftreten, kann die τ_x -Integration durchgeführt werden).

In jedem Vertex gilt damit die "Energieerhaltung"

"Die Summe der einlaufenden Energien
ist gleich der Summe der auslaufenden"

Nachdem wir jeden Propagator Fourier-transformiert und alle inneren τ -Integrationen ausgeführt haben, verbleiben noch zwei Faktoren, die von den äußeren Propagatoren stammen.



Da innerhalb der "black box" auf jeden Fall die Energieerhaltung gilt, muss $E_k = E'_k$ sein.

Für die Fourier-transformierte Matsubara-Funktion gilt also:

$$\begin{aligned} -G_{\alpha\beta}(iE_n) &= \int_0^\beta d\tau [-G_{\alpha\beta}(\tau)] e^{iE_n\tau} \\ &= \int_0^\beta d\tau e^{iE_n\tau} \cdot \frac{1}{\beta} e^{-iE_k\tau} \cdot \left[\text{Diagram with } \begin{matrix} E_k & \xleftarrow{\alpha} & \text{Box} & \xleftarrow{\beta} & E'_k \end{matrix} \right] \\ &= \delta_{E_n E_k} \left[\text{Diagram with } \begin{matrix} E_n & \xleftarrow{\alpha} & \text{Box} & \xleftarrow{\beta} & E_n \end{matrix} \right] \end{aligned}$$

Wir vereinbaren, die Energivariablen an den äußeren Propagatoren nicht als frei zu betrachten, sondern festgelegt durch die "äußere" Energie E_n . Dann ist $\delta_{E_n E_k} = 1$.

Wir fassen zusammen:

Diagrammregeln für die Ein-Teilchen-Matsubara-Funktion in Energiedarstellung

$$1) \text{ Vertex: } \frac{1}{\beta} \delta_{E_F + E_S, E_K + E_E} v(\alpha; \beta_i; \delta_i; p_i)$$

einlaufend \uparrow \downarrow auslaufend

$$2) \text{ Propagator: } -G_{\alpha\beta}^{(0)}(iE_K)$$

3) Summen über alle inneren Indizes und Energien

4) Energie der äußeren Propagatoren: E_n (äußere Energie)

$$5) \text{ Gleichzeitigkeit: } -G_{\alpha\beta}^{(0)}(iE_K) e^{iE_K 0^+}$$

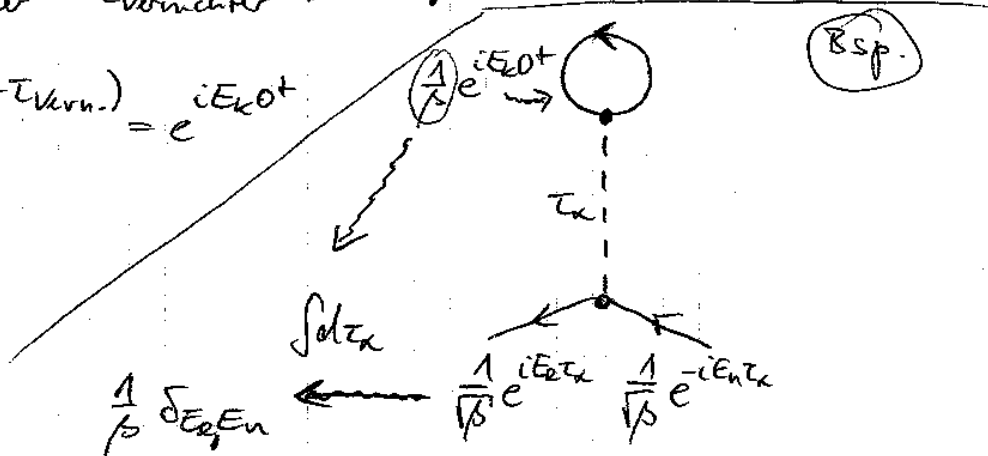
$$6) \text{ Schleifen: } \varepsilon^S$$

$$7) \text{ Faktor: } (-1)^n$$

→ Beitrag eines Diagramms n -ter Ordnung zu $-G_{\alpha\beta}(iE_n)$

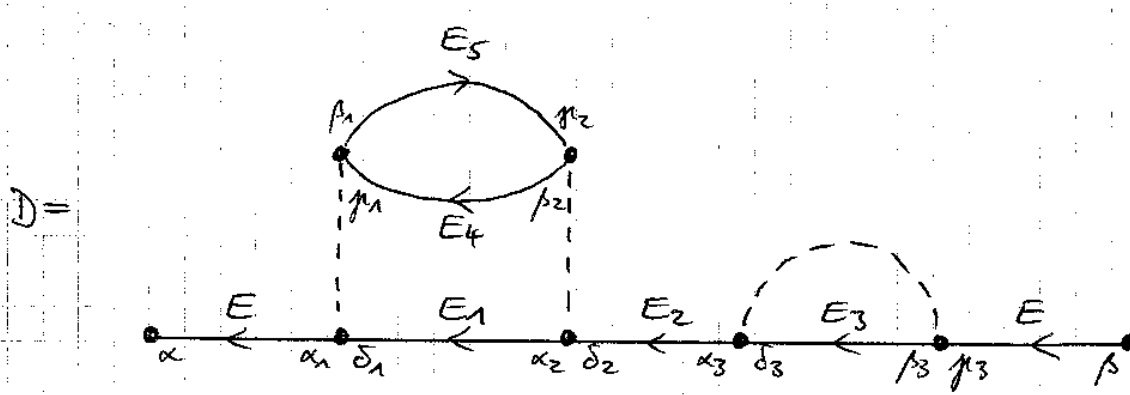
Der gesuchte Faktor $e^{iE_K 0^+}$ bei Propagatoren, die am gleichen Vertex beginnen und enden, ist das Analogon zu $T_0 = T_{\text{Vorichter}} + 0^+$:

$$e^{iE_K(T_{\text{Vor.}} - T_{\text{Vern.}})} = e^{iE_K 0^+}$$



Bsp. (vergl. S. 96)

101



$$\begin{aligned}
 -G_{\alpha\beta}^{(0)}(iE) &= (-1)^3(-1) \sum_{\alpha_1 \dots \delta_3} \sum_{E_1 \dots E_5} V(\alpha/\delta_1 p_1) V(\alpha_2 \beta_2 \delta_2 p_2) V(\alpha_3 \beta_3 \delta_3 p_3) \\
 &\times \frac{1}{\beta^3} \delta_{E+E_5, E_1+E_4} \delta_{E_1+E_4, E_2+E_5} \delta_{E+E_3, E_2+E_3} \\
 &\times (-1)^7 G_{\alpha\alpha_1}^{(0)}(iE) G_{\delta_1\alpha_2}^{(0)}(iE_1) G_{\delta_2\alpha_3}^{(0)}(iE_2) G_{\delta_3\beta_3}^{(0)}(iE_3) G_{\beta_3\beta}^{(0)}(iE) \\
 &\times G_{p_1 p_2}^{(0)}(iE_4) G_{p_2 p_1}^{(0)}(iE_5) \times e^{iE_3 0^+}
 \end{aligned}$$

Wegen $E_2 = E$, $E_1 + E_4 = E_2 + E_5 \Rightarrow E + E_5 = E_1 + E_4$ ist
eine "Energie-Erhaltung" redundant.

Nun sieht:

Diagramm n-ter Ordnung

n Vertizes

n "Energie-Erhaltungs-Bedingungen"

1 Energie-Erhaltung redundant

2n+1 Propagatoren

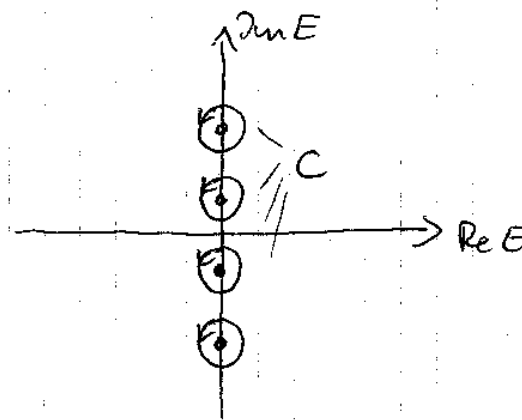
2n-1 innere Energiewellen

n freie Energiewellen

Zum Abschluß beweisen wir noch eine nützliche Formel zur Berechnung der Energie-Summen:

$$\frac{1}{\beta} \sum_{E_n} F(iE_n) = \frac{\varepsilon}{2\pi i} \oint_C \frac{F(E)}{e^{\beta E} - \varepsilon} dE$$

C umschließt die (fermionischen bzw. bosonischen) Ratsubara-Energien in der komplexen E -Ebene:



$F(E)$ ist die (einzig bestimmt) analytische Fortsetzung der auf den Ratsubara-Energien gegebenen Funktion $F(iE_n)$. F muß stärker als $1/E$ für $E \rightarrow \infty$ verschwinden, damit die Summe konvergiert.

Beweis:

Die Fermi- bzw. Bose-Funktion $\frac{1}{e^{\beta E} - \varepsilon}$ besitzt Pole

1. Ordnung an den Ratsubara-Energien. Dies sieht man an der Entwicklung von $e^{\beta E}$ um $E = iE_n$:

$$\begin{aligned} e^{\beta E} &= e^{\beta iE_n} + (E - iE_n) \beta e^{\beta iE_n} + \dots \\ &= \varepsilon + \varepsilon \cdot \beta \cdot (E - iE_n) + \dots \end{aligned}$$

Also:

$$\frac{1}{e^{\beta E} - \varepsilon} \approx \frac{1}{\beta} \frac{\varepsilon}{E - iE_n} \quad \text{für } E \rightarrow iE_n.$$

Für das Residuum folgt:

$$\text{res}_{iE_n} \left(\frac{1}{e^{\beta E} - \varepsilon} \right) = \frac{\varepsilon}{\beta}$$

Damit gilt:

$$\begin{aligned} \frac{\varepsilon}{2\pi i} \oint_C \frac{F(E)}{e^{\beta E} - \varepsilon} dE &= \varepsilon \sum_{E_n} \text{res}_{iE_n} \left(\frac{F(E)}{e^{\beta E} - \varepsilon} \right) \\ &= \varepsilon \sum_{E_n} \frac{\varepsilon}{\beta} F(iE_n) = \frac{1}{\beta} \sum_{E_n} F(iE_n) \quad \checkmark \end{aligned}$$

V Selbstenergie

In der bislang abgeleiteten Störungstheorie sind die Matsubara-Funktion und damit die Spektraldiverzit und dynamische Größen des wechselwirkenden Viel-Teilchen-Systems als (komplizierte) Funktionale der freien Matsubara-Funktion gegeben. Die Eigenschaften des freien Systems sind aber eigentlich ohne jede Relevanz; das freie Anregungsspektrum kann niemals experimentell bestimmt werden, da die Teilchen immer wechselwirken. Die (Coulomb-) Wechselwirkung kann strenggenommen auch nicht als schwach bezeichnet werden. Dies lässt das Konzept der Störungstheorie fragwürdig erscheinen. Einen Ausweg bietet die Methode der Partialsummen bzw. der selbstkonsistenten Renormierung.

V A Dyson-Gleichung

Die im folgenden zu diskutierende erste Partialsummation führt zur sogenannten Dyson-Gleichung.

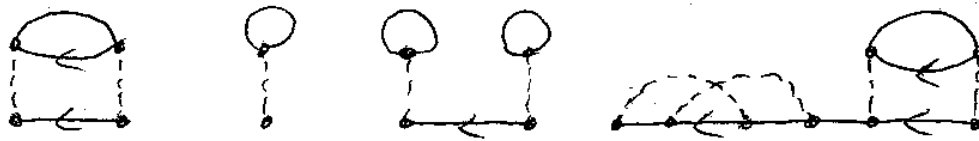
(Def.)

Selbstenergieeinschub:

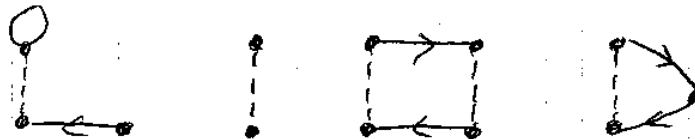
Teil eines Diagramms zur Ein-Teilchen-Matsubara-Funktion mit zwei Anschlussmöglichkeiten, eine für eine einlaufende und eine für eine auslaufende Linie.

Bsp.

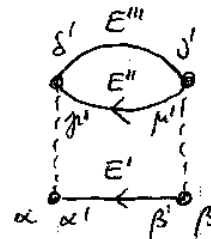
Selbstenergieinschübe:



ungültig:



Bei einem Selbstenergieeinschub, z.B.

unterscheiden wir zwischen inneren und äußeren Variablen.

Innerer Indizes sind solche, über die summiert werden kann.
(z.B. Bsp. alle gestrichenen). Es blieben zwei äußere Indizes
 α und β , von denen ein Selbstenergieeinschub abhängt.

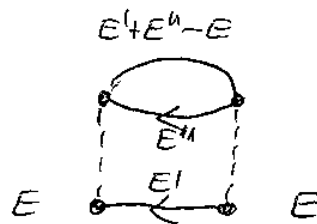
Sehen wir uns jetzt die Energieerhaltung an:

Selbstenergieeinschub n-ter Ordnung
n Vertizes

n Energieerhaltungsbedingungen, davon:

- 1 Energieerhaltung, die ausdrückt, dass die in den Einschub eintauende gleich der austauenden Energie sein muss.
- 2n-1 Propagatoren, innere Energien
- n freie Energivariablen

Bsp.

 E^I, E^H frei

Also: Ein Selbstenergiereinschub hängt von 2 äußeren Indizes und 1 äußeren Energie ab.

Def.

Uneigentliche (reduzible) Selbstenergie $\tilde{\Sigma}_{\text{qs}}(iE)$

- $\tilde{\Sigma}_{\text{qs}}(iE)$ = Summe der Beiträge aller Selbstenergiereinschübe mit Energie iE und Anschlagsmöglichkeiten für mit α und β beginnende bzw. endende äußere Propagatoren.

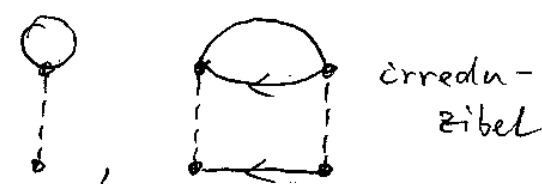
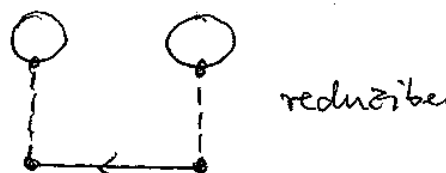
$$-\tilde{\Sigma}_{\text{qs}}(iE) = \text{Diagramm } \alpha_{\text{qs}} + \text{Diagramm } \beta_{\text{qs}} + \text{Diagramm } \gamma_{\text{qs}} + \text{Diagramm } \delta_{\text{qs}} + \dots$$

Def.

Eigentlicher (irreduzibler) Selbstenergiereinschub

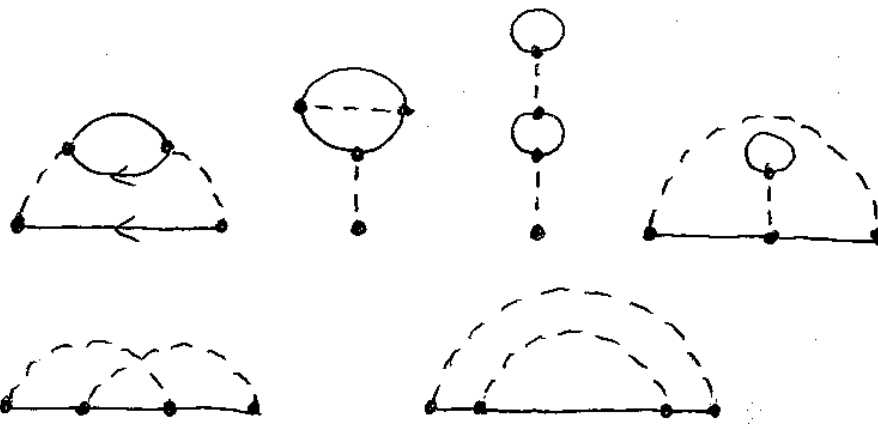
Selbstenergiereinschub, der sich nicht durch Auftrennen eines Propagators in zwei Anteile zerlegen lässt.

Bsp.



Alle irreduziblen Selbstenergiereinschübe in Ordnung

 $n=1$:

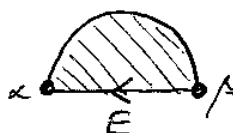
$n=2$:

(Def)

Selbstenergie $\Sigma_{\text{ex}}(iE)$

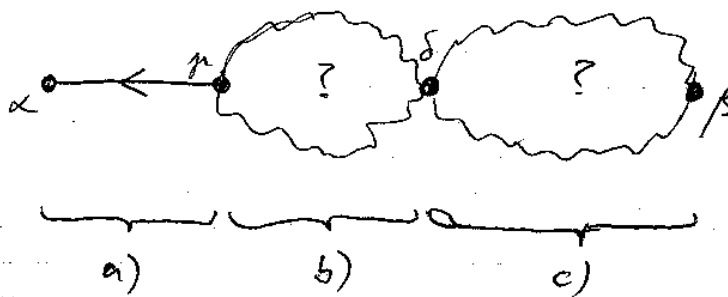
- $\Sigma_{\text{ex}}(iE) = \text{Summe der Beiträge aller irreduziblen Selbstenergieeinheiten}$

Symbol:



Wir leiten jetzt die Dyson-Gleichung ab: Ein beliebiges Diagramm zur Γ -Teilchen-Matsubara-Funktion

- $G_{\text{ex}}(iE)$ lässt sich offensichtlich immer in 3 Anteile zerlegen (Ausnahme: das Diagramm 0. Ordnung):



$$\text{a)} - G_{\alpha\beta}^{(0)}(iE)$$

b) irreduzibler Selbstenergieeinheit

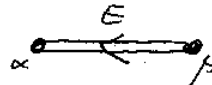
c) beliebiges Diagramm zur Matsubara-Funktion $-G_{\beta\delta}(iE)$

Nun erhält die Matsubara-Funktion $-G_{\text{FS}}(iE)$, wenn man in b) über alle corr. Selbstenergierechte summiert (dies ergibt $-\sum_{\text{FS}}(iE)$) und in c) über alle Diagramme zu $-G_{\text{FS}}(iE)$. Also:

Dyson-Gleichung

$$G_{\text{FS}}(iE) = G_{\text{FS}}^{(0)}(iE) + \sum_{\text{FS}} G_{\text{FS}}^{(0)}(iE) \sum_{\text{FS}}(iE) G_{\text{FS}}(iE)$$



zoober wir $-G_{\text{FS}}(iE)$ durch das Symbol  dargestellt haben.

Bem.

Hat man einen (z.B. approximative) Ausdruck für die Selbstenergie gefunden, so kann die Matsubara-Funktion durch Lösen der Dyson-Gleichung bestimmt werden:

Inversion:

$$\underline{G}(iE) = \underline{G}^{(0)}(iE) + \underline{G}^{(0)}(iE) \sum(iE) \underline{G}(iE)$$

(Matrixschreibweise)

\Rightarrow

$$\underline{G}(iE) = (1 - \underline{G}^{(0)}(iE) \sum(iE))^{-1} \cdot \underline{G}^{(0)}(iE)$$

$$\underline{G}(iE) = \frac{1}{\frac{1}{\underline{G}^{(0)}(iE)} - \sum(iE)}$$

Iterations:

$$\text{Diagramm} = \text{Diagramm} + \text{Diagramm} + \text{Diagramm} + \dots$$

Mit Hilfe der Dyson-Gleichung summiert man eine unendliche Teilreihe von Diagrammen auf (Partialsumme).

V B Skelett-Diagramme, selbstkonsistente

Renormierung

Die Dyson-Gleichung ermöglicht es, die Matsubara-Funktion durch die Selbstenergie auszudrücken. Eine weitere Vereinfachung durch Bilden von Partialsummen werden wir jetzt vornehmen.

In der Diagrammdarstellung für $-\Sigma_{\text{FS}}(iE)$ treten z.B. die folgenden Diagramme auf:

$$\begin{aligned}
 \text{Diagramm} &= \dots + \left\{ \begin{array}{c} \text{Diagramm} \\ + \text{Diagramm} \\ + \text{Diagramm} \end{array} \right. \\
 &\quad + \text{Diagramm} + \text{Diagramm} \\
 &\quad + \text{Diagramm} + \dots \\
 &\quad + \dots
 \end{aligned}$$

Nun erhält diese Untermenge von Diagrammen, wenn man in den Propagatoren des Ausgangsdiagramms, hier mehr und mehr Selbstenergiediagramme einbetont.

Es gilt offenbar:

$$\text{Diagramm} = \dots + \left\{ \begin{array}{c} \text{Diagramm} \\ \text{mit} \\ \text{Selbstenergielinie} \end{array} \right\} + \dots$$

wobei

$$\text{Diagramm} = \text{Diagramm} + \text{Diagramm} + \dots$$

Dieser "Trick" kann auf die ganze Diagrammareihe angewendet werden und führt zu einer deutlichen Vereinfachung:

$$\text{Diagramm} = \text{Diagramm} + \text{Diagramm} \quad (n=1)$$

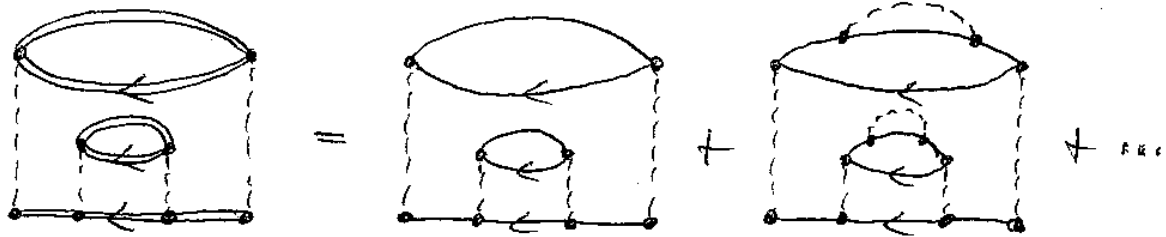
$$+ \text{Diagramm} + \text{Diagramm} \quad (n=2)$$

$$+ \dots \quad (n \geq 3)$$

Nur je 2 Diagramme sind für $n=1$ und $n=2$ zu berücksichtigen!

111

Es muss darauf geachtet werden, daß kein Diagramm doppelt gezählt wird. Z.B. trifft das Diagramm



nicht in der vereinfachten Reihe auf, denn es ist bereits in enthalten.

Def-

Ein Selbstenergiendiagramm heißt ein Skelett, falls es ausschließlich aus Propagatoren aufgebaut wird, die keine Selbstenergieeinschränke beinhalten.

Def-

Ein angezogenes Skelett ist ein Skelett aus der Entwicklung der Selbstenergie, bei dem jeder seines Propagatoren \longleftrightarrow durch \longleftrightarrow , also durch die wechselwirkende Ein-Teilchen - Bratschera - Funktion ersetzt ist.

Es gilt:

$$\text{Selbstenergie} = \text{Summe aller angezogenen Skelette}$$

Natürlich ist der wechselwirkende Propagator nicht bekannt. Er muß aus der Dyson - Gleichung erst bestimmt werden.

(M2)

Damit sind

$$\text{Diagramm} = \text{Diagramm} + \text{Diagramm} + \text{Diagramm} + \dots$$

und

$$\text{Diagramm} = \text{Diagramm} + \text{Diagramm}$$

gleichzeitig zu lösen. Dies kann iterativ geschehen, bis bei Selbstkonsistenz abgebrochen werden kann. Das gesuchte Verfahren heißt demnach selbstkonsistente Renormierung.

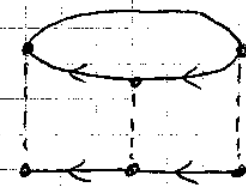
(Beispiel)

Die Doppellinien in der Skelett-Diagramm-Entwicklung werden oft ausgelassen und durch einfache Linien ersetzt. Dabei wird vereinbart, daß alle Propagatoren bereits angezogen sind.

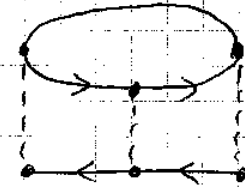
Bsp.

113

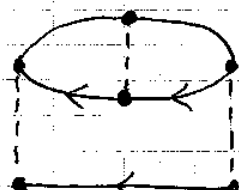
Alle Skelett-Diagramme in 3. Ordnung



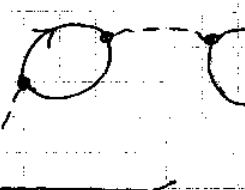
(1)



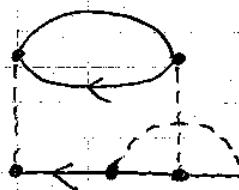
(2)



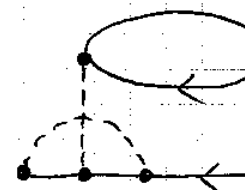
(3)



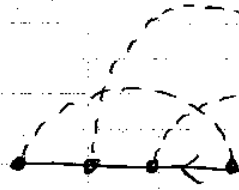
(4)



(5)



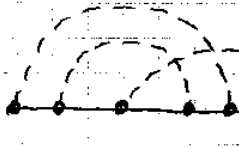
(6)



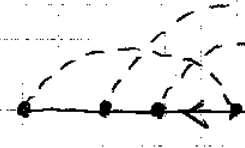
(7)



(8)

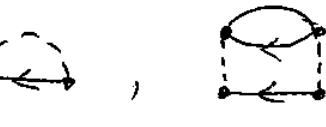
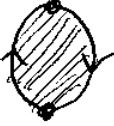


(9)



(10)

Als weiteres Beispiel für selbstkonsistente Renormierung diskutieren wir (schematisch) die angezogene oder effektive Wechselwirkung:

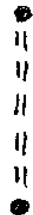
Vertex	Propagator
Polarisations einschub z.B.	Selbstenergie einschub z.B.
Auschlussmöglichkeiten für 2 äußere Wechselwirkungslienien	Auschlussmöglichkeiten für 2 äußere Propagatoren
Irreduzibler Polarisationseinschub reduzibel: 	Irreduzibler Selbstenergie einschub reduzibel: 
Polarisationspropagator: Summe aller irreduziblen Polarisationseinschübe 	Selbstenergie: Summe aller irreduziblen Selbstenergieeinschübe 

Effektive (angezogene)
Wechselwirkung:

Summe aller Diagramme
der Form



Symbol:

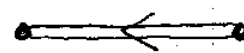


Wechselwirkender Propagator

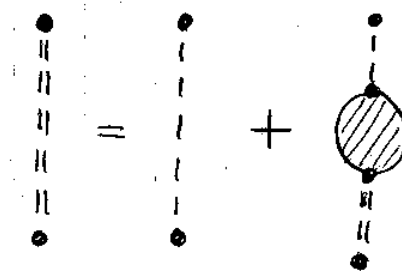
Summe aller Diagramme
der Form



Symbol:



Zerlegung der effektiven WW:



Entfernen aller Polarisations-
einschübe aus einem Diagramm
des Polarisationspropagators

→ Skelett

Zerlegung des ww Propagators:



(Dyson-Gleichung)

Entfernen aller Selbstenergie-
einschübe aus einem Diagramm
der Selbstenergie

→ Skelett

Polarisationspropagator =
Summe aller angezogenen
Skelette

Selbstenergie =
Summe aller angezogenen
Skelette

(M6)

Nun kann man weiter gehen und alle Polarisations einschübe aus Selbstenergiediagrammen bzw. alle Selbstenergieeinschübe aus Polarisationspropagator-Diagrammen entfernen, um dann anschließend die entstandenen Skelette wieder anzuziehen. Man erhält z.B.

$$\text{Diagramm} = \text{Diagramm mit Einschub} + \text{Diagramm ohne Einschub} \quad (n=1)$$

$$+ \text{Diagramm mit Einschub} \quad (n=2)$$

$$+ \text{Diagramm mit Einschub} + \text{Diagramm mit Einschub} + \text{Diagramm mit Einschub} \quad (n=3)$$

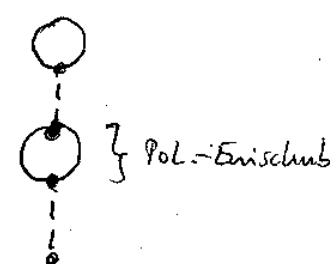
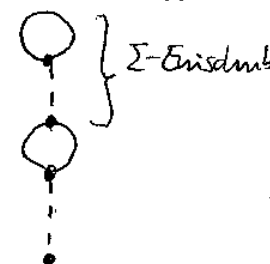
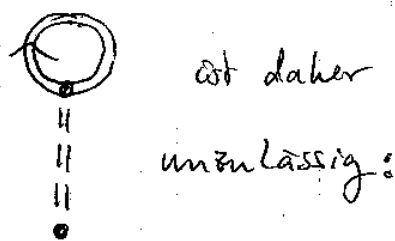
$$+ \text{Diagramm mit Einschub} + \text{Diagramm mit Einschub} + \text{Diagramm mit Einschub}$$

+ ...

(vergl. S. 113)

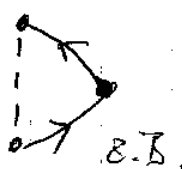
Fr mit Doppellinien usw.

Beim Verfahren der selbstkonsistenten Renormierung ist stets zu beachten, daß kein Diagramm doppelt gezählt wird.



Weitere Renormierungen lassen sich auch durch die Definition von Vertex - Einschüben konstruieren.

Vertex - Einschub: Diagramm mit Anschlußmöglichkeiten für zwei äußere Propagatoren und eine äußeren Wechselwirkungslinie



117

VC Einfache Approximationen

Einfache Näherungen für die Selbstenergie erhält man, wenn man die Skellett-Diagramm-Entwicklung nach endlich vielen Termen abbildet.

1) Hartree - Fock - Theorie

$$\text{Diagram showing the decomposition of a Hartree-Fock orbital into a Hartree term and a Fock term.}$$

The diagram illustrates the decomposition of a Hartree-Fock orbital into two components. On the left, a shaded semi-elliptical orbital is shown with points α and β at its vertices. This is followed by an approximation symbol (\approx). To the right of the symbol is a diagram of a ring with a central point labeled $\delta \cdot p$, with a dashed line labeled $\alpha \cdot p$ passing through it. Below this is the label "(Hartree)". To the right of the plus sign (+) is another diagram showing a dashed elliptical orbital with points α , s , and p marked. Below this is the label "(Fock)".

Abbrechen nach der 1. Ordnung ergibt die feldtheoretische Version der Hartree-Fock-Theorie. Die gewöhnliche HF-Theorie erhält man als Spezialfall $T=0$.

- Hartree-Term: ($\varepsilon = -1$)

$$-\sum_{\alpha\delta}^{(4)}(iE) = (-1)(-1)\sum_{p\delta}\sum_{E'}\left(-G_{p\delta}(iE')e^{iE'0+}\right)\frac{1}{p}v(\alpha\delta/p)$$

$$\frac{1}{A} \sum_{E'} G_{p\delta}(cE') e^{iE'0^+} \underset{S.50}{=} G_{p\delta}(-0^+) = - \langle \tau_z(c_p(-0^+) c_\delta^+(0)) \rangle$$

$$= -\varepsilon \langle c_\delta^+ c_p \rangle^{\varepsilon=-1} = \langle c_\delta^+ c_p \rangle$$

$$\sum_{\alpha\beta}^{(H)}(iE) = \sum_{\alpha\beta}^{(H)} = \sum_{\mu\delta} v(\alpha\delta/\mu) \langle c_\delta^\dagger c_\mu \rangle$$

• Fock-Terme:

$$-\sum_{\alpha\beta}^{(F)}(iE) = (-1) \sum_{\gamma\delta} \sum_{E^I} (-G_{\gamma\delta}(iE^I) e^{iE^I \text{tot}}) \frac{1}{\rho} V(\alpha\gamma\delta\beta)$$

$$\sum_{\alpha\beta}^{(F)}(iE) = \sum_{\alpha\beta}^{(T)} = - \sum_{\gamma\delta} V(\alpha\delta\gamma\beta) \langle c_\delta^\dagger c_\gamma \rangle$$

Die Hartree-Fock-Selbstenergie

$$\sum_{\alpha\beta}^{(HF)}(iE) = \sum_{\gamma\delta} (V(\alpha\delta\gamma\beta) - V(\alpha\delta\gamma\beta)) \langle c_\delta^\dagger c_\gamma \rangle$$

ist energieunabhängig und reell. Der Erwartungswert $\langle c_\delta^\dagger c_\gamma \rangle$ muss selfkonsistent bestimmt werden:

$$\langle c_\delta^\dagger c_\gamma \rangle \rightarrow \sum_{\alpha\beta}^{(HF)} \xrightarrow[\text{Gleichung}]{\text{Dyson-}} G_{\alpha\beta}(iE) = \left(\frac{1}{G^{(0)}(iE) - \sum_{\gamma\delta}^{(HF)}} \right)_{\alpha\beta}$$

$$\langle c_\delta^\dagger c_\gamma \rangle = \frac{1}{\rho} \sum_{E^I} G_{\gamma\delta}(iE) e^{iE^I \text{tot}}$$

Bisweilen ist es günstiger, den Erwartungswert auf andere Weise zu berechnen:

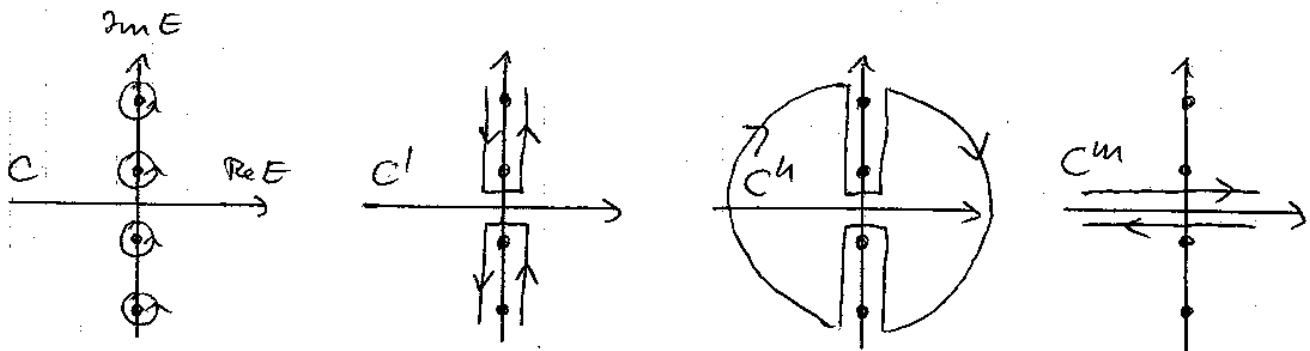
$$\langle c_\delta^\dagger c_\alpha \rangle = \frac{1}{\rho} \sum_E G_{\alpha\delta}(iE) e^{iE \text{tot}}$$

$$\stackrel{S.102}{=} \frac{-1}{2\pi i} \oint_C \frac{1}{e^{iE+1}} G_{\alpha\delta}(E) e^{E \text{tot}} dE$$

Auf der imaginären Achse ist $e^{E \text{tot}}$ oszillierend, so dass das Integral konvergiert. Auf der reellen Achse sorgt

M9

$e^{E_0 t}$ für $E \rightarrow -\infty$ und die Fermi-Funktion für $E \rightarrow +\infty$
für Konvergenz. Wir transformieren $C \rightarrow C' \rightarrow C'' \rightarrow C'''$:



Also:

$$\begin{aligned} \langle c_\alpha^\dagger c_\alpha \rangle &= \frac{1}{2\pi C} \int_{-\infty}^{\infty} dE \frac{1}{e^{\beta E} + 1} [G_{\text{FS}}(E+i0^+) - G_{\text{FS}}(E-i0^+)] e^{E_0 t} \\ &\stackrel{S.54}{=} -\frac{1}{\pi} \int_{-\infty}^{\infty} dE \frac{1}{e^{\beta E} + 1} \text{Im } G_{\text{FS}}(E+i0^+) \\ &= \int_{-\infty}^{\infty} dE \frac{1}{e^{\beta E} + 1} A_{\text{FS}}(E) \end{aligned}$$

$\sum^{(\text{HF})}$ ist eine reelle Konstante. In HF ist der einzige Effekt der Coulomb-Wiederschwingung eine Modifikation der Ein-Teildchen-Hopping-Parameter t_{FS} . In der Tat führt der effektive (Ein-Teildchen-) Hamilton-Operator

$$H_{\text{eff}} = \sum_{\alpha\beta} \underbrace{(t_{\text{FS}} + \sum^{(\text{HF})}_{\text{FS}})}_{\tilde{E}_{\text{FS}}} c_\alpha^\dagger c_\beta$$

zum gleichen Resultat für die Green-Funktion:

$$\tilde{G}(E) = \frac{1}{\tilde{E}^{(\text{FS})}(E) - \sum^{(\text{HF})}} = \frac{1}{E - (\tilde{t} - \mu) - \sum^{(\text{HF})}} = \frac{1}{E - (\tilde{E} - \mu)}$$

$$(G_K^{(0)}(E) = \frac{1}{E - (\epsilon(k) - \mu)} \xrightarrow[\text{unitare Transform.}]{\quad} G^{(0)}(E) = \frac{1}{E - (\frac{\epsilon}{n} - \mu)})$$

(120)

Bem-

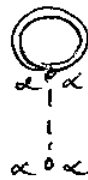
Im Hubbard-Modell verschwindet der Fock-Termin, da nur Fermionen unterschiedlichem Spin (\uparrow, \downarrow) miteinander wechselwirken (S. 17). Weiter ist die Wechselwirkung lokal, nur $V(cccc) \neq 0$, $= U$

$$\sum_{ijc}^{(HF)}(E) = \delta_{ij} U \langle n_{ic} \rangle \quad (\text{Hubbard-Modell})$$

Bem.

Kann  als das mittlere Potential interpretieren,

das von allen Teilchen erzeugt wird und das auf das Test-Teilchen wirkt. Was aber ist dann mit Termen wie



(Selbstwechselwirkungsterme),

die in dem Ausdruck für $\sum_{\alpha\alpha}^{(HF)}$ vorkommen?

Es gilt:

$$\text{Diagramm mit einem geschlossenen Loop} = - \text{Diagramm mit zwei horizontalen Linien}$$

Selbstwechselwirkungsterme heben sich heraus. Letztlich ist dies eine Konsequenz des Pauli-Prinzips.

→ Das Pauli-Prinzip kann in einer Approximation verletzt werden, in der nur eine Untermenge von Diagrammen aufsummiert wird.

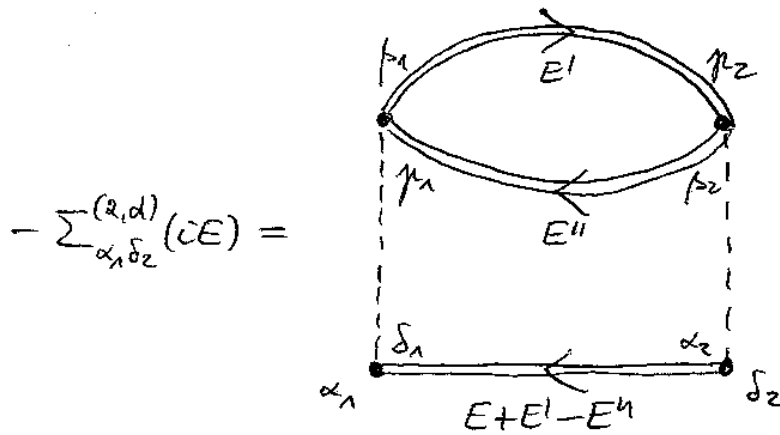
2) Selbstkonsistente Störungstheorie 2. Ordnung

Die Terme 2. Ordnung in der Skelett-Diagramm-Entwicklung der Selbstenergie beschreiben die ersten nicht-trivialen Viel-Teilchen-Effekte.

Wir berechnen die Selbstenergie in selbstkonsistenter Störungstheorie 2. Ordnung:

$$\text{Diagramm} \approx \text{!} + \text{---} + \text{---} + \text{---} = -\sum_{\alpha_1 \delta_2}^{(SOPT)} (iE)$$

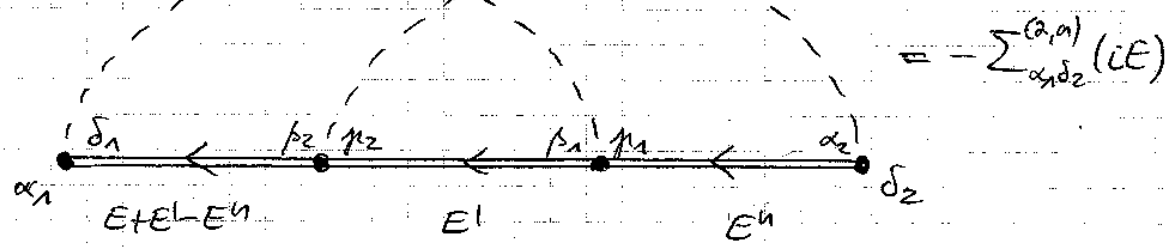
Zunächst das "direkte" Diagramm 2. Ordnung



$$\begin{aligned}
 -\sum_{\alpha_1 \delta_2}^{(2,d)} (iE) &= (-1)^2 (-1) \sum_{E' E''} \sum_{p_1 - p_2} \frac{1}{i\varepsilon^2} V(x_1, \delta_1, \delta_1, p_1) V(x_2, \delta_2, \delta_2, p_2) \times \\
 &\times \underbrace{\delta_{E'' + (E + E^I - E''), E + E^I}}_1 (-1)^3 G_{\delta_1 \delta_2} (iE + iE^I - iE'') G_{p_1 p_2} (iE') G_{p_1 p_2} (iE'')
 \end{aligned}$$

$$\sum_{\alpha_1 \delta_2}^{(2,d)} (iE) = \sum_{p_1 - p_2} V(x_1, p_1) V(x_2, p_2) \cdot I_{\delta_1 \delta_2, p_1 p_2, p_1 p_2} (iE)$$

"Anstaudruck-Diagramm":



$$\sum_{\alpha_1, \alpha_2}^{(2,3)} (iE) = - \sum_{p_1, p_2} v(\alpha_1, p_1) v(\alpha_2, p_2) \cdot I_{\delta_1 p_2, p_2 p_1, p_1 \delta_2} (iE)$$

Die Energiesummen sind zusammengefasst in:

$$I_{1,2,3} (iE) = \frac{1}{\beta^2} \sum_{E^l E^h} G_1 (iE + iE^l - iE^h) G_2 (iE^l) G_3 (iE^h)$$

mit $G_{1(2,3)} (iE) = \int_{-\infty}^{\infty} \frac{A_{1(2,3)}(x)}{iE - x} dx$ Spektraldarstellung (S.53)

Kann man schreiben:

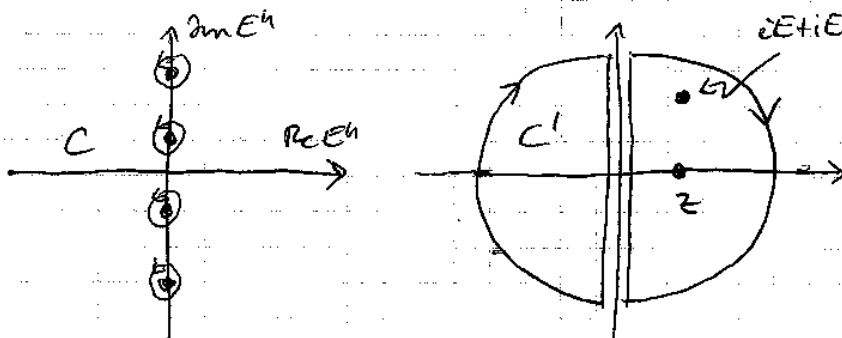
$$I_{1,2,3} (iE) = - \iiint_{-\infty}^{\infty} dx dy dz A_1(x) A_2(y) A_3(z) \cdot F(iE, x, y, z)$$

$$F(iE, x, y, z) = \frac{1}{\beta^2} \sum_{E^l E^h} \frac{1}{iE + iE^l - iE^h - x} \frac{1}{iE^l - y} \frac{1}{iE^h - z}$$

$$= \frac{1}{\beta} \sum_E \frac{1}{iE^l - y} \frac{-1}{2\pi i} \oint_C f(E^h) \frac{1}{iE + iE^l - E^h - x} \frac{1}{E^h - z} dE^h$$

Wir transformieren

$$C \rightarrow C'$$



Anwendung des Residuensatzes:

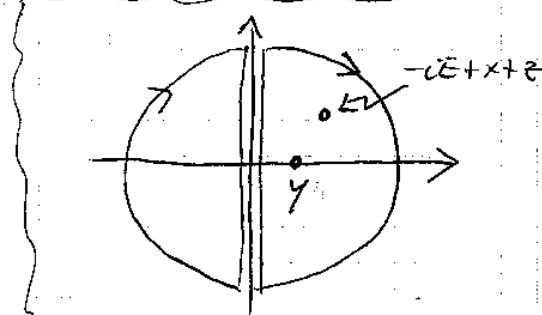
$$F(cE, x, y, z) = \frac{1}{\beta} \sum_{E^I} \frac{1}{cE^I - y} \left[f(z) \frac{1}{cE + cE^I - z - x} + f(cE + cE^I - x) \times \frac{(-1)}{cE + cE^I - x - z} \right]$$

Es ist:

$$f(cE + cE^I - x) = f(-x), \text{ also:}$$

bosonisch!

$$\begin{aligned} F(cE, x, y, z) &= \frac{1}{\beta} \sum_{E^I} \frac{1}{cE^I - y} (f(z) - f(-x)) \frac{1}{cE + cE^I - x - z} \\ &= (f(z) - f(-x)) \frac{-1}{2\pi i} \oint_C f(E^I) \frac{1}{E^I - y} \frac{1}{cE + E^I - x - z} dE^I \\ &= (f(z) - f(-x)) (f(y) - f(x+z - cE)) \frac{1}{cE + y - x - z} \end{aligned}$$



$$\begin{aligned} f(-cE + x + z) &= \frac{1}{e^{\beta(-cE+x+z)} + 1} \\ &\stackrel{\uparrow}{=} \text{fermionisch} \\ &= \frac{1}{-e^{\beta(x+z)} + 1} \\ &= \frac{1}{e^{\beta(x+z)} - 1} = -b(x+z) \end{aligned}$$

$$= (f(z) - f(-x)) (f(y) + b(x+z)) \frac{1}{cE - x + y - z}$$

$$(f(z) - f(-x)) b(x+z) = f(z) \left[1 - \frac{e^{\beta z} + 1}{e^{\beta x} + 1} \right] \frac{1}{e^{\beta x} e^{\beta z} - 1}$$

$$= f(z) \frac{e^{-\beta x} - e^{\beta z}}{e^{-\beta x} + 1} \frac{e^{\beta x}}{e^{\beta z} - e^{\beta x}} = -f(z) \frac{1}{1 + e^{\beta x}} = -f(x) f(z)$$

$$= [f(y) f(z) - f(-x) f(y) - f(x) f(z)] \frac{1}{cE - x + y - z}$$

Mit $f(x) + f(-x) = 1$ gilt:

$$\begin{aligned} & f(y)f(z) - f(-x)f(y) - f(x)f(z) \\ &= f(x)f(y)f(z) + f(-x)f(y)f(z) \\ &- f(-x)f(y)f(z) - f(-x)f(y)f(-z) \\ &- f(x)f(y)f(z) - f(x)f(-y)f(z) \\ &= - (f(x)f(-y)f(z) + f(-x)f(y)f(-z)) \end{aligned}$$

und damit:

$$F(iE, x, y, z) = - \frac{f(x)f(-y)f(z) + f(-x)f(y)f(-z)}{iE - x + y - z}$$

und:

$$I_{1,2,3}(iE) = \iiint_{-\infty}^{\infty} [f(x)f(-y)f(z) + f(-x)f(y)f(-z)] \frac{A_1(x)A_2(y)A_3(z)}{iE - x + y - z}$$

Die Selbstenergie ist also gegeben durch:

$$\begin{aligned} \sum_{\alpha\beta}^{(80pt)}(iE) &= \sum_{q\delta}^{(1)}(iE) + \sum_{q\delta}^{(2,ad)}(iE) + \sum_{q\delta}^{(2,a)}(iE) \\ &= \sum_{\mu\nu\delta} [\nu(\alpha\delta_1/\mu_1) - \nu(\alpha\delta_2/\mu_2)] \langle c_{\alpha\delta}^{\dagger} c_{\mu\delta} \rangle \\ &+ \sum_{\mu_1\mu_2\delta_1\alpha\delta_2\beta} \nu(\alpha\delta_1\mu_1) \nu(\alpha\delta_2\mu_2) \cdot [I_{\delta_1\mu_1\delta_2\mu_2\mu_1\mu_2}(iE) \\ &\quad - I_{\delta_2\mu_2,\mu_1\delta_1,\mu_1\mu_2}(iE)] \end{aligned}$$

wobei die Ein-Teilchen-Spektraldichte $A_{q\delta}(x)$ (in $I_{1,2,3}$) noch selbstkonsistent zu bestimmen ist.

$$\sum_{\omega} (\omega E) \longrightarrow \tilde{G}(iE) = \frac{1}{\tilde{G}^{(0)-1}(iE) - \sum_{\omega} (iE)}$$



$$\tilde{A}(E) = -\frac{1}{\pi} \operatorname{Im} \tilde{G}(E+i0^+) \leftarrow \tilde{G}(E+i0^+) = \frac{1}{\tilde{G}^{(0)-1}(E+i0^+) - \sum_{\omega} (E+i0^+)}$$

Die sogenannte retardierte Selbstenergie $\Sigma_{\text{ret}}^{(0)}(E) = \sum_{\omega} (E+i0^+)$ erhält man wie die retardierte Green-Funktion durch die analytische Fortsetzung $iE \mapsto E+i0^+$

Einen etwas einfanderen Ausdruck für die retardierte Selbstenergie in SOPT erhält man im Hubbard-Modell

$$(V(q,p,\delta)) = U \cdot \delta_{iqp} \delta_{ipq} \delta_{iqs} \delta_{qs} \delta_{qsp} \delta_{qs} , \quad \alpha \leftrightarrow (i_\alpha, q_\alpha)$$

$$\Sigma_{ijc}^{(\text{SOPT})}(E+i0^+) = \delta_{ij} U \langle n_{c-i} \rangle$$

$$+ U^2 \iiint_{-\infty}^{\infty} dx dy dz [f(x)f(-y)f(z) + f(-x)f(y)f(-z)] \frac{A_{qj\delta}(x) A_{jic}(y) A_{ijc}(z)}{E+i0^+ - x + y - z}$$

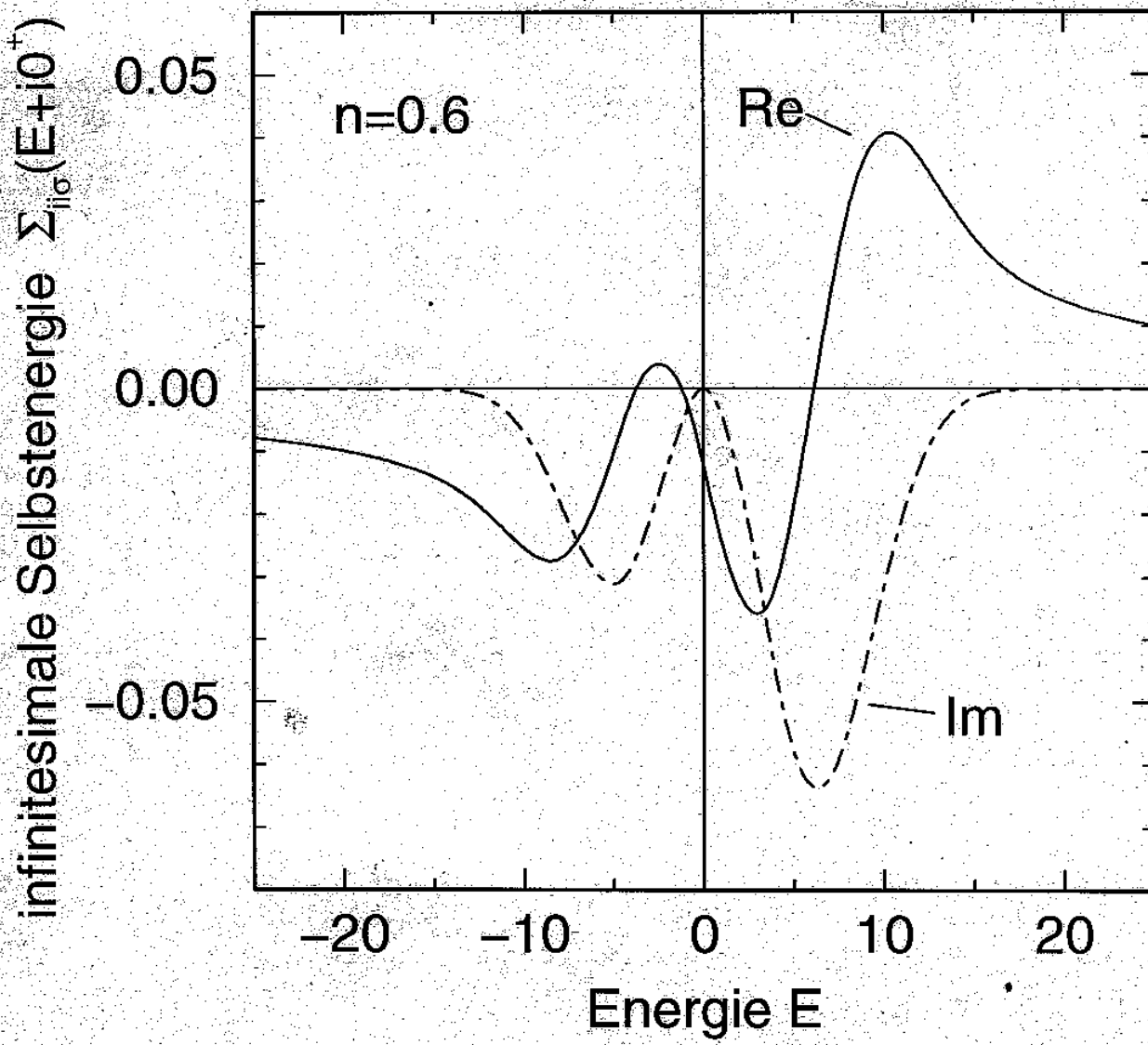
(das "Ansatzsch-Diagramm" in Ordnung U^2 verschwindet)

Im Grenzfall $U \rightarrow 0$, $U \neq 0$ ist dies exakt. Die retardierte Selbstenergie ist also i. allg. nicht-diagonal in den Indizes der Ein-Teilchen-ONB, energieabhängig und komplex.

Eine selbstkonsistente Bestimmung der Spektraldichte gelingt nur mit Hilfe numerischer Ansierung.

Bsp.

121



$$\left. \frac{1}{2} \frac{d^2}{dN^2} \Sigma_{i\sigma}(E+i0^+) \right|_0 \quad (\text{"infinitesimale Selbstenergie"})$$

am Hubbard-Modell

- dreidimensionales S.C. Gitter
- Temperatur $T=0$
- mittlere Teilchenanzahl dichte $n = \frac{\langle N \rangle}{N_{GW}} = 0.6$
- Nördöf-Nardan-Hopping $t=-1$

VD Quasiteilchen - Konzept

Oft ist eine vollständige Kenntnis der Spektraldichte nicht notwendig. In vielen Fällen reicht es aus, sich auf einen kleinen Energiebereich nahe der Fermi-Energie zu beschränken. Wesentliche Systemeigenschaften werden hier bestimmt (Pauli-Prinzip!, s. auch S. 33 ff.).

Zur Diskussion des damit verbundenen Quasiteilchen-Konzepts werden wir insbesondere den Grenzfall $T \rightarrow 0$ betrachten. Der Einfachheit halber beschränken wir uns von jetzt ab ausschließlich auf Systeme zweidwirkender Fermionen. Die Behandlung von Bose - Flüssigkeiten für $T=0$ und kleine Temperaturen ist dagegen erheblich aufwendiger. Der Grund dafür liegt in der Bose - Einstein - Kondensation, die schon in nicht-zweidwirkenden System (Bose - Gas) unterhalb einer kritischen Temperatur eintritt. Schwierigkeiten ergeben sich aus der Notwendigkeit, das Ein - Teilchen - Niveau mit niedrigster Energie gesondert behandeln zu müssen. Siehe dazu auch:

Abrikosov, Gorkov, Dzyaloshinski

"Methods of Quantum Field Theory in Statistical Physics", Dover, 1963.

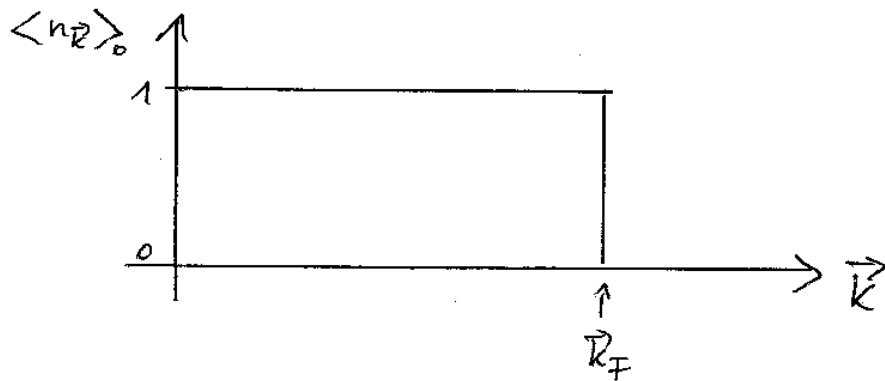
1) Fermi - Fläche im freien System

Für die mittlere Besetzungszahl in einem idealen Fermi - Gas ($\nu = 0$) hatten wir gefunden (S.22):

$$\langle n_k \rangle_0 = f(\varepsilon(k) - \mu_0) = \frac{1}{e^{\beta(\varepsilon(k) - \mu_0)} + 1}$$

Der Index "0" soll anzeigen, dass $\nu = 0$. Die Fermi - Funktion gibt die Wahrscheinlichkeit an, mit der ein Elektron - Zustand $|k\rangle$ bei Temperatur T besetzt ist. Betrachten wir den Fall eines Ein - Band - Modells (z.B. Hubbard - Modell). Für $T=0$ ist

$$f(\varepsilon(k) - \mu_0) = \Theta(\mu_0 - \varepsilon(k)).$$



Nur wegen der Unstetigkeit der Fermi - Verteilungsfunktion bei $\vec{k} = \vec{k}_F$ und für $T=0$ macht es Sinn, eine Fermi - Fläche (im \vec{k} -Raum) durch

$$\left\{ \vec{k} \mid \varepsilon(\vec{k}) = \mu_0 = \varepsilon_F^{(0)} \right\}$$

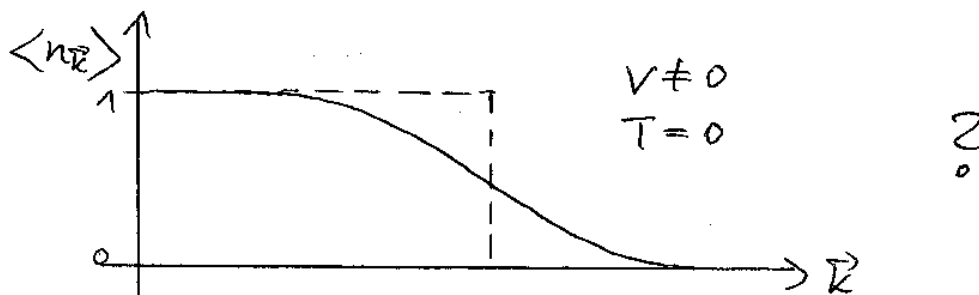
zu definieren.

Wenn Band- und Spindizes r und σ zusätzlich betrachtet werden (Multi-Band-Modell, $k = (\vec{r}, \sigma)$) haben wir mehrere Fermi-Flächen, definiert durch:

$$\{\vec{r} \mid E_{\text{rc}}(\vec{r}) = \mu_0\} \quad r = 1, 2, \dots$$

Was passiert mit dem Konzept der Fermi-Fläche in einem System wedelselwirkender Fermionen?

Da typische Werte für $E_F^{(0)}$ und v von vergleichbarer Größe sind ($\sim 5 \text{ eV}$), könnte man annehmen, dass die Wechselwirkung eine starke Anverteilung von Teilchen aus besetzten Zuständen unterhalb E_F in unbesetzte oberhalb E_F bewirkt und dass die Fermi-Fläche stark ausgeschmiedt wird:



Dies steht aber im Widerspruch zu experimentellen Befunden, die auf eine deutliche Unstetigkeit der Verteilungsfunktion (innerhalb von $\sim 10^{-4} \text{ eV}$) für $T \rightarrow 0$ hinweisen. Die Frage ist also: Woher kommt diese Unstetigkeit? bzw.: Unter welchen Bedingungen existiert eine Fermi-Fläche?

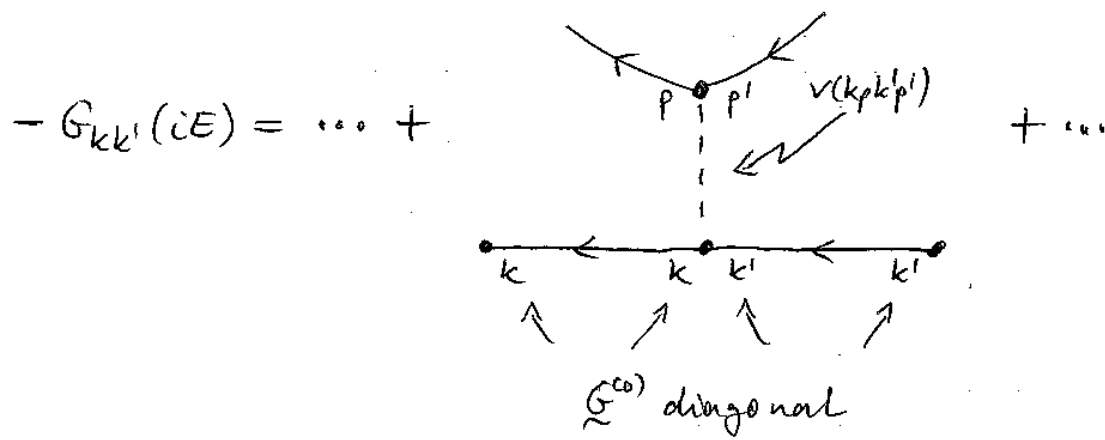
2) Impuls- und Bandindexabhängigkeit von Green-Funktion und Selbstenergie

Diese Frage soll für den allgemeinen Fall eines oder mehrerer Bänder diskutiert werden. Dazu ein paar Vorbereitungen:

In der Eri-Teilchen-ONB $\{|k\rangle\} = \{|R_{\mu}\rangle\}$ ist \mathcal{R}_0 und damit auch $\underline{\mathcal{G}}^{(0)}$ diagonal:

$$G_{kk'}^{(0)}(E) = \delta_{kk'} \cdot G_k^{(0)}(E)$$

Für die wechselwirkende Green-Funktion und auch für die Selbstenergie und die Spektraldichte gilt dies i. Allg. nicht mehr. Diese Größen sind also zweifach zu indizieren: z.B. $G_{kk'}(E)$ oder $G_{kk'}^{(0)}(E)$.



Für ein translationsinvariantes Gitter haben wir die folgende Vereinfachung:

$$\begin{aligned} v(k_p k'_p) &= v(\vec{k}_{rc}, \vec{p}_s \tilde{\epsilon}, \vec{k}'_{r'} \epsilon', \vec{p}'_s \tilde{\epsilon}') \\ &= \delta_{\epsilon \epsilon'} \delta_{\tilde{\epsilon} \tilde{\epsilon}'} \cdot v(\vec{k}_r, \vec{p}_s, \vec{k}'_{r'}, \vec{p}'_s) \\ &= \frac{e^2}{4\pi \epsilon_0} \delta_{\epsilon \epsilon'} \delta_{\tilde{\epsilon} \tilde{\epsilon}'} \iint d\vec{r}_n d\vec{r}_z \psi_{\vec{k}_r}^*(\vec{r}_n) \psi_{\vec{p}_s}^*(\vec{r}_z) \frac{1}{|\vec{r}_n - \vec{r}_z|} \psi_{\vec{k}'_{r'}}(\vec{r}_n) \psi_{\vec{p}'_s}(\vec{r}_z) \end{aligned}$$

Mit dem Bloch-Theorem

$$\psi_{\vec{k}_r}(\vec{r} + \Delta \vec{R}_c) = e^{i \vec{k}_r \Delta \vec{R}_c} \psi_{\vec{k}_r}(\vec{r})$$

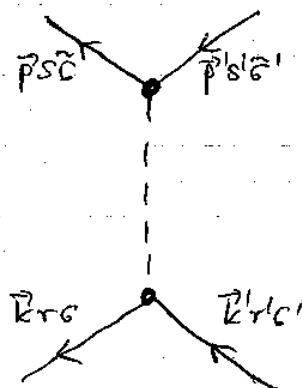
und den Substitutionen $\vec{r}_n \rightarrow \vec{r}_n + \Delta \vec{R}_c$, $\vec{r}_z \rightarrow \vec{r}_z + \Delta \vec{R}_c$ erh.

$$v(k_p k'_p) = e^{-i \vec{\Delta R}_c (\vec{k} + \vec{p} - \vec{k}' - \vec{p}')} \cdot v(k_p k'_p)$$

Summieren ($\frac{1}{N_{\text{sites}}} \sum_{\Delta \vec{R}_c}$) ergibt:

$$v(k_p k'_p) = \delta_{\vec{k} + \vec{p}, \vec{k}' + \vec{p}'} \cdot v(k_p k'_p)$$

D.h. es gilt



Impulserhaltung am Vertex

Die Summe der einkommenden ist gleich der Summe der austretenden Wellenvektoren:

$$\vec{k} + \vec{p} = \vec{k}' + \vec{p}'$$

Für die Green-Funktion (Selbstenergie, Spektral-dichte) folgt die Diagononalität bezüglich der Wellenzahl-orbit-abhängigkeit:

$$G_{kk'}(E) = \delta_{kk'} \delta_{ee'} \cdot G_{\vec{R}e, rr'}(E)$$

$$\Sigma_{kk'}(E) = \delta_{kk'} \delta_{ee'} \cdot \Sigma_{\vec{R}e, rr'}(E)$$

$$A_{kk'}(E) = \delta_{kk'} \delta_{ee'} \cdot A_{\vec{R}e, rr'}(E)$$

Bezüglich der Bandindizes bleibt die Nichtdiagononalität.

3) Fermi-Fläche im wechselwirkenden System

Wir definieren die Impulsverteilungsfunktion

$$n_e(\vec{R}) = \sum_r \langle n_{\vec{R}re} \rangle$$

und suchen nach deren Unstetigkeiten.

Es ist

$$n_e(\vec{R}) = \sum_r \langle n_{\vec{R}re} \rangle$$

$$= \sum_r \langle c_{\vec{R}re}^\dagger c_{\vec{R}re} \rangle$$

$$\stackrel{\text{SM}}{=} \sum_r \int_{-\infty}^{\infty} dE \frac{1}{e^{\beta E} + 1} A_{\vec{R}e, rr}(E)$$

$$= \int dE \frac{1}{e^{\beta E} + 1} \operatorname{Sp} A_{\vec{R}e}(E)$$

$$= -\frac{1}{\pi} \int dE f(E) \operatorname{Sp} \operatorname{Im} G_{\vec{R}e}(E+i0^+)$$

$$= -\frac{1}{\pi} \int dE f(E) \operatorname{Sp} \operatorname{Im} \frac{1}{\underbrace{G_{\vec{R}e}^{(0)}}_{\text{diagonal in den Bandindizes}}^{-1}(E+i0^+) - \sum_{\vec{R}e} (E+i0^+)}$$

diagonal in den Bandindizes ↑

nichtdiagonal ↑

$$= -\frac{1}{\pi} \int dE f(E) \text{Sp} \Im m \frac{1}{E+i\delta^+ - (\varepsilon(\vec{R}) - \mu) - \sum_{\vec{R}_C} (E+i\delta^+)}$$

Wegen $\Im m A = \frac{1}{2i} (A - A^*)$, ist $\text{Sp} \Im m A = \frac{1}{2i} (\text{Sp} A - \text{Sp} A^*)$
 $= \Im m \text{Sp} A$ für eine beliebige Matrix A. Weiter gilt
 $\text{Sp} A = \sum_p \lambda_p$ wenn λ_p die Eigenwerte von A sind. Also:

$$n_c(\vec{R}) = \sum_p \int_{-\infty}^{\infty} \left(-\frac{1}{\pi} \right) \Im m \frac{1}{E+i\delta^+ - (\eta_{pc}(\vec{R}, E+i\delta^+) - \mu)} dE$$

(Impulsverteilungsfunktion für $T=0$)

- $\eta_{pc}(\vec{R}, E)$, $p=1, 2, \dots$ sind die Eigenwerte der Matrix $\varepsilon_r(\vec{R}) \delta_{rr_1} + \sum_{\vec{R}_C, rr_1} (E)$.
- p heißt auch der wahre Bandindex
- für ein Envelope-Band-Modell (z.B. Hubbard-Modell) ist $p=r=1$ und $\eta_{pc}(\vec{R}, E) = \varepsilon(\vec{R}) + \sum_{\vec{R}_C} (E) \equiv \eta_c(\vec{R}, E)$
- die Matrix $\varepsilon(\vec{R}) + \sum_{\vec{R}_C} (E+i\delta^+)$ (mit den Elementen $\varepsilon_r(\vec{R}) \delta_{rr_1} + \sum_{\vec{R}_C, rr_1} (\vec{R}, E+i\delta^+)$) ist c. allg. nicht hermitesch
- $\sum_{\vec{R}_C} (E+i\delta^+)$ ist aber symmetrisch* und damit $\varepsilon(\vec{R}) + \sum_{\vec{R}_C} (E+i\delta^+)$
- es gilt: $\eta_c(\vec{R}, E) = \sum_c^{-1}(\vec{R}, E) [\varepsilon(\vec{R}) + \sum_{\vec{R}_C} (E)] \sum_c(\vec{R}, E)$
 mit einer c. allg. nicht unitären Transformationsmatrix $\sum_c(\vec{R}, E)$
- die Eigenwerte $(\eta_c(\vec{R}, E+i\delta^+))_{pp_1} = \eta_{pc}(\vec{R}, E+i\delta^+) \cdot \delta_{pp_1}$ sind c. allg. komplex.

(Beweis), daß $\sum_{R_G}(E)$ symmetrisch: $\Sigma_{R_G}(E)$ ist symmetrisch
 in bel. Ein-Teildaten -DNB, denn: $A_{R_G}(E)$ ist symmetrisch
 (s. Lehmann-Darstellung S.52 und beachte, daß $\langle E_n | c_\alpha | E_m \rangle$
 reell, S.55. $\Rightarrow \langle r | c_\alpha | s \rangle \langle s | c_\beta^\dagger | r \rangle = \langle s | c_\beta^\dagger | r \rangle \langle r | c_\alpha | s \rangle =$
 $\langle r | c_\beta | s \rangle \langle s | c_\alpha^\dagger | r \rangle$), also auch $G_{R_G}(E)$ f. bel. komplexe E
 (S.52 Spektraldarstellung) und $\Sigma_{R_G}(E)$ (S.108 Dyson-Glg.
 $\Rightarrow \sum = \underline{G}^{(0)} - \underline{G}^{-1}$; und $A^{-1\ddagger} = A^{\ddagger -1}$ f. bel. Matrix A).

Es gibt keinen Grund, eine irreguläre \vec{k} -Abhängigkeit
 von $\epsilon_r(\vec{k})$ oder $\sum_{R_G,rr'}(E+i0^+)$ und damit von
 $\gamma_{R_G}(E, E+i0^+)$ anzunehmen. Eine Unstetigkeit von $n_g(\vec{k})$
 kann also nur durch eine Singularität des Integranden
 entstehen, also insbesondere nur an einer Energie E
 mit $\text{Im } \gamma_{R_G}(E, E+i0^+) = 0$. In der Tat werden wir
 feststellen, daß

$$\text{Im } \sum_{R_G}(E+i0^+) \Big|_{E=0} = 0$$

An der Stelle $E=0$ ist $\sum_{R_G}(E+i0^+) = \sum_{R_G}(i0^+)$ eine
 symmetrische und reelle Matrix, also hermitesch. Die
 Eigenwerte von $\underline{\epsilon}(\vec{k}) + \sum_{R_G}(i0^+)$ sind also reell.

Eine Singularität des Integranden tritt also auf
 für Wellenvektoren \vec{k} auf den

(Def.)

Fermi - Flächen

$$\{ \vec{k} \mid \eta_{\rho c}(R, i0^+) = \mu \} \quad \rho = 1, 2, \dots$$

Diese Definition verallgemeinert die auf S. 129 für das freie System.

Um die tatsächliche Existenz der Fermi - Fläche(n) im wechselwirkenden System zu beweisen, ist also zu zeigen

- 1) $\operatorname{Im} \sum D_C(E+i0^+) \Big|_{E=0} = 0$
- 2) Die Singularität des Integranden auf der "Fermi - Fläche" führt zu einer Unstetigkeit in $n_c(R)$

4) Niederenergierezentwicklung der Selbstenergie

Es gilt:

$$\operatorname{Im} \sum_{\text{asy}}(E+i0^+) = \text{const. } E^2 \quad f. \quad E \rightarrow 0$$

Der Beweis basiert auf der Skelett - Diagramm - Entwicklung der Selbstenergie.

Nun kann ganz allgemein zeigen, dass für den Beitrag $\Sigma_n(E+i0^+)$ eines angezogenen Skeletts n -ter Ordnung

$$\operatorname{Im} \Sigma_n(E+i0^+) \propto E^{2n-2} \quad f. \quad E \rightarrow 0$$

Für $n=1$ ist $\text{Im } \Sigma_{\text{gs}}(E+i0^+) = 0$ (Hartree-Fock-Term). Der führende Summand für $E \rightarrow 0$ wird daher durch den $n=2$ -Term bestimmt. Wir beschränken uns daher auf diesen Fall. Der allgemeine Beweis verläuft ganz ähnlich, ist aber technisch aufwendiger (s. J.R. Luttinger: Phys. Rev. 121, 942 (1961)).

Die Energieabhängigkeit der Beiträge 2. Ordnung in der Skelett-Diagramm-Entwicklung von $\Sigma_{\text{gs}}(E+i0^+)$ ist durch

$$I_{1,2,3}(E+i0^+) = \iiint_{-\infty}^{\infty} [\Theta(-x)\Theta(y)\Theta(z) + \Theta(x)\Theta(-y)\Theta(z)] \times \\ \times \frac{A_1(x) A_2(y) A_3(z)}{E+i0^+-x+y+z} dx dy dz$$

gegeben (analytische Fortsetzung von $I_{1,2,3}(iE)$ auf S. 124 und $T=0$: $f(x) = \Theta(-x)$).

Es gilt:

$$-\frac{1}{\pi} \text{Im } I_{1,2,3}(E+i0^+) = \iiint_{\textcircled{o} \textcircled{o} \textcircled{o}} dx dy dz \times \\ \times [A_1(-x) A_2(y) A_3(-z) \delta(E+x+y+z) \leftarrow \begin{array}{l} \neq 0 \text{ nur für} \\ E \leq 0 \end{array} \\ + A_1(x) A_2(-y) A_3(z) \delta(E-x-y-z) \leftarrow \begin{array}{l} \neq 0 \text{ nur für} \\ E \geq 0 \end{array}]$$

(137)

Man darf $\int_0^\infty \mapsto \int_{|E|}^{\infty}$ setzen (z.B. für $x > |E| = -E \geq 0$)

im ersten Term ist $E+x+y+z > 0$, da $y, z \geq 0$, und somit $\delta(\dots) = 0$).

Deshalb können wir $x = |E| \cdot x_0$, $dx = |E| dx_0$:

$$-\frac{1}{\pi} \operatorname{Im} I_{1,2,3}(E+i0^+) =$$

$$\iiint_{\substack{0 \\ 0 \\ 0}} |E|^3 dx_0 dy_0 dz_0 \left[A_1(-|E|x_0) A_2(|E|y_0) A_3(-|E|z_0) \delta(E+|E|(x_0+y_0+z_0)) \right.$$

$$\quad \left. + A_1(|E|x_0) A_2(-|E|y_0) A_3(|E|z_0) \delta(E-|E|(x_0+y_0+z_0)) \right]$$

$$-\frac{1}{\pi} \operatorname{Im} I_{1,2,3}(E+i0^+) =$$

$$E^2 \iiint_{\substack{0 \\ 0 \\ 0}} dx_0 dy_0 dz_0 \delta(1-x_0-y_0-z_0) \left[A_1(-|E|x_0) A_2(|E|y_0) A_3(-|E|z_0) \right.$$

$$\quad \left. + A_1(|E|x_0) A_2(-|E|y_0) A_3(|E|z_0) \right]$$

Entwicklung:

$$A_i(x) = A_i(0) + x A'_i(0)$$

Damit ist

$$A_1(-|E|x_0) A_2(|E|y_0) A_3(-|E|z_0) + A_1(|E|x_0) A_2(-|E|y_0) A_3(|E|z_0)$$

$$= 2 \cdot A_1(0) A_2(0) A_3(0)$$

$$+ |E| \cdot \left(-x_0 A'_1(0) A_2(0) A_3(0) + y_0 A_1(0) A'_2(0) A_3(0) - z_0 A_1(0) A_2(0) A'_3(0) \right.$$

$$\quad \left. + x_0 A'_1(0) A_2(0) A_3(0) - \underline{-n} \quad + \underline{-n} \right)$$

$$+ O(|E|^2)$$

Also:

$$-\frac{1}{a} \Im \ln I_{1,2,3}(E+i0^+) = A_1(0) A_2(0) A_3(0) \cdot E^2 + \mathcal{O}(E^4)$$

Damit gilt:

$$\Sigma_{\text{as}}(E+i0^+) = A_{\text{as}} + B_{\text{as}} \cdot E + i C_{\text{as}} E^2 + \dots$$

mit $A_{\text{as}}, B_{\text{as}}, C_{\text{as}}$ reell

Nach unitärer Transformation (Transformationsformel für die Selbstenergie aus: $\Sigma = \mathcal{L}^{-1} - \mathcal{L}'$ und Trf.-formeln für $\mathcal{L}^{(0)}$ und \mathcal{L}'),

$$\Sigma_{Rc,rr'}(E+i0^+) = \sum_{\alpha\beta} U_{\alpha Rc,\alpha}^\dagger \Sigma_{\text{as}}(E+i0^+) U_{\beta,Rr'} ,$$

folgt das analoge Resultat für $\Sigma_{Rc}(E+i0^+)$

$$\Sigma_{Rc}(E+i0^+) = A_{Rc} + B_{Rc} \cdot E + i C_{Rc} \cdot E^2 + \dots$$

mit A_{Rc}, B_{Rc}, C_{Rc} reell

Beweis:

Zunächst gilt die Trf.-formel für jede Koeffizientenmatrix separat, also z.B.

$$A_{\text{as}} \xrightarrow[\text{Trf.}]{\text{unitär}} A_{Rc,rr'}$$

$\Sigma_{\text{as}}(E)$ ist symmetrisch in $\alpha, \beta \Rightarrow A_{\text{as}}$ ist symmetrisch
 \Rightarrow (mit A_{as} reell) A_{as} ist hermitesch. Also ist A_{Rc} hermitesch (als unitär transformierte einer hermiteschen Matrix). Andererseits ist A_{Rc} symmetrisch, da Σ_{Rc} symmetrisch, also reell. Analog für B und C . ✓

Mit diesem Resultat folgt natürlich auch die Form der Niederenergiuentwicklung der Eigenwerte $\tilde{\gamma}_G(R, E+i0^+)$.
Wir setzen $E^+ = E+i0^+$:

$$\tilde{\gamma}_G(R, E^+) = \tilde{\gamma}_G(R) + E \cdot \delta\tilde{\gamma}_G(R) + iE^2 \delta^2\tilde{\gamma}_G(R) + \dots$$

($\tilde{\gamma}_G, \delta\tilde{\gamma}_G, \delta^2\tilde{\gamma}_G$ sind Diagonalmatrizen)

$\tilde{\gamma}_G(R)$ und $\delta\tilde{\gamma}_G(R)$ sind reell, der erste imaginäre Beitrag ist von der Ordnung E^2 .

Beweis:

Nach Definition ist

$$\tilde{\gamma}_G(R, E^+) = S_G^{-1}(R, E^+) \cdot [\tilde{\varepsilon}(R) + \sum_{n \in G}(E^+)] \cdot S_G(R, E^+)$$

Also:

$$\tilde{\gamma}_G(R) = \underbrace{S_G^+(R, i0^+)}_{\text{reell}} \cdot \underbrace{[\tilde{\varepsilon}(R) + \sum_{n \in G}(E^+)]}_{\text{komplexe Matrix}} \cdot \underbrace{S_G(R, i0^+)}_{\text{reell}} = \tilde{\gamma}_G(R)^*$$

Für die lineare Ordnung in E gilt:

$$\delta\tilde{\gamma}_G(R) = \left(\underbrace{S_G^+(R, i0^+)}_{\text{reell}} \quad \underbrace{\mathcal{B}_{RG} \quad S_G(R, i0^+)}_{\text{komplexe Matrizen}} \right)_{pp}$$

und damit $\delta\tilde{\gamma}_G(R)$ reell. Die Beziehung folgt aus zeitabhängiger Störungstheorie 1. Ordnung:

$$H = H_0 + 2V, \quad H_0 |E_0\rangle = E_0 |E_0\rangle, \quad E = E_0 + 2\Delta E_0 + \dots$$

$$\Rightarrow \Delta E_0 = \langle E_0 | 2V | E_0 \rangle, \quad \text{Hier: } \tilde{\varepsilon}(R) + \sum_{n \in G}(E^+)$$

$$\Leftrightarrow \text{Hamilton-Operator } H; \quad \tilde{\varepsilon}(R) + \mathcal{A}_{RG} \Leftrightarrow H_0;$$

$$E \cdot \mathcal{B}_{RG} \Leftrightarrow 2V; \quad E \Leftrightarrow 2$$

5) Quasiteilchen

Welche Konsequenzen hat die Niedrnergienentwicklung der Selbstenergie für die Green-Funktion?

Wir haben:

$$\begin{aligned} G_{Rc}(E^+) &= \frac{1}{E^+ - (\varepsilon(R) - \mu) - \Sigma_{Rc}(E^+)} \\ &= S_c(R, E^+) \frac{1}{E^+ - \mu - S_c^{-1}(R, E^+) [\varepsilon(R) + \Sigma_{Rc}(E^+)] S_c(R, E^+)} S_c^{-1}(R, E^+) \\ &= S_c(R, E^+) \frac{1}{E^+ - (\eta_{pc}(R, E^+) - \mu)} S_c^{-1}(R, E^+) \end{aligned}$$

Die E -Abhängigkeit von $S_c(R, E^+)$ ist genauso wie die R -Abhängigkeit relativ un interessant. Eine Unstetigkeit von

$$n_c(R) = -\frac{1}{\pi} \int_{-\infty}^0 \text{Sp} \Im m G_{Rc}(E^+) dE$$

Kann sich nur aus dem Energienübergang ergeben. Daraus die folgende

(Def)

Quasiteilchenenergie $E_{pc}(R)$

$E_{pc}(R)$ ist die Lösung der Gleichung

$$E_{pc}(R) - \text{Re } \eta_{pc}(R, E_{pc}^+(R) - \mu) = 0$$

in der Nähe der/einer Fermi-Fläche

$$\{ R | \eta_{pc}(R, i0^+) = \eta_{pc}(R) \stackrel{!}{=} \mu \}$$

(14.1)

Sei \vec{k} ein Wellenvektor, der auf der durch (ρ, ϵ) charakterisierten Fermi-Fläche liegt. Dann ist offensichtlich

$$\vec{k} \in FS_{pc} \Leftrightarrow E_{pc}(\vec{k}) = \mu$$

Falls \vec{k} nahe der (ρ, ϵ) -Fermi-Fläche ist, ist $E_{pc}(\vec{k}) - \mu$ klein, und wir können die Entwicklung von $\gamma_{pc}(\vec{k}, E_{pc}^+(\vec{k}) - \mu)$ nach dem linearen Term abbrechen:

$$\begin{aligned} 0 &= E_{pc}(\vec{k}) - \operatorname{Re} \gamma_{pc}(\vec{k}, E_{pc}^+(\vec{k}) - \mu) \\ &= E_{pc}(\vec{k}) - \gamma_{pc}(\vec{k}) - (E_{pc}(\vec{k}) - \mu) \cdot \delta \gamma_{pc}(\vec{k}) \quad \times \\ &= (1 - \delta \gamma_{pc}(\vec{k})) (E_{pc}(\vec{k}) - \mu) - (\gamma_{pc}(\vec{k}) - \mu) \end{aligned}$$

Def.

Quasiteilchengegenricht. $\mathcal{Z}_{pc}(\vec{k})$

$$\mathcal{Z}_{pc}(\vec{k}) \equiv \frac{1}{1 - \delta \gamma_{pc}(\vec{k})} \quad \text{f. } \vec{k} \text{ nahe der } (\rho, \epsilon) \text{-FS}$$

Dann folgt für die Quasiteilchenenergie $E_{pc}(\vec{k})$:

$$E_{pc}(\vec{k}) - \mu = \mathcal{Z}_{pc}(\vec{k}) \cdot (\gamma_{pc}(\vec{k}) - \mu)$$

$(\vec{k} \text{ nahe der } (\rho, \epsilon) \text{-FS})$

Brechen wir die Entwicklung von $\gamma_{pc}(R, E^+)$ nach der 1. Ordnung ab, so folgt für die Green-Funktion:

$$\begin{aligned} & \left(S_c^{-1}(R, E^+) G_{pc}(E^+) S_c(R, E^+) \right)_{pp} \\ &= \frac{1}{E^+ + \mu - \gamma_{pc}(R) - E \cdot \delta \gamma_{pc}(R)} \\ &= \frac{1}{\tilde{\epsilon}_{pc}^{-1}(R) \cdot E^+ - (\gamma_{pc}(R) - \mu)} \\ &= \frac{\tilde{\epsilon}_{pc}(R)}{E^+ - (E_{pc}(R) - \mu)} \end{aligned}$$

für R nahe der (ρ, c) -FS. Oder:

$$G_{pc}(E+i\omega) = S_c(R, E^+) \frac{\tilde{\epsilon}_c(R)}{E+i\omega - (\tilde{\epsilon}_c(R) - \mu)} S_c^{-1}(R, E^+)$$

f. kleine $|E|$

Gehen wir bis zur Ordnung E^2 , dann ist

$$\begin{aligned} & \left(S_c^{-1}(R, E^+) G_{pc}(E^+) S_c(R, E^+) \right)_{pp} \\ &= \frac{1}{\tilde{\epsilon}_{pc}^{-1}(R) E^+ - (\gamma_{pc}(R) - \mu) - i E^2 \delta^2 \gamma_{pc}(R)} \\ &= \frac{\tilde{\epsilon}_{pc}(R)}{E^+ - (E_{pc}(R) - \mu) - i E^2 \tilde{\epsilon}_{pc}(R) \delta^2 \gamma_{pc}(R)} \end{aligned}$$

eine bei $E = E_{pc}(\vec{R}) - \mu$ gepeakte Funktion mit einer Breite umgekehrt proportional zur

Def.

Quasiteilchen-Lebensdauer $\bar{\tau}_{pc}(\vec{R})$

$$\bar{\tau}_{pc}^{-1}(\vec{R}) \propto (E_{pc}(\vec{R}) - \mu)^2 \cdot Z_{pc}(\vec{R}) \cdot \delta^2 \eta_{pc}(\vec{R})$$

Auf der (ρ, ϵ) -FS ist die Lebensdauer unendlich.

Der Quasiteilchenpeak ist hier unendlich scharf. Die Lebensdauer wird endlich und die Breite nimmt schnell (quadratisch in $E_{pc}(\vec{R}) - \mu$) ab, sobald \vec{R} sich von der (ρ, ϵ) -FS entfernt. Alle Quasiteilchen-eigenschaften sind dann zunehmend schlechter definiert, die Niederenergieentwicklung bricht letztlich zusammen.

Spezialfall: Freies System

$$Z_C(\vec{R}, E^+) \rightarrow \eta_c(\vec{R}) = "Eigenwerte von \xi(\vec{R})" = \xi(\vec{R})$$

$$\Rightarrow E_{pc}(\vec{R}) = \varepsilon_r(\vec{R}) \quad (\rho = r)$$

$$Z_{pc}(\vec{R}) = 1$$

$$\tilde{G}_{Rc}(E^+) = \frac{1}{E^+ - (\xi(\vec{R}) - \mu)}$$

$$\bar{\tau}_{pc}^{-1}(\vec{R}) = 0$$

Eine andere (nicht-triviale) Vereinfachung liegt bei einem Ein-Band-Modell vor (z.B. Hubbard-Modell):

$$G_{R\sigma}(E+i0^+) = \frac{1}{E+i0^+ - (\varepsilon(R)-\mu) - \Sigma_{R\sigma}(E+i0^+)}$$

kleine E :

$$\begin{aligned} G_{R\sigma}(E+i0^+) &= \frac{1}{E+i0^+ - (\varepsilon(R)-\mu) - A_{R\sigma} - B_{R\sigma} \cdot E - iC_{R\sigma} \cdot E^2} \\ &\approx \frac{1}{E+i0^+ - \Sigma_{R\sigma}(\varepsilon(R)+A_{R\sigma}-\mu) + iE^2 \Sigma_{R\sigma} C_{R\sigma}} \\ &\approx \frac{1}{E+i0^+ - (E_{R\sigma}-\mu) - iE^2 \Sigma_{R\sigma} C_{R\sigma}} \end{aligned}$$

mit

$$\Sigma_{R\sigma} = \frac{1}{1 - B_{R\sigma}}, \quad E_{R\sigma} - \mu = \Sigma_{R\sigma}(\varepsilon(R) + A_{R\sigma} - \mu)$$

Isp.

$$\Sigma_{R\sigma} = z \text{ unabhängig von } R, c$$

$$C_{R\sigma} = c$$

Ein-Band-Modell

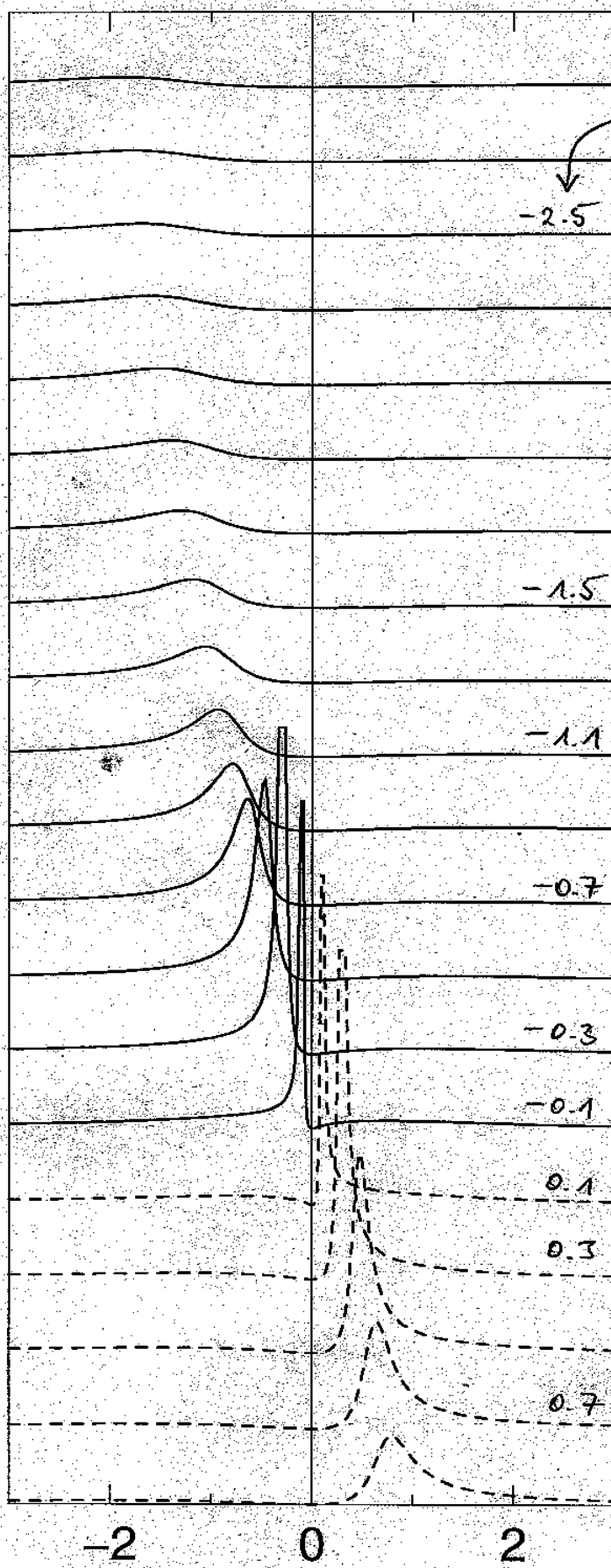
$$A_{R\sigma}(E) = -\frac{1}{\pi} \operatorname{Im} \frac{z}{E+i0^+ - (E_{R\sigma}-\mu) - iE^2 \cdot z \cdot c}$$



Quasiteilchen - Spektrum

$\epsilon = 0.5$

$C = -1.0$



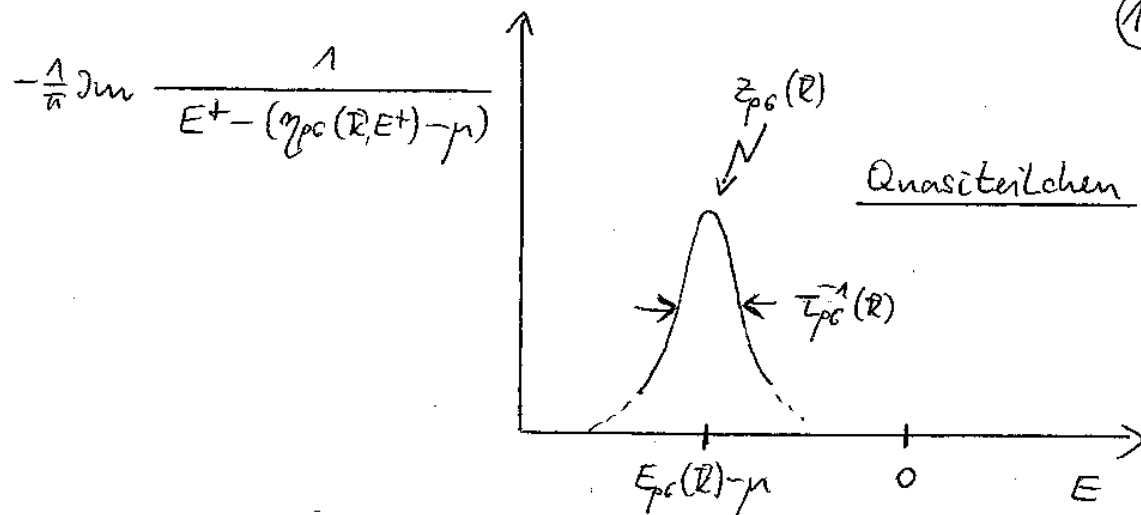
QT-Energie

$E_{pc}(R) - \mu$

\vec{R} innerhalb der
Fermi-Fläche

\vec{R} außerhalb

Energie E



Der Quasiteilchen-Peak in der Nähe der Fermi-Fläche entspricht einer gedämpften Anregung des Systems. $E_{pc}(R) - \mu$ ist keine exakte Anregungsenergie sondern gewissermaßen der Schwerpunkt einer Vielzahl von exakten, benachbarten Anregungsenergien (s. Lehmann-Darstellung der Spektraldichte!). Im freien System ist $E(R) - \mu$ die exakte Anregungsenergie, die dem "Heranschelnen" bzw. dem "Hinzufügen" eines Teilchens an den / in das System entspricht (PE/IPE). In Analogie dazu sprechen wir in wechselwirkenden Systemen von Quasiteilchen.

6) Impulsverteilungsfunktion

Kehren wir jetzt zur Ausgangsfrage zurück und betrachten die Impulsverteilungsfunktion für R nahe der Fermi-Fläche (p, c):

(147)

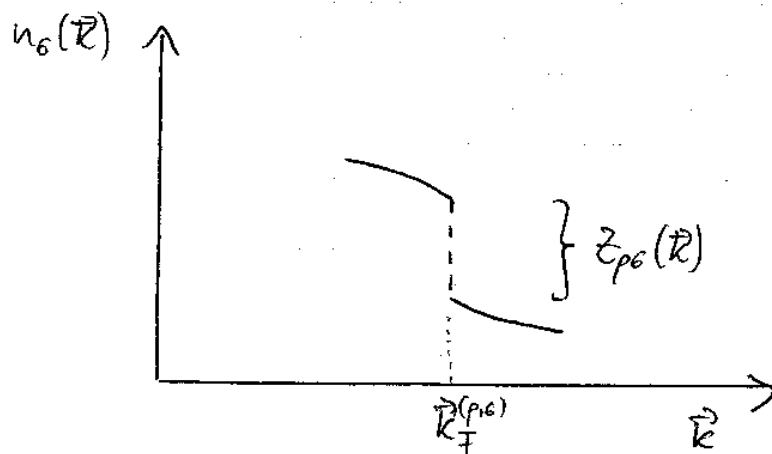
$$\begin{aligned}
 n_c(\vec{R}) &= -\frac{1}{\pi} \int_{-\infty}^{\circ} \text{Sp} \Im \text{m } G_{Rc}(E+i0^+) dE \\
 &= -\frac{1}{\pi} \int_{-\infty}^{\circ} \text{Im } \text{Sp } S_c(R, E^+) \frac{1}{E^+ - (\epsilon_c(R, E^+) - \mu)} S_c^{-1}(R, E^+) dE \\
 &= -\frac{1}{\pi} \int_{-\infty}^{\circ} \text{Im } \text{Sp} \frac{1}{E^+ - (\epsilon_c(R, E^+) - \mu)} dE \\
 &= -\frac{1}{\pi} \int_{-\varepsilon}^{\circ} \text{Im} \frac{Z_{pc}(R)}{E+i0^+ - (E_{pc}(R) - \mu)} dE + \tilde{n}_c(R) \\
 &= \int_{-\varepsilon}^{\circ} Z_{pc}(R) \delta(E - (E_{pc}(R) - \mu)) dE + \tilde{n}_c(R) \\
 &\quad (\varepsilon > 0, \text{ klein})
 \end{aligned}$$

$$n_c(\vec{R}) = Z_{pc}(R) \Theta(\mu - E_{pc}(R)) + \tilde{n}_c(R)$$

f. \vec{R} nahe der (p, c) -Fermi-Fläche

Der erste sogenannte kohärente Anteil der Green-Funktion oben bewirkt die Unstetigkeit der Impulsverteilungsfunktion. $\tilde{n}_c(\vec{R})$ ist dagegen eine reguläre Funktion von \vec{R} .

Die Höhe des Sprungs von $n_c(\vec{R})$ an der (p, c) -Fermi-Fläche wird durch das Quasizündungsgewicht $Z_{pc}(R)$ gegeben. Der Sprung korreliert mit einem Quasizünden des Gewichts $Z_{pc}(R)$, dessen Dispersion die Fermi-Energie kreuzt: $E_{pc}(R) - \mu$.



für eine weitergehende Charakterisierung von $n_0(R)$ benötigen wir das sogenannte Luttinger - Theorem, das aber erst später abgeleitet werden kann.

Im freien System ist $\zeta_{pe}(R) = 1$. Für $v \neq 0$ wird $\zeta_{pe}(R) < 1$.

7) Normale Fermi - Flüssigkeiten

Die abgeleiteten Eigenschaften von wechselwirkenden Fermionen - Systemen sind von so allgemeiner Natur, daß diese eine eigene Klasse von Systemen definieren, nämlich die sogenannte normale Fermi - Flüssigkeit.

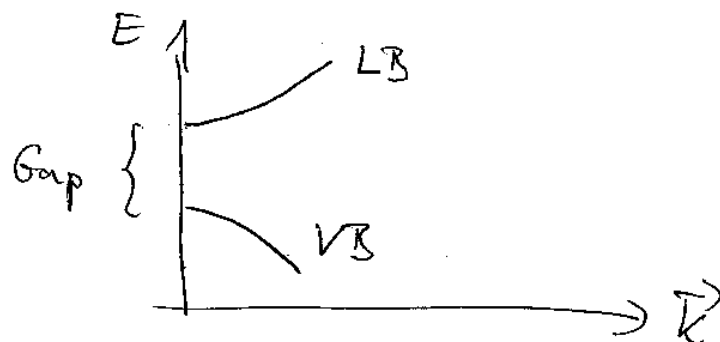
Mit dem Begriff "Flüssigkeit" erzielt man die Abgrenzung zum idealen Fermi - Gas, also dem System nicht - wechselwirkender Fermionen.

Charakteristisch für Fermi-Flüssigkeiten sind:

- die Existenz einer (oder mehrerer) Fermi-Fläche(n)
- die Existenz von Quasiteilchen als die Anregungen niedrigster Energie
- das E^2 -Verhalten des Imaginärteils der Selbstenergie und das damit verbundene gleichartige Verhalten der Quasiteilchen - Lebensdauer.
- die Unstetigkeit der Impulsverteilungsfunktion an der Fermi-Fläche

Weitere Charakteristika werden wir in Zusammenhang mit dem Luttinger-Theorem ableiten.

Gewöhnliche Band-Isolatoren, z.B. Diamant, sind keine Fermi-Flüssigkeiten. In diesen Systemen gibt es keine Fermi-Fläche. Die Anregungen niedrigster Energie sind keine Quasiteilchen, da das Ein-Teilchen-Spektrum ein Gap aufweist:



Alle Systeme wechselwirkender Fermionen, für die die Diagrammentwicklung konvergiert, sind Fermi-Flüssigkeiten, denn die Konvergenz war (mehr oder weniger) die einzige Voraussetzung, die gemacht worden ist.

Wir werden später Systeme mit spontan gebrochener Symmetrie kennenlernen. Hier divergiert die Störreihe an einem kritischen Punkt. (Hochtemperatur-) Supraleiter und (anti-) Ferromagnete, z.B., sind dennoch keine normalen Fermi-Flüssigkeiten.

Können aber Teile des Fermi-Flüssigkeits-Konzepts beibehalten werden, so spricht man z.B. beim Ferromagneten von einer ferromagnetischen im Gegensatz zu einer normalen Fermi-Flüssigkeit.

Fermi-Flüssigkeits-Eigenschaften zeigen sich nur für kleine Unregelmässigkeiten, für Wellenvektoren in der Nähe der Fermi-Fläche und für $T=0$ oder kleine Temperaturen.

Zur Erläuterung des letzten Punkts betrachten wir noch einmal den entscheidenden Term $I_{1,2,3}(E+i0^+)$ aus der SPT für $T \neq 0$ (S. 124). Für $E=0$ ist:

$$-\frac{1}{\pi} \Im I_{1,2,3}(E+i0^+) \Big|_{E=0} = \iiint_{-\infty}^{\infty} [f(x)f(-y)f(z) + f(-x)f(y)f(z)] \\ \times A_1(x)A_2(y)A_3(z) \delta(x-y+z) dx dy dz$$

$$\begin{aligned}
 &= \iint_{-\infty}^{\infty} dx dy A_1(x) A_2(y) A_3(y-x) \times \\
 &\quad \times \left[f(x) f(-y) f(y-x) + f(-x) f(y) f(\cancel{x-y}) \right] \\
 &\quad \quad \quad \underbrace{\qquad\qquad}_{T \leftrightarrow -T} \quad \quad \quad \underbrace{\qquad\qquad}_{T}
 \end{aligned}$$

151

Für $T=0$ ist $\Im I_{1,2,3}(i0^+)=0$ und damit
 $\Im \Sigma_{FS}(i0^+)=0$, wie es für eine Fermi-Flüssigkeit
 sein muss. Für kleine T ist

$$\boxed{\Im \Sigma_{FS}(i0^+) \propto T^2 \quad (T \rightarrow 0)}$$

denn $\Im I_{1,2,3}(i0^+)$ ist eine reguläre Funktion
 von T auch für $T \leq 0$ und symmetrisch ($\Im I_T =$
 $\Im I_{-T}$ für $E=0$).

$\Im \Sigma_{FS}(i0^+) \propto T^2$ impliziert eine für $T>0$ und
 steigende T zunehmende Aufweichung der
Fermi-Fläche. Das Fermi-Flüssigkeits-Konzept
 ist also nur für kleine Temperaturen sinnvoll.

VI Diagrammentwicklung des großkanonischen Potentials

Wir kommen jetzt zurück zur Diagrammentwicklung des großkanonischen Potentiales, d.h. wir wesentlich zur Diagrammentwicklung der S-Matrix. Aus der Ein-Tilden - Matsubara - Funktion können die thermodynamischen Eigenschaften des Systems abgeleitet werden; in manchen Fällen ist es jedoch praktischer, das großkanonische Potential Ω direkt zu berechnen. Die Diskussion wird endlich zeigen, dass auf diese Weise einige tiefgreifende Resultate abgeleitet werden können, die von grundlegender Bedeutung für das Verständnis von Fermi-Flüssigkeiten sind.

VI A Diagrammregeln

Fassen wir zusammen, was bis jetzt schon erarbeitet worden ist:

- großkanonische Zustandssumme und Potential

$$\Omega = -\frac{1}{\beta} \ln \Xi \quad \Xi = \text{Sp}(e^{-\beta \mathcal{H}}) = e^{-\beta \mathcal{S}_L}$$

- Ausgangsgleichung der Störungstheorie

$$\frac{\Xi}{\Xi_0} = \langle S(\beta, 0) \rangle^{(c)}$$

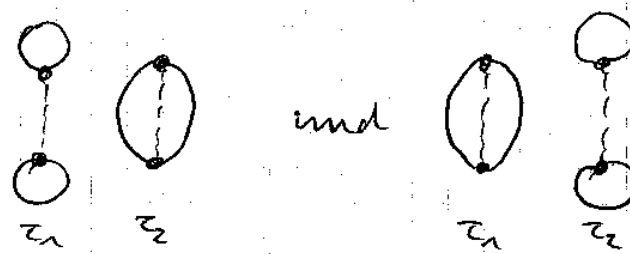
- S-Matrix

$$S(f, 0) = T_Z \exp \left(- \int_0^z V(z') dz' \right)$$

$$= \sum_{n=0}^{\infty} \frac{(-1)^n}{n!} \int dz_1 \dots \int dz_n T_Z (V(z_1) \dots V(z_n))$$

(Operatoren in Dirac-Darstellung)

- Auswertung der freien Erwartungswerte mit Hilfe des Wickl-Theorems \rightarrow lokale Paarung
- Diagrammdarstellung: $(2n)!$ Diagramme n-ter Ordnung mit je $2n$ Propagatoren und n Vertizes
- Vertizes sind "fest", d.h.



sind verschieden.

- $\langle S(f, 0) \rangle^{(0)} =$ Summe aller geschlossenen nicht-ansammenhängenden und zusammenhängenden Diagramme
- Diagrammregeln auf S. 84

Linked-Cluster-Theorem

Wie schon bei der Emi-Tsildgen-Matsubara-Funktion genügt es, sich auf zusammenhängende Diagramme zu beschränken. Diese wichtige Vereinfachung resultiert aus dem Linked-Cluster-Theorem:

$$\frac{\beta}{\Omega_0} = \exp \left(\langle S(\beta, 0) \rangle_{\text{ens.}}^{(0)} - 1 \right)$$

$\langle \dots \rangle_{\text{ens.}}$ meint, dass über alle zusammenhängenden Diagramme zu summieren ist.

Mit $\Delta \Omega \equiv \Omega - \Omega_0 = -\beta \ln \frac{\beta}{\Omega_0}$ gilt auch:

$$-\beta \Delta \Omega = \langle S(\beta, 0) \rangle_{\text{ens.}}^{(0)} - 1$$

d.h. die Summe aller geschlossenen, zusammenhängenden Diagramme ergibt direkt die Korrektur des großkanonischen Potentials!

$$-\beta \Delta \Omega = \text{(Diagramm 0. Ordnung)} + \text{(Diagramm 1. Ordnung)} + \text{(Diagramm 2. Ordnung)} + \dots$$

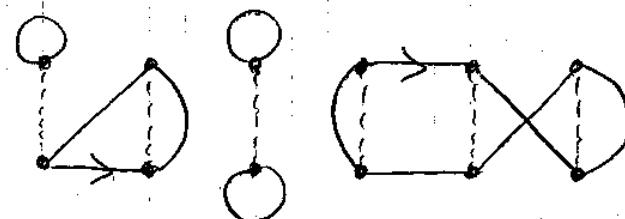
Die 1 hebt sich gegen den Term 0-ter Ordnung in $\langle S(\beta, 0) \rangle_{\text{ens.}}^{(0)}$ weg. Die Ordnung der Diagramme ist $n \geq 1$.

Beweis

Jedes Diagramm n -ter Ordnung zerfällt in k zusammenhängende Teile der jeweiligen Ordnung m_k . Es gilt $n = \sum_{i=1}^k m_k$. Wir betrachten zunächst den Fall, daß die k Teile paarweise verschieden sind.

z.B.:

a)

 $T_1 \quad T_2 \quad T_3 \quad T_4 \quad T_5 \quad T_6$

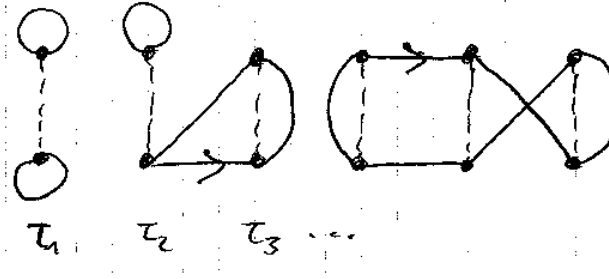
$n = 6$

$k = 3$

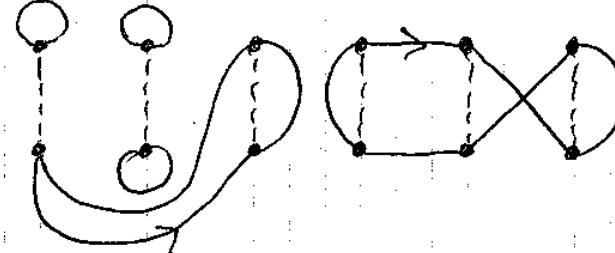
$m_1 = 2 \quad m_2 = 1 \quad m_3 = 3$

Die Diagramme

a')

 $T_1 \quad T_2 \quad T_3 \dots$

a'')



sind von a) verschieden, haben aber den gleichen Wert, wie man durch Umbenennen der Integrationsvariablen τ_i ein

$$\frac{(-1)^n}{n!} \int_0^t dz_1 \dots \int_0^t dz_n \langle T_z (V(z_1) \dots V(z_n)) \rangle^{(0)}$$

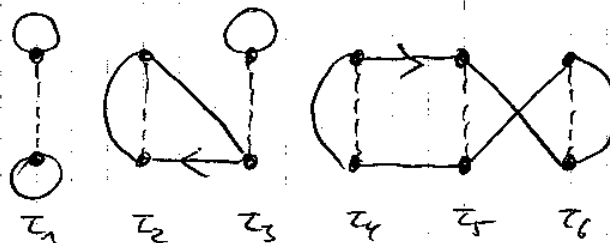
leicht sehen kann. Wir summieren über alle Diagramme a), a'), a''), ... gleicher Struktur:

Def

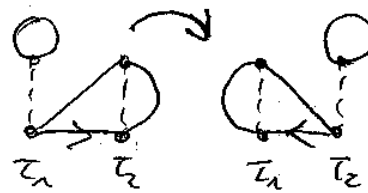
Zwei Diagramme haben die gleiche Struktur, wenn sie durch eine Permutation der Vertizes aneinander hervorgehen, die die Abfolge der Vertizes innerhalb eines Diagrammteils allerdings nicht verändert.

Das Diagramm

b)



hat ebenfalls denselben Wert wie Diagramm a). Es hat aber eine andere Struktur, denn mit



Ist die innere Reihenfolge der Vertizes im 2. Teil des Diagramms vertauscht.

Wie viele Diagramme gleicher Struktur gibt es?

So viele, wie es Möglichkeiten gibt, n Vertizes in k Mengen mit m_1, m_2, \dots, m_k Plätzen aufzuteilen:

$$S = \frac{n!}{m_1! m_2! \cdots m_k!}$$

Der Beitrag eines bestimmten Diagramms n -ter Ordnung ist:

$$\frac{(-1)^n}{n!} \text{Sal}_{i_1} \cdots \text{Sal}_{i_n} \langle T_c(V(i_1) \cdots V(i_n)) \rangle_{\text{Diagr.}}^{(c)}$$

wobei der Index "Diagr." anzeigt, dass nur der entsprechende, eine Summand der TP gemeint ist.

Offensichtlich faktorisiert der Beitrag des Diagramms in die Beiträge der einzelnen Teile:

$$\frac{(-1)^n}{n!} \times \text{Sal}_{i_1} \cdots \text{Sal}_{i_m} \langle T_c(V(i_1) \cdots V(i_m)) \rangle_{1.\text{Teil}}^{(c)}$$

$$\times \text{Sal}_{i_1} \cdots \text{Sal}_{i_{m_2}} \langle T_c(V(i_1) \cdots V(i_{m_2})) \rangle_{2.\text{Teil}}^{(c)}$$

⋮

$$\times \text{Sal}_{i_1} \cdots \text{Sal}_{i_{m_k}} \langle T_c(V(i_1) \cdots V(i_{m_k})) \rangle_{k-\text{ter Teil}}^{(c)}$$

Zur Berechnung der Summe der Beiträge eines bestimmten Diagramms und allen davon strukturgleichen Diagrammen ist lediglich mit dem Faktor S zu multiplizieren.

Dies ergibt:

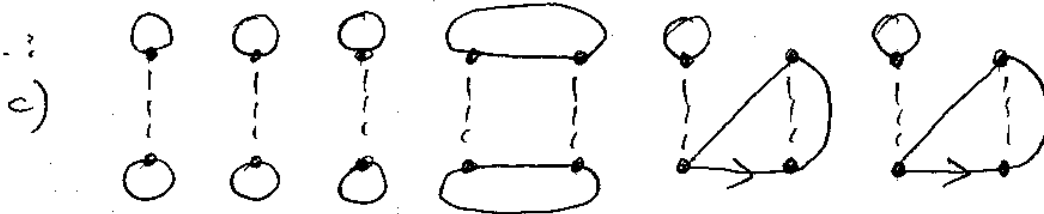
$$\frac{(-1)^m}{m!} \text{Satz}_1 \dots \text{Satz}_m \left\langle T_c(V(z_1) \dots V(z_m)) \right\rangle_1^{(e)}$$

$$\vdots$$

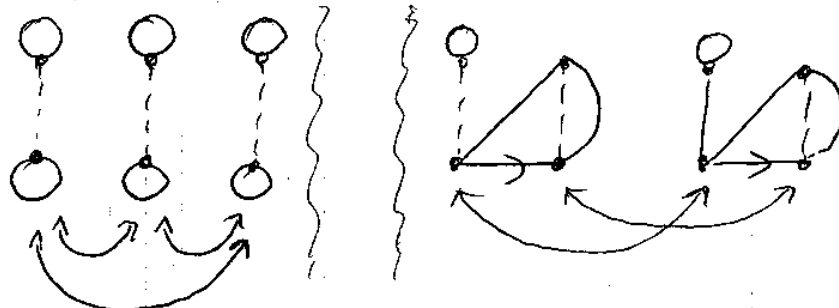
$$\frac{(-1)^{mk}}{mk!} \text{Satz}_1 \dots \text{Satz}_{mk} \left\langle T_c(V(z_1) \dots V(z_{mk})) \right\rangle_k^{(e)}$$

Wir betrachten jetzt auch solche Diagramme, deren zusammenhängende Teile nicht paarweise verschieden sind.

Z.B.:



Wir summieren wieder über alle an c) strukturierten Diagramme, die also durch Permutation der Vertizes aus c) hervorgehen, aber die innere Reihenfolge der Vertizes unverändert lassen. Sind (wie im Bsp.) 2 oder mehr Diagrammteile gleich, liefert eine bestimmte Permutation der Vertizes dasselbe Diagramm c):



Diese Doppelzählung muss natürlich vermieden werden.

In einem Diagramm n -ter Ordnung können jeweils p_i Teile ($i=1, \dots, k$) zu Gruppen von gleichen Diagrammen zusammengefaßt werden. Innerhalb einer Gruppe haben alle p_i Diagramme jeweils die Ordnung m_i .

Zur Bsp.:

$$\begin{array}{l} n=9 \\ p_1=3 \quad p_2=1 \quad p_3=2 \\ m_1=1 \quad m_2=2 \quad m_3=2 \end{array} \quad k=3$$

Es gilt

$$n = \sum_{i=1}^k m_i p_i$$

Die Anzahl der an einem Diagramm strukturgleichen Diagramme ist

$$S = \frac{n!}{(m_1!)^{p_1} \cdots (m_k!)^{p_k}} \cdot \frac{1}{p_1! \cdots p_k!}$$

Der 2. Faktor vermeidet die angesprochene Doppelzählung.
Zu c) existieren (nach c) selbst) $3! / ((1 \cdot 2 \cdot 2^2) \cdot (3! 1! 2!))$ strukturgleiche Diagramme.

Der 1. Faktor hebt den Faktor $n!$ heraus und ersetzt ihn – wie schon vorab diskutiert – durch den Vorfaktor $\frac{1}{(m_i)!}$ in jedem Diagrammteil m_i -ter Ordnung.

Wir bekommen alle Diagramme in $\langle S(\beta, \phi) \rangle^0$, wenn wir alle paarweise verschiedenen, zusammenhängenden Diagramme D_1, D_2, D_3, \dots nehmen und diese in allen möglichen zusammenhängenden und nicht-zusammenhängenden Diagrammen kombinieren, die paarweise verschiedene Struktur besitzen.

(160)

$$\langle S(\phi, 0) \rangle^{(0)} =$$

$$1 + D_1 + D_2 + D_3 + \dots$$

$$+ \frac{1}{2!} D_1^2 + D_1 D_2 + D_1 D_3 + \dots$$

$$+ \frac{1}{2!} D_2^2 + D_2 D_3 + D_2 D_4 + \dots$$

$$+ \frac{1}{2!} D_3^2 + D_3 D_4 + \dots$$

$$+ \frac{1}{3!} D_1^3 + \frac{1}{2!} D_1^2 D_2 + \dots$$

$$\vdots$$

$$\langle S(\phi, 0) \rangle^{(0)} = \sum_{p_1 p_2 \dots} \frac{1}{p_1!} (D_1)^{p_1} \cdot \frac{1}{p_2!} (D_2)^{p_2} \dots$$

D_i bezeichnet hier auch den Wert des Diagramms D_i .

Er berechnet sich ganz genauso den Regeln auf S.84.

D.h. mit dem Vorfaktor $\frac{1}{m!}$, falls D_i die Ordnung m_i besitzt.

Also gilt

$$\begin{aligned} \langle S(\phi, 0) \rangle^{(0)} &= \left(\sum_{p_1} \frac{1}{p_1!} (D_1)^{p_1} \right) \left(\sum_{p_2} \frac{1}{p_2!} (D_2)^{p_2} \right) \dots \\ &= e^{D_1} \cdot e^{D_2} \cdot e^{D_3} \dots \\ &= e^{D_1 + D_2 + D_3 + \dots} \\ &= \exp \left(\langle S(\phi, 0) \rangle_{\text{ans.}}^{(0)} - 1 \right) \end{aligned}$$

✓

Diagrammregeln in Zeitdarstellung

Damit haben wir die folgenden Regeln zur Berechnung der Differenz $\Delta \Omega = \Omega - \Omega_0$ des großkanonischen Potentiells relativ zum Wert im freien System:

Die Korrektur n -ter Ordnung in der Wechselwirkung ergibt sich als Summe aller geschlossenen, zusammenhängenden Diagramme gemäß:

1) i -ter Vertex $v(\alpha_i p_i \bar{\alpha}_i \bar{p}_i)$

2) Propagator $-G_{\alpha_i \beta_j}^{(0)}(\tau_i - \tau_j)$ τ_i : Vermüchterzeit
 τ_j : Erzeugerzeit

3) Summen und Integrale über alle $\alpha_i p_i \bar{\alpha}_i \bar{p}_i$ und τ_i

4) Gleichzeitigkeit: $\tau_{\text{Erzeuger}} = \tau_{\text{Vermüchter}} + 0^+$

5) Schleifen $(-1)^S$ (Fermionen)

6) Vorfaktor $\frac{(-1)^n}{2^n n!} \cdot \left(\frac{1}{\beta}\right)$

Diagrammregeln in Energiedarstellung

Der Übergang zur Energiedarstellung erfolgt wie gehabt (S. 97 ff.). Beitrag eines geschlossenen, zusammenhängenden Diagramms n -ter Ordnung zu $\Delta \Omega$:

1) Vertex $\frac{1}{\beta} \delta_{E_r + E_r, E_k + E_k} \cdot v(\alpha_i p_i \bar{\alpha}_i \bar{p}_i)$

2) Propagator - $G_{\alpha_i \beta_j}^{(0)}(iE_k)$

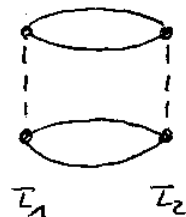
3) Summen über alle $\alpha_i \beta_j \gamma_i \delta_i$ und iE_k

4) Gleichzeitigkeit - $G_{\alpha_i \beta_j}^{(0)}(iE_k) e^{iE_k \partial t}$

5) Schließen $(-1)^S$

6) Vorfaktor $\frac{(-1)^n}{2^n n!} \cdot (-\frac{1}{8})$

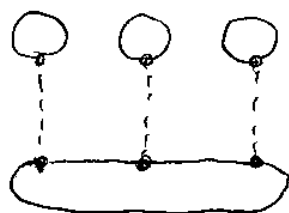
Hinsichtlich der Zusammensetzbarkheit von Diagrammen besteht ein wesentlicher Unterschied zur Darstellung der Ein-Teilchen-Matsubara-Funktion. Dort hebt sich der Faktor $\frac{1}{n!}$ heraus, wenn man nur über die topologisch verschiedenen und nicht über sämtliche Diagramme summiert. Der Grund liegt darin, dass jede der $n!$ Permutationen der Vertizes an einem vom Ausgangsdiagramm verschiedenen Diagramm führt, das aber den gleichen Wert besitzt. Das folgende Beispiel zeigt, dass dies für die Diagrammdarstellung von $S\Omega$ nicht mehr gilt:



Wir halten daher an der festen Nummerierung der Vertizes fest. Als Nachteil müssen wir dann in Kauf nehmen, dass die Diagrammregeln nicht mehr "Lokal" formuliert

werden können.

Bsp.



$$\sim \frac{1}{3!}$$



$$\sim \left(\frac{1}{1!}\right)^3$$

Die Vorfaktoren $(-1)^n$, $\frac{1}{2^n}$ und $(-\frac{1}{\beta})$ sind dagegen unproblematisch.

VI B Erzeugendes Funktional

Bei der Diskussion der Ein-Teilchen-Matsubara-Funktionen und der Selbstenergie haben wir das Verfahren der selbstkonsistenten Renormierung kennengelernt. Dies war sowohl von fundamentaler Bedeutung (s.S. 104) als auch eine starke Vereinfachung für praktische Reduktionen. Wir hatten gesehen, dass

Selbstenergie = Summe aller angezogenen Skelette

Kann ein analoges Verfahren auch für das großkanonische Potential entwickelt werden?

In der Entwicklung von $\Delta\Omega$ treten die folgenden Diagramme auf:

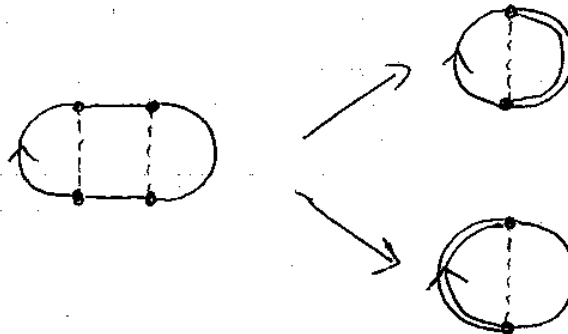
$$\Delta\Omega = \dots + \text{Diagramm 1} + \text{Diagramm 2} + \text{Diagramm 3}$$

$$+ \text{Diagramm 4} + \text{Diagramm 5} + \dots$$

Es liegt nahe, eine Partialsummation durchzuführen:

$$\Delta\Omega = \dots + \text{Diagramm 6} + \dots \quad (?)$$

Dies ist aber nicht möglich, da es so zur Doppelzählung von Diagrammen kommt:



Im Folgenden wird entwickelt, wie die selbstkonsistente Renormierung dennoch durchgeführt werden kann. Dabei ergeben sich auch einige wichtige Zusammenhänge zwischen Ω , Σ und G , die zu weiteren Einsichten in die thermodynamischen Eigenschaften von normalen Fermi-Flüssigkeiten führen.

1) Zusammenhang zwischen ΔS und reduzierbarer Selbstenergie

Die Diagramme der Ordnung $n=1$ zu ΔS sind:



und

Durch Entfernen eines freien Propagators (jeweils zwei Möglichkeiten) ergeben sich Selbstenergiendiagramme:

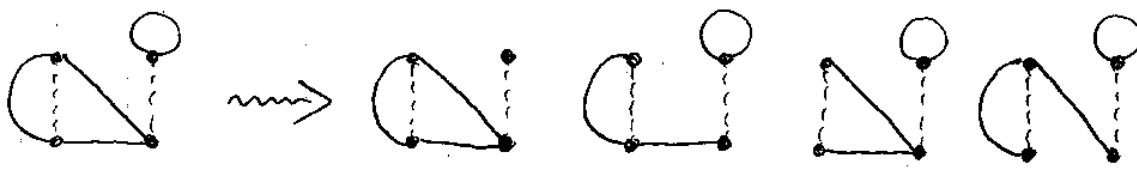


Dabei ist gemäß den Regeln zu beachten, dass Permutationen der Vertizes ($f. n \geq 2$) und Vertauschungen von oben und unten an den Vertizes zu neuen Diagrammen führen.

Wir lassen also alle Selbstenergiendiagramme zu und nicht nur die topologisch verschiedenen. (Vorfaktor $\frac{1}{2^n} \frac{1}{n!}$ auch für Selbstenergiendiagramme).

Ein ΔS -Diagramm n -ter Ordnung hat $2n$ Propagatoren und führt zu $2n$ (irreduziblen und reduziblen) Selbstenergiendiagrammen.

Bsp.

 $n=2$ 

- Zusammenhängende $\Delta\Omega$ -Diagramme bleiben auch bei Entfernen eines freien Propagators zusammenhängend.
- Jedes Diagramm zur reduziblen Selbstenergie n -ter Ordnung kann durch Entfernen eines freien Propagators aus einem $\Delta\Omega$ -Diagramm n -ter Ordnung erzeugt werden (denn durch Hinzufügen eines freien Propagators in einem Σ -Diagramm entsteht immer ein $\Delta\Omega$ -Diagramm).
- In der Menge der Σ -Diagramme, die durch Entfernen eines beliebigen freien Propagators aus allen $\Delta\Omega$ -Diagrammen entstehen, treten keine Diagramme doppelt auf (denn ein $\Delta\Omega$ -Diagramm entsteht in eindeutiger Weise aus einem Σ -Diagramm).
- Jeweils $2n$ verschiedene Σ -Diagramme der Ordnung n führen durch Hinzufügen eines freien Propagators zum gleichen $\Delta\Omega$ -Diagramm.

Bem.

$\Sigma_{\text{ex}}(\text{iE})$: reduzible Selbstenergie (S. 106)

Berücksichtigt man noch die Besonderheiten der jeweiligen Diagrammregeln, dann ist

$$\Delta\Omega_n = \left(-\frac{1}{\beta}\right) \cdot (-1) \cdot \frac{1}{2n} \sum_E \sum_{\alpha\beta} \left[-G_{\alpha\beta}^{(0)}(iE) \right] \left[-\tilde{\Sigma}_{\beta\alpha}^{(n)}(iE) \right]$$

Beitrag n-ter
Ordnung
anderer
Vorfaktor

s.o.

in jedem Fall
wird genau eine
Schlufe aufgebrochen

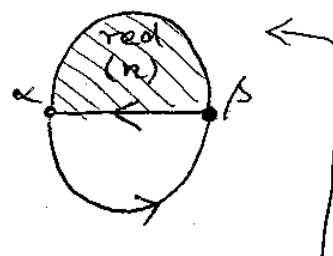
Beitrag n-ter
Ordnung zur
reduziblen
Selbstenergie

Also:

$$\boxed{\Delta\Omega = \sum_{n=1}^{\infty} \frac{1}{2n} \frac{1}{\beta} \sum_E \text{Sp} \left(G^{(0)}(iE) \tilde{\Sigma}^{(n)}(iE) \right)}$$

(Matrizen mit Indizes α, β)

$$\Delta\Omega = \sum_{n=1}^{\infty} \frac{1}{2n} \frac{1}{\beta} \sum_E \sum_{\alpha\beta}$$



reduzible Selbstenergie
n-te Ordnung

2) Darstellung von $\Delta\Omega$ als Integral über die Wechselwirkungsstärke

Den störenden Vorfaktor $\frac{1}{2^n}$ können wir durch den folgenden Trick eliminieren:

Wir schreiben

$$v(\alpha \beta \delta p) = 2 \tilde{v}(\alpha \beta \delta p)$$

$$\Rightarrow \sum_{\alpha \beta}^{(n)}(iE, \lambda) = \lambda^n \sum_{\alpha \beta}^{(n)}(iE) \quad \text{mit } \sum_{\alpha \beta}^{(n)}(iE, \lambda=1)$$

$$\Rightarrow \frac{1}{n} \sum_{\alpha \beta}^{(n)}(iE, \lambda) = \int_0^{\lambda} \sum_{\alpha \beta}^{(n)}(iE, \lambda') \frac{d\lambda'}{\lambda'}$$

$$\Rightarrow \Delta\Omega = \frac{1}{2} \frac{1}{\beta} \sum_E S_p \left(\underline{G}^{(0)}(iE) \sum_n \int_0^{\lambda} \sum_{\alpha \beta}^{(n)}(iE, \lambda') \frac{d\lambda'}{\lambda'} \right)$$

$$= \frac{1}{2} \int_0^{\lambda} \frac{d\lambda'}{\lambda'} \cdot \frac{1}{\beta} \sum_E S_p \left(\underline{G}^{(0)}(iE) \sum_{\alpha \beta}^{(n)}(iE, \lambda') \right)$$

Mit

$$\begin{aligned} \sum_{\alpha \beta}^{(n)}(iE) &= \sum_{\alpha \beta}^{(n)}(iE) + \sum_{\alpha \beta}^{(n)}(iE) \underline{G}^{(0)}(iE) \sum_{\alpha \beta}^{(n)}(iE) + \dots \\ &= \sum_{\alpha \beta}^{(n)}(iE) \left(\mathbb{1} + \underline{G}^{(0)}(iE) \sum_{\alpha \beta}^{(n)}(iE) + \dots \right) \\ &= \sum_{\alpha \beta}^{(n)}(iE) \frac{\mathbb{1}}{\mathbb{1} - \underline{G}^{(0)}(iE) \sum_{\alpha \beta}^{(n)}(iE)} \end{aligned}$$

Kann (analog zur Herleitung der Dyson-Gleichung S.107) die reduzible auf die irreduzible Selbstenergie zurückgeführt werden.

Es ist also:

$$\begin{aligned}
 \sum_{\text{cE}} (\text{cE}) \underline{G}^{(0)}(\text{cE}) &= \sum_{\text{cE}} (\text{cE}) \frac{1}{1 - \underline{G}^{(0)}(\text{cE}) \sum_{\text{cE}} (\text{cE})} \underline{G}^{(0)}(\text{cE}) \\
 &= \sum_{\text{cE}} (\text{cE}) \frac{1}{\underline{G}^{(0)-1}(\text{cE}) - \sum_{\text{cE}} (\text{cE})} \underline{G}^{(0)-1}(\text{cE}) \underline{G}^{(0)}(\text{cE}) \\
 &= \sum_{\text{cE}} (\text{cE}) \underline{G}(\text{cE})
 \end{aligned}$$

Damit folgt die Integraldarstellung von $\Delta\Omega$:

$$\boxed{\Delta\Omega = \frac{1}{2} \int_0^2 \frac{d\lambda'}{\lambda'} \frac{1}{P} \sum_E \text{Sp} \left(\sum_{\text{cE}, \lambda'} (\text{cE}, \lambda') \underline{G}(\text{cE}, \lambda') \right)}$$

Oder auch:

$$\boxed{2 \frac{d\Omega}{d\lambda} = \frac{1}{2} \frac{1}{P} \sum_E \text{Sp} \left(\sum_{\text{cE}, \lambda} (\text{cE}, \lambda) \underline{G}(\text{cE}, \lambda) \right)}$$

Dies ist die Anfangsformel für die Rückführung des großkanonischen Potentials auf das sogenannte erzeugende Funktional Φ

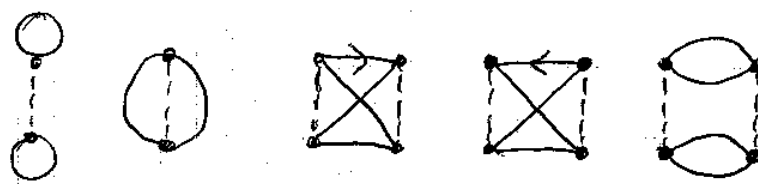
3) Definition des erzeugenden Funktional

(Def.)

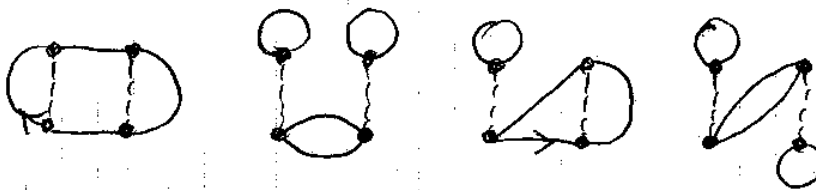
Ein Diagramm in der Entwicklung von $\Delta\Omega$ heißt ein Skelett, falls keine Selbstenergieeinschübe in ihm vorkommen.

Bsp.

Skelette:



keine Skelette:



ungültiges Diagramm(!):



Def.

Erzeugendes Funktional $\bar{\Phi}$

$\bar{\Phi} \equiv$ Summe der Beiträge aller geschlossenen, zusammenhängenden Skelett-Diagramme, bei denen jeder freie Propagator durch den entsprechenden wechselwirkenden Propagator ersetzt worden ist.

$$\bar{\Phi} = \text{Diagram 1} + \text{Diagram 2} + \text{Diagram 3} + \dots$$

Wie oben diskutiert: $\bar{\Phi} \neq \Lambda \Omega$! (bzw. $\bar{\Phi} \neq \Omega$)

Statt dessen gilt der folgende fundamentale Zusammenhang:

$$\Omega = \mathbb{I} + \frac{1}{\rho} \sum_E e^{iE_0^+} \text{Sp} \left\{ \ln(-\tilde{G}(iE)) - \sum(iE) \tilde{G}(iE) \right\}$$

für den Beweis benötigen wir:

4) Funktionalableitungen

Wir betrachten Funktionale \mathcal{F} von Objekten der Form $X_{\alpha\beta}(iE)$ (z.B. $\Sigma_{\alpha\beta}(iE)$ oder $G_{\alpha\beta}(iE)$).

Bsp.

$$\mathcal{F}_1 = \sum_E \sum_\alpha X_{\alpha\alpha}(iE)$$

$$\mathcal{F}_2 = \sum_E \sum_{\alpha\beta} X_{\alpha\beta}(iE) X_{\beta\alpha}(iE)$$

$$\mathcal{F}_3 = \sum_E \text{Sp} \left(\frac{1}{1 - \tilde{X}(iE)} \right)$$

$$\mathcal{F}_4 = \sum_E \text{Sp} f(\tilde{X}(iE)) \quad \text{mit } f: \mathbb{C} \rightarrow \mathbb{C} \text{ analytisch}$$

$$\mathcal{F}_5 = \sum_{EE'} \sum_{\alpha\beta\gamma\eta} X_{\alpha\beta}(iE+iE') X_{\gamma\eta}(iE) X_{\eta\gamma}(iE')$$

Wäre die Indexmenge $\{\alpha\}$ (bzw. $\{\beta\}$) und die Menge der Naturzahlen-Einheiten $\{iE_k\}$ endlich, $\alpha = 1, \dots, \alpha_0$ und $iE_k = i(\alpha k + 1)^\alpha / \beta$ $k = -k_0, \dots, k_0$, so wäre F eine gewöhnliche Funktion mehrerer Veränderlicher, nämlich von

$$x_{n1}(iE_1), x_{n2}(iE_2), x_{n3}(iE_3), \dots$$

$$x_{e1}(iE_1), x_{e2}(iE_2), \dots$$

:

$$x_{n1}(iE_1) \quad x_{n2}(iE_2) \dots$$

:

und wir könnten die gewöhnliche partielle Ableitung von F nach einer dieser Veränderlichen, $x_{\alpha p}(iE)$, bilden:

$$\frac{\partial F}{\partial x_{\alpha p}(iE)}$$

Der Begriff der Funktionalableitung verallgemeinert dies für den Fall einer Funktion, die von unendlich vielen Veränderlichen abhängt. Wir schreiben:

$$\frac{\delta F}{\delta x_{\alpha p}(iE)}$$

Die Rechenregeln sind die gleichen wie bei partiellen Ableitungen.

Bsp.

- $\frac{\delta}{\delta X_{\alpha\beta}(iE)} (aF + bG) = a \frac{\delta F}{\delta X_{\alpha\beta}(iE)} + b \frac{\delta G}{\delta X_{\alpha\beta}(iE)}$

- $X_{\alpha\beta}(iE)$ sei abhängig von einem Parameter λ . Es gilt:

$$\frac{d}{d\lambda} F = \sum_E \sum_{\alpha\beta} \frac{\delta F}{\delta X_{\alpha\beta}(iE)} \cdot \frac{\partial X_{\alpha\beta}(iE)}{\partial \lambda}$$

- $\frac{\delta F_1}{\delta X_{\alpha\alpha}(iE)} = \frac{\delta}{\delta X_{\alpha\alpha}(iE)} \sum_{E'} \sum_{\alpha'} X_{\alpha\alpha'}(iE')$
 $= \sum_{E'} \sum_{\alpha'} \frac{\delta X_{\alpha\alpha'}(iE')}{\delta X_{\alpha\alpha}(iE)} = \sum_{E'} \sum_{\alpha'} \delta_{\alpha\alpha'} \delta_{EE'} = 1$

- $\frac{\delta F_1}{\delta X_{\alpha\beta}(iE)} = \delta_{\alpha\beta}$

- $\frac{\delta F_2}{\delta X_{\alpha\beta}(iE)} = \sum_{E'} \sum_{\alpha'\beta'} \frac{\delta}{\delta X_{\alpha\beta}(iE)} (X_{\alpha\beta'}(iE') X_{\beta'\alpha'}(iE'))$
 $= \sum_{E' \neq iE} (\delta_{\alpha\alpha'} \delta_{\beta\beta'} \delta_{EE'} X_{\beta'\alpha'}(iE') + \delta_{\alpha\beta'} \delta_{\beta\alpha'} \delta_{EE'} X_{\alpha\beta'}(iE'))$
 $= 2 X_{\alpha\beta}(iE)$

- $\frac{\delta F_3}{\delta X_{\alpha\beta}(iE)} = \sum_{E'} \frac{\delta}{\delta X_{\alpha\beta}(iE)} \text{Sp} \left(\frac{1}{1 - \underline{X}(iE')} \right)$

$$= \frac{\delta}{\delta X_{\alpha\beta}(iE)} \text{Sp} \left(\frac{1}{1 - \underline{X}(iE)} \right) =$$

(174)

$$= \frac{\delta}{\delta X_{\alpha\beta}(iE)} \sum_{\alpha\beta} \left(1 + X_{\alpha\alpha}(iE) + \sum_{\beta' \neq \alpha} X_{\alpha\beta'}(iE) X_{\beta'\alpha}(iE) \right. \\ \left. + \sum_{\beta'' \neq \alpha} X_{\alpha\beta''}(iE) X_{\beta''\alpha}(iE) X_{\beta'\alpha}(iE) \right. \\ \left. + \dots \right)$$

$$= 0 + \delta_{\alpha\alpha} + 2X_{\alpha\alpha}(iE) + \cancel{2 \sum_{\beta} X_{\beta\alpha}(iE) X_{\alpha\beta}(iE)} + \dots \\ = \left[\frac{1}{(1 - X(iE))^2} \right]_{\alpha\alpha}$$

- $\frac{\delta f_q}{\delta X_{\alpha\beta}(iE)} = \frac{\delta}{\delta X_{\alpha\beta}(iE)} \text{Sp } f(X(iE)) = [f'(X(iE))]_{\beta\alpha}$

denn:

Satz:

Sei f eine analytische Funktion, $f: \mathbb{C} \rightarrow \mathbb{C}$.Für eine Matrix \underline{A} ist dann $f(\underline{A})$ wohldefiniert.Sind \underline{A} und \underline{B} Matrizen, die nicht notwendigerweise untereinander kommutieren, dann gilt:

$$\boxed{\frac{\delta}{\delta A_{\alpha\beta}} \text{Sp } f(\underline{A} + \underline{B}) = [f'(\underline{A} + \underline{B})]_{\beta\alpha}}$$

Speziell:

$$\frac{\delta}{\delta A_{\alpha\beta}} \text{Sp } f(A) = [f'(A)]_{\beta\alpha}$$

Beweis:

$$x \in \mathbb{C}, \quad f(x) = \sum_{n=0}^{\infty} f_n x^n \quad f'(x) = \sum_{n=0}^{\infty} f_n n x^{n-1}$$

$$\frac{\delta}{\delta A_{\alpha\beta}} \text{Sp } f(\underline{A} + \underline{B}) = \frac{\delta}{\delta A_{\alpha\beta}} \text{Sp} \sum_{n=0}^{\infty} f_n (\underline{A} + \underline{B})^n$$

$$= \sum_n f_n \frac{\delta}{\delta A_{\alpha\beta}} \text{Sp} (\underline{A} + \underline{B})^n \quad \leftarrow$$

$$= \sum_n f_n \sum_{\mu} \frac{\delta}{\delta A_{\alpha\beta}} [(\underline{A} + \underline{B})^n]_{\mu\mu} \quad \triangleright$$

$$= \sum_n f_n \sum_{\mu} \left[\frac{\delta}{\delta A_{\alpha\beta}} (\underline{A} + \underline{B})^n \right]_{\mu\mu}$$

$$= \sum_n f_n \text{Sp} \left(\frac{\delta}{\delta A_{\alpha\beta}} (\underline{A} + \underline{B})^n \right)$$

$$= \sum_n f_n \text{Sp} \frac{\delta}{\delta A_{\alpha\beta}} (\underline{A} + \underline{B}) \cdots (\underline{A} + \underline{B})$$

$$= \sum_n f_n \text{Sp} \sum_{i=1}^n (\underline{A} + \underline{B}) \cdots \left(\frac{\delta}{\delta A_{\alpha\beta}} (\underline{A} + \underline{B}) \right) \cdots (\underline{A} + \underline{B})$$

$$\stackrel{(*)}{=} \sum_n f_n \text{Sp} \sum_{i=1}^n (\underline{A} + \underline{B}) \cdots \Xi^{(i)} \cdots (\underline{A} + \underline{B}) \quad i\text{-te Stelle}$$

$$= \sum_n f_n \sum_{i=1}^n \text{Sp} \left(\Xi^{(i)} (\underline{A} + \underline{B})^{n-1} \right)$$

$$\stackrel{(*)}{=} \sum_n f_n \sum_{i=1}^n \left[(\underline{A} + \underline{B})^{n-1} \right]_{\mu\alpha}$$

$$= \sum_n f_n n \left[(\underline{A} + \underline{B})^{n-1} \right]_{\mu\alpha}$$

$$= \left[f'(\underline{A} + \underline{B}) \right]_{\mu\alpha} \quad \checkmark$$

$$(*) \frac{\delta}{\delta A_{\text{sys}}} \tilde{A} = \frac{\delta}{\delta A_{\text{sys}}} \begin{pmatrix} A_{nn} & A_{n2} \\ A_{2n} & \ddots \end{pmatrix} = \begin{pmatrix} \frac{\delta A_{nn}}{\delta A_{\text{sys}}} & \frac{\delta A_{n2}}{\delta A_{\text{sys}}} \\ \vdots & \ddots \end{pmatrix} = \begin{pmatrix} 1 & \\ & \ddots \end{pmatrix} \xleftarrow{\alpha}$$

$$\tilde{E}^{(xy)} = \begin{pmatrix} 1 \\ & \ddots \end{pmatrix} \xleftarrow{\alpha}$$

$$(**) \quad \text{Sp}(\tilde{E}^{(xy)} \cdot \tilde{C}) = \sum_{p\delta} E_{p\delta}^{(xy)} C_{p\delta} = \sum_{p\delta} \delta_{ap} \delta_{p\delta} C_{ap} = C_{px}$$

5) Beweis des Zusammenhangs zwischen Ω und Φ

Wir definieren

$$Y = \Phi + \frac{1}{\rho} \sum_E e^{iE\tau^+} \text{Sp} \left\{ \ln(-\tilde{G}(iE)) - \sum (iE) \tilde{G}(iE) \right\}$$

Zu zeigen: $Y = \Omega$. Zunächst stellen wir fest:

$\Phi = \begin{array}{c} \textcircled{1} \\ \vdots \\ \textcircled{1} \end{array} + \dots$ ist ein wohldefiniertes Funktional der

Selbstenergie $\Sigma_{\text{af}}(iE)$, denn Φ -Diagramme sind angezogene Skelette und werden daher (neben konstanten Wechselwirkungsparametern, Summen und anderen Konstanten Faktoren) aus wechselwirkenden Propagatoren $G_{\text{af}}(iE)$ aufgebaut, und diese wiederum können als

$$\tilde{G}(iE) = \frac{1}{\tilde{G}^{(0)}(iE) - \sum(iE)} \quad (\text{Dyson-Gleichung})$$

geschrieben werden.

Die Funktionalableitung $\frac{\delta \underline{\Phi}}{\delta \sum_{\text{ex}}(iE)}$ ist also

wohldefiniert. Sie kann explizit berechnet werden.

Darum untenen wir aus, dafs

$$\underline{\Phi} = \sum_{n=1}^{\infty} \frac{1}{2^n} \frac{1}{\beta} \sum_E \text{Sp} \left(G(iE) \sum^{(n)}(iE) \right)$$

Die Begründung dieser Darstellung ist dieselbe wie auf S. 166. Wir müssen nur zusätzliche zeigen, dafs

- 1) das Entfernen eines wechselwirkenden Propagators aus einem beliebigen $\underline{\Phi}$ -Diagramm zu Selbstenergie-Diagrammen führt, welche irreduzible Skelette sind, und dafs
- 2) jedes irreduzible Selbstenergie-Skelett durch (das äquivalente) Hinzufügen eines wechselwirkenden Propagators zu einem $\underline{\Phi}$ -Diagramm, also zu einem Skelett wird.

Zu 1)

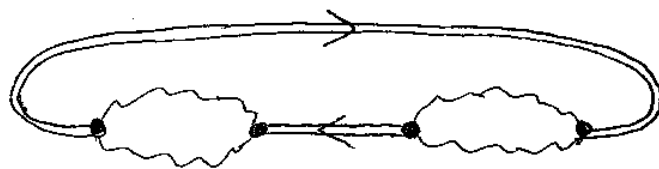
Sei g ein $\underline{\Phi}$ -Diagramm. Dann ist g ein Skelett.

Sei $g \setminus G$ das Selbstenergie-Diagramm, das durch Entfernen eines ganz bestimmten Propagators G aus g entsteht. Annahme: $g \setminus G$ ist reduzibel.

Dann hat $g \setminus G$ die Form



wobei jede der black boxes mindestens von 1. Ordnung ist. Dann hat aber g die Form

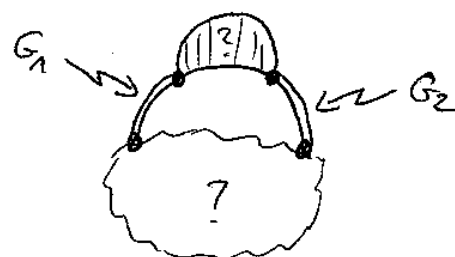


und war somit kein Skelett (\rightarrow Widerspruch!).

Mit der Annahme, dass $g \setminus G$ kein Skelett ist, folgt ebenfalls ein Widerspruch. Denn dann hätte $g \setminus G$ einen Selbstenergieeinschub in einem der Propagatoren, und somit desgleichen g (\rightarrow Widerspruch! denn g ist ein Skelett).

Zu 2)

Sei σ ein Σ -Diagramm. σ ist also ein irreduzibles Skelett. Sei $\sigma + G$ das eindeutig bestimmte Diagramm, das durch Hinzufügen von G an σ ein geschlossenes Diagramm erzeugt. Annahme: $\sigma + G$ ist kein Skelett. Dann hat $\sigma + G$ mindestens einen Selbstenergieeinschub, d.h. $\sigma + G$ hat die Form:



Ist σ nun das Σ -Diagramm, das durch Entfernen von G_1 oder von G_2 entsteht, ist σ reduzibel (\rightarrow Widerspruch). Entsteht σ durch das Entfernen eines anderen Propagators, so ist σ aber offensichtlich kein Skelett (\rightarrow Widerspruch). ✓

Damit ist die Darstellung von $\underline{\Phi}$ auf S. 177 bewiesen.

Wir kommen jetzt zurück zur Berechnung von $\frac{\delta \underline{\Phi}}{\delta \Sigma_{\text{gs}}(iE)}$.

$\underline{\Phi}$ hängt nur über die Propagatoren von Σ ab. Mit der Kettenregel folgt:

$$\frac{\delta \underline{\Phi}}{\delta \Sigma_{\text{gs}}(iE)} = \sum_{\alpha \in \Sigma(E)} \frac{\delta \underline{\Phi}}{\delta G_{\alpha \beta}(iE')} \cdot \frac{\delta G_{\alpha \beta}(iE')}{\delta \Sigma_{\text{gs}}(iE)}$$

Die Berechnung von $\frac{\delta \underline{\Phi}}{\delta G_{\alpha \beta}(iE')}$ kann Diagramm für Diagramm durchgeführt werden (Linearität der Funktionalableitung). Für ein Diagramm n -ter Ordnung mit $2n$ Propagatoren ist dabei die Produktregel zu beachten. Wir differenzieren einen bestimmten Propagator im $\underline{\Phi}$ -Diagramm und halten den Restterm (das Σ -Diagramm) fest. Dann wird der nächste Propagator differenziert und so fort. Die Ergebnisse sind anschließend zu summieren.

Z.B. für $n=1$

$$\frac{\delta \underline{\Phi}^{(n=1)}}{\delta G} = \frac{\delta}{\delta \rightarrowleftarrow} \left(\text{Diagramm 1} + \text{Diagramm 2} \right)$$

$$= \text{Diagramm 1} + \text{Diagramm 2} + \text{Diagramm 3} + \text{Diagramm 4} = \sum^{(n=1)}$$

Genauer:

für alle $2n$
gleiche Summanden

$$\frac{\delta \underline{\Phi}}{\delta G_{\text{gap}}(iE)} = \frac{\delta}{\delta G_{\text{gap}}(iE)} \left(\underbrace{\sum_{n=1}^{\infty} \frac{1}{2^n} \frac{1}{\beta} \sum_{E'} \text{Sp} \left(G(iE') \sum^{(n)}(iE') \right)}_{\text{jeweils } 2n \text{ gleiche Summanden}} \right)$$

$$= \frac{\delta}{\delta G_{\text{gap}}(iE)} \left(\underbrace{\sum_{n=1}^{\infty} \frac{1}{\beta} \sum_{E'} \text{Sp} \left(G(iE') \sum^{(n)}(iE') \right)}_{\text{wirkt nur auf}} \right) \uparrow \quad (\text{Produktregel!})$$

$$= \frac{\delta}{\delta G_{\text{gap}}(iE)} \underbrace{\frac{1}{\beta} \sum_{\alpha' \neq \alpha} G_{\alpha\alpha'}(iE) \sum_{\alpha' \neq \alpha} (iE)}_{\uparrow} = \frac{1}{\beta} \sum_{\alpha \neq \alpha'} G_{\alpha\alpha'}(iE)$$

$$\boxed{\frac{\delta \underline{\Phi}}{\delta G_{\text{gap}}(iE)} = \frac{1}{\beta} \sum_{\alpha \neq \alpha'} G_{\alpha\alpha'}(iE)}$$

Die Selbstenergie kann durch Funktionalableitung nach der Green-Funktion aus dem erzeugenden Funktional "erzeugt" werden!

(181)

Damit sind wir in der Lage, die Funktionalableitung von Σ nach Σ zu bestimmen:

$$\begin{aligned}\frac{\delta Y}{\delta \Sigma_{\text{exp}}(iE)} &= \frac{\delta}{\delta \Sigma_{\text{exp}}(iE)} \left[\Phi + \frac{1}{\beta} \sum_{E'} e^{iE' \beta t} \text{Sp} \left\{ \ln(-G(iE')) - \sum_{E''} (iE') G(iE'') \right\} \right] \\ &= \frac{\delta \Phi}{\delta \Sigma_{\text{exp}}(iE)} + \frac{1}{\beta} \frac{\delta \text{Sp} \ln(-G(iE))}{\delta \Sigma_{\text{exp}}(iE)} - \frac{1}{\beta} \frac{\delta \text{Sp} (\sum_{E''} (iE') G(iE''))}{\delta \Sigma_{\text{exp}}(iE)}\end{aligned}$$

$$\begin{aligned}\frac{\delta \Phi}{\delta \Sigma_{\text{exp}}(iE)} &= \sum_{\alpha \neq iE'} \frac{\delta \Phi}{\delta G_{\alpha \neq iE'}(iE')} \cdot \frac{\delta G_{\alpha \neq iE'}(iE')}{\delta \Sigma_{\text{exp}}(iE)} \\ &= \sum_{\alpha \neq i} \frac{1}{\beta} \sum_{\beta \neq i} G_{\alpha \beta}(iE) \frac{\delta G_{\alpha \neq iE'}(iE')}{\delta \Sigma_{\text{exp}}(iE)}\end{aligned}$$

$$\begin{aligned}\frac{1}{\beta} \frac{\delta \text{Sp} \ln(-G(iE))}{\delta \Sigma_{\text{exp}}(iE)} &\uparrow \frac{1}{\beta} \frac{\delta}{\delta \Sigma_{\text{exp}}(iE)} \text{Sp} \left\{ \ln \underbrace{\frac{-1}{G^{(0)-1}(iE) - \sum(iE)}}_f \right\} \\ &\text{Dyson-Gleichung} \\ &\quad f(\sum(iE) - G^{(0)-1}(iE)) \\ &\quad f(x) = \ln \frac{1}{x}, f'(x) = \frac{-1}{x}\end{aligned}$$

$$= \frac{1}{\beta} \left[\frac{1}{G^{(0)-1}(iE) - \sum(iE)} \right]_{\beta \neq i} = \frac{1}{\beta} G_{\beta \neq i}(iE)$$

$$\frac{1}{\beta} \frac{\delta \text{Sp} (\sum(iE) G(iE))}{\delta \Sigma_{\text{exp}}(iE)} = \frac{1}{\beta} \sum_{\alpha \neq i} \frac{\delta}{\delta \Sigma_{\text{exp}}(iE)} (\sum_{\alpha \neq i} (iE) G_{\alpha \neq i}(iE))$$

$$= \frac{1}{\beta} G_{\beta \neq i}(iE) + \frac{1}{\beta} \sum_{\alpha \neq i} \sum_{\beta \neq i} G_{\alpha \beta}(iE) \frac{\delta G_{\alpha \neq i}(iE)}{\delta \Sigma_{\text{exp}}(iE)}$$

Insgesamt also:

$$\frac{\delta Y}{\delta \Sigma_{\text{PS}}(iE)} = 0$$

Y als Funktional der Selbstenergie ist stationär bezüglich 1-ster-Ordnungs-Variationen der Selbstenergie. Man kann zudem zeigen, dass Y in der Tat maximal wird für die korrekte Selbstenergie.

Mit dieser Stationaritäts-eigenschaft kann der Beweis für $Y = \underline{\Omega}$ am Ende geführt werden. Wir zeigen, dass Y dieselbe Differentialgleichung wie $\underline{\Omega}$ erfüllt (S. 169). D.h. wir müssen Y nach der Wechselwirkungsstärke λ differenzieren. Wegen der Stationaritäts-eigenschaft von Y kann dabei die λ -Abhängigkeit von $\Sigma_{\text{PS}}(iE)$ ignoriert werden! Die einzige verbliebende λ -Abhängigkeit von Y resultiert dann noch aus den Vertizes in $\underline{\Phi}$.

$$Y = Y [\Sigma_{\text{PS}}(iE, \lambda), \lambda]$$

↑
Vertizes

$$\frac{dY}{d\lambda} = \sum_{\alpha \neq E} \underbrace{\frac{\delta Y}{\delta \Sigma_{\text{PS}}(iE, \lambda)}}_{=0} \frac{\partial \Sigma_{\text{PS}}(iE, \lambda)}{\partial \lambda} + \frac{\partial Y}{\partial \lambda} = \frac{\partial Y}{\partial \lambda} = \frac{\partial \underline{\Phi}}{\partial \lambda}$$

Mit der Darstellung auf S. 177 gilt:

$$\lambda \frac{\partial \Phi}{\partial \lambda} = \lambda \frac{\partial}{\partial \lambda} \left[\sum_{n=1}^{\infty} \frac{1}{2^n} \frac{1}{\beta} \sum_E \text{Sp} (\underline{G}(iE) \sum^{(n)}(iE, \lambda)) \right]$$

↑ hier sind die Vertizes!

$$= \lambda \frac{\partial}{\partial \lambda} \left[\sum_n \frac{1}{2^n} \frac{1}{\beta} \sum_E \text{Sp} (\underline{G}(iE) \lambda^n \sum^{(n)}(iE)) \right]$$

$$= \sum_n \frac{1}{2^n} \frac{1}{\beta} \sum_E \text{Sp} (\underline{G}(iE) \lambda \cdot n \lambda^{n-1} \sum^{(n)}(iE))$$

$$= \frac{1}{2} \frac{1}{\beta} \sum_E \text{Sp} (\underline{G}(iE) \sum_n \sum^{(n)}(iE, \lambda))$$

$$= \frac{1}{2} \frac{1}{\beta} \sum_E \text{Sp} (\underline{G}(iE, \lambda) \sum(iE, \lambda)) = \lambda \frac{d \Omega}{d \lambda}$$

↑
S. 169

Also: $\frac{dY}{d\lambda} = \frac{d\Omega}{d\lambda}$

Jetzt fehlt nur noch $Y(\lambda=0) \stackrel{!}{=} \Omega(\lambda=0) = \Omega_0$.

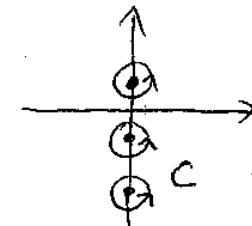
$$Y(\lambda=0) = \left[\Phi + \frac{1}{\beta} \sum_E e^{iE\lambda} \text{Sp} \left\{ \ln(-\underline{G}(iE)) - \sum(iE) \underline{G}(iE) \right\} \right]_{\lambda=0}$$

$$= \frac{1}{\beta} \sum_E e^{iE\lambda} \text{Sp} \ln(-\underline{G}^{(0)}(iE)) \quad \begin{array}{l} \text{Ansatzung der Spur} \\ \text{in 1-Teilchen-ONB } \{ |k\rangle \} \end{array}$$

$$= \frac{1}{\beta} \sum_E \sum_k e^{iE\lambda} \ln \frac{-1}{iE - (\varepsilon(k) - \mu)}$$

$$= -\frac{1}{\beta} \sum_E \sum_k e^{iE_0 t} \ln(\varepsilon(k) - \mu - iE)$$

$$\stackrel{\text{S.102}}{=} \frac{1}{2\pi i} \sum_k \oint_C \frac{1}{e^{\beta E} + 1} e^{iE_0 t} \ln(\varepsilon(k) - \mu - E) dE$$



$$= \frac{1}{2\pi i} \sum_k \oint_{C'} \frac{1}{e^{\beta E} + 1} e^{iE_0 t} \ln(\varepsilon(k) - \mu - E) dE$$

$$= \frac{1}{2\pi i} \sum_k \int_{C'} \left(-\frac{1}{\beta} \right) \frac{d}{dE} (\ln(1 + e^{\beta E})) e^{iE_0 t} \ln(\varepsilon(k) - \mu - E) dE$$

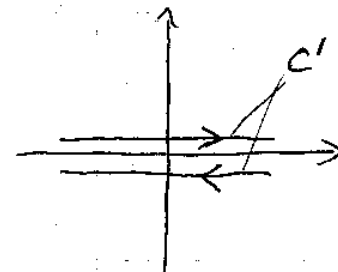
$$= \frac{-1}{2\pi i} \sum_k \int_{C'} \left(-\frac{1}{\beta} \right) \ln(1 + e^{\beta E}) e^{iE_0 t} \frac{d}{dE} \ln(\varepsilon(k) - \mu - E) dE$$

$$= \frac{1}{\beta} \frac{1}{2\pi i} \sum_k \int_{C'} \ln(1 + e^{\beta E}) e^{iE_0 t} \frac{1}{E - (\varepsilon(k) - \mu)} dE$$

$$= \frac{1}{\beta} \frac{1}{2\pi i} \sum_k \int_{-\infty}^{\infty} \ln(1 + e^{\beta E}) e^{iE_0 t} \underbrace{\left(\frac{1}{E + i0^+ - (\varepsilon(k) - \mu)} - \frac{1}{E - i0^+ - (\varepsilon(k) - \mu)} \right)}_{-2\pi i \delta(E - (\varepsilon(k) - \mu))} dE$$

$$= -\frac{1}{\beta} \sum_k \ln(1 + e^{-\beta(\varepsilon(k) - \mu)})$$

$$= \Omega_0 \quad (\text{S.21})$$



Damit folgt insgesamt:

$$\Omega = \gamma \quad \checkmark$$

Wir fassen die wesentlichen Resultate noch einmal zusammen:

- Differentialgleichung für Ω

$$2 \frac{d\Omega}{d\omega} = \frac{1}{2} \frac{1}{\beta} \sum_E \text{Sp} (\Sigma(iE, \omega) G(iE, \omega))$$

- Definition des erzeugenden Funktional $\underline{\Phi}$

$\underline{\Phi} = \text{Summe aller zusammenhängenden, geschlossenen, angezogenen Skelette}$

$$= \text{Diagramm 1} + \text{Diagramm 2} + \text{Diagramm 3} + \dots \neq \Omega!$$

- Darstellung von Ω mit Hilfe von $\underline{\Phi}$

$$\Omega = \underline{\Phi} + \frac{1}{\beta} \sum_E e^{iE\omega} \text{Sp} \left\{ \ln(-G(iE)) - \Sigma(iE) G(iE) \right\}$$

- Zusammenhang zwischen $\underline{\Phi}$ und Selbstenergie

$$\underline{\Phi} = \sum_{n=1}^{\infty} \frac{1}{2n} \frac{1}{\beta} \sum_E \text{Sp} \left(\Sigma^{(n)}(iE) G(iE) \right)$$

- Erzeugen der Selbstenergie aus $\underline{\Phi}$

$$\frac{\delta \underline{\Phi}}{\delta G_{\text{exp}}(iE)} = \frac{1}{\beta} \sum_{px} (iE)$$

- Stationarität des grosskanonischen Potentials:

$$\frac{\delta \Omega}{\delta \Sigma_{\text{exp}}(iE)} = 0 \quad (\text{falls } \Sigma \text{ die Dyson-Gleichung erfüllt, also für die korrekte Selbstenergie})$$

6) Hartree - Fock - Grundzustandsenergie

Als Beispiel diskutieren wir die Grundzustandsenergie in Hartree - Fock - Näherung.

Die Hartree - Fock - Näherung ist durch das erzeugende Funktional

$$\underline{\Phi}^{(HF)} = \begin{array}{c} \text{Diagramm 1: Zwei Elektronen in einem Kettensystem mit Energien } E \text{ und } E' \text{ und Abständen } \alpha \text{ und } \delta. \end{array} + \begin{array}{c} \text{Diagramm 2: Ein Elektron in einem Kettensystem mit Energien } E \text{ und } E' \text{ und Abständen } \alpha \text{ und } \delta. \end{array}$$

definiert. Nach den Regeln S. 161 gilt:

$$\begin{aligned} \underline{\Phi}^{(HF)} &= \frac{(-1)^1}{2^1 1!} \left(-\frac{1}{\beta} \right) (-1)^2 \sum_{\alpha \neq \beta \neq \delta} \sum_{EE'E'} (-G_{\delta\alpha}(iE)) e^{iE_0 t} (-G_{\gamma\beta}(iE')) e^{iE'_0 t} \\ &\quad \times \frac{1}{\beta} \delta_{E+E', E+E'} v(\alpha \beta \delta \gamma) \\ &\quad + \frac{(-1)^1}{2^1 1!} \left(-\frac{1}{\beta} \right) (-1) \sum_{\alpha \neq \beta \neq \delta} \sum_{EE'E'} (-G_{\gamma\alpha}(iE)) e^{iE_0 t} (-G_{\delta\beta}(iE')) e^{iE'_0 t} \\ &\quad \times \frac{1}{\beta} \delta_{E+E', E+E'} v(\alpha \beta \delta \gamma) \\ &= \frac{1}{2} \sum_{\alpha \neq \beta \neq \delta} \left[\left(\frac{1}{\beta} \sum_E G_{\delta\alpha}(iE) e^{iE_0 t} \right) \left(\frac{1}{\beta} \sum_{E'} G_{\gamma\beta}(iE') e^{iE'_0 t} \right) \right. \\ &\quad \left. - \left(\frac{1}{\beta} \sum_E G_{\gamma\alpha}(iE) e^{iE_0 t} \right) \left(\frac{1}{\beta} \sum_{E'} G_{\delta\beta}(iE') e^{iE'_0 t} \right) \right] v(\alpha \beta \delta \gamma) \end{aligned}$$

$$\underline{\Phi}^{(HF)} = \frac{1}{2} \sum_{\alpha \neq \beta \neq \delta} [\langle c_\alpha^\dagger c_\delta \rangle \langle c_\beta^\dagger c_\gamma \rangle - \langle c_\alpha^\dagger c_\gamma \rangle \langle c_\beta^\dagger c_\delta \rangle] v(\alpha \beta \delta \gamma)$$

(S. S. 117)

Für die Selbstenergie folgt somit:

$$\begin{aligned}
 \sum_{\alpha\beta}^{(HF)}(iE^u) &= \beta \frac{\delta \underline{\Phi}^{(HF)}}{\delta G_{\alpha\beta}^{(HF)}(iE^u)} \\
 &= \frac{1}{2} \sum_{\alpha\beta\gamma\delta} \left[\delta_{\beta\delta} \delta_{\alpha\gamma} \langle c_\beta^\dagger c_\gamma \rangle + \langle c_\alpha^\dagger c_\delta \rangle \delta_{\beta\gamma} \delta_{\alpha\delta} \right. \\
 &\quad \left. - \delta_{\beta\gamma} \delta_{\alpha\delta} \langle c_\beta^\dagger c_\delta \rangle + \langle c_\alpha^\dagger c_\gamma \rangle \delta_{\beta\delta} \delta_{\alpha\gamma} \right] v(\alpha\beta\delta\gamma) \\
 &= \frac{1}{2} \sum_{\beta\gamma} \langle c_\beta^\dagger c_\gamma \rangle v(\alpha'\beta\beta'\gamma) + \frac{1}{2} \sum_{\alpha\delta} \langle c_\alpha^\dagger c_\delta \rangle v(\alpha\alpha'\delta\beta') \\
 &\quad - \frac{1}{2} \sum_{\beta\delta} \langle c_\beta^\dagger c_\delta \rangle v(\alpha\beta\delta\beta') - \frac{1}{2} \sum_{\alpha\gamma} \langle c_\alpha^\dagger c_\gamma \rangle v(\alpha\alpha'\beta'\gamma) \\
 &= \frac{1}{2} \sum_{\beta\gamma} \left[v(\alpha'\delta\beta'\gamma) + v(\delta\alpha'\gamma\beta') - v(\alpha'\delta\gamma\beta') - v(\delta\alpha'\beta'\gamma) \right] \langle c_\beta^\dagger c_\gamma \rangle
 \end{aligned}$$

und mit $v(\alpha\beta\delta\gamma) = v(\beta\alpha\gamma\delta)$ (S. 112)

$$\sum_{\alpha\beta}^{(HF)}(iE) = \sum_{\beta\gamma} (v(\alpha\delta\beta\gamma) - v(\alpha\delta\gamma\beta)) \langle c_\beta^\dagger c_\gamma \rangle$$

Das ist derselbe Ausdruck wie der durch direkte Berechnung der Selbstenergie (S. 118).

Großkanonisches Potential:

$$\Omega^{(HF)} = \underline{\Phi}^{(HF)} + \frac{1}{\beta} \sum_E e^{iE\tau} S_p \left\{ \ln(-G^{(HF)}(iE)) - \sum_{\alpha\beta}^{(HF)}(iE) G_{\alpha\beta}^{(HF)}(iE) \right\}$$

$$\frac{1}{\beta} \sum_E e^{iE\tau} S_p \left(\sum_{\alpha\beta}^{(HF)}(iE) G_{\alpha\beta}^{(HF)}(iE) \right) = \sum_{\alpha\beta} \sum_{\alpha\beta}^{(HF)} \frac{1}{\beta} \sum_E e^{iE\tau} G_{\alpha\beta}^{(HF)}(iE)$$

$$= \sum_{\alpha\beta} \sum_{\alpha\beta}^{(HF)} \langle c_\alpha^\dagger c_\beta \rangle = \sum_{\alpha\beta\gamma\delta} (v(\alpha\delta\beta\gamma) - v(\alpha\delta\gamma\beta)) \langle c_\alpha^\dagger c_\beta \rangle \langle c_\gamma^\dagger c_\delta \rangle$$

$$= \sum_{\alpha\beta\gamma\delta} (\langle c_\alpha^\dagger c_\delta \rangle \langle c_\beta^\dagger c_\gamma \rangle - \langle c_\alpha^\dagger c_\gamma \rangle \langle c_\beta^\dagger c_\delta \rangle) v(\gamma\delta\beta\gamma) = 2 \underline{\Phi}^{(HF)}$$

Seien $E_p(\mathbb{R})$ die Eigenwerte von $t_{\text{HF}} + \sum^{(\text{HF})}$
 (HF - Ein-Teilchen-Energie, HF - Bandstruktur),
 dann gilt:

$$\underline{G}^{(\text{HF})}(iE) = \frac{1}{\underline{G}^{(0)-1}(iE) - \sum^{(\text{HF})}} = \frac{1}{iE - (t - \mu) - \sum^{(\text{HF})}}$$

$$\text{Sp} \ln(-\underline{G}^{(\text{HF})}(iE)) = \sum_{\mathbb{R}p} \ln \frac{-1}{iE - (E_p(\mathbb{R}) - \mu)}$$

Analog zur Reduktion auf S. 183 folgt also:

$$\text{Sp} \ln(-\underline{G}^{(\text{HF})}(iE)) = -\frac{1}{\beta} \sum_{\mathbb{R}p} \ln(1 + e^{-\beta(E_p(\mathbb{R}) - \mu)})$$

und insgesamt:

$$\begin{aligned} \Omega^{(\text{HF})} &= -\frac{1}{\beta} \text{Sp} \ln(1 + e^{-\beta(t - \mu + \sum^{(\text{HF})})}) \\ &\quad - \frac{1}{2} \sum_{\mathbb{R}p\delta} (\langle c_{\alpha}^{\dagger} c_{\alpha} \rangle \langle c_{\beta}^{\dagger} c_{\beta} \rangle - \langle c_{\alpha}^{\dagger} c_{\beta} \rangle \langle c_{\beta}^{\dagger} c_{\alpha} \rangle) v_{\alpha\beta\delta} \end{aligned}$$

$T=0$ - Limes:

$$E_p(\mathbb{R}) - \mu < 0 \Rightarrow \ln(1 + e^{-\beta(E_p(\mathbb{R}) - \mu)}) \rightarrow -\beta(E_p(\mathbb{R}) - \mu)$$

$$E_p(\mathbb{R}) - \mu > 0 \Rightarrow \ln(1 + e^{-\beta(E_p(\mathbb{R}) - \mu)}) \rightarrow 0$$

$$-\frac{1}{\beta} \sum_{\mathbb{R}p} \ln(1 + e^{-\beta(E_p(\mathbb{R}) - \mu)}) \rightarrow \sum_{\mathbb{R}p} (E_p(\mathbb{R}) - \mu) \underset{E_p(\mathbb{R}) < \mu}{}$$

Grundzustandsenergie $E_0^{(\text{HF})}$:

$$E_0^{(\text{HF})} = (\Omega^{(\text{HF})} + \mu \langle N \rangle^{(\text{HF})})_{T \rightarrow 0}$$

$$\langle N \rangle^{(HF)} = \sum_{\alpha} \langle n_{\alpha} \rangle^{(HF)} = \sum_{\alpha} \langle c_{\alpha}^{\dagger} c_{\alpha} \rangle^{(HF)} = \sum_{\alpha} \frac{1}{\beta} \sum_E e^{-\epsilon_E t} G_{\alpha\alpha}^{(HF)}(iE)$$

$$= \frac{1}{\beta} \sum_E e^{-\epsilon_E t} S_p G^{(HF)}(iE) = \sum_{R_p} \frac{1}{\beta} \sum_E e^{-\epsilon_E t} \frac{1}{E - (E_p(R) - \mu)}$$

S.M. 19

$$\Rightarrow \sum_{R_p} \int_{-\infty}^{\infty} dE \frac{1}{e^{\beta E} + 1} \delta(E - (E_p(R) - \mu)) \stackrel{T=0}{=} \sum_{R_p} 1$$

$E_p(R) < \mu$

$$E_b^{(HF)} = \sum_{R_p} E_p(R) - \frac{1}{2} \sum_{\alpha \neq \beta} (\langle c_{\alpha}^{\dagger} c_{\alpha} \rangle \langle c_{\beta}^{\dagger} c_{\beta} \rangle - \langle c_{\alpha}^{\dagger} c_{\beta} \rangle \langle c_{\beta}^{\dagger} c_{\alpha} \rangle) \\ \downarrow \qquad \qquad \qquad \downarrow \\ E_p(R) < \mu = \varepsilon_F$$

Summe der besetzten

HF-Ein-Teilchen-Energien

Doppelzählungskorrektur

(Vergl. A. Messiah, Quantumechanik, Band 2, § 259)

$$= \langle H_{\text{eff}} \rangle$$

$$(H_{\text{eff}} = \sum_{\alpha \beta} (E_{\alpha \beta} + \sum_{\alpha \beta}^{(HF)}) c_{\alpha}^{\dagger} c_{\beta}, \text{ s. M. 19})$$

VI C Luttinger - Theorem

Das Luttinger - Theorem (oder auch: Luttinger - Summenregel, J. N. Luttinger and J. C. Ward, Phys. Rev. 118 (1960) 1417) stellt einen Zusammenhang zwischen der mittleren Teilchenzahl $\langle \hat{N} \rangle$ (statische Größe) und der Selbstenergie bzw. Green - Funktion (dynamische Größen) her.

Im freien System ist die mittlere Teilchenzahl (S.22):

$$\langle \hat{N} \rangle^{(0)} = \sum_{k\in} \frac{1}{e^{\beta(E_{k\in})} + 1}$$

Eine einfache Verallgemeinerung dieses Resultats für das wechselwirkende System ist:

$$\begin{aligned} \langle \hat{N} \rangle &= \sum_{\omega} \langle n_{\omega} \rangle \stackrel{\text{S.43}}{\equiv} \sum_{\omega} \frac{1}{\beta} \sum_E e^{iE\omega} G_{\omega}(iE) \\ &\stackrel{\text{S.119}}{=} \sum_{\omega} \int_{-\infty}^{\infty} \frac{1}{e^{\beta E} + 1} A_{\omega}(E) dE \end{aligned}$$

Diese Beziehungen liefern allerdings keine wirklich neue Information, denn sie folgen unmittelbar aus der Definition der Matsubara - Funktion.

Das Luttinger - Theorem dagegen besagt, daß die mittlere Teilchenzahl $\langle \hat{N} \rangle$ gleich dem von der Fermi - Fläche eingeschlossenen \vec{R} - Raum - Volumen ist. Das Fermi - Volumen ist eine von $\langle \hat{N} \rangle$ a priori unabhängige Größe, so daß der Zusammenhang keineswegs trivial ist. Im Gegensatz zur obigen einfachen Summenregel ist das

Luttinger-Theorem auch nicht unter allen Umständen gültig. Es basiert wesentlich auf der Gültigkeit der Diagrammentwicklung. Damit macht das Theorem (immerhin nur) eine Aussage über normale Fermi-Fähigkeiten.

Für die genaue Formulierung und den Beweis gehen wir von oben gefundenen Darstellungen für Ω aus und berechnen $\langle \bar{N} \rangle = -\partial \Omega / \partial \mu$.

Begnügen wir uns mit der Darstellung (S. 167):

$$\Omega = \Omega_0 + \Delta \Omega = \Omega_0 + \sum_{n=1}^{\infty} \frac{1}{2n} \frac{1}{\beta} \sum_E \text{Sp} (\underline{\mathcal{L}}^{(0)}(iE) \widetilde{\Sigma}^{(n)}(iE))$$

$$\langle \bar{N} \rangle = -\frac{\partial \Omega}{\partial \mu} = -\frac{\partial \Omega_0}{\partial \mu} - \sum_{n=1}^{\infty} \frac{1}{2n} \frac{\partial}{\partial \mu} \frac{1}{\beta} \sum_E \text{Sp} (\underline{\mathcal{L}}^{(0)}(iE) \widetilde{\Sigma}^{(n)}(iE))$$

^{diagrammatische}
Produktregel $= \langle \bar{N} \rangle^{(0)} - \sum_{n=1}^{\infty} \frac{1}{\beta} \sum_E \frac{\partial}{\partial \mu} \text{Sp} (\underline{\mathcal{L}}^{(0)}(iE) \underbrace{\widetilde{\Sigma}^{(n)}(iE)}_{\uparrow})$

$$= \langle \bar{N} \rangle^{(0)} - \frac{1}{\beta} \sum_E \text{Sp} \left(\widetilde{\Sigma}(iE) \frac{\partial}{\partial \mu} \frac{1}{iE - (\underline{\mathcal{L}} - \mu)} \right)$$

$$= \langle \bar{N} \rangle^{(0)} + \frac{1}{\beta} \sum_E \text{Sp} \left(\underline{\mathcal{L}}^{(0)}(iE)^2 \widetilde{\Sigma}(iE) \right)$$

$$= \langle \bar{N} \rangle^{(0)} + \frac{1}{\beta} \sum_E \text{Sp} \left(\underline{\mathcal{L}}^{(0)}(iE) \underbrace{\widetilde{\Sigma}(iE)}_{\widetilde{\Sigma}(iE) \underline{\mathcal{G}}(iE)} \underbrace{\underline{\mathcal{L}}^{(0)}(iE)}_{\widetilde{\Sigma}(iE) \underline{\mathcal{G}}(iE)} \right)$$

(S. 169)

$\underline{\mathcal{L}}(iE) - \underline{\mathcal{L}}^{(0)}(iE)$ (Dyson-Gleichung)

$$= \frac{1}{\beta} \sum_E e^{cE_0 + cE} \text{Sp } G(cE) \quad (\text{nach Einfügen von } \exp(cE_0))$$

(192)

Dies liefert also nichts Neues.

Berechnen wir $\langle N \rangle$ jetzt als:

$$\langle N \rangle = -\frac{\partial \Omega}{\partial \mu} = -\frac{\partial}{\partial \mu} \left[\Phi + \frac{1}{\beta} \sum_E e^{cE_0 + cE} \text{Sp} \left\{ \ln(-G(cE)) - \sum(cE) G(cE) \right\} \right]$$

μ -Abhängigkeit von Ω :

$$\Omega = \Omega[\Sigma, G] , \text{ dann } \Phi = \Phi[G]$$

$$\tilde{G} = \frac{1}{G^{(0)} - \sum} = \frac{1}{E - (\tilde{E} - \mu) - \sum(cE)} = G(\mu, \Sigma)$$

$$\Rightarrow \Omega = \Omega[\Sigma, G[\mu, \Sigma]]$$

Die μ -Abhängigkeit von Ω vermöge der μ -Abhängigkeit von Σ braucht nicht berücksichtigt zu werden, da

$$\frac{\delta \Omega}{\delta \Sigma} = 0 !$$

Also (mit $\frac{\partial}{\partial \mu}$ = Ableitung nach der expliziten μ -Abhängigkeit):

$$\begin{aligned} \langle N \rangle &= -\frac{\partial \Omega}{\partial \mu} = -\sum_{cE} \frac{\delta \Phi}{\delta G_{cE}(cE)} \frac{\partial G_{cE}(cE)}{\partial \mu} \\ &\quad - \frac{1}{\beta} \sum_E e^{cE_0 + cE} \frac{\partial}{\partial \mu} \text{Sp} \ln(-G(cE)) \\ &\quad + \frac{1}{\beta} \sum_E e^{cE_0 + cE} \text{Sp} \left(\sum(cE) \frac{\partial G(cE)}{\partial \mu} \right) \end{aligned}$$

Mit $\frac{\delta \Phi}{\delta G_{\text{sys}}(iE)} = \frac{1}{\beta} \sum_{\alpha} \epsilon_{\alpha}(iE)$ folgt:

$$\langle N \rangle = -\frac{1}{\beta} \sum_{\alpha} e^{\epsilon_{\alpha}(iE) + \frac{Q}{\beta}} \text{Sp} \ln (-G(iE))$$

Direktes Weiterrechnen,

$$\begin{aligned} &= \frac{1}{\beta} \sum_{\alpha} e^{\epsilon_{\alpha}(iE) + \frac{Q}{\beta}} \text{Sp} \ln \left(t - \mu + \sum_{\alpha} (iE) - iE \right) \\ &= \frac{1}{\beta} \sum_{\alpha} e^{\epsilon_{\alpha}(iE) + \frac{Q}{\beta}} \text{Sp} \underbrace{\frac{1}{iE - (t - \mu) - \sum_{\alpha} (iE)}}_{} \end{aligned}$$

Führt wieder zum gleichen Ergebnis. Es ist dagegen interessanter, die μ -Abhängigkeit in eine Energieableitung umzuwandeln:

$$\frac{\partial}{\partial \mu} \text{Sp} \ln G(iE) = \frac{\partial}{\partial \mu} \text{Sp} \ln \underbrace{\frac{-1}{iE - (t - \mu) - \sum_{\alpha} (iE)}}_{} \quad \uparrow$$

$$= \frac{\partial}{\partial (iE)} \text{Sp} \ln \underbrace{\frac{-1}{iE - (t - \mu) - \sum_{\alpha} (iE)}}_{} \quad \uparrow$$

$$= \frac{\partial}{\partial (iE)} \text{Sp} \ln \underbrace{\frac{-1}{iE - (t - \mu) - \sum_{\alpha} (iE)}}_{} \quad \uparrow$$

(kettenregel)

$$- \sum_{\alpha \neq E'} \frac{\delta \text{Sp} \ln \frac{-1}{iE - (t - \mu) - \sum_{\alpha} (iE)}}{\delta \sum_{\text{sys}}(iE')} + \frac{\partial \sum_{\text{sys}}(iE)}{\partial (iE)}$$

$$= \frac{\partial}{\partial (iE)} \text{Sp} \ln (-G(iE)) - \sum_{\alpha} \left[\frac{1}{iE - (t - \mu) - \sum_{\alpha} (iE)} \right]_{\text{part}} \cdot \frac{\partial \sum_{\text{sys}}(iE)}{\partial (iE)}$$

$$f(x) = \ln \frac{-1}{x} = \ln \frac{1}{-x} = -\ln x$$

$$f'(x) = \frac{-1}{x} = \frac{1}{-x} \quad (\text{vergl. S. 174})$$

$$= \frac{\partial}{\partial(iE)} \text{Sp} \ln(-\underline{G}(iE)) - \text{Sp} \left(\underline{G}(iE) \cdot \frac{\partial \underline{\Sigma}(iE)}{\partial(iE)} \right)$$

Also:

$$\langle \hat{N} \rangle = -\frac{1}{\beta} \sum_E e^{iEOt} \frac{\partial}{\partial(iE)} \text{Sp} \ln(-\underline{G}(iE)) + R$$

mit

$$R = \frac{1}{\beta} \sum_E e^{iEOt} \text{Sp} \left(\underline{G}(iE) \cdot \frac{\partial \underline{\Sigma}(iE)}{\partial(iE)} \right)$$

Wir zeigen, dass $R=0$ für $T=0$:

$$\begin{aligned} \lim_{T \rightarrow 0} R &= \lim_{\beta \rightarrow \infty} \frac{1}{\beta} \sum_E e^{iEOt} \text{Sp} \left(\underline{G}(iE) \cdot \frac{\partial \underline{\Sigma}(iE)}{\partial(iE)} \right) \\ &= \left(\sum_E \frac{2\pi i}{\beta} \right)_{\beta \rightarrow \infty} \cdot \frac{1}{2\pi i} e^{iEOt} \text{Sp} \left(\underline{G}(iE) \frac{\partial \underline{\Sigma}(iE)}{\partial(iE)} \right) \\ &= P \int_{-\infty}^{\infty} dE \frac{1}{2\pi i} e^{iEOt} \text{Sp} \left(\underline{G}(E) \frac{\partial \underline{\Sigma}(E)}{\partial E} \right) \end{aligned}$$

(Dies ist gerade die Definition des Riemann-Integrals. Das Hauptwertzeichen ist nötig, da $G(E)$ f. $E=0$ einen Pol 1. Ordnung besitzen kann. Die Summe \sum_E wird zu einem Hauptwert, da die iE paarweise symmetrisch an $E=0$ liegen)

$$= -P \int_{-\infty}^{\infty} dE \frac{1}{2\pi i} e^{iEOt} \text{Sp} \left(\underline{\Sigma}(E) \frac{\partial \underline{G}(E)}{\partial E} \right)$$

(partielle Integration, $G(E) \sim 1/E$ f. $E \rightarrow \infty$, $\Sigma(E) \sim \text{const}$ f. $E \rightarrow \infty$, s. Spektraldarstellung S.52 und Dynan-Bly-)

$$= - \left(\frac{1}{\beta} \sum_E \right) e^{iEOt} \text{Sp} \left(\underline{\Sigma}(E) \frac{\partial \underline{G}(iE)}{\partial(iE)} \right) \Big|_{\frac{1}{\beta} \sum_E \rightarrow \frac{1}{2\pi i} \int_{-\infty}^{\infty}}$$

D.h. wir können $\lim_{T \rightarrow 0}$ in R berechnen, indem wir die Summe aller \mathbb{I} -Diagramme bilden, in denen jeweils ein Propagator nach iE differenziert ist. Energiesummen sind durch Integrale zuersetzen, ein Kronecker- δ durch eine δ -Funktion:

$$\lim_{T \rightarrow 0} R = - \left\{ \begin{array}{c} \text{Diagram 1: Two circles with } \frac{\partial \ln E}{\partial E} \text{ between them} \\ \text{Diagram 2: A circle with } \frac{\partial \ln E}{\partial E} \text{ inside it} \\ \text{Diagram 3: A circle with } \frac{\partial \ln E}{\partial E} \text{ outside it} \end{array} \right\} \Big|_{\sum \rightarrow \beta}$$

Die Energievariablen treten als Argument im Propagator auf, aber auch als Argument in den δ -Funktionen, die die Energieerhaltung repräsentieren:

$$\sum_{\text{...}} (\dots) \frac{\partial G(E_k)}{\partial E_k} \cdot G(E_e) \cdot G(E_m) G(E_n) \delta(E_k + E_e - E_m - E_n)$$

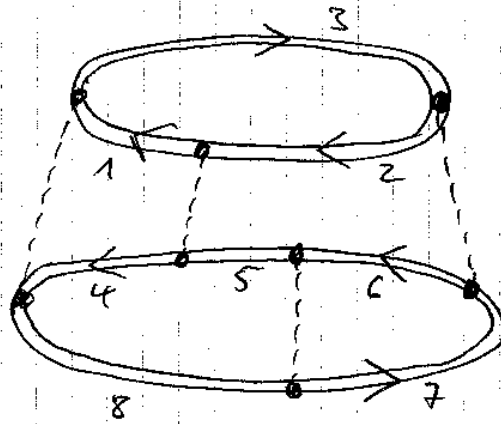
Die Differentiation kann auf die δ -Funktionen abgewälzt werden: $-\frac{\partial}{\partial E_k} \delta(E_1 + E_2 + \dots + E_n - E_k)$.

Fassen wir jeweils 4 Diagramme zusammen, so ist aber:

$$\left(\frac{\partial}{\partial E_k} + \frac{\partial}{\partial E_l} + \frac{\partial}{\partial E_m} + \frac{\partial}{\partial E_n} \right) \delta(E_k + E_l - E_m - E_n) = 0$$

and damnit $R=0$ & $T=0$

Bsp.



$$\left. \begin{array}{c} \delta(1+4-3+8) \\ \delta(2+5-1+4) \\ \delta(3+2-2+6) \\ \delta(6+8-5+7) \end{array} \right\} \quad \left. \begin{array}{c} \delta(2+5-3+8) \\ \delta(3+7-2+6) \\ \delta(6+8-5+7) \end{array} \right\} \quad \left. \begin{array}{c} \delta(2+5-3+8) \\ \delta(3+7-2+6) \end{array} \right\}$$

(1,2,3,... stehen für E_1, E_2, E_3, \dots)

Über 1 und 4 kann frei summiert / integriert werden:

$$\frac{\partial}{\partial E_1} \sim \int (\dots) \frac{\partial G(E_1)}{\partial E_1} \sim \int -\underbrace{\frac{\partial}{\partial E_1} (\dots)}_{=0} \cdot G(E_1) = 0$$

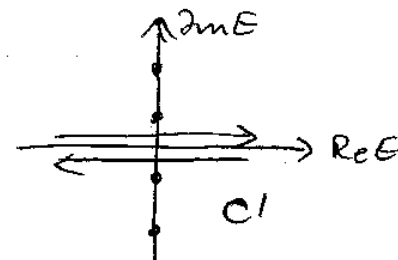
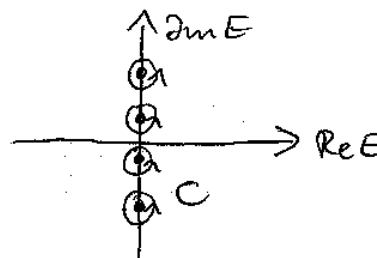
Die Diagramme, bei denen nach 2, 3, 5, 6, 7, 8 differenziert wird, enthalten zusammengefasst den Faktor

$$(\delta_2 + \delta_3 + \delta_5 + \delta_6 + \delta_7 + \delta_8) \delta(2+5-3-8) \delta(3+7-2-6) = 0$$

Für $T=0$ bleibt also:

$$\langle N \rangle = \lim_{\beta \rightarrow \infty} \frac{-1}{\beta} \sum_E e^{iE\beta t} \frac{\partial}{\partial(iE)} \text{Sp} \ln (-\mathcal{L}(iE))$$

$$\stackrel{S.102}{=} \lim_{\beta \rightarrow \infty} \frac{-1}{2\pi i} \int_C \frac{1}{e^{\beta E} + 1} e^{iE\beta t} \frac{\partial}{\partial E} \text{Sp} \ln (\underline{t} - \mu + \underline{\Sigma}(E) - E) dE$$



$$= \lim_{\beta \rightarrow \infty} \frac{1}{2\pi i} \int_{C'} \frac{\partial}{\partial E} \frac{1}{e^{\beta E} + 1} \text{Sp} \ln (\underline{t} - \mu + \underline{\Sigma}(E) - E) dE$$

$$\stackrel{\theta'(-E) = -\delta(E)}{=} \frac{-1}{2\pi i} \int_{C'} \delta(E) \text{Sp} \ln (\underline{t} - \mu + \underline{\Sigma}(E) - E) dE$$

$$= \frac{-1}{2\pi i} \left[\text{Sp} \ln (\underline{t} - \mu + \underline{\Sigma}(i\omega^+) - i\omega^+) - \text{Sp} \ln (\underline{t} - \mu + \underline{\Sigma}(-i\omega^+) + i\omega^+) \right]$$

$$\underline{\Sigma}(\pm i\omega^+) = \underline{\Sigma}(0) \text{ reell}$$

(S.138)

$$\int_{-\infty}^{\infty} - \int_{\infty}^{\infty} = - \int_{-\infty}^{\infty}$$

$$= \frac{1}{2\pi i} \left[\text{Sp} \ln (\underline{t} - \mu + \underline{\Sigma}(0) + i\omega^+) - \text{Sp} \ln (\underline{t} - \mu + \underline{\Sigma}(0) - i\omega^+) \right]$$

Seien $\gamma_{pc}(R, E)$ die Eigenwerte von $\underline{t} + \underline{\Sigma}(E)$ bzw. von $\underline{\Sigma}_T(R) \delta_{rr} + \underline{\Sigma}_{Rc, rr}(E)$, und sei $\gamma_{pc}(R) \equiv \gamma_{pc}(R, i\omega^+)$ (s. S.133, 139).

Damit können wir schreiben:

$$\langle N \rangle = \frac{1}{2\pi c} \sum_{\vec{k}_{pc}} \left[\ln(\eta_{pc}(\vec{k}) - \mu + i0^+) - \ln(\eta_{pc}(\vec{k}) - \mu - i0^+) \right]$$

Hauptzweig des \ln :

$$\ln z = \ln|z| + iy \quad \text{f. } z = |z|e^{iy} \quad -\pi < y \leq \pi$$

$$\eta_{pc}(\vec{k}) - \mu > 0 \Rightarrow [\dots] = 0$$

$$\eta_{pc}(\vec{k}) - \mu < 0 \Rightarrow [\dots] = (i\alpha) - (-i\alpha) = 2\alpha i$$

Also:

$$\langle N \rangle = \sum_{\vec{k}_{pc}} \Theta(\mu - \eta_{pc}(\vec{k}))$$

Luttinger - Theorem

Wir hatten die Fermi - Flächen durch

$$\{ \vec{k} \mid \eta_{pc}(\vec{k}) = \mu \}$$

definiert. (S.135). Für ein reales Metall hat die Gleichung $\eta_{pc}(\vec{k}) = \mu$ nur für einige wenige (wahre Bandindizes) (p, c) eine Lösung.

Wir definieren daher:

Def.

partiell besetztes Band (p_c)

$$\eta_{pc}(R) = \mu \quad \text{für } R \in FS_{p,c}$$

voll besetztes Band (p_v)

$$\eta_{pv}(R) < \mu \quad \forall R \in BZ$$

leeres Band (p_e)

$$\eta_{pe}(R) > \mu \quad \forall R \in BZ$$

(für Isolatoren hat die Gleichung nie eine Lösung,
hier existiert keine Fermi-Fläche)

Sei $p = 1, \dots, p_{\max}$ und $p_{\max} = p_{\text{part}} + p_{\text{voll}} + p_{\text{ leer}}$.
Dann ist offensichtlich

$$\langle N \rangle = 2N_{\text{Gitter}} \cdot p_{\text{voll}} + \sum_{R \in BZ} \sum_{p=1}^{p_{\text{part}}} \Theta(\mu - \eta_{pc}(R)) + 0$$

wobei N_{Gitter} die Anzahl der Punkte im R -Raum also
die Anzahl der Einheitszellen im Kristall ist ($N_{\text{Gitter}} \rightarrow \infty$).

Wir definieren die mittlere Leitungselektronenzahl

$$N_c = \langle N \rangle - 2N_{\text{Gitter}} \cdot p_{\text{voll}}$$

$$N_c = \sum_{R \in BZ} \sum_p' \Theta(\mu - \eta_{pc}(R))$$

Die Summe (Σ') läuft nur über alle partiell besetzten
Bänder.

$$V_{pc}^{(FS)} = \int_{BZ} d^3k \Theta(p - \gamma_{pc}(k))$$

$$= \frac{(2\pi)^3}{V_{EZ}} \cdot \frac{1}{N_{Gitter}} \sum_{\vec{k}} \Theta(p - \gamma_{pc}(\vec{k}))$$

definiert offenbar das von der (p, g) Fermi-Fläche eingeschlossene Volumen im \vec{k} -Raum ("Fermi-Volumen"). (V_{EZ} ist das Volumen der Einheitszelle im reellen Raum, $V_{EZ} \cdot V_{BZ} = (2\pi)^3$.)

Damit kann das Luttinger-Theorem als

$$N_c = \frac{V}{(2\pi)^3} \cdot \sum_{pc} V_{pc}^{(FS)}$$

geschrieben werden ($V \equiv N_{sites} \cdot V_{EZ}$). Für ein Ein-Band-Modell ($p_{part} = 1$) und $V = (2\pi)^3$ ist $\langle \hat{N} \rangle = \frac{(2\pi)^3}{V} \cdot 2 \cdot V^{(FS)}$

Luttinger-Theorem: Die Anzahl der Leitungselektronen ist gleich dem Fermi-Volumen im \vec{k} -Raum $\propto \frac{V}{(2\pi)^3}$

(Kom bedenke, wie einfach die Aussage ist und wie schwierig es war, sie zu beweisen!)

Eine unmittelbare Konsequenz des Luttinger-Theorems ist:

Das Fermi-Volumen ist invariant bei Variation der Wechselwirkungsstärke

N_e ist dabei durch geeignete Wahl von $\rho_1 = \rho_1(\lambda)$ konstant zu halten bei Variation von λ in $\lambda \cdot v(x) \delta \rho_1$. Wählt man $\lambda = 0$, so gilt:

Das Fermi - Volumen eines Systems von N_e wechselwirkenden Fermionen ist gleich dem Fermi - Volumen des entsprechenden Systems von N_e freien Fermionen (Fermi - Gas)

Während das Fermi - Volumen eine Invariante ist, ändert sich z. allg. die Form der Fermi - Fläche.

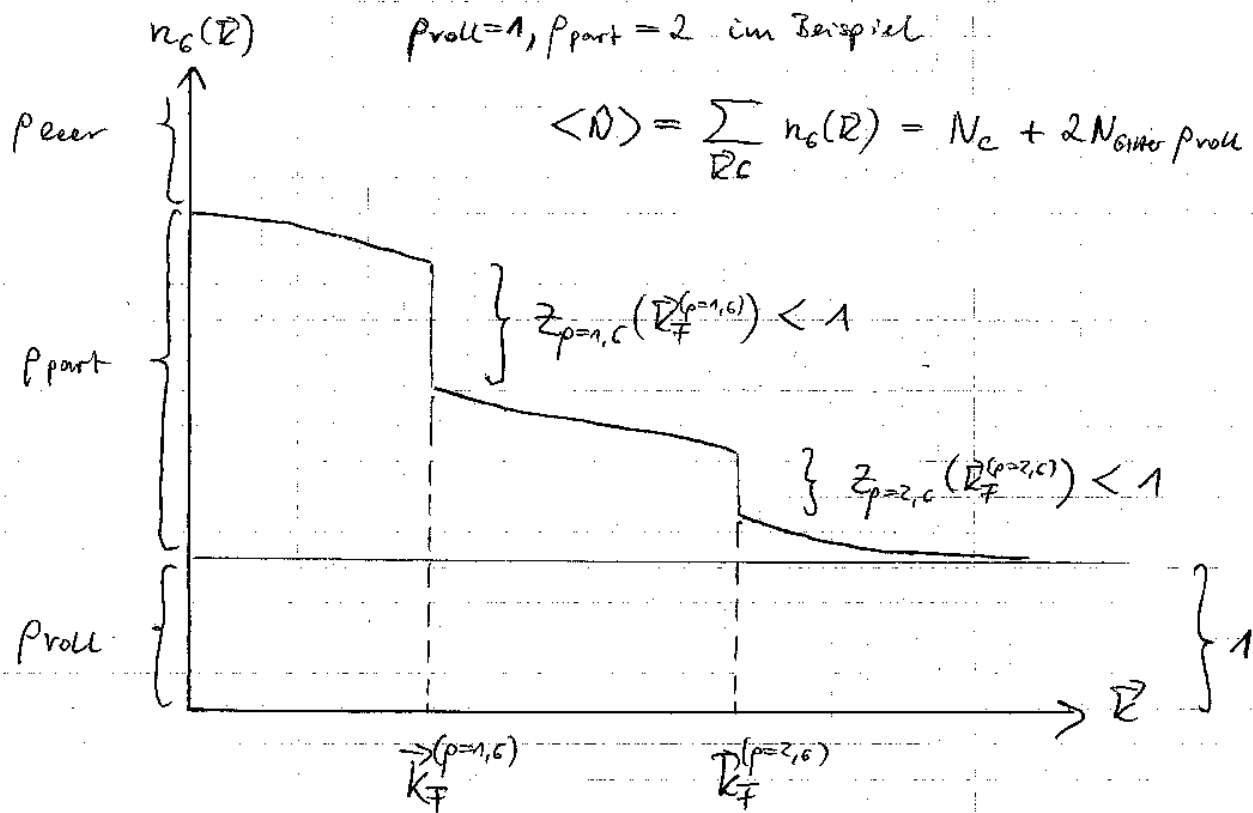
Die Invarianz des Fermi - Volumens ist eine wichtige Eigenschaft normaler Fermi - Flüssigkeiten. Das Luttinger - Theorem gilt nicht notwendig für:

- Isolatoren (bzw. ist hier trivial)
- endliche Temperaturen
- für metallische Nicht - Fermi - Flüssigkeiten
- in Fällen, wo die Diagrammentwicklung sinnlos ist

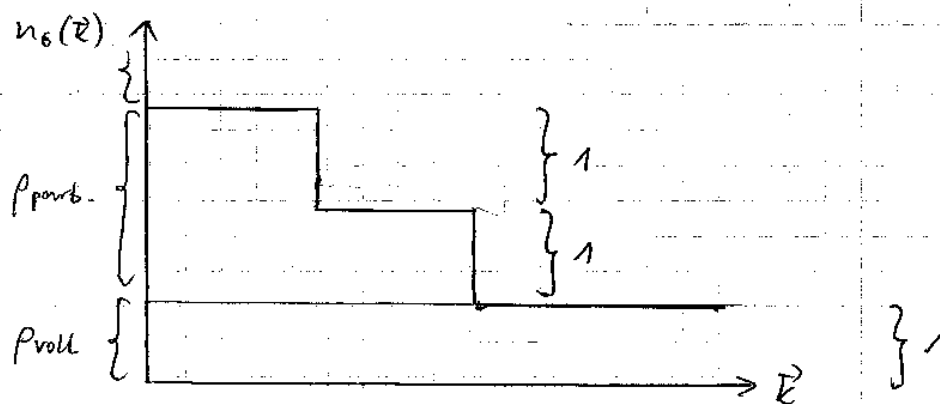
Ein metallischer Ferromagnet ist möglicherweise ein Beispiel für ein System, bei dem die Diagrammentwicklung prinzipiell fragwürdig ist (s. später).

Eine Bemerkung zur Impulsverteilungsfunktion:

Nachdem wir auch für wechselwirkende Fermionen-Systeme sinnvoll von vollen, leeren und partiell besetzten Zuständen sprechen können, ist klar, daß die Impulsverteilungsfunktion schematisch die folgende Gestalt haben muß:

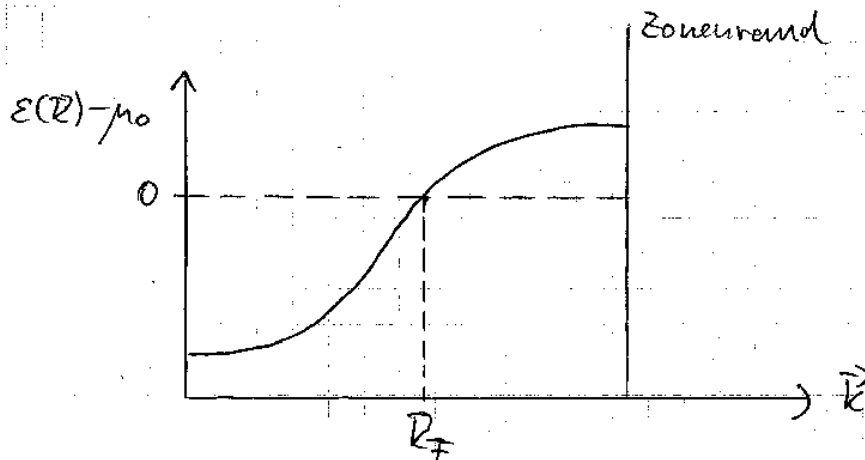


Freies System:



Abschließend sei das Luttinger-Theorem noch einmal anhand eines Ein-Band-Modells (z.B. Hubbard-Modell) diskutiert.

- $U=0$, Fermi-Gas



Offensichtlich ist:

$$\langle N \rangle_0 = \int_{-\infty}^{\infty} \sum_{E \in C} \delta(E - (E(R) - \mu_0)) dE$$

Dies kann man schreiben als:

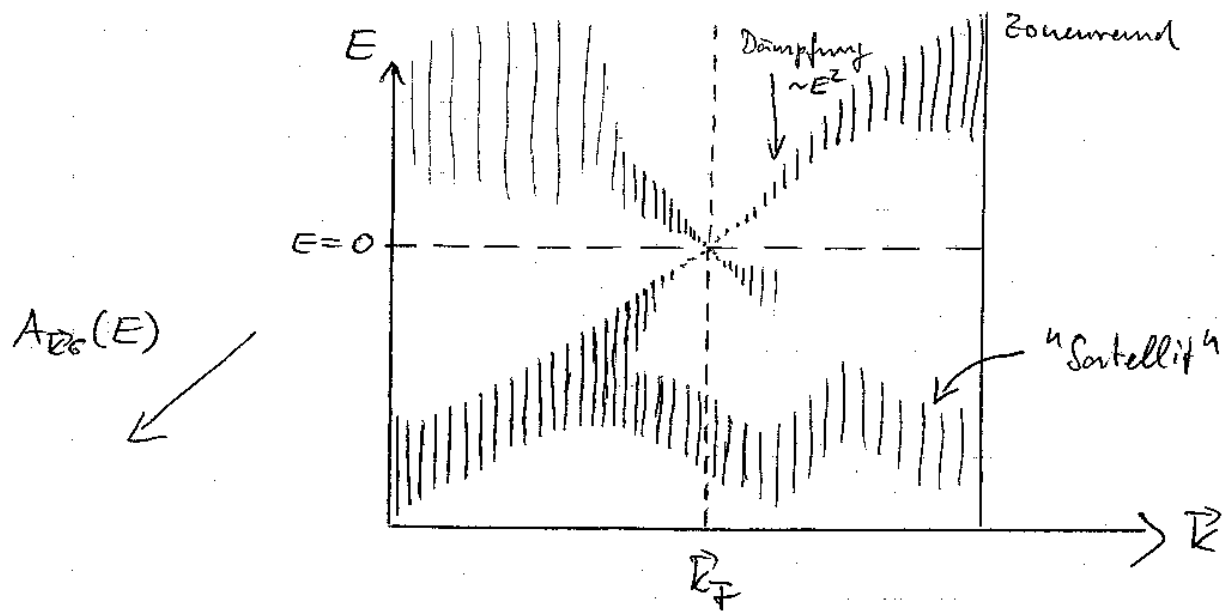
$$\langle N \rangle_0 = \sum_{R \in C} \Theta(\mu_0 - E(R)) = \frac{V}{(2\pi)^3} 2 \cdot V^{(F)}$$

Das Luttinger-Theorem für $U=0$ ist trivial.

Nun beachte für $U=0$:

Alle Ein-Teilchen-Bustände innerhalb des Fermi-Volumens sind besetzt, $\langle n_{Rc} \rangle^0 = 1$, und außerhalb unbesetzt, $\langle n_{Rb} \rangle^0 = 0$.

• $U \neq 0$, Fermi - Flüssigkeit



(vergl. auch S. 145)

Für $U \neq 0$ findet man spektrales Gewicht auch

- außerhalb der Fermi - Kugel, aber für $E < 0$, und
- innerhalb der Fermi - Kugel, aber für $E > 0$.

Wie für $U=0$ gilt:

$$\begin{aligned} \langle N \rangle &= \int_{-\infty}^{\infty} \sum_{E \in C} A_{Dc}(E) dE \quad (*) \\ &= \int_{-\infty}^{\infty} \sum_{E \in C} \left(-\frac{1}{\pi}\right) \operatorname{Im} G_{Dc}(E + i\epsilon) dE \\ &= \int_{-\infty}^{\infty} \sum_{E \in C} \left(-\frac{1}{\pi}\right) \operatorname{Im} \frac{1}{E^+ - (\varepsilon(E) - \mu) - \Sigma_{Dc}(E^+)} dE \end{aligned}$$

Hier geht die Reduktion (anders als für das freie System) nicht weiter. Setzt man in dem Ausdruck ad hoc

$$\sum_{E \in C}(E^+) \rightarrow \sum_{E \in C}(0),$$

$$= \int_{-\infty}^{\infty} \sum_{E \in C} \left(-\frac{1}{\pi} \right) 2m \frac{1}{E - (\varepsilon(E) - \mu) - \sum_{E \in C}(0)} dE$$

$$= \int_{-\infty}^{\infty} \sum_{E \in C} \delta(E - (\varepsilon(E) - \mu) - \sum_{E \in C}(0)) dE$$

$$= \sum_{E \in C} \Theta(\mu - \varepsilon(E) - \sum_{E \in C}(0)) \quad (*)$$

$$= \frac{V}{(2\pi)^3} \cdot V^{(FS)},$$

dann erhält man das Luttinger-Theorem. Natürlich ist dies kein erlaubter Rechenschritt. Im Nachhinein allerdings (mit Kenntnis des Luttinger-Theorems), ist er aber doch erlaubt. Man sieht: Nur der Wert der Selbstenergie für $E=0$ allein bestimmt Teilchenzahl und Fermi-Volumen.

Aus der Gleichheit der beiden mit (*) gekennzeichneten Terme und mit $\int_{-\infty}^{\infty} A_{EC}(E) dE = 2\pi A_{EC}(t=0) = 1$ folgt:

$$\int_{-\infty}^{\infty} dE \sum_{E \in C} \text{außerhalb } A_{EC}(E) = \int_0^{\infty} dE \sum_{E \in C} \text{innerhalb } A_{EC}(E)$$

Luttinger-Theorem

VI D Erhaltende Näherungen

Der Beweis des Luttinger - Theorems zeigt einen Weg auf, wie approximative Theorien konstruiert werden können, die das Luttinger - Theorem und damit auch dessen Konsequenzen respektieren:

Für jede Näherung, die sich aus einem expliziten, diagrammatischen Ausdruck für das erzeugende Funktional ableiten lässt, die sich also durch eine Partialsummation von I - Diagrammen darstellen lässt, kann der Beweis ganz analog durchgeführt werden. Voraussetzung ist lediglich, dass I , Selbstenergie und Green - Funktion konsistent zueinander sind, d.h. dass

$$\Sigma_{\text{ap}}(iE) = \beta \cdot \frac{\delta \text{I}}{\delta G_{px}(iE)} \quad \text{und} \quad G(iE) = G^{(0)}(iE) + G^{(0)}(iE) \Sigma(iE) G(iE)$$

erfüllt sind. Solche Näherungen heißen auch:

"conserving approximations"
(erhaltende Näherungen)

In der Praxis gibt man sich - physikalisch motiviert - einen Satz von I - Diagrammen vor, bildet daraus durch "graphische Funktionalableitung" die dazu gehörigen Selbstenergiediagramme. Selbstenergie und Green - Funktion können dann (selbstkonsistent, iterativ) unter Hinziehung der Dyson - Gleichung bestimmt werden.

Beispiele:

1) Hartree-Fock-Theorie

Das einfachste Beispiel für eine erhaltende Näherung ist die Hartree-Fock-Theorie. $\bar{\Phi}^{(HF)}$ ist definiert als (S. 186):

$$\bar{\Phi}^{(HF)} = \begin{array}{c} \text{Diagramm mit einem vertikalen Strich} \\ | \\ \text{Diagramm mit einem vertikalen Strich} \end{array} + \begin{array}{c} \text{Diagramm mit einem vertikalen Strich} \\ | \\ \text{Diagramm mit einem vertikalen Strich} \end{array}$$

Wir verzichten hier auf die Darstellung mit doppelten Linien. Alle hier und in folgenden auftretenden Propagatoren sind als vollständig renomniert anzusehen.

Die Funktionalableitung $\beta \frac{\delta \bar{\Phi}}{\delta G}$ (\Leftrightarrow Entfernen eines beliebigen Propagators) liefert die dann konstante Selbstenergie (vergl. auch S. 117):

$$\Sigma^{(HF)} = \begin{array}{c} \text{Diagramm mit einem vertikalen Strich} \\ | \\ \text{Diagramm mit einem vertikalen Strich} \end{array} + \begin{array}{c} \text{Diagramm mit einem vertikalen Strich} \\ | \\ \text{Diagramm mit einem vertikalen Strich} \end{array} + \begin{array}{c} \text{Diagramm mit einem vertikalen Strich} \\ | \\ \text{Diagramm mit einem vertikalen Strich} \end{array} + \begin{array}{c} \text{Diagramm mit einem vertikalen Strich} \\ | \\ \text{Diagramm mit einem vertikalen Strich} \end{array}$$

Läßt man nur die topologisch verschiedenen Diagramme zu (Diagrammregeln ohne den Vorfaktor $1/(2^k n!)$), hat man

$$\Sigma^{(HF)} = \begin{array}{c} \text{Diagramm mit einem vertikalen Strich} \\ | \\ \text{Diagramm mit einem vertikalen Strich} \end{array} + \begin{array}{c} \text{Diagramm mit einem vertikalen Strich} \\ | \\ \text{Diagramm mit einem vertikalen Strich} \end{array}$$

2) Störungstheorie 2. Ordnung

$$\Phi^{(SOPT)} = \begin{array}{c} \text{Diagramm 1} \\ + \\ \text{Diagramm 2} \\ + \\ \text{Diagramm 3} \end{array}$$

The diagram consists of five separate components connected by plus signs. Diagram 1 is a vertical line with a circle at both ends. Diagram 2 is a circle with a vertical dashed line through its center. Diagram 3 is a cylinder with dashed lines for the sides. Diagram 4 is a square with four vertices and four internal diagonal lines forming an X. Diagram 5 is a square with four vertices and four internal diagonal lines forming an X, with arrows pointing clockwise along the perimeter.

(alle zusammenhängenden Skelett-Diagramme von S.85
in 2. Ordnung)

Nun kann auch schreiben:

$$\Phi^{(SOPT)} = \begin{array}{c} \text{Diagramm 1} \\ + \\ \text{Diagramm 2} \\ + \\ \text{Diagramm 3} \end{array}$$

wenn vereinbart wird, daß jedes Diagramm die Summe aller an ihm topologisch gleichen Diagramme einschließt. Dies wollen wir von jetzt an tun. Wir definieren dabei zwei Φ -Diagramme als topologisch gleich, falls sie durch eine Permutation der Vertizes oder/und durch Vertauschen von "oben" und "unten" an den Vertizes aneinander hervorgehen. Dies ist analog zur topologischen Gleichheit von G - und Σ -Diagrammen. Ebenso analog beschränken wir uns dann in der Φ -Entwicklung auf die topologisch paarweise verschiedenen Diagramme. Topologisch gleiche Diagramme haben offensichtlich denselben Wert. Daher ist jedes

der topologisch verschiedenen Γ -Diagramme mit einem Faktor

$$\frac{S}{2^n n!}$$

zu versehen, wobei S die Zahl der in dem Diagramm topologisch gleichen aber paarweise verschiedenen Diagramme (inklusive dem Diagramm selbst) ist. Man beachte (S. 162), dass - im Unterschied zu Σ - und G -Diagrammen - c. allg. $S \neq 2^n n!$ ist.

Die Funktionalableitung $\delta \Gamma^{(\text{SOPT})} / \delta G$ führt auf die SOPT-Selbstenergie (vergl. S. 121):

$$\Sigma^{(\text{SOPT})} = \text{Diagramm 1} + \text{Diagramm 2} + \text{Diagramm 3} + \text{Diagramm 4}$$

3) Random-Phase-Approximation

Unter der Random-Phase-Approximation versteht man c. allg. die folgende Näherung für den Polarisationspropagator (vergl. S. 115):

RPA

d.h. die Näherung niedrigster Ordnung. Die führt zu der folgenden Form für die effektive Wechselwirkung (S. 115):

$$\text{RPA} = \begin{array}{c} \text{!} \\ \parallel \\ \parallel \\ \parallel \\ \parallel \\ \parallel \\ \parallel \end{array} + \begin{array}{c} \text{!} \\ | \\ \text{!} \\ \text{!} \\ \text{!} \end{array} + \begin{array}{c} \text{!} \\ | \\ \text{!} \\ \text{!} \\ \text{!} \\ \text{!} \end{array} + \dots$$

D.h. man erhält für die effektive Wechselwirkung eine geometrische Reihe von sogenannten Ringdiagrammen, die sich formal leicht summieren lässt.

Wir versuchen, diese Idee für eine erhaltende Näherung zu benutzen. Im Rahmen der RPA sind die Propagatoren, die den Polarisationspropagator aufbauen eigentlich als freie Propagatoren zu verstehen. Wir gehen hier allerdings zu renormierten Propagatoren über, um einen Ausdruck für $\bar{\Phi}$ zu konstruieren:

$$\bar{\Phi}^{(\text{RPA})} = \begin{array}{c} \text{!} \\ | \\ \text{!} \end{array} + \begin{array}{c} \text{!} \\ | \\ \text{!} \\ \text{!} \end{array} + \begin{array}{c} \text{!} \\ | \\ \text{!} \\ \text{!} \\ \text{!} \end{array} + \dots + \begin{array}{c} \text{!} \\ | \\ \text{!} \\ \text{!} \\ \text{!} \\ \text{!} \end{array} + \dots + \dots$$

$\bar{\Phi}^{(\text{RPA})}$ ist exakt bis zur 2. Ordnung in der Wechselwirkung. Ab der 3. Ordnung werden nur noch Ringdiagramme summiert. Die unendliche Teilreihe der Ringdiagramme ist wieder geometrisch und kann daher leicht summiert werden. Gezeichnet sind - wie vereinbart - nur die topologisch verschiedenen Diagramme. Alle Propagatoren

sind vollständig renomiert.

Die RPA-Selbstenergie ergibt sich dann als:

$$\Sigma^{(RPA)} = \text{!} + \text{!} + \text{!} + \text{!} + \dots$$

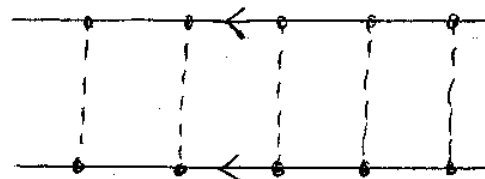
$$+ \text{!} + \text{!} + \dots$$

$$\Sigma^{(RPA)} = \text{!} + \text{!} + \text{!} + \dots$$

durch Funktionalableitung. Das Ansatzdiagramm 2. Ordnung und das dazugehörige Γ -Diagramm werden manchmal als nicht zur RPA gehörig betrachtet.

4) T-Matrix - Näherung

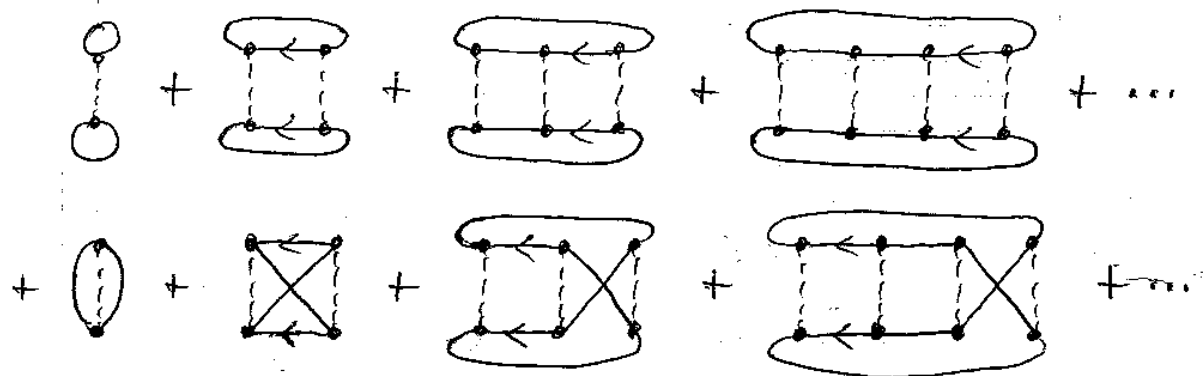
Sogenannte Leiter-Diagramme bilden ebenfalls eine geometrische Reihe und lassen sich formal leicht summieren. Die T-Matrix-Näherung betrachtet die sogenannte Teilchen-Teilchen-Leiter:



aus der sich das folgende erzeugende Funktional konstruieren lässt:

$$\overline{\Phi}^{(TMA)} =$$

(212)



Oder:

$$\overline{\Phi}^{(TMA)} = \text{Diagram 1} + \text{Diagram 2} + \text{Diagram 3} + \dots$$

$$+ \text{Diagram 4} + \text{Diagram 5} + \text{Diagram 6} + \dots$$

⇒ TMA-Selbstenergie

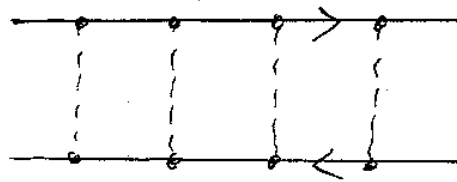
$$\Sigma^{(TMA)} = \text{Diagram 1} + \text{Diagram 2} + \text{Diagram 3} + \dots$$

$$+ \text{Diagram 4} + \text{Diagram 5} + \text{Diagram 6} + \dots$$

Für das Hubbard-Modell verschwinden die Diagramme der jeweils 2. Zeile (Aus tauschdiagramme), da die Wechselwirkung nur zwischen Elektronen mit unterschiedlichem Spin ↑, ↓ stattfindet.

5) Teildien - Loch - Leiter

Aus der Teildien - Loch - Leiter

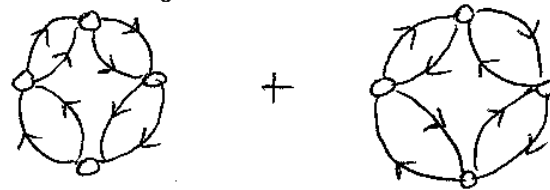


gewinnen wir die folgende erhaltbare Näherung:

$$\bar{\Phi}^{(7L)} = \text{Diagramm 1} + \text{Diagramm 2} + \text{Diagramm 3} + \text{Diagramm 4} + \dots$$

$$\sum^{(7L)} = \text{Diagramm 1} + \text{Diagramm 2} + \text{Diagramm 3} + \text{Diagramm 4} + \dots$$

Auf diese Weise lassen sich durch Partialsummen von $\bar{\Phi}$ -Diagrammen weitere erhaltbare Näherungen konstruieren. Als letztes Beispiel sei die sogenannte fluctuation-exchange approximation genannt (FLEX). Sie kombiniert Ring-Diagramme, Teildien - Teildien- sowie Teildien - Loch - Leitern. Das allgemeine (FLEX-) Diagramm n -ter Ordnung ist (Bsp. $n=4$):



wobei "o" als Abkürzung für beliebig einsetzbende Vertizes steht, die mit den Pfeilrichtungen kompatibel sind.

Vertizes steht, die mit den Pfeilrichtungen kompatibel sind.

VI E Thermodynamische Eigenschaften

normaler Fermi-Flüssigkeiten

Aus der Diagrammdarstellung des großkanonischen Potentials lassen sich – neben dem Luttinger-Theorem – weitere, sehr allgemeine physikalische Eigenschaften normaler Fermi-Flüssigkeiten ableiten. Die weiter unten diskutierten Ergebnisse werden von erhaltenden Näherungen respektiert.

1) Spezifische Wärme für kleine Temperaturen

$$C_V = \left. \frac{\partial U}{\partial T} \right|_{N,V} = T \left. \frac{\partial S}{\partial T} \right|_{N,V} - S = \left. \frac{\partial \Omega}{\partial T} \right|_{N,V}$$

Wir werden nun folgenden sehen, daß

$$\Omega(T, \mu, V) = \Omega^{(T=0)}(\mu, V) + \frac{1}{2} \mu(\mu, V) T^2 + \dots$$

für kleine Temperaturen. Dann folgt:

$$S = \mu(\mu, V) T + \dots$$

Halten wir N anstelle von μ fest, um C_V zu berechnen und entwickeln $\mu = \mu(T)$ für kleine T , so ist also

$$S = \mu(\mu^{(T=0)}, V) T + \dots$$

und

$$C_V = \rho(\mu^0, V) T + \dots$$

Wie für das ideale Fermi-Gas ist C_V eine lineare Funktion von T für kleine T . Es bleibt als Aufgabe, den Koeffizienten ρ zu berechnen und den Ansatz für Ω zu begründen.

Es gilt: (S. 185)

$$\Omega = \bar{\Phi} + \frac{1}{\beta} \sum_E e^{\beta E} \text{Sp} \left\{ \ln(-G(iE)) - \sum_{iE} (iE) G(iE) \right\}$$

Weiter ist:

$$\frac{\delta \Omega}{\delta \sum_{iE} (iE)} = 0$$

Wenn wir also nur in der Temperaturkorrektur niedrigster Ordnung interessiert sind, können wir die explizite T -Abhängigkeit der Selbstenergie vernachlässigen!

Die einzige verbleibende T -Abhängigkeit steckt dann nur noch in den Matsubara-Energien. Wir erhalten $\Omega^{(T=0)}$ durch die

Ersatzung

$$\frac{1}{\beta} \sum_E \mapsto \frac{1}{2\pi i} \int_{-i\infty}^{i\infty} dE$$

aller E -Summen in $\bar{\Phi}$ und der expliziten E -Summe oben.

Sei $\bar{\Phi} = \bar{\Phi}^{(T=0)} + \delta \bar{\Phi} + \dots$ wobei $\delta \bar{\Phi}$ die Korrektur niedrigster Ordnung ist.

Wegen

$$\bar{\Phi} = \sum_{n=1}^{\infty} \frac{1}{2n} \frac{1}{\beta} \sum_E \text{Sp} \left\{ \sum_{iE}^{(un)} (iE) G(iE) \right\}$$

ist $\Phi^{(T=0)} = \sum_{n=1}^{\infty} \frac{1}{2n} \frac{1}{2\pi i} \int_{-\infty}^{\infty} dE \text{Sp} \left\{ \sum_{(n)}^{(T=0)} (E) G^{(T=0)} (E) \right\}$

und

$$\delta \Phi = \sum_{n=1}^{\infty} \frac{1}{\beta} \sum_E \text{Sp} \left\{ \sum_{(n)}^{(T=0)} (cE) G^{(T=0)} (cE) \right\} \xrightarrow{\quad} \\ = \frac{1}{\beta} \sum_E \text{Sp} \left\{ \sum_{(n)}^{(T=0)} (cE) G^{(T=0)} (cE) \right\} \quad \text{Produktregel?}$$

Damit verbleibt für Ω :

höhere T-Korrekturen
↓

$$\Omega = \text{const.} + \frac{1}{\beta} \sum_E e^{cE\beta T} \text{Sp} \left\{ \ln (-G^{(T=0)} (cE)) \right\} \quad + \times$$

$$\Rightarrow \Omega - \text{const.} =$$

c, c': S. 184

$$= \frac{-1}{2\pi i} \oint_C \frac{1}{e^{\beta E} + 1} e^{cE\beta T} \text{Sp} \ln (-G^{(T=0)} (E)) dE \quad (c \rightarrow c')$$

$$= \frac{-1}{2\pi i} \int_{-\infty}^{\infty} \frac{1}{e^{\beta E} + 1} \left(\underbrace{\ln (-G^{(T=0)} (E + i0^+))}_{\text{Sp}} - \ln (G^{(T=0)} (E - i0^+)) \right) dE$$

Sommerfeld-Entwicklung

$$\int_{-\infty}^{\infty} \frac{1}{e^{\beta x} + 1} f(x) dx = \int_{-\infty}^{\infty} f(x) dx + \frac{\pi^2}{6} (k_B T)^2 f'(0) + \dots$$

Also:

$$\Omega = \text{const}' - \frac{1}{2\pi i} \frac{\pi^2}{6} \frac{1}{\beta^2} \frac{\partial}{\partial E} \left(\text{Sp} \ln (-G^{(T=0)} (E + i0^+)) - \text{Sp} \ln (-G^{(T=0)} (E - i0^+)) \right)_{E=0}$$

(217)

$$\Omega = \text{const}' + \frac{1}{2\pi i} \frac{\pi^2}{6} \frac{1}{\mu^2} \frac{\partial}{\partial E} \text{Sp} \left(\ln \left(\tilde{t} - \mu + \sum_{i=0}^{(T=0)} (E^i) - E - i\omega^+ \right) - \ln \left(\tilde{t} - \mu + \sum_{i=0}^{(T=0)} (E^-) - E + i\omega^+ \right) \right) \Big|_{E=0}$$

Zur Berechnung der Ableitung an der Stelle $E=0$ benötigen wir das Argument des \ln bis in linearer Ordnung in E . Zur Auswertung der Spur gehen wir zudem zur Diagonaldarstellung über:

$$\eta_{pc}(E, E) \quad \text{Eigenwerte von } \tilde{t} + \sum_{i=0}^{(T=0)} (E) \quad (\text{S. 133})$$

$$\eta_{pc}(E, E^\pm) = \eta_{pc}(E) + E \delta \eta_{pc}(E) + \dots \quad (\text{S. 139})$$

$$\begin{aligned} & \text{Sp} \left(\ln \left(\tilde{t} - \mu + \sum (E + i\omega^+) - E - i\omega^+ \right) - \ln \left(\tilde{t} - \mu + \sum (E - i\omega^+) - E + i\omega^+ \right) \right) \\ &= \sum_{E \neq 0} \left(\ln \left(\eta_{pc}(E) + E \delta \eta_{pc}(E) - E - i\omega^+ - \mu \right) \right. \\ & \quad \left. - \ln \left(\eta_{pc}(E) + E \delta \eta_{pc}(E) - E + i\omega^+ - \mu \right) \right) \\ & \quad \uparrow \begin{cases} (-\infty) - (\infty) = -2\pi i & \text{falls } E - (\eta_{pc}(E) - \mu) \\ 0 \text{ sonst} & \underline{-E \delta \eta_{pc}(E) > 0} \end{cases} \end{aligned}$$

$$= \sum_{E \neq 0} \Theta(E - (\eta_{pc}(E) - \mu) - E \delta \eta_{pc}(E))$$

eingesetzt:

$$\begin{aligned} \Omega &= \text{const}' - \frac{\pi^2}{6} (k_B T)^2 \sum_{E \neq 0} \frac{\partial}{\partial E} \Theta(E - (\eta_{pc}(E) - \mu) - E \delta \eta_{pc}(E)) \Big|_{E=0} \\ &= \text{const}' - \frac{\pi^2}{6} (k_B T)^2 \sum_{E \neq 0} \delta(E - (\eta_{pc}(E) - \mu) - E \delta \eta_{pc}(E)) \Big|_{E=0} \times (1 - \delta \eta_{pc}(E)) \\ & \quad \uparrow \text{S. 141} \quad \vec{\zeta}_{pc}(E) \end{aligned}$$

Damit folgt:

$$\Omega = \Omega^{(T=0)} - \frac{1}{2} \mu T^2 + \dots \quad C_V = \mu T + \dots$$

und

$$\rho = \frac{\pi^2}{3} k_B^2 \sum_{E_Fc} Z_{pc}^{-1}(R) \cdot \delta(\mu^{(T=0)} - E_{Fc}(R))$$

Dies ist zu vergleichen mit dem entsprechenden Ausdruck für das ideale Fermi-Gas:

$$\rho_0 = \frac{\pi^2}{3} k_B^2 \sum_{E_Fc} \delta(\mu_0^{(T=0)} - E_{Fc}(R)) \quad (\text{S.37})$$

Beiträge kommen in beiden Fällen nur von den Fermi-Flächen $E_{Fc}(R) = \mu^{(T=0)}$ bzw. $E_{Fc}(R) = \mu_0^{(T=0)}$. Im freien System ist ρ_0 durch den Wert der Zustandsdichte an der Fermi-Energie $\mu_0^{(T=0)}$ bestimmt. In der Fermi-Flüssigkeit übernimmt die Spektraldichte die Rolle der freien Zustandsdichte. Der wesentliche Unterschied liegt im Auftreten des Quasiteilchengewichts $Z_{pc}(R)$. $Z_{pc}(R) = 1$ im freien System. Für stark wechselwirkende Systeme kann $Z_{pc}(R)$ sehr klein werden, was zu einer starken Erhöhung von ρ_0 führt (\rightarrow "heavy fermions").

Mit Hilfe der Quasiteilchenenergie $E_{pc}(R)$ (S.141) ist auch

$$\rho = \frac{\pi^2}{3} k_B^2 \sum_{E_Fc} \delta(\mu^{(T=0)} - E_{pc}(R))$$

Der Zusammenhang mit dem freien System ist hier noch deutlicher.

2) T=0-Kompressibilität

Die T=0-Kompressibilität kann sehr einfach aus dem Luttinger - Theorem hergeleitet werden:

$$K = \frac{V}{\langle N \rangle^2} \frac{\partial \langle N \rangle}{\partial \mu}$$

$$\langle N \rangle = \sum_{R \neq G} \Theta(\mu^{(T=0)} - \eta_{pe}(R))$$

⇒

$$K = \frac{V}{\langle N \rangle^2} \sum_{R \neq G} \delta(\mu^{(T=0)} - \eta_{pe}(R)) \left(1 - \frac{\partial}{\partial \mu} \eta_{pe}(R)\right)$$

Vergleiche:

$$K_0 = \frac{V}{\langle N \rangle^2} \sum_{R \neq G} \delta(\mu_0^{(T=0)} - \varepsilon_{re}(R)) \quad (\text{S.36})$$

für das ideale Fermi - Gas.

3) Spin - Suszeptibilität

$$\chi = \mu_0 \frac{1}{V} \frac{\partial M}{\partial B} \Big|_{T, V, \mu}$$

Ankopplung des Magnetfelds B :

$$H \rightarrow H - \sum_g z_g \rho \hat{N}_g B \quad (\rho = \frac{1}{2} g \mu_B, \text{ S.20})$$

Oder:

$$\tilde{t} \rightarrow \tilde{t} - z_g \rho B \cdot \underline{\underline{1}}$$

Wir berechnen zunächst das magnetische Gesamtmoment M (Magnetisierung M/V):

$$M = -\frac{\partial \underline{\Omega}}{\partial \underline{B}}$$

$$= -\frac{\partial}{\partial \underline{B}} \left[\underline{\Phi} + \frac{1}{\beta} \sum_E e^{iE\omega t} \text{Sp} \left\{ \ln(-\underline{G}(iE)) - \sum(iE) \underline{G}(iE) \right\} \right]$$

\underline{B} -Abhängigkeit von $\underline{\Omega}$:

$$\underline{\Omega} = \underline{\Omega} [\Sigma, G[\underline{B}, \Sigma]] \quad (\text{Analog zu S. 192})$$

Wegen $\delta \underline{\Omega} / \delta \Sigma = 0$ braucht nur die explizite \underline{B} -Abhängigkeit berücksichtigt zu werden:

$$M = - \sum_{\alpha \neq E} \frac{\delta \underline{\Phi}[G]}{\delta G_{\alpha\alpha}(iE)} \frac{\partial G_{\alpha\alpha}(iE)}{\partial \underline{B}}$$

$$- \frac{1}{\beta} \sum_E e^{iE\omega t} \frac{\partial}{\partial \underline{B}} \text{Sp} \ln(-\underline{G}(iE))$$

$$+ \frac{1}{\beta} \sum_E e^{iE\omega t} \text{Sp} \left(\sum (iE) \frac{\partial}{\partial \underline{B}} \underline{G}(iE) \right)$$

Weil $\frac{\delta \underline{\Phi}}{\delta G_{\alpha\alpha}(iE)} = \frac{1}{\beta} \sum_{\mu \neq \alpha} (iE)$

hebt sich der erste gegen den dritten Term weg. Es bleibt:

$$M = -\frac{1}{\beta} \sum_E e^{iE\omega t} \frac{\partial}{\partial \underline{B}} \sum_{\alpha} \text{Sp} \ln(-\underline{G}_{\alpha}(iE))$$

221

wobei ab jetzt der Spinindex in den Zuständen der Ein-Teilchen-ONI explizit dargestellt wird:
 $\{|\alpha\sigma\rangle\}$. $G_\sigma(iE)$ ist als eine Matrix bzgl. des Index α ansehen. Weiter:

$$\begin{aligned}
 (x) \quad M &= \frac{1}{\rho} \sum_E e^{iE_0 t} \frac{\partial}{\partial E} \sum_c S_p \ln(t - \mu - z_{cp} B + \sum_c (iE) - iE) \\
 &= \frac{1}{\rho} \sum_E e^{iE_0 t} \sum_c (-z_{cp}) S_p (-G_c(iE)) \\
 &= \rho \sum_c z_c \frac{1}{\rho} \sum_E e^{iE_0 t} S_p G_c(iE) \\
 &= \rho \sum_c z_c \langle \hat{N}_c \rangle = \rho (\langle \hat{N}_p \rangle - \langle \hat{N}_v \rangle)
 \end{aligned}$$

Das Ergebnis ist nicht überraschend. Wir können aber auch (analog zu der Reduktion auf S. 193) wie folgt weiterrechnen:

$$\begin{aligned}
 M &\stackrel{(*)}{=} \frac{1}{\rho} \sum_E e^{iE_0 t} \frac{\partial}{\partial B} \underbrace{\sum_c \text{Sp} \ln (\tilde{t} - \mu - z_{cp} B + \sum_c (iE) - iE)}_{\uparrow} \\
 &= \frac{1}{\rho} \sum_E e^{iE_0 t} \sum_c z_{cp} \frac{\partial}{\partial (z_{cp} B)} \text{Sp} \ln (\dots) \\
 &= \frac{1}{\rho} \sum_E e^{iE_0 t} \sum_c z_{cp} \frac{\partial}{\partial (iE)} \underbrace{\text{Sp} \ln (\tilde{t} - \mu - z_{cp} B + \sum_c (iE) - iE)}_{\uparrow \text{(wirkt nur auf...)}} \\
 &= \frac{1}{\rho} \sum_E e^{iE_0 t} \sum_c z_{cp} \frac{\partial}{\partial (iE)} \text{Sp} \ln (\tilde{t} - \mu - z_{cp} B + \sum_c (iE) - iE) \\
 &+ R
 \end{aligned}$$

Analog zur Rechnung auf S. 194 ff. sieht man, dass der Restterm

$$R \equiv \frac{1}{\rho} \sum_E e^{i\omega t} \sum_{\sigma} p \otimes \text{Sp} \left(G_c(iE) \frac{\partial \Sigma_c(iE)}{\partial(iE)} \right)$$

für $T=0$ verschwindet.

Wieder analog zur Rechnung auf S. 197 ff. ist für $T=0$ also:

$$M = p \sum_{\sigma} z_{\sigma} \cdot \sum_{k_p} \Theta(p - \eta_{pc}(k))$$

Die \uparrow und \downarrow -Fermi-Flächen $p = \eta_{p\uparrow\downarrow}(k)$ sind jetzt für $\beta \neq 0$ verschieden voneinander. Das Luttinger-Theorem gilt für jede Spurrichtung separat:

$$\langle N_{\sigma} \rangle = \sum_{k_p} \Theta(p - \eta_{pc}(k))$$

Wie üblich ist $\eta_{pc}(k) \equiv \eta_{pc}(k, i\omega^+)$, und $\eta_{pc}(k, E)$ sind die Eigenwerte von $\tilde{k} + \sum_c(E) - z_{cp} \beta \mathbb{1}$. Wir schreiben $\eta_{pc}(k) = \tilde{\eta}_{pc}(k) - z_{cp} \beta$. $\tilde{\eta}_{pc}(k)$ sind also die Eigenwerte von $\tilde{k} + \sum_c(i\omega^+)$.

Für die $T=0$ -Suszeptibilität folgt damit:

$$\chi(T=0) = \mu_0 \frac{1}{V} \frac{\partial M}{\partial S} = \frac{\mu_0}{V} p \sum_{\sigma} z_{\sigma} \sum_{k_p} \frac{\partial}{\partial S} \Theta(p^{(T=0)} - \eta_{pc}(k))$$

$$= \frac{\mu_0}{V} p \sum_c z_c \sum_{\vec{R}p\epsilon} \delta(\mu^{(T=0)} - \eta_{pc}(\vec{R})) \cdot \frac{\partial(-\eta_{pc}(\vec{R}))}{\partial \beta}$$

(223)

$$z_{cp} = \underbrace{\frac{\partial \tilde{\eta}_{pc}(\vec{R})}{\partial \beta}}$$

$$= z_{cp} \left(1 - \frac{1}{z_{cp}} \frac{\partial \tilde{\eta}_{pc}(\vec{R})}{\partial \beta} \right)$$

$$\chi(T=0) = \frac{\mu_0}{V} p^2 \sum_{\vec{R}p\epsilon} \delta(\mu^{(T=0)} - \eta_{pc}(\vec{R})) \cdot \left(1 - \frac{1}{z_{cp}} \frac{\partial \tilde{\eta}_{pc}(\vec{R})}{\partial \beta} \right)$$

Nun vergleiche mit

$$\chi_0(T=0) = \frac{\mu_0}{V} p^2 \sum_{\vec{R}rc} \delta(\mu_0^{(T=0)} - \varepsilon_{rc}(\vec{R})) \quad (\text{S. 38})$$

für das freie System.

Für ein Fermi-Band-Modell (z.B. Hubbard-Modell)

ist

$$\eta_{pc}(\vec{R}) \rightarrow \varepsilon(\vec{R}) + \sum_{\vec{R}c}(i\omega^+) = \varepsilon(\vec{R}) + \sum_{\vec{R}}(i\omega^+)$$

$$z_{pc}^{(1)}(\vec{R}) \rightarrow z_{pc}^{(1)}(\vec{R}) = 1 - \frac{\partial}{\partial E} \sum_{\vec{R}c}(E) \Big|_{E=i\omega^+} \quad \begin{matrix} \uparrow \\ f \cdot g = 0 \end{matrix}$$

mit

$$A_{\vec{R}c}(E) = -\frac{1}{\pi} \operatorname{Im} \frac{1}{E - (\varepsilon(\vec{R}) - \mu) - \sum_{\vec{R}c}(E+i\omega^+) + z_{cp} \beta}$$

$$A_{\vec{R}}(E) = \sum_c A_{\vec{R}c}(E)$$

gilt zusammenfassend:

$$\rho = \frac{\pi^2}{3} k_B^2 \sum_R \left(1 - \frac{\partial \Sigma_R(\omega^+)}{\partial E} \right) A_R(0)$$

$$\kappa(T=0) = \frac{V}{\langle N \rangle^2} \sum_R \left(1 - \frac{\partial \Sigma_R(\omega^+)}{\partial \mu} \right) A_R(0)$$

$$\chi(T=0) = \frac{\hbar}{V} \rho^2 \sum_{RG} \left(1 - \frac{1}{z_{ep}} \frac{\partial \Sigma_{RG}(\omega^+)}{\partial S} \right) A_{RG}(0)$$

Diese Relationen sind denen des idealen Fermi-Gases (Sommerfeld-Modell) sehr ähnlich. Ein System (evtl. sogar stark) wechselwirkender Fermionen ist also in seinen physikalischen Eigenschaften nicht qualitativ von einem System nicht-wechselwirkender Fermionen verschieden – solange man sich auf kleine Anregungsenergien $E \rightarrow 0$ und auf kleine Temperaturen $T \rightarrow 0$ beschränkt. Die Abweichung der jeweiligen Vorfaktoren von 1 spiegelt die „Quasiteilchen-Wechselwirkung“ in der Fermi-Flüssigkeit wider.

Es versteht sich, dass die Relationen nur für Fermi-Flüssigkeiten Gültigkeit haben – ihre Ableitung basiert wesentlich auf der Annahme, dass die Diagrammentwicklung summiert (konvergiert). Zusammen mit dem fundamentalen Luttinger-Theorem können wir sie in die Reihe der Fermi-Flüssigkeits-Eigenschaften mit aufnehmen (vergl. S. 148 ff.).

Es kann passieren, daß eine starke Quasiteilchen-Wechselwirkung zur Divergenz einer der Vorfaktoren führt:

$$(1 - \frac{\partial \Sigma^{(0)}}{\partial E}) \rightarrow \infty : \text{Lokalisierung, Mott-Übergang}$$

$$(1 - \frac{\partial \Sigma^{(0)}}{\partial p}) \rightarrow \infty : \text{spontane Ladungsordnung}$$

$$(1 - \frac{\partial \Sigma^{(0)}}{\partial S}) \rightarrow \infty : \text{spontane magnetische Ordnung}$$

Spätestens dann bricht das Fermi-Flüssigkeits-Bild zusammen. Für Mott-Isolatoren und spontan ordnende Systeme ist die "diagrammatische Methode" somit fragwürdig und muß strenggenommen neu begründet werden.

(1)

Korrekturen

1) Einheiten, so dass $t_1 = 1$

2) S. 20, unten $|N; n_{k\ell}| \rightarrow |N; n_{k\ell}|^{(\varepsilon)}$
 (3x) und S. 21 oben

3) S. 24/25 Endzustand $\dots |E_0\rangle \rightarrow \dots |E_m\rangle$
 (z.B. $c_L^{\dagger}|E_0\rangle \rightarrow c_L^{\dagger}|E_m\rangle$)

4) S. 32 $A_{\alpha\beta}^{(0)}(\varepsilon) = \sum_{kk'} U_{kk'} U_{k'k}^{(0)} \delta_{kk'} A_k^{(0)}(\varepsilon)$ } ohne $\frac{1}{\varepsilon k}$!
 $A_{\alpha\beta}^{(0)}(E) = \sum_k U_{kk'} U_{k'k}^{(0)} \delta(E - (\varepsilon_k - \mu))$

5) S. 33 $\rho_0(E) = \sum_k A_{\alpha\beta}^{(0)}(E - \mu)$ nicht: \sum_c

6) S. 35

$$\begin{aligned} \frac{\partial \langle N \rangle}{\partial \mu} &= \int_{-\infty}^{\infty} f(E - \mu) \rho^{(0)\prime}(E) dE \\ &= \int_{-\infty}^{\infty} \rho^{(0)\prime}(E) dE + \frac{\pi^2}{6} (k_B T)^2 \rho^{(0)''}(\mu) + O(T^4) \end{aligned}$$

= ... analog zu S. 37, 3. Letzte Zeile

$$= \rho^{(0)}(\varepsilon_F) \left[1 + \frac{\pi^2}{6} (k_B T)^2 \left(\frac{\rho^{(0)''}(\varepsilon_F)}{\rho^{(0)}(\varepsilon_F)} - \left(\frac{\rho^{(0)\prime}(\varepsilon_F)}{\rho^{(0)}(\varepsilon_F)} \right)^2 \right) \right] + O(T^4)$$

$$\Rightarrow K_0 = \frac{V}{\langle N \rangle^2} \rho^{(0)}(\varepsilon_F) - [\dots]$$

Reelle Spektralvektoren

(2)

Sei $\{|r\rangle\}$ eine ONS aus Eigenzuständen von \mathcal{H} , $\mathcal{H}|r\rangle = E_r|r\rangle$

Entwicklung von $|r\rangle$ in Basisdarstellung der Besetzungszahlendarstellung

$$|r\rangle = \sum_{\alpha_1 \alpha_2 \dots} x_{\alpha_1 \alpha_2 \dots} |n_{\alpha_1} n_{\alpha_2} \dots\rangle^{(\epsilon)}$$

Definiere Operator K durch Festlegung seiner Wirkungsweise auf ONS $\{|r\rangle\}$:

$$K|r\rangle = \sum_{\alpha_1 \dots} x_{\alpha_1}^* \dots |n_{\alpha_1} \dots\rangle^{(\epsilon)}$$

K ist antilinear, d.h. ($x_1, x_2 \in \mathbb{C}$):

$$K(x_1|r_1\rangle + x_2|r_2\rangle) = x_1^* K|r_1\rangle + x_2^* K|r_2\rangle$$

Es gilt:

$$[K, \mathcal{H}]_+ = 0$$

Beweis:

$$\begin{aligned}
 & K H |n_{\alpha_1} \dots\rangle^{(\epsilon)} = K \left[\sum_{\beta \gamma} t_{\beta \gamma} c_{\beta}^* c_{\gamma} + \frac{1}{2} \sum_{\beta \gamma \delta} v(\alpha \beta \delta \gamma) c_{\beta}^* c_{\gamma} c_{\delta} c_{\alpha} \right] |n_{\alpha_1} \dots\rangle^{(\epsilon)} \\
 &= K \sum_{\beta \gamma \delta} \underbrace{y_{\beta \gamma \delta} \dots}_{\text{reell! } (*)} |n_{\beta} n_{\gamma} n_{\delta} \dots\rangle^{(\epsilon)} = \sum_{\beta \gamma \delta} y_{\beta \gamma \delta} \dots |n_{\beta} \dots\rangle^{(\epsilon)} \\
 &= H |n_{\alpha_1} \dots\rangle^{(\epsilon)} = H K |n_{\alpha_1} \dots\rangle^{(\epsilon)} \quad \text{q.e.d.}
 \end{aligned}$$

(*):
 $t_{\beta \gamma}$, $v(\alpha \beta \delta \gamma)$ per def. reell und $c_{\alpha}^* |n_{\alpha_1} \dots\rangle^{(\epsilon)}$ erzeugt
nur reelle Koeffizienten in der Besetzungszahlendarstellung
(S. 11)

Analog: $[c_{\alpha}, K]_+ = 0$

③

Sei $\{|r\rangle\}$ eine ONB aus Eigenzuständen von \mathcal{H} , $\mathcal{H}|r\rangle = E_r|r\rangle$

ist $|r\rangle$ ist auch $|r^*\rangle \equiv K|r\rangle$ Eigenvektor von K ,

$$\text{dann } \mathcal{H}|r^*\rangle = \mathcal{H}K|r\rangle = K\mathcal{H}|r\rangle = KE_r|r\rangle = E_r|r\rangle$$

$= E_r|r\rangle$ ($c \cdot A = A c^*$ f. antilineare Operatoren A
und $c \in \mathbb{C}$)

$c|r\rangle + K(c|r\rangle) \equiv |r\rangle$ kann mit geeignetem $c \in \mathbb{C}$

auf 1 normiert werden, $|r\rangle$ ist Eigenvektor zum Eigenwert

$$E_r \text{ und } K|r\rangle = |r\rangle \quad (K|r\rangle = K(c|r\rangle + Kc|r\rangle))$$

$$= c^*K|r\rangle + Kc^*K|r\rangle = c^*K|r\rangle + Kc^*|r^*\rangle$$

$$= Kc|r\rangle + cK|r^*\rangle = Kc|r\rangle + c|r\rangle = |r\rangle)$$

Analog ist $|r^*\rangle \equiv c|r\rangle - Kc|r\rangle$ Eigenvektor zum

Eigenwert E_r und $K|r^*\rangle = -|r^*\rangle$

So kann eine ONB bestehend aus gemeinsamen
Eigenvektoren von \mathcal{H} und K konstruiert werden!

(s. auch Messiah: "Quantummechanik" Bd. II S. 131 ff.)

Sei $\{|r\rangle\}$ diese ONB, d.h. $\mathcal{H}|r\rangle = E_r|r\rangle$ und

$$K|r\rangle = \pm|r\rangle$$

In der Entwicklung $|r\rangle = \sum_{\alpha, \epsilon} x_{\alpha, \epsilon} |n_{\alpha, \epsilon}\rangle^{(\epsilon)}$ sind

$$\text{wegen } K|r\rangle = \pm|r\rangle \Leftrightarrow \sum x^*_{\alpha, \epsilon} |r\rangle^{(\epsilon)} = \sum (+x_{\alpha, \epsilon}) |r\rangle^{(\epsilon)}$$

$\Leftrightarrow x^*_{\alpha, \epsilon} = \pm x_{\alpha, \epsilon}$ alle Koeffizienten entweder reell oder
rein imaginär.

(4)

Analog die $y_{\mu_1 \dots \mu_n}$ in der Entwicklung $|s\rangle = \sum_{\mu_1 \dots \mu_n} y_{\mu_1 \dots \mu_n} |1 \dots \rangle^{(e)}$

Also ist

$$\langle r | c_\alpha | s \rangle \langle s | c_\beta | r \rangle = \sum_{\alpha_1 \dots \alpha_n} \sum_{\beta_1 \dots \beta_n} \sum_{\mu_1 \dots \mu_n}$$

$$x_{\alpha_1}^* \times y_{\mu_1} \cdot x_{\alpha_2}^* \times y_{\mu_2} \dots x_{\alpha_n}^* \times y_{\mu_n} \langle n_{\alpha_1} | c_\alpha | n_{\beta_1} \rangle \langle n_{\mu_1} | c_\beta | n_{\beta_1} \rangle$$

auf jeden Fall reell?

Durch Vergleich mit der Lehmann-Darstellung der Spektraldichte folgt also, daß die Spektraldichte $A_{\alpha\beta}(E)$ reell ist.

(5)

- S.67, $\tau < 0$

$$\begin{aligned}
 \square G_{\alpha\beta}(\tau) &= -\text{Sp}\left(e^{-\beta\Delta_0} T_\tau (c_{\alpha,H}(\tau) c_{\beta,H}^\dagger(0))\right) \\
 &= -\text{Sp}\left(e^{-\beta\Delta_0} S(\beta,0) T_\tau (c_{\alpha,H}(\tau) c_{\beta,H}^\dagger(0))\right) \\
 &= -\text{Sp}\left(e^{-\beta\Delta_0} S(\beta,0) T_\tau (S(0,\tau) c_\alpha(\tau) S(\tau,0) c_\beta^\dagger(0))\right) \\
 &= -\text{Sp}\left(e^{-\beta\Delta_0} T_\tau \underbrace{(S(\beta,0) S(0,\tau)}_{S(\beta,\tau)} c_\alpha(\tau) S(\tau,0) c_\beta^\dagger(0))\right) \\
 &\quad \xrightarrow[S(\beta,0)]{} \\
 &= -\text{Sp}\left(e^{-\beta\Delta_0} T_\tau (S(\beta,0) c_\alpha(\tau) c_\beta^\dagger(0))\right) \quad \checkmark
 \end{aligned}$$

- S.69, Anzahl der Summanden in der totalen Paarung von n_0 Konstruktionsoperatoren: $(n_0-1)(n_0-3)(n_0-5)\cdots 3 \cdot 1$ (mitgezählt werden hier auch Kontraktionen zwischen zwei Vermütern und zwischen zwei Erzeugern, die wegen Teilchenzahlerhaltung keinen Beitrag liefern)
- S.70, unten: 2) $\alpha_n = c_n^\dagger$ und $\alpha_\nu = c_\nu$
- Wir definieren für $a \in \mathbb{C}$: $T_\tau(a) = a$
 $(\Rightarrow$ konsistente Darstellung der S-Matrix als $S(\tau, \tau') = T_\tau \exp(-S_{\tau'}^\tau V(z^a) dz^a)$)
- für gleichzeitige Operatoren gilt: $c_\alpha(\tau) c_\beta^\dagger(\tau) - \varepsilon c_\beta^\dagger(\tau) c_\alpha(\tau) = \delta_{\alpha\beta}$
 Die Umformung $T_\tau(c_\alpha(\tau) c_\beta^\dagger(\tau)) \stackrel{?}{=} T_\tau(\delta_{\alpha\beta} + \varepsilon c_\beta^\dagger(\tau) c_\alpha(\tau))$ ist aber dennoch nicht erlaubt, da sie zu Widersprüchen führen würde. Wir vereinbaren / definieren, dass eine Argument von T_τ nur das "direkte Vertauscheln" erlaubt ist:
 $T_\tau(c_\alpha(\tau) c_\beta^\dagger(\tau)) = \varepsilon T_\tau(c_\beta^\dagger(\tau) c_\alpha(\tau)) \stackrel{\text{Def}}{=} \varepsilon c_\beta^\dagger(\tau) c_\alpha(\tau).$

(6)

(Korrekturen Forts.)

- S. 96: 2.-Letzte Gleichung $G_k^{(o)}(\varepsilon) = \dots$ statt $G_k(\varepsilon) = \dots$
- S. 97:  und (Pfeile!)
- S. 121: 3.-Letzte Zeile $\frac{1}{\hbar^2} \beta^2$ statt $\frac{1}{\hbar} \beta$
- S. 122 unten rechts: der Weg ist: C'
- S. 139 ... Also: $\underline{\underline{g}}_c(E) = \underline{\underline{S}}_c^+(E, i\omega) [\underline{\underline{\varepsilon}}(E) + \underline{\underline{A}}_{E_c}] \underline{\underline{S}}_c(E, i\omega)$
- S. 140: 1. Formel $\underline{\underline{G}}_{E_c}(E^*) \rightarrow \underline{\underline{G}}_{E_c}(E^*)$
- S. 151: $[f(x)f(-y)f(y-x) + f(-x)f(y)f(x-y)]$
↑
- S. 154, 2.-gerahmte Formel: $-\beta \Delta \Omega = \langle S(\beta, 0) \rangle_{\text{ens.}}^{(o)} - 1$
- S. 170 unten: Wie oben diskutiert $\overline{I} \neq \Omega$ (bzw. $\overline{I} \neq \Delta \Omega$)
- S. 173, 4. Bsp.: $\frac{\delta F_1}{\delta \dots}$...
- S. 174: $2X_{pc}(iE) + \textcircled{6} \sum_{jk} X_{\dots} \dots$
- S. 193: umzuwandeln: $\frac{\partial}{\partial \mu} \text{Sp} \ln(-\mathcal{L}(iE)) \dots$
- S. 200: Für ein Ein-Band-Modell ... ist $\langle \bar{N} \rangle = \frac{(2\pi)^3}{V} 2 V^{(f_k)}$
- S. 200: Luttinger-Theorem: ... im \vec{k} -Raum $\propto \frac{(2\pi)^3}{V}$

(n.v.a.)